

Міністерство освіти і науки України

Системні технології

System technologies

2 (163) 2026

Регіональний міжвузівський збірник наукових праць

Засновано у січні 1997 року.

У випуску:

- ПРОГРЕСИВНІ ІНФОРМАЦІЙНІ ТЕХНОЛОГІЇ
ТА ОРГАНІЗАЦІЯ СУЧАСНОГО ВИРОБНИЦТВА
- МАТЕМАТИЧНЕ ТА ПРОГРАМНЕ ЗАБЕЗПЕЧЕННЯ
ІНТЕЛЕКТУАЛЬНИХ СИСТЕМ
- СИСТЕМНІ ТЕХНОЛОГІЇ ОБРОБКИ ІНФОРМАЦІЇ
ТА КІБЕРБЕЗПЕКА

Системні технології. Регіональний міжвузівський збірник наукових праць. –
Випуск 2 (163). - Дніпро, 2026. – 272 с.
ISSN 1562-9945 (Print).
ISSN 2707-7977 (Online).

Редакційна колегія випуску:

Алпатов А.П. - д.т.н., проф. (відп. редактор)
Архипов О.Є. - д.т.н., проф.
Білозьоров В.Є. - д.ф.-м.н., проф.
Бабічев С.А. (Чеська Республіка) - д.т.н., доц.
Єрьомін О.О. - д.т.н., проф.

Прогресивні інформаційні
технології та організація
сучасного виробництва

Гече Ф.Е. - д.т.н., проф., (відп. редактор)
Гуда А.І. - д.т.н., проф.
Гнатушенко Вік.В. - д.т.н., проф.
Кіріченко Л.О. - д.т.н., проф.

Математичне
та програмне забезпечення
інтелектуальних систем

Гнатушенко В.В. - д.т.н., проф., (відп. редактор)
Гожий О.П. - д.т.н., проф.
Светличний Д.С. (Польща) - д.т.н., проф.
Хандецький В.С. - д.т.н., проф.

Системні технології обробки
інформації
та кібербезпека

Збірник друкується за рішенням Вченої Ради
Українського державного університету науки і технологій
від 28.01.2026 р., № 6

Адреса редакції: 49600, Дніпро, пр. Науки, 4
Український державний університет науки і технологій,
ННІ «Дніпровський металургійний інститут»
кафедра Інформаційних технологій та систем.
Тел. +38(097)6854525
E-mail: st@nmetau.edu.ua
<https://journals.nmetau.edu.ua/index.php/st>

© Український державний університет науки і технологій,
ННІ «Дніпровський металургійний інститут»,
ІВК «Системні технології», 2026

**EXPERIMENTAL STUDY OF DISTANCE MAP DECODER
ARCHITECTURAL CONFIGURATIONS
FOR INSTANCE SEGMENTATION BY TEXT QUERY**

Anotation. This article presents an experimental study of the architectural configurations of distance map decoder in the InstanceCLIPSeg model for instance segmentation by text query. We investigate the influence of various mechanisms for restoring spatial resolution (bilinear interpolation, PixelShuffle), the use of coordinate convolutions (CoordConv), and multi-level feature fusion strategies. Based on the evaluation of nine configurations on the LVIS and PhraseCut datasets, it was found that a hybrid architecture with PixelShuffle and single-stage feature fusion from transformer layers achieves the best results (mean Dice 0.2374), outperforming baseline approaches. The redundancy of coordinate channels in the presence of multi-level fusion was revealed.

Keywords: instance segmentation, distance decoder, PixelShuffle, coordinate convolution, feature fusion, CLIP, open-vocabulary segmentation, InstanceCLIPSeg.

Problem statement. Modern computer vision tasks increasingly require a transition from a closed set of classes to an open-vocabulary paradigm. Instance segmentation based on text queries requires neural network architectures to be able to process arbitrary descriptions in natural language while maintaining high accuracy of spatial predictions. Our InstanceCLIPSeg [1] model solves this problem using a bottom-up approach. A key feature of the method is the simultaneous prediction of a heatmap of object centers and a four-channel map of distances from each pixel of an object to the boundaries of its bounding box. The results are then post-processed. In this scheme, the distance decoder is a critically important component. It needs to restore the spatial resolution from 22×22 (encoder output) to 352×352 pixels, preserving the positional information and structure of the objects. The goal of this study is to compare architectural solutions for this task and find the optimal configuration.

Analysis of recent studies and publications. Existing approaches to segmentation can be divided into two-stage (top-down) and one-stage (bottom-up) methods. Two-stage methods, such as Mask R-CNN, first detect objects and then segment them, which can be computationally expensive. Single-stage bottom-up methods offer an alternative by first identifying individual features (centers, corners), which are then combined.

Among multimodal architectures, the CLIP [2] model forms the foundation, creating a shared space for visual and textual features. CLIPSeg [3] extends this approach to pixel-level segmentation, but is limited to semantic tasks without separating instances. InstanceCLIPSeg

integrates the concepts of CLIPSeg, Panoptic DeepLab [4], and PRN [5] to solve the task of instance segmentation.

We analyze the mechanisms of resolution enhancement (upsampling). Transposed convolutions often create "checkerboard" artifacts [6], which is critical for distance maps that require smoothness. Bilinear interpolation does not have this drawback, but it is non-learnable. The PixelShuffle [7] method redistributes channels into spatial dimensions, but also requires special initialization (ICNR) [8] to avoid artifacts. Additionally, CoordConv [9] is often used to account for the position of objects in space.

In the context of feature fusion, there are various strategies: hierarchical skip connections (U-Net [10], FPN [11]) and one-time fusion (SegFormer [12]). Since the authors of SegFormer have demonstrated the effectiveness of simple MLP decoders for transformer encoders, it is necessary to verify the applicability of this approach to our task. Since this is crucial for our architecture, additional analysis of the impact of positional encoding and multi-level fusion methods for ViT decoders is required.

Research objective. The objective is to experimentally investigate the architectural configurations of the distance map decoder in the InstanceCLIPSeg model to determine the optimal combination of resolution recovery approaches, the impact of coordinate convolutions, and feature fusion strategies.

Presentation of the main research material. Decoder architectural configurations.

The decoder restores image resolution through four stages of 2x upscaling (from 22×22 to 352×352). Each stage consists of an upsampling block and a refinement block (3×3 convolution + BatchNorm + ReLU). For the study, we implemented two fundamentally different feature fusion strategies:

1. hybrid fusion (similar to SegFormer): features from transformer layers L3, L7, and L9 are integrated at the decoder input. Each source is projected into a common dimension, concatenated, and processed by the fusion block;
2. hierarchical fusion (similar to U-Net): skip connections are introduced in stages. Features from L7 are added in the first stage (22×22 → 44×44), and from L3 in the second. Since ViT retains a resolution of 22×22, skip features are scaled by interpolation.

Figures 1-4 show the diagrams of the architectures under study.

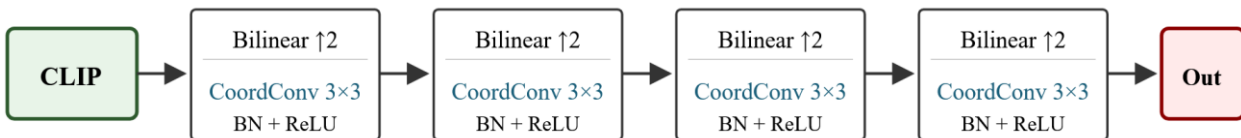


Figure 1 – Architecture configuration: basic decoder

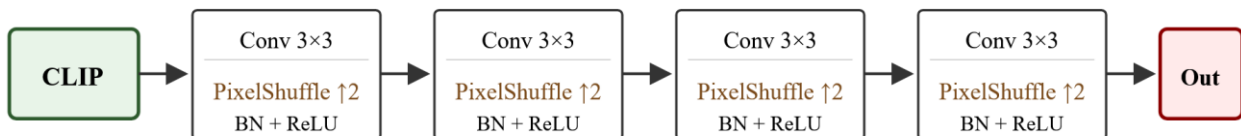


Figure 2 – Architecture configuration: PixelShuffle

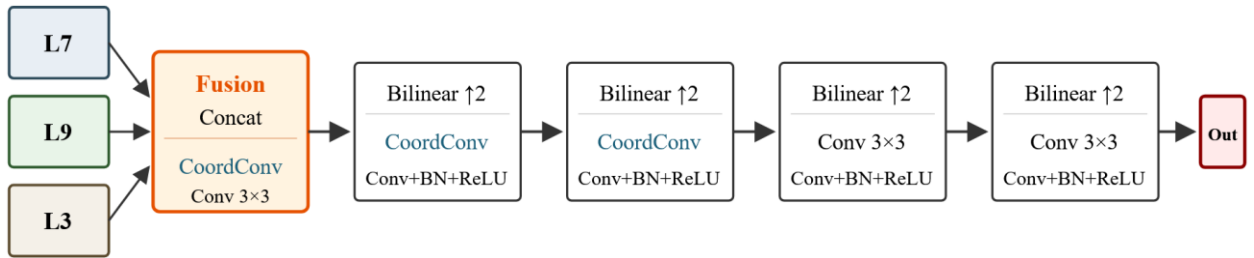


Figure 3 – Architecture configuration: hybrid with bilinear interpolation

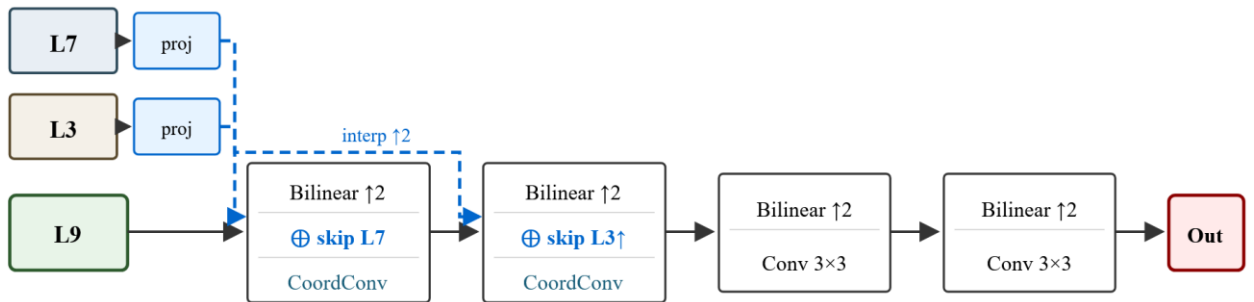


Figure 4 – Architecture configuration: hierarchical with bilinear interpolation

A total of nine configurations (C1–C9) were implemented and trained, differing in the upsampling method (bilinear interpolation or PixelShuffle + ICNR), the presence of CoordConv, and the type of feature fusion. The configurations are described in Table 1.

Table 1

Experimental decoder configurations

Config	Resolution enhancement	CoordConv	Feature fusion
C1	Bilinear	All stages	No
C2	PixelShuffle	No	No
C3	PixelShuffle+ICNR	Stages 1-2	No
C4	Bilinear	Merge + stages 1-2	Hybrid
C5	PixelShuffle+ICNR	Merge block	Hybrid
C6	PixelShuffle+ICNR+CoordConv	Refinement	Hybrid
C7	Bilinear	Stages 1-2	Hierarchical
C8	PixelShuffle+ICNR	Refinement	Hierarchical
C9	PixelShuffle+ICNR+CoordConv	Refinement	Hierarchical

Experimental conditions. Training was performed on the LVIS [13] dataset, and testing was performed on PhraseCut [14]. This approach allows us to evaluate the model's ability to generalize knowledge to new text descriptions. All models were trained for 3 epochs with a frozen CLIP encoder. Weighted L1-loss was used as the loss function for the distance decoder. Mean Dice (mDice) was chosen as the main quality metric.

The comparative results of the experiments are presented in Table 2.

Comparison of decoder configurations

Configuration	mDice
C1: Bilinear	0.2170
C2: PixelShuffle	0.1867
C3: PixelShuffle+ICNR+CoordConv	0.2232
C4: Hybrid+Bilinear	0.2198
C5: Hybrid+PixelShuffle	0.2374
C6: Hybrid+PixelShuffle+CoordConv	0.2058
C7: Hierarchical+Bilinear	0.2127
C8: Hierarchical+PixelShuffle	0.2257
C9: Hierarchical+PixelShuffle+CoordConv	0.2022

Analysis of resolution enhancement mechanisms. Experiments have shown that simple bilinear interpolation (C1, mDice=0.2170) outperforms standard PixelShuffle (C2, mDice=0.1867). This is because, without special initialization, PixelShuffle creates block artifacts that disrupt the smoothness of distance fields. However, the use of ICNR initialization in combination with CoordConv (C3) allows PixelShuffle to outperform the bilinear method (mDice=0.2232). In complex configurations with feature merging (C5 vs C4, C8 vs C7), PixelShuffle consistently shows an advantage (+6-8%), confirming the effectiveness of the learning mechanism when sufficient context is available.

A visualization of the best configuration (C5) is shown in Figure 5. The model correctly predicts the centers and generates distance maps for four directions.

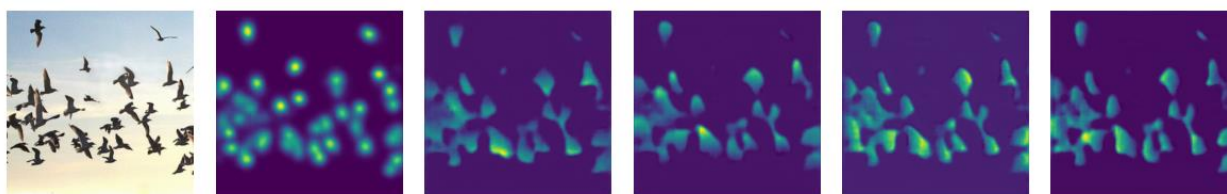


Figure 5 – Result of network output for hybrid decoder with PixelShuffle

In configurations without feature fusion, CoordConv provides a significant gain (+19.5% when transitioning from C2 to C3). However, when features from the transformer are added (configurations C6 and C9), CoordConv degrades the metrics (a 10-13% drop relative to counterparts without it). This indicates that multi-level fusion already provides sufficient positional context through ViT features, making explicit coordinate channels redundant and complicating training. This is consistent with [15, 16], indicating that superfluous processing can be detrimental to model accuracy.

The process of restoring bounding boxes based on predicted maps is illustrated in Figure 6.

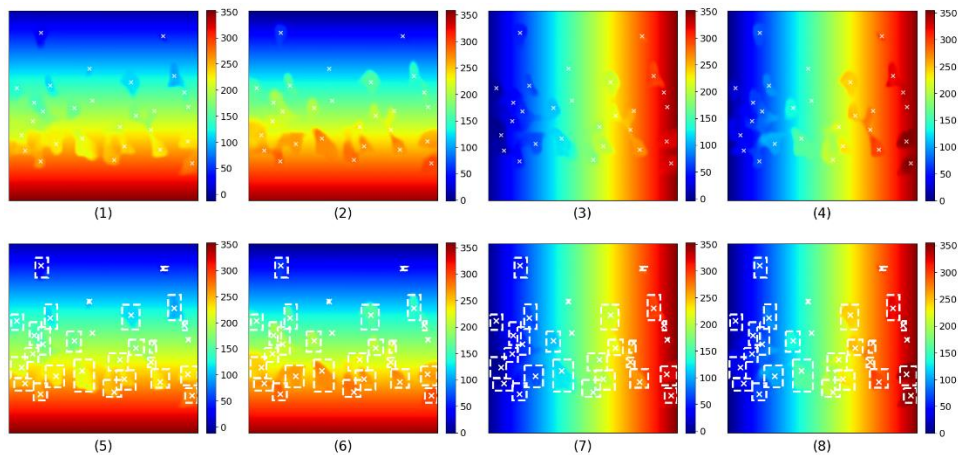


Figure 6 – Finding objects by their predicted distances to their edges (1-4) and calculating their bounding boxes (5-8) for a hybrid decoder with PixelShuffle

Feature fusion strategies. The hybrid approach (C5) showed the best result (mDice=0.2374), outperforming the hierarchical approach (C8, mDice=0.2257) by 5.2%. The advantage of the hybrid scheme is explained by the specifics of Vision Transformer – the encoder outputs features of fixed resolution (22×22) on all layers. Hierarchical fusion requires additional interpolation to match the sizes in the pyramid, which introduces noise. Hybrid fusion performs integration at the encoder's "native" resolution, which is consistent with the conclusions of the SegFormer authors.

The qualitative difference in the predicted values is shown in Figure 7. The basic configuration (C1) produces objects that are difficult to distinguish, C2 detects significantly fewer objects and suffers from artifacts, while C5 provides smooth and clear object boundaries.

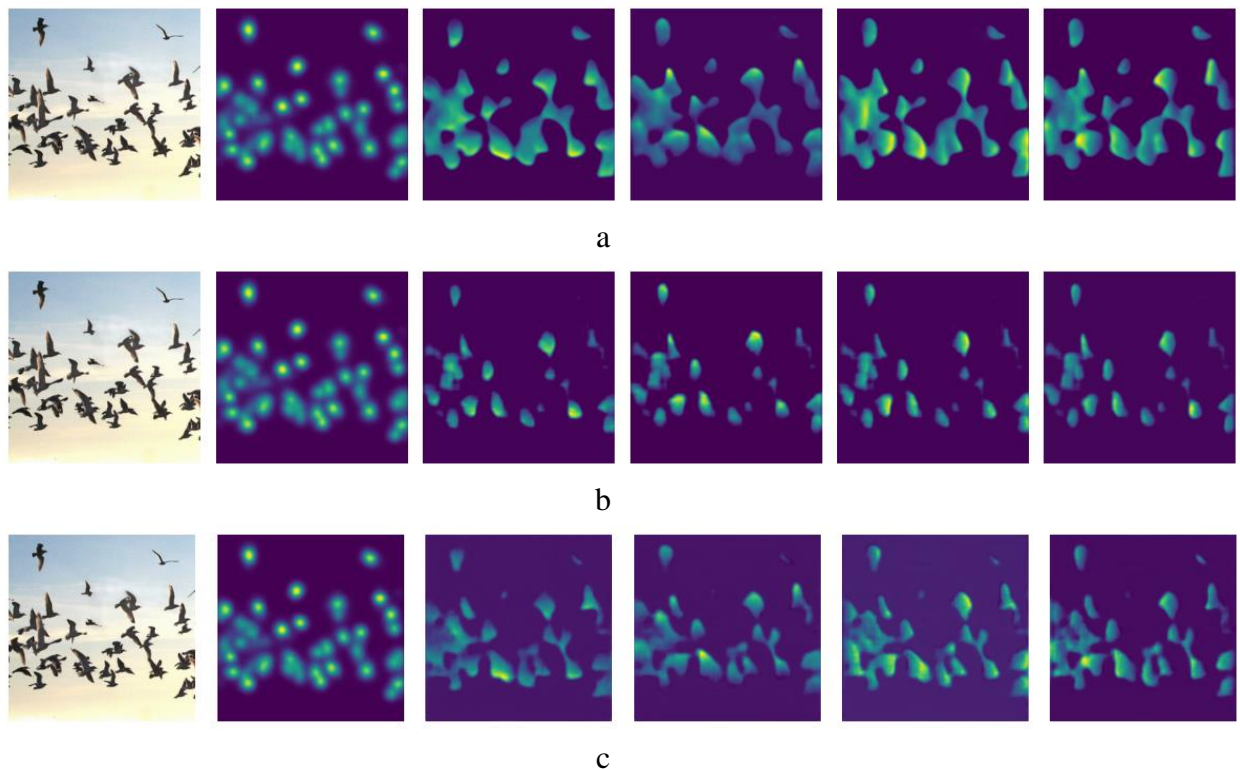


Figure 7 – Comparison of distance maps: (a) C1; (b) C2; (c) C5

Figures 8 and 9 show the result of the final post-processing. If post-processing relies strictly on detected centers, the result may prove inferior to using clustering based on the obtained distance maps.

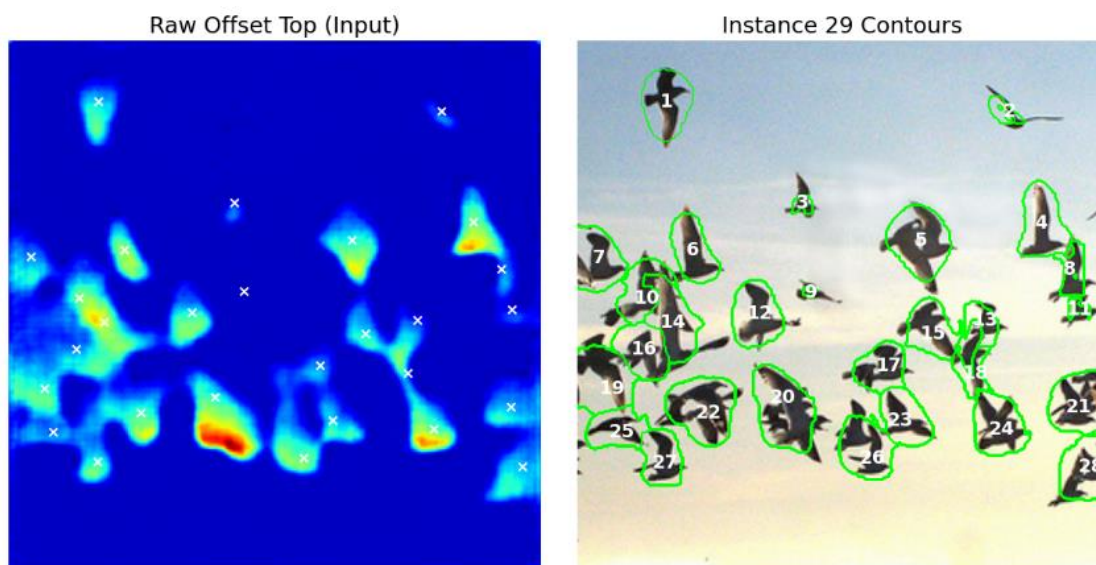


Figure 8 – Post-processing result using centers for the hybrid decoder with PixelShuffle

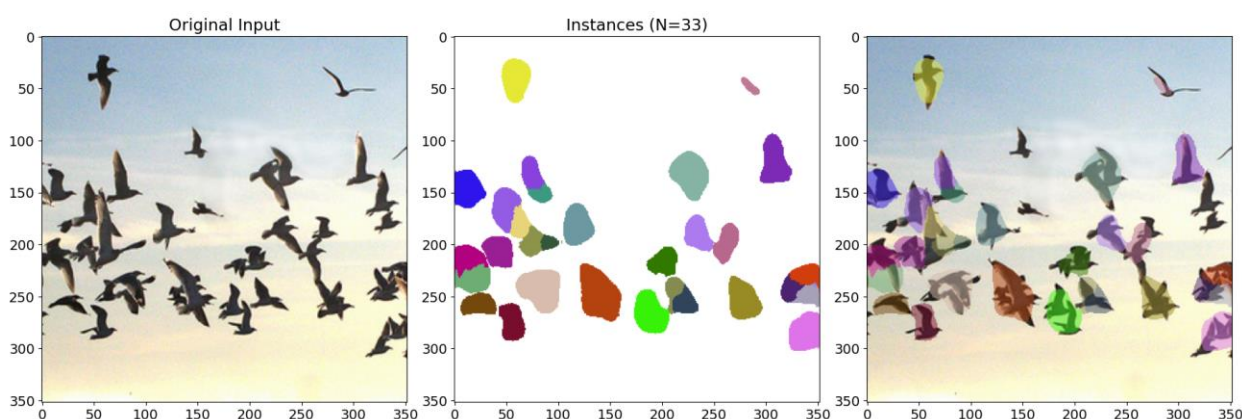


Figure 9 – Post-processing result without using centers for the hybrid decoder with PixelShuffle

Conclusions. This paper investigates distance decoder architectures for the InstanceCLIPSeg model.

1. It was found that the optimal configuration is a hybrid architecture with PixelShuffle, ICNR initialization, and single feature merging (L3, L7, L9) without using CoordConv in refinement blocks. It outperforms the baseline method by 9.4% on the mean Dice metric.

2. CoordConv is only effective in simple architectures. In the presence of rich context from the transformer encoder, it becomes redundant and degrades segmentation quality.

3. For ViT encoders, hybrid one-time feature fusion is preferable to classic hierarchical skip connections (U-Net), as it avoids the artifacts of interpolating intermediate feature maps.

Future work involves extending the training (more than 3 epochs) to investigate the impact of training duration on the integration of positional information.

ЛІТЕРАТУРА

1. Kovtunen A.R., Mashtalir S.V. Improved segmentation model to identify object instances based on textual prompts. Herald of advanced information technology. 2025. Т. 8, № 1. С. 54–66. URL: <https://doi.org/10.15276/hait.08.2025.4> (дата звернення: 10.02.2026).
2. Learning transferable visual models from natural language supervision / A. Radford та ін. Proceedings of the 38th International Conference on Machine Learning (ICML), 18–24 лип. 2021 р. PMLR, 2021. Т. 139. С. 8748–8763. URL: <http://proceedings.mlr.press/v139/radford21a.html> (дата звернення: 10.02.2026)
3. Luddecke T., Ecker A. Image segmentation using text and image prompts. 2022 IEEE/CVF conference on computer vision and pattern recognition (CVPR), м. New Orleans, LA, USA, 18–24 черв. 2022 р. 2022. URL: <https://doi.org/10.1109/cvpr52688.2022.00695> (дата звернення: 10.02.2026).
4. Panoptic-DeepLab: a simple, strong, and fast baseline for bottom-up panoptic segmentation / B. Cheng та ін. 2020 IEEE/CVF conference on computer vision and pattern recognition (CVPR), м. Seattle, WA, USA, 13–19 черв. 2020 р. 2020. URL: <https://doi.org/10.1109/cvpr42600.2020.01249> (дата звернення: 10.02.2026).
5. PRN: panoptic refinement network / B. Sun та ін. 2023 IEEE/CVF winter conference on applications of computer vision (WACV), м. Waikoloa, HI, USA, 2–7 січ. 2023 р. 2023. URL: <https://doi.org/10.1109/wacv56688.2023.00395> (дата звернення: 10.02.2026).
6. Odena A., Dumoulin V., Olah C. Deconvolution and checkerboard artifacts. Distill. 2016. Т. 1, № 10. URL: <https://doi.org/10.23915/distill.00003> (дата звернення: 10.02.2026).
7. Real-Time single image and video super-resolution using an efficient sub-pixel convolutional neural network / W. Shi та ін. 2016 IEEE conference on computer vision and pattern recognition (CVPR), м. Las Vegas, NV, USA, 27–30 черв. 2016 р. 2016. URL: <https://doi.org/10.1109/cvpr.2016.207> (дата звернення: 10.02.2026).
8. Checkerboard artifact free sub-pixel convolution / A. Aitken та ін. arXiv preprint arXiv:1707.02937. 2017. URL: <https://doi.org/10.48550/arXiv.1707.02937> (дата звернення: 10.02.2026).
9. An intriguing failing of convolutional neural networks and the CoordConv solution / R. Liu та ін. Advances in Neural Information Processing Systems 31 (NeurIPS), м. Montréal, Canada, 3–8 груд. 2018 р. 2018. Т. 31. URL: <https://proceedings.neurips.cc/paper/2018/hash/60106888f8977b71e1f15db7bc9a88d1-Abstract.html> (дата звернення: 10.02.2026).
10. Ronneberger O., Fischer P., Brox T. U-Net: convolutional networks for biomedical image segmentation. Lecture notes in computer science. Cham, 2015. С. 234–241. URL: https://doi.org/10.1007/978-3-319-24574-4_28 (дата звернення: 10.02.2026).
11. Feature pyramid networks for object detection / T.-Y. Lin та ін. 2017 IEEE conference on computer vision and pattern recognition (CVPR), м. Honolulu, HI, 21–26 лип. 2017 р. 2017. URL: <https://doi.org/10.1109/cvpr.2017.106> (дата звернення: 10.02.2026).
12. SegFormer: simple and efficient design for semantic segmentation with transformers / E. Xie та ін. Advances in Neural Information Processing Systems 34 (NeurIPS), 6–14 груд. 2021 р. 2021. Т. 34. С. 12077–12090.

URL: <https://proceedings.neurips.cc/paper/2021/hash/64f1f27bf1b4ec22924fd0acb550c235-Abstract.html> (дата звернення: 10.02.2026).

13. Gupta A., Dollar P., Girshick R. LVIS: a dataset for large vocabulary instance segmentation. 2019 IEEE/CVF conference on computer vision and pattern recognition (CVPR), м. Long Beach, CA, USA, 15–20 черв. 2019 р. 2019.

URL: <https://doi.org/10.1109/cvpr.2019.00550> (дата звернення: 10.02.2026).

14. PhraseCut: language-based image segmentation in the wild / С. Wu та ін. 2020 IEEE/CVF conference on computer vision and pattern recognition (CVPR), м. Seattle, WA, USA, 13–19 черв. 2020 р. 2020. URL: <https://doi.org/10.1109/cvpr42600.2020.01023> (дата звернення: 10.02.2026).

15. Alternate encoder and dual decoder CNN-Transformer networks for medical image segmentation / L. Zhang та ін. Scientific reports. 2025. Т. 15, № 1.

URL: <https://doi.org/10.1038/s41598-025-93353-2> (дата звернення: 10.02.2026).

16. Chen J., Liang Z., Lu X. A dual attention and cross layer fusion network with a hybrid CNN and transformer architecture for medical image segmentation. Scientific reports. 2025. Т. 15, №1. URL: <https://doi.org/10.1038/s41598-025-19563-w> (дата звернення: 10.02.2026).

REFERENCES

1. Mashtalir, S. V., & Kovtunencko, A. R. (2025). Improved segmentation model to identify object instances based on textual prompts. Вісник сучасних інформаційних технологій, 8(1), 54-66.

2. Radford, A., Kim, J. W., Hallacy, C., Ramesh, A., Goh, G., Agarwal, S., ... & Sutskever, I. (2021, July). Learning transferable visual models from natural language supervision. In International conference on machine learning (pp. 8748-8763). PmLR.

3. Lüddecke, T., & Ecker, A. (2022). Image segmentation using text and image prompts. In Proceedings of the IEEE/CVF conference on computer vision and pattern recognition (pp. 7086-7096).

4. Cheng, B., Collins, M. D., Zhu, Y., Liu, T., Huang, T. S., Adam, H., & Chen, L. C. (2020). Panoptic-deeplab: A simple, strong, and fast baseline for bottom-up panoptic segmentation. In Proceedings of the IEEE/CVF conference on computer vision and pattern recognition (pp. 12475-12485).

5. Sun, B., Kuen, J., Lin, Z., Mordohai, P., & Chen, S. (2023). PRN: panoptic refinement network. In Proceedings of the IEEE/CVF Winter Conference on Applications of Computer Vision (pp. 3963-3973).

6. Odena, A., Dumoulin, V., & Olah, C. (2016). Deconvolution and checkerboard artifacts. Distill, 1(10), e3.

7. Shi, W., Caballero, J., Huszár, F., Totz, J., Aitken, A. P., Bishop, R., ... & Wang, Z. (2016). Real-time single image and video super-resolution using an efficient sub-pixel convolutional neural network. In Proceedings of the IEEE conference on computer vision and pattern recognition (pp. 1874-1883).

8. Aitken, A., Ledig, C., Theis, L., Caballero, J., Wang, Z., & Shi, W. (2017). Checkerboard artifact free sub-pixel convolution: A note on sub-pixel convolution, resize convolution and convolution resize. arXiv preprint arXiv:1707.02937.
9. Liu, R., Lehman, J., Molino, P., Petroski Such, F., Frank, E., Sergeev, A., & Yosinski, J. (2018). An intriguing failing of convolutional neural networks and the coordconv solution. *Advances in neural information processing systems*, 31.
10. Ronneberger, O., Fischer, P., & Brox, T. (2015, October). U-net: Convolutional networks for biomedical image segmentation. In *International Conference on Medical image computing and computer-assisted intervention* (pp. 234-241). Cham: Springer international publishing.
11. Lin, T. Y., Dollár, P., Girshick, R., He, K., Hariharan, B., & Belongie, S. (2017). Feature pyramid networks for object detection. In *Proceedings of the IEEE conference on computer vision and pattern recognition* (pp. 2117-2125).
12. Xie, E., Wang, W., Yu, Z., Anandkumar, A., Alvarez, J. M., & Luo, P. (2021). SegFormer: Simple and efficient design for semantic segmentation with transformers. *Advances in neural information processing systems*, 34, 12077-12090.
13. Gupta, A., Dollar, P., & Girshick, R. (2019). Lvis: A dataset for large vocabulary instance segmentation. In *Proceedings of the IEEE/CVF conference on computer vision and pattern recognition* (pp. 5356-5364).
14. Wu, C., Lin, Z., Cohen, S., Bui, T., & Maji, S. (2020). Phrasecut: Language-based image segmentation in the wild. In *Proceedings of the IEEE/CVF Conference on Computer Vision and Pattern Recognition* (pp. 10216-10225).
15. Zhang, L., Guo, X., Sun, H., Wang, W., & Yao, L. (2025). Alternate encoder and dual decoder CNN-Transformer networks for medical image segmentation. *Scientific Reports*, 15(1), 8883.
16. Chen, J., Liang, Z., & Lu, X. (2025). A dual attention and cross layer fusion network with a hybrid CNN and transformer architecture for medical image segmentation. *Scientific Reports*, 15(1), 35707.

Received 02.02.2026
Accepted 06.02.2026
Published 31.03.2026

Експериментальне дослідження архітектурних конфігурацій декодера карт відстаней для сегментації екземплярів за текстовим запитом

Сучасні завдання комп'ютерного зору все частіше вимагають переходу від закритого набору класів до парадигми відкритого словника. Сегментація екземплярів на основі текстових запитів вимагає від архітектур нейронних мереж можливості обробляти довільні описи природною мовою, зберігаючи при цьому високу точність просторових прогнозів. Модель InstanceCLIPSeg вирішує цю проблему за допомогою висхідного підходу. Ключовою особливістю методу є одночасне прогнозування теплової карти центрів об'єктів та чотириканальної карти відстаней від кожного пікселя об'єкта до меж його обмежувальної рамки.

Мета полягає в експериментальному дослідженні архітектурних конфігурацій декодера карт відстаней у моделі InstanceCLIPSeg для визначення оптимальної комбі-

нації підходів до відновлення роздільної здатності, впливу згорток координат та стратегій об'єднання ознак.

Проведено експериментальне порівняння дев'яти архітектурних конфігурацій декодера карт відстаней у моделі InstanceCLIPSeg. Досліджено вплив методів підвищення роздільної здатності (білінійна інтерполяція, PixelShuffle), координатних згорток та стратегій злиття ознак. Встановлено, що гібридна архітектура з PixelShuffle та однорівневим злиттям ознак є найефективнішою (mean Dice 0,2374), перевершуючи базовий підхід на 9,4%. Виявлено надлишковість CoordConv при наявності контексту трансформера та перевагу гібридного злиття над ієрархічним.

У цій статті досліджуються архітектури декодера відстаней для моделі InstanceCLIPSeg.

1. Було виявлено, що оптимальною конфігурацією є гібридна архітектура з PixelShuffle, ініціалізацією ICNR та об'єднанням окремих ознак (L3, L7, L9) без використання CoordConv у блоках уточнення. Вона перевершує базовий метод на 9,4% за середньою метрикою Dice.

2. CoordConv ефективний лише в простих архітектурах. За наявності багатого контексту від трансформаторного кодера він стає надлишковим та погіршує якість сегментації.

3. Для ViT-кодерів гібридне одноразове об'єднання ознак є кращим за класичні ієрархічні пропуски з'єднання (U-Net), оскільки дозволяє уникнути артефактів інтерполяції проміжних карт ознак.

Подальша робота передбачає розширення навчання (більше ніж на 3 епохи) для дослідження впливу тривалості навчання на інтеграцію інформації про положення.

Ковтуненко Андрій Романович – аспірант кафедри Інформатики Харківського національного університету радіоелектроніки, Україна.

ORCID: <https://0009-0004-9072-7779>

Машталір Сергій Володимирович – доктор технічних наук, професор кафедри Інформатики Харківського національного університету радіоелектроніки, Україна.

ORCID: <https://orcid.org/0000-0002-0917-6622>

Kovtunenکو Andrii Romanovych – PhD student, Informatics Department. Kharkiv National University of Radio Electronics, Ukraine.

ORCID: <https://0009-0004-9072-7779>

Mashtalir Sergii Volodymyrovych – Doctor of Engineering Science, Professor, Informatics Department. Kharkiv National University of Radio Electronics, Ukraine.

ORCID: <https://orcid.org/0000-0002-0917-6622>

В.І. Бондаренко, М.В. Пшеничний, С.Д. Фатальчук

ІННОВАЦІЙНІ ПІДХОДИ ДО ОЦІНКИ ЕФЕКТИВНОСТІ ТЕХНОЛОГІЙ МАТЕРІАЛІВ

Анотація. У статті розглянуто сучасні підходи до оцінки ефективності технологій отримання та модифікації матеріалів у контексті вимог матеріалознавства та цифровізації виробництва. Обґрунтовано доцільність інтеграції структурних, фізико-механічних, технологічних, ресурсних та екологічних критеріїв у межах єдиної системи показників, побудованої за логікою «процес – структура – властивості – результативність». Запропоновано прикладний підхід до формування інтегрального показника ефективності на основі нормування різномірних критеріїв та їх зваженої згортки у єдиний безрозмірний індекс. Розглянуто можливість застосування підходу для порівняння альтернативних технологічних режимів та обґрунтування вибору оптимальних рішень з урахуванням якісних, ресурсних і екологічних параметрів.

Ключові слова: інтегральний показник ефективності, технології матеріалів, матеріалознавство, нормування критеріїв, структурно-фазовий стан, фізико-механічні властивості, ресурсна ефективність, екологічна оцінка, цифрові моделі, вибір технологічних режимів.

Постановка проблеми. Сучасний розвиток матеріалознавства характеризується активним впровадженням адитивних технологій, наноструктурування, лазерної та плазмової обробки, комбінованих термомеханічних процесів. Розширення номенклатури функціональних і конструкційних матеріалів із заданими властивостями зумовлює необхідність удосконалення підходів до оцінки ефективності технологій їх отримання.

Традиційна оцінка ґрунтується на аналізі механічних характеристик, довговічності, енергоємності та собівартості. Проте за умов цифровізації виробництва та інтеграції інтелектуальних систем керування такі підходи є недостатніми, оскільки не враховують багаторівневу взаємодію між технологічними режимами та структурно-фазовим станом матеріалу.

Актуальною є проблема формування комплексної, мультикритеріальної системи оцінки ефективності, що поєднує структурно-чутливі параметри, експлуатаційні характеристики, ресурсозбереження, екологічні аспекти та можливість масштабування процесу. Недостатня розробленість інтегральних методик і обмеженість традиційних емпіричних моделей ускладнюють оптимізацію технологічних рішень.

Отже, виникає необхідність розроблення інноваційних підходів до оцінки ефективності технологій матеріалів на основі поєднання експериментальних методів, цифрового моделювання та інтелектуальної обробки даних.

Аналіз останніх досліджень і публікацій. У сучасному науковому дискурсі оцінка ефективності технологій матеріалів розглядається на перетині матеріалознавства, інженерної оптимізації, економічного аналізу та багатокритеріальних методів прийняття рішень. Ускладнення виробничих процесів і поширення адитивних технологій актуалізують потребу інтеграції технічних, ресурсних та екологічних критеріїв у межах єдиної аналітичної моделі.

У роботі О. Шарко, Д. Степанчикова, А. Шарко, А. Яненко та П. Мовчана [1] обґрунтовано доцільність застосування багатокритеріального аналізу для дослідження термодинамічних процесів, що підтверджує ефективність інтегральних підходів у складних технічних системах. Системний техніко-економічний аналіз адитивних, субтрактивних і гібридних технологій представлено I. Vrublevskiy, V. Stupnytskyu та X. She [2], які підкреслюють необхідність комплексної оцінки виробничих альтернатив.

Огляд MCDM-методів у промисловості здійснено Т. Avramova [3], де систематизовано можливості інтеграції якісних і кількісних критеріїв. Економічні аспекти адитивного виробництва узагальнено А. Rintala [4], який акцентує на поєднанні технічних і фінансових показників. Екологічну складову оцінювання розкрито у роботах М. Porowicz та співавт. [5] і S. Kokare, J. P. Oliveira та R. Godina [6], де проаналізовано LCA-підхід та вплив виробничих процесів у межах життєвого циклу.

Методика вибору матеріалів з урахуванням якості, екологічних і вартісних параметрів представлена А. Rasana та D. Siwies [7], що демонструє можливість інтеграції різнорідних критеріїв у межах багатокритеріальної моделі. У систематичному огляді J. Kozłowska [8] узагальнено підходи до оцінки технологій з позицій управлінських і ресурсних факторів. Праця М. Junaid та співавт. [9] підтверджує ефективність MCDM-підходів у виборі матеріалів для адитивного виробництва з урахуванням міцності, вартості та надійності.

Таким чином, наявні дослідження охоплюють технічні, економічні, екологічні та багатокритеріальні аспекти оцінювання технологій. Водночас більшість робіт зосереджена на окремих складових, тоді як інтегрована матеріалознавча модель, що поєднує технологічні режими, структурні параметри та експлуатаційні властивості у межах єдиного критеріального інструментарію, потребує подальшого узагальнення.

Метою статті є розроблення прикладного підходу до оцінки ефективності технологій матеріалів, який забезпечує обґрунтований вибір технологічних режимів та підвищення результативності виробництва на основі систематизації показників якості, ресурсної та економічної доцільності.

Виклад основного матеріалу. Оцінка ефективності технологій отримання та модифікації матеріалів є ключовим етапом обґрунтування їх доцільності у виробничих умовах. Вибір технологічного процесу визначається не лише досягнутим рівнем фізико-механічних та експлуатаційних властивостей матеріалу, але й стабільністю структу-

рно-фазового стану, ресурсною доцільністю, енергоємністю та можливістю масштабування. У сучасних умовах інтенсифікації виробництва та впровадження цифрових рішень постає необхідність системного підходу до оцінювання результативності технологічних процесів, що зумовлює звернення до аналізу наявних методичних підходів і критеріїв оцінки їх ефективності.

З огляду на багатофакторний характер формування властивостей матеріалів та різнорівневу природу показників ефективності, оцінювання технологій не може обмежуватися використанням окремих ізольованих критеріїв. У практиці матеріалознавчих досліджень сформувалися різні підходи до аналізу результативності технологічних процесів, які акцентують увагу на окремих аспектах - режимах оброблення, структурно-фазових змінах, функціональних характеристиках, ресурсній або екологічній доцільності. Водночас їх фрагментарне застосування ускладнює формування цілісного уявлення про реальну ефективність технології. У зв'язку з цим доцільним є систематизований розгляд сучасних підходів до оцінки ефективності технологій матеріалів, що дозволяє визначити їхні можливості, обмеження та напрями подальшої інтеграції, як узагальнено у таблиці 1.

Таблиця 1

Систематизація сучасних підходів до комплексної оцінки ефективності технологій матеріалів

Група підходів	Основні критерії оцінювання	Переваги	Обмеження	Доцільність застосування
Процесно-технологічні	Температурно-силові режими; швидкість охолодження; енергетична інтенсивність; стабільність параметрів; повторюваність процесу	Дозволяють керувати формуванням структури; забезпечують відтвореність результатів	Не дають повної інформації про внутрішню структурну організацію матеріалу	Оптимізація режимів синтезу, оброблення, адитивного формування
Структурно-фазові (мікро- та мезорівень)	Фазовий склад; розмір зерна; пористість; дефектність; текстура; залишкові напруження	Безпосередньо відображають механізми формування властивостей; забезпечують наукове обґрунтування вибору технології	Потребують складної аналітичної бази; інтеграція з економічними критеріями ускладнена	Розроблення нових матеріалів; порівняння технологічних маршрутів; верифікація інноваційних рішень
Функціонально-експлуатаційні	Міцність; твердість; зносостійкість; тріщиностійкість; корозійна стійкість; довговічність	Орієнтація на кінцевий результат застосування; забезпечують відповідність технічним вимогам	Не розкривають механізмів формування властивостей; можуть маскувати структурні дефекти	Сертифікація матеріалів; вибір матеріалу для конкретних умов експлуатації

Ресурсно-енергетичні та економічні	Матеріалосмність; питомі енерговитрати; коефіцієнт використання матеріалу; виробнича собівартість	Дають оцінку технологічної доцільності та конкурентоспроможності	Не враховують структурну якість та довговічність матеріалу	Порівняння альтернативних технологій; впровадження у виробництво
Життєвий цикл та екологічна ефективність (LCA-підхід)	Вуглецевий слід; сукупне енергоспоживання; екотоксичність; вплив на довкілля протягом життєвого циклу	Комплексне охоплення всіх стадій існування матеріалу; підтримка принципів сталого розвитку	Висока трудомісткість збору даних; невизначеність інвентаризаційної інформації	Оцінка сталості інноваційних технологій; екологічне обґрунтування впровадження
Інтегровані цифрово-аналітичні (моделювання та MCDM)	Комплексні індекси ефективності; прогнозування властивостей; вагові коефіцієнти критеріїв; цифрові моделі «процес–структура–властивості»	Забезпечують системний підхід; дозволяють ранжувати альтернативи; підтримують прийняття обґрунтованих рішень	Потребують коректної методики нормування та визначення ваг; залежать від достовірності вихідних даних	Розроблення інтегрального показника ефективності; стратегічний вибір інноваційної технології

Джерело: узагальнено та систематизовано автором на основі [1], [2], [3], [4], [5], [6].

Аналіз представлених підходів свідчить, що сучасна оцінка ефективності технологій матеріалів має ґрунтуватися не на ізольованому порівнянні окремих показників, а на інтеграції різнорівневих критеріїв у межах єдиної концептуальної моделі. З позицій матеріалознавства визначальним є врахування причинно-наслідкових зв'язків між технологічними режимами, еволюцією структури та формуванням експлуатаційних властивостей, що у поєднанні з ресурсними та екологічними параметрами формує реальну результативність процесу. Інноваційність сучасних підходів полягає у переході від постфактум оцінювання до прогнозно-аналітичних моделей, які дозволяють ще на етапі проектування технології передбачити її структурну стабільність, функціональну надійність та економічну доцільність. Такий системний підхід створює передумови для розроблення інтегрального критеріального інструментарію, здатного забезпечити обґрунтований вибір технологічних рішень в умовах цифровізації виробництва та зростання вимог до сталого розвитку.

Сучасні дослідження у сфері матеріалознавства акцентують на необхідності комплексного врахування якісних, екологічних та економічних аспектів при оцінці матеріалів і технологій їх формування [7; 8; 9]. З огляду на це систему показників доцільно структурувати за логікою «процес – структура – властивості – результативність». До структурних критеріїв належать показники фазового складу, мікроструктури та дефектності; фізико-механічні критерії відображають рівень міцності, зносостійкості й дов-

говічності; технологічні характеризують стабільність режимів і керованість процесу; ресурсні – матеріало- та енергоємність і економічну доцільність; екологічні – вплив на довкілля в межах життєвого циклу. Такий поділ забезпечує узгодженість між внутрішніми характеристиками матеріалу та вимогами сталого виробництва, створюючи основу для подальшого інтегрування показників у єдиний індекс ефективності.

З метою забезпечення коректності подальшої інтеграції показників доцільним є обґрунтування принципів їх відбору та узгодження. Включення критеріїв до системи оцінювання має здійснюватися з урахуванням їхньої інформативності, чутливості до зміни технологічних параметрів та взаємозв'язку із кінцевими експлуатаційними властивостями матеріалу. При цьому важливо уникнути дублювання показників, що відображають тотожні структурні або функціональні характеристики.

Оскільки різні групи критеріїв мають неоднорідну розмірність та різний масштаб варіації, виникає необхідність їх нормування та приведення до безрозмірного вигляду. Це забезпечує можливість подальшого інтегрування показників у межах єдиного оціночного індексу та мінімізує вплив різниці одиниць вимірювання на підсумковий результат. У цьому контексті доцільним є застосування процедур лінійного нормування або відносного масштабування з урахуванням граничних та цільових значень показників.

Запропонована система критеріїв створює передумови для формування інтегрального показника ефективності технології, який дозволяє здійснювати кількісне порівняння альтернативних технологічних рішень. Алгоритм оцінювання базується на поетапній процедурі нормування показників, визначенні їх вагомості та розрахунку узагальненого індексу ефективності.

Подальше агрегування нормованих показників доцільно здійснювати на основі інтегрального індексу ефективності, який забезпечує узгоджене врахування різнорідних критеріїв у межах єдиної кількісної шкали. З огляду на прикладний характер дослідження та необхідність забезпечення прозорості розрахунків, інтегральний показник доцільно визначати методом зваженої згортки нормованих критеріїв.

Інтегральний показник ефективності технології $I_{\{e\phi\}}$ визначається як зважена сума нормованих значень критеріїв:

$$I_{\{e\phi\}} = \sum_{j=1}^m w_j x_j$$

де x_j - безрозмірне нормоване значення j -го критерію ($0 \leq x_j \leq 1$); w_j - ваговий коефіцієнт критерію; m — загальна кількість критеріїв; $\sum w_j = 1$.

Нормування показників здійснюється залежно від характеру їх впливу на результативність технології. Для критеріїв, зростання яких підвищує ефективність (міцність, твердість, зносостійкість), використовується відносне масштабування за принципом «більше - краще». Для показників витратного характеру (енергоємність, собівартість, вуглецевий слід) застосовується зворотнє нормування за принципом «менше - краще». Такий підхід забезпечує приведення всіх критеріїв до єдиної безрозмірної шкали та дозволяє коректно їх агрегувати.

З метою збереження матеріалознавчої логіки доцільним є групування критеріїв за п'ятьма блоками: структурні, фізико-механічні, технологічні, ресурсні та екологічні. На першому етапі визначаються часткові індекси для кожної групи, після чого здійснюється їх інтегрування у загальний показник ефективності. Вагові коефіцієнти можуть встановлюватися рівномірно або з урахуванням пріоритетності структурно-фазових та функціональних характеристик, що відповідає концепції «процес - структура - властивості - результативність».

Запропонований підхід дозволяє забезпечити кількісне порівняння альтернативних технологічних рішень без ускладнення математичного апарату та зберегти прикладну спрямованість оцінювання.

З метою демонстрації працездатності запропонованого методичного підходу розглянемо умовну ситуацію вибору між двома альтернативними технологічними режимами оброблення металевого матеріалу: режимом А та режимом Б.

Обидві технології забезпечують формування необхідних механічних характеристик, проте відрізняються за рівнем енергоємності, стабільності структурних параметрів та екологічного впливу.

Для оцінювання були використані такі групи критеріїв:

- структурні (розмір зерна, однорідність мікроструктури);
- фізико-механічні (міцність, твердість);
- технологічні (стабільність температурного режиму);
- ресурсні (питомі енерговитрати);
- екологічні (вуглецевий слід процесу).

Після нормування показників за принципами «більше - краще» та «менше - краще» було розраховано інтегральний показник ефективності для кожного режиму.

Отримані результати показали, що за умови однакової міцності режим Б демонструє вищий інтегральний показник за рахунок зниження енергоємності та кращих екологічних параметрів. Це підтверджує доцільність застосування інтегрального індексу для виявлення прихованих переваг технологічних альтернатив.

Запропонований методичний підхід до інтегральної оцінки ефективності технологій матеріалів може бути використаний у виробничому середовищі як інструмент підтримки прийняття інженерних і управлінських рішень. Його застосування доцільне на етапах вибору технологічного маршруту, модернізації виробничих процесів, порівняння альтернативних режимів оброблення та обґрунтування інвестицій у нове обладнання.

Практична реалізація підходу не потребує складного математичного апарату та може здійснюватися на основі наявних виробничих даних. Нормування показників і розрахунок інтегрального індексу можуть виконуватися засобами табличних процесорів або інтегруватися в системи автоматизованого керування виробництвом (MES, ERP). Це створює передумови для цифровізації процедури оцінювання та формування бази даних для подальшого аналізу ефективності технологічних рішень.

Застосування інтегрального показника дозволяє підвищити обґрунтованість вибору технології за рахунок одночасного врахування структурних, функціональних, ресурсних та екологічних параметрів. Очікуваний економічний ефект може проявлятися у зниженні енерговитрат, оптимізації матеріалоемності, скороченні браку та підвищенні конкурентоспроможності продукції. Технологічний ефект полягає у підвищенні стабільності структурно-фазового стану матеріалу та покращенні довговічності виробів.

Таким чином, запропонований підхід може бути рекомендований як універсальний інструмент комплексної оцінки ефективності технологій матеріалів у контексті сучасних вимог цифровізації та сталого розвитку виробництва.

Висновки. Узагальнення сучасних підходів до оцінки ефективності технологій матеріалів свідчить про необхідність переходу від ізольованого аналізу окремих показників до комплексного врахування структурних, функціональних, ресурсних та екологічних критеріїв. Системне поєднання цих параметрів у межах єдиної концептуальної моделі дозволяє забезпечити узгодженість між технологічними режимами, еволюцією структури та формуванням експлуатаційних властивостей матеріалу.

Структурування показників за логікою «процес – структура – властивості - результативність» створює основу для кількісного порівняння альтернативних технологічних рішень та збереження матеріалознавчої причинно-наслідкової моделі формування властивостей.

Інтегральний підхід до оцінювання забезпечує приведення різномірних критеріїв до єдиної безрозмірної шкали, що підвищує прозорість прийняття інженерних рішень і дозволяє враховувати не лише рівень фізико-механічних характеристик, а й ресурсну та екологічну доцільність технології.

Комплексна оцінка ефективності технологій матеріалів у поєднанні з можливостями цифрової обробки даних створює передумови для підвищення стабільності технологічних процесів, оптимізації енерговитрат і зміцнення конкурентоспроможності продукції в умовах сучасного виробництва.

ЛІТЕРАТУРА

1. Шарко О., Степанчиков Д., Шарко А., Яненко А., Мовчан П. Застосування багатокритеріального аналізу при дослідженні термодинамічних процесів у судноремонті та транспортній інфраструктурі. *Науковий вісник Херсонської державної морської академії*. 2024. № 1 (28). С. 117–132. DOI: 10.33815/2313-4763.2024.1.28.117-132.
2. Vrublevskiy I., Stupnytskyu V., She X. Technical and economic analysis of the alternative application of additive, subtractive, and hybrid technologies for the manufacture of complex-profile mechanical engineering products: systematic review. *Ukrainian Journal of Mechanical Engineering and Materials Science*. 2025. Vol. 11. №. 4. P. 83–96. DOI: <https://doi.org/10.23939/ujmems2025.04.083>.
3. Avramova T. Overview of Existing Multi-Criteria Decision-Making (MCDM) Methods Used in Industrial Environments. *Technologies*. 2025. Vol. 13. P. 1–36. DOI: <https://doi.org/10.3390/technologies13040444>.

4. Rintala A. Estimating the economic feasibility of additive manufacturing: a systematic literature review. *Rapid Prototyping Journal*. 2025. Vol. 31. №. 11. P. 301–319. DOI: 10.1108/RPJ-08-2024-0340.
5. Popowicz M., Katzer N. J., Kettele M., Schöggel J.-P., Baumgartner R. J. Digital technologies for life cycle assessment: a review and integrated combination framework. *The International Journal of Life Cycle Assessment*. 2025. Vol. 30. P. 405–428. DOI: <https://doi.org/10.1007/s11367-024-02409-4>.
6. Kokare S., Oliveira J. P., Godina R. Life cycle assessment of additive manufacturing processes: a review. *Journal of Manufacturing Systems*. 2023. Vol. 68. P. 536–559. DOI: <https://doi.org/10.1016/j.jmsy.2023.05.007>.
7. Pacana A., Siwiec D. Method of Material Selection Considering Quality, Environmental, and Cost Aspects. *Materials*. 2025. Vol. 18. P. 1–23. DOI: <https://doi.org/10.3390/ma18184324>.
8. Kozłowska J. Methods of multi-criteria analysis in technology selection and technology assessment: a systematic literature review. *Engineering Management in Production and Services*. 2022. Vol. 14. №. 2. P. 116–137. DOI: <https://doi.org/10.2478/emj-2022-0021>.
9. Junaid M., Khaleeq uz Zaman U., Naseem A., Ahmad Y., Bin Aqeel A. Material selection in additive manufacturing for aerospace applications using multi-criteria decision making. *MATEC Web of Conferences*. 2024. Vol. 398. P. 1–19. DOI: <https://doi.org/10.1051/mateconf/202439801012>.

REFERENCES

1. Sharko, O., Stepanchykov, D., Sharko, A., Yanenko, A., & Movchan, P. (2024). Zastosuvannya bahatokryterialnoho analizu pry doslidzhenni termodynamichnykh protsesiv u sudnoremonti ta transportnii infrastrukturi [Application of multi-criteria analysis in the study of thermodynamic processes in ship repair and transport infrastructure]. *Naukovyi visnyk Khergonskoi derzhavnoi morskoi akademii* [Scientific Bulletin of Kherson State Maritime Academy], № 1 (28), pp. 117–132. DOI: <https://doi.org/10.33815/2313-4763.2024.1.28.117-132> [in Ukrainian].
2. Vrublevskiy, I., Stupnytskyi, V., & She, X. (2025). Technical and economic analysis of the alternative application of additive, subtractive, and hybrid technologies for the manufacture of complex-profile mechanical engineering products: Systematic review. *Ukrainian Journal of Mechanical Engineering and Materials Science*, Vol. 11, № 4, pp. 83–96. DOI: <https://doi.org/10.23939/ujmeme2025.04.083>.
3. Avramova, T. (2025). Overview of existing multi-criteria decision-making (MCDM) methods used in industrial environments. *Technologies*, Vol. 13, pp. 1–36. DOI: <https://doi.org/10.3390/technologies13040444>.
4. Rintala, A. (2025). Estimating the economic feasibility of additive manufacturing: A systematic literature review. *Rapid Prototyping Journal*, Vol. 31, № 11, pp. 301–319. DOI: <https://doi.org/10.1108/RPJ-08-2024-0340>.

5. Popowicz, M., Katzer, N. J., Kettele, M., Schöggel, J.-P., & Baumgartner, R. J. (2025). Digital technologies for life cycle assessment: A review and integrated combination framework. *The International Journal of Life Cycle Assessment*, Vol. 30, pp. 405–428. DOI: <https://doi.org/10.1007/s11367-024-02409-4>.
6. Kokare, S., Oliveira, J. P., & Godina, R. (2023). Life cycle assessment of additive manufacturing processes: A review. *Journal of Manufacturing Systems*, Vol. 68, pp. 536–559. DOI: <https://doi.org/10.1016/j.jmsy.2023.05.007>.
7. Pacana, A., & Siwec, D. (2025). Method of material selection considering quality, environmental, and cost aspects. *Materials*, Vol. 18, pp. 1–23. DOI: <https://doi.org/10.3390/ma18184324>.
8. Kozłowska, J. (2022). Methods of multi-criteria analysis in technology selection and technology assessment: A systematic literature review. *Engineering Management in Production and Services*, Vol. 14, № 2, pp. 116–137. DOI: <https://doi.org/10.2478/emj-2022-0021>.
9. Junaid, M., Khaleeq uz Zaman, U., Naseem, A., Ahmad, Y., & Bin Aqeel, A. (2024). Material selection in additive manufacturing for aerospace applications using multi-criteria decision making. *MATEC Web of Conferences*, Vol. 398, pp. 1–19. DOI: <https://doi.org/10.1051/mateconf/202439801012>.

Received 09.02.2026
Accepted 13.02.2026
Published 31.03.2026

Innovative approaches to assessing the efficiency of material technologies

The article addresses the problem of comprehensive efficiency assessment of material production and modification technologies in modern manufacturing conditions. The increasing complexity of technological processes, the expansion of additive and hybrid manufacturing, and the growing requirements for sustainable development necessitate the integration of technical, economic, resource, and environmental criteria within a unified analytical framework. The purpose of the study is to develop an applied approach to evaluating the efficiency of material technologies that ensures a well-grounded selection of technological regimes and improves production performance through the systematization and integration of heterogeneous indicators.

The paper systematizes contemporary methodological approaches to technology assessment, including process-oriented, structural-phase, functional-operational, resource-economic, life cycle (LCA), and multi-criteria decision-making (MCDM) methods. Based on the concept “process – structure – properties – performance,” a structured system of criteria is proposed, grouped into structural, physical-mechanical, technological, resource, and environmental blocks. To enable quantitative comparison of alternative technological solutions, the study introduces an integral efficiency index calculated as a weighted sum of normalized criteria.

The applicability of the proposed approach is demonstrated through a comparative evaluation of alternative processing regimes, illustrating how the integral index reveals hidden advantages associated with reduced energy consumption and improved environmental performance. The developed methodological framework can be implemented in industrial practice as a decision-support tool and integrated into digital production management sys-

tems. The approach contributes to enhancing the transparency, consistency, and economic justification of technological choice in the context of digitalization and sustainable manufacturing.

Keywords: integral efficiency index, material technologies, materials science, criteria normalization, structural-phase state, physical and mechanical properties, resource efficiency, environmental assessment, digital models, selection of technological regimes.

Бондаренко Володимир Іванович - доктор педагогічних наук, професор, завідувач кафедри теорії і практики технологічної та професійної освіти, Державний вищий навчальний заклад «Донбаський державний педагогічний університет».

ORCID: <https://orcid.org/0000-0003-0495-9756>

Пшеничний Максим Володимирович - кандидат педагогічних наук, доцент кафедри теорії і практики технологічної та професійної освіти, Державний вищий навчальний заклад «Донбаський державний педагогічний університет».

ORCID: <https://orcid.org/0000-0002-6019-5116>

Фатальчук Сергій Дмитрович - кандидат педагогічних наук, доцент кафедри педагогіки вищої школи, Державний вищий навчальний заклад «Донбаський державний педагогічний університет».

ORCID: <https://orcid.org/0009-0002-9815-8801>

Bondarenko Volodymyr Ivanovych - Doctor of Pedagogical Sciences, Associate Professor, Head of the Department Theory and Practice of Technological and Vocational Education, State Higher Educational Institution «Donbass State Pedagogical University».

ORCID: <https://orcid.org/0000-0003-0495-9756>

Pshenychnyi Maksym Volodymyrovych - Candidate of Pedagogical Sciences, Senior Lecturer of the Department of Theory and Practice of Technological and Professional Education, State Higher Educational Institution «Donbass State Pedagogical University».

ORCID: <https://orcid.org/0000-0002-6019-5116>

Fatalchuk Serhii Dmytrovich - Ph.D. in Pedagogy, Associate Professor of the Department of Higher Education Pedagogy, State Higher Educational Institution «Donbass State Pedagogical University».

ORCID: <https://orcid.org/0009-0002-9815-8801>

О.О. Гейко, І.А. Варава, Г.С. Пуха, В.В. Дембіцький, А.В. Вдовина
**МЕТОД ВАЛІДАЦІЇ ЧИСЕЛЬНИХ МОДЕЛЕЙ
ПОШИРЕННЯ ГІДРОАКУСТИЧНИХ ХВИЛЬ
З УЗГОДЖЕННЯМ ЧАСТОТ ДИСКРЕТИЗАЦІЇ ТА СПЕКТРАЛЬНОЇ ОЦІНКИ**

Анотація. У роботі запропоновано метод валідації гідроакустичних чисельних моделей за даними натурних вимірювань, орієнтований на автоматизоване порівняння сигналів з різними частотами дискретизації. Метод включає вибір цільової частоти з кратністю до степеня двійки для коректного застосування FFT, ціло- та дробовий ресемплінг з антиаліасинговою FIR-фільтрацією, спектральне перетворення із вікном Блекмана та виділення амплітуди на частоті випромінювача. Перед оцінюванням виконуються перевірки коректності налаштувань FDTD (просторова роздільна здатність, умова CFL, наявність вираженого піку та фазова узгодженість). Якість моделі оцінюється за абсолютним відхиленням, відносним коефіцієнтом та метрикою MSE на нормованих рядах амплітуд. Серія експериментів показала, що виділення цільової частоти зменшує вплив широкосмугового шуму і забезпечує стійкішу та інформативнішу оцінку узгодженості моделі з натурними даними.

Ключові слова: гідроакустика; валідація моделей; ресемплінг; FIR-фільтрація; FFT; FDTD; MSE; обробка сигналів.

Постановка проблеми. У сучасних програмно-апаратних комплексах, які функціонують у складних фізичних середовищах, математичні моделі виступають ключовим інструментом для аналізу та прогнозування хвильових процесів. Надійність таких систем безпосередньо залежить від точності використаних чисельних методів. Проте, жодна модель не є ідеальною, що зумовлює необхідність її ретельної валідації на основі даних натурних експериментів.

Однією з основних проблем при валідації є те, що безпосереднє порівняння «сирих» вихідних даних моделі з даними натурних вимірювань є технічно неможливим. Це зумовлено неузгодженістю природи дискретизації: гідроакустичні станції отримують сигнал із фіксованою апаратною частотою, тоді як математична модель генерує дані з частотою, що залежить від обраного часового кроку моделювання, який жорстко обмежується параметрами розрахункової сітки та фізичними властивостями середовища. Оскільки масиви даних моделі та сенсора мають різну кількість відліків на одиницю часу, спроба їх прямого накладання у часовій області є математично некоректною і призводить до хибних висновків. Це породжує науково-прикладну задачу розробки спеціалізованих методів підготовки даних, які б дозволили автоматизувати процес оцінки якості без втрати фізичного змісту сигналів.

Аналіз останніх досліджень і публікацій. Попри наявність ґрунтовної теоретичної бази, існує певний розрив між класичними методами DSP та специфічними вимогами до автоматизованої валідації гідроакустичних моделей. Більшість існуючих підходів розглядають обробку сигналів та моделювання як окремі процеси, не пропонуючи єдиного алгоритмічного рішення для порівняння різночастотних рядів з урахуванням метрик точності (MSE) та апаратних ресурсів. Невирішеною залишається проблема побудови уніфікованого методу, який би поєднував адаптивний ресемплінг, спектральну селекцію та статистичну оцінку в рамках єдиного програмного комплексу.

Мета дослідження. Мета дослідження полягає у розробці та обґрунтуванні методу валідації математичних моделей розповсюдження акустичних хвиль, який дозволяє вирішити проблем у несумісності «сирих» даних шляхом узгодження частот дискретизації між чисельною моделлю та даними натурних вимірювань.

Викладення основного матеріалу дослідження. Однією з основних проблем при валідації чисельних моделей за даними натурних експериментів є розбіжність частот дискретизації. Гідроакустичні станції отримують сигнал із фіксованою частотою, тоді як модель генерує дані з частотою, що залежить від обраного часового кроку моделювання, який обмежується параметрами сітки та фізичними властивостями середовища.

Оскільки масиви даних моделі та сенсора мають різну кількість відліків на одиницю часу, їх безпосереднє порівняння є математично некоректним. Саме тому першим кроком алгоритму є процедура ресемплінгу.

Головною умовою для коректного розрахунку є кратність цільової частоти, тобто щоб довжина вибірки N , що відповідає F_{out} , була степенем двійки. Це також є необхідною умовою для ефективного використання алгоритму швидкого перетворення Фур'є (FFT – Fast Fourier Transform). Сам алгоритм пошуку цільової частоти F_{out} відбувається в два етапи:

- 1) Встановлюється початкове значення $F_{out} = 1$ Гц.
- 2) Виконується ітераційний пошук (1):

$$\text{поки } F_{out} < F_S, F_{out} = F_{out} \times 2, \quad (1)$$

де F_S - корисна частота дискретизації (частота випромінювача) (Гц).

Наступний крок – інтерполяція та децимація.

Децимація - зменшення частоти дискретизації дискретного в часі сигналу шляхом проріджування його відліків.

Інтерполяція - спосіб знаходження проміжних значень величини за наявним дискретним набором відомих значень.

Після фіксації F_{out} аналізується співвідношення з вхідною частотою F_{inp} (2). Якщо $F_{inp} \% F_{out} = 0$, то застосовується цілочисельна децимація. Коефіцієнт прорідження[1]:

$$m = F_{inp} / F_{out}, \quad (2)$$

де F_{inp} – частота дискретизації вхідного сигналу (Гц), F_{out} – вихідна частота (Гц).

Сигнал формується шляхом вибору кожного m -го елементу масиву (3):

$$Out[i] = Inp[i \times m], \quad (3)$$

Якщо ж частоти не кратні, тобто

$$F_{inp} \% F_{out} \neq 0,$$

то застосовується дробовий ресемплінг (4). Розраховуються коефіцієнти інтерполяції та децимації [2], такі, що:

$$\frac{F_{inp} \times interp}{decim} = F_{out}, \quad (4)$$

де $interp$ та $decim$ – коефіцієнти інтерполяції та децимації відповідно.

За допомогою описаного вище підходу можна уникнути значних похибок дискретизації при переході між несумісними частотами.

З метою усунення ефекту аліасингу (накладання або нечіткість різних безперервних сигналів при їхній дискретизації), перед зниженням частоти обов'язковою умовою є низькочастотна фільтрація. У даній роботі запропоновано об'єднати процес фільтрації з процесом вибірки, тобто замість повного розрахунку згладження для проміжного масиву обчислення виконуються лише для тих точок, які потрапляють у вихідний масив F_{out} . Формула розрахунку значень вихідного сигналу [3] з використанням FIR-фільтра $h[k]$ має вигляд (5):

$$y[n] = \sum_{k=0}^{N-1} h[k] \times X_L[n \times m - k], \quad (5)$$

де N – довжина фільтра, $h[k]$ – коефіцієнти FIR-фільтра, X_L – інтерпольований вхідний сигнал, m – коефіцієнт децимації, k – зсув.

Застосування такого підходу розраховане на зменшення кількості математичних операцій, оскільки виключає обробку даних, що будуть відкинуті після децимації.

Завершальним кроком підготовки даних є перехід від часової області до частотної. Оскільки попередні кроки (1.1–1.3) гарантували, що довжина вихідного масиву N є степенем двійки, застосовується алгоритм швидкого перетворення Фур'є (Fast Fourier Transform).

Перед виконанням спектрального перетворення, для мінімізації ефекту розтікання енергії спектра (spectral leakage), що виникає через скінченність часової вибірки та розриви на її краях, до сигналу застосовується вагова віконна функція. У роботі використано вікно Блекмана (Blackman window) (7), яке забезпечує ефективне придушення бічних пелюсток спектра порівняно з прямокутним вікном. Математично ця операція описується множенням вхідного масиву на вагові коефіцієнти (6):

$$y_w[n] = y_m[n] \times w[n], \quad (6)$$

де функція вікна Блекмана визначається як:

$$w[n] = 0.42 - 0.5 \cos\left(\frac{2\pi n}{N-1}\right) + 0.8 \cos\left(\frac{4\pi n}{N-1}\right). \quad (7)$$

Математична модель для отримання спектру [4] $X(f)$ з підготовленого дискретного сигналу $y_m[n]$ довжиною N має вигляд (8):

$$X(f) = \sum_{n=0}^{N-1} y_m[n] e^{-j2\pi f n / N}, \quad (8)$$

де $y_m[n]$ – вхідний сигнал в поточний момент часу.

Результатом перетворення є комплексний спектр. Для цілей валідації нас цікавить не весь спектр, а лише амплітуда корисного сигналу на частоті випромінювача F_S .

Амплітуда (9) визначається за найближчим дискретним відліком частоти або з використанням інтерполяції спектра.

$$A(F_S' t) = |X(F_S' t)|. \quad (9)$$

Це дозволяє отримати чіткі числові ряди амплітуд A_{model} та A_{real} , очищені від спектральних компонент на інших частотах. Отримані значення формують вхідний набір даних для етапу валідації.

Проведемо порівняння даних та зробимо оцінку якості моделі.

Перед порівнянням амплітуд алгоритм виконує перевірку на коректність налаштувань моделі FDTD (Finite-Difference Time-Domain). Якщо просторова сітка моделі занадто груба, отримана амплітуда на цільовій частоті буде містити лише числову дисперсію ("шум"), а не корисний сигнал.

Алгоритм перевіряє співвідношення довжини хвилі до кроку сітки Δx . Довжина хвилі (10) розраховується як:

$$\lambda = \frac{c}{f}, \quad (10)$$

де c – швидкість звуку у середовищі (м/с), а f – цільова частота (Гц).

Згідно з теорією моделювання [5], для коректного відтворення хвилі сітка повинна мати мінімум 6–10 вузлів на довжину хвилі:

$$\frac{\lambda}{\Delta x} \geq 6 \dots 10.$$

Якщо ця умова не виконується (наприклад, крок сітки 10 м при довжині хвилі 40 м дає лише 4 точки), то результат моделювання визнається недостовірним ще до етапу порівняння.

Окрім просторової роздільної здатності, критичним є крок у часі Δt . Алгоритм перевіряє виконання умови Куранта-Фрідрікса-Леві (CFL) [6], яка для n -вимірного випадку має вигляд (11):

$$c = \Delta t \sum_{i=1}^n \frac{U_{x_i}}{\Delta x_i} \leq c_{max}, \quad (11)$$

де Δt – крок за часом (с), U_{x_i} – швидкість хвилі вздовж i -ої осі (м/с), Δx_i – крок просторової сітки, c_{max} – умова стабільності.

А для випадку тривимірного простору це рівняння набуває вигляду (12):

$$\Delta t \leq \frac{\Delta x}{c \times \sqrt{3}}, \quad (12)$$

де c – швидкість звуку (м/с).

Якщо обраний крок часу Δt більший за граничний, чисельна схема стає нестійкою, а результати моделювання — фізично некоректними.

Додатково виконується перевірка на наявність вираженого піку у спектрі. Якщо амплітуда на частоті F_S не перевищує рівень шумового порогу (шум занадто сильний або джерело занадто слабке), порівняння зупиняється, оскільки воно не має фізичного змісту.

У вимірювальному тракті або в чисельній моделі можливе віддзеркалення сигналу за знаком $x(t) \rightarrow -x(t)$. Для гармонічної складової це відповідає зсуву фази на π , тобто проти фази. Щоб не отримати хибно “добру” відповідність лише за амплітудою, перед розрахунком метрик виконується перевірка інверсії на початковому вікні довжиною K відліків.

Якщо етап попередньої перевірки пройдено успішно, тоді виконується кількісне порівняння амплітуд моделі A_{model} та сенсора A_{real} . У роботі запропоновано використовувати два типи операцій для виявлення різних класів похибок: абсолютне відхилення (шляхом віднімання) та відносний коефіцієнт (шляхом ділення). Оскільки абсолютні значення сигналів можуть мати різні одиниці виміру або масштабні коефіцієнти (наприклад, через особливості калібрування натурального датчика), критично важливою передумовою розрахунку є процедура нормалізації. Перед виконанням порівняння обидва ряди амплітуд приводяться до єдиного безрозмірного діапазону $[0..1]$.

Базова оцінка точності виконується шляхом віднімання нормованих амплітуд (13). Це показує енергетичну різницю між моделлю та реальністю:

$$\Delta E = A_{real} - A_{model}. \quad (13)$$

Графічна інтерпретація цього методу дозволяє побачити, наскільки модель завищує або занижує сигнал у кожен момент часу.

Для виявлення грубих аномалій та сингулярностей використовується операція ділення. Розраховується коефіцієнт відношення (14):

$$K = \frac{A_{real}}{A_{model}}. \quad (14)$$

Цей метод є критично важливим для виявлення ситуацій, коли модель втрачає сигнал.

Наприклад, якщо реальна амплітуда $A_{real} = 1$, а модельна $A_{model} \approx 0.0001$, то просте віднімання покаже помилку ≈ 1 . Проте операція ділення покаже $K = 10000$, що сигналізує про катастрофічну розбіжність або некоректні граничні умови (наприклад, неправильно задані поглинаючі шари PML), які повністю заглушили сигнал. На основі отриманих значень ΔE та K приймається рішення про валідність моделі.

Для кількісної оцінки якості моделі використовуються стандартні метрики, що дозволяють отримати узагальнену оцінку похибки по всій вибірці. Основним інструментом є MSE (Mean Squared Error) [7] - середньоквадратична похибка. Вона показує, наскільки в середньому відхиляються прогнозовані значення від реальних. Головною особливістю MSE (15) є те, що великі похибки мають значно більшу вагу (через піднесення до квадрату), що робить цю метрику чутливою до грубих промахів моделі.

Формула розрахунку:

$$MSE = \frac{1}{N} \sum_{n=1}^N (y[n] - \hat{y}[n])^2, \quad (15)$$

де N – кількість точок порівняння.

В рамках дослідження обраного методу було проведено 5 експериментів, де розмір модельованої акваторії становив 2000×2000 метрів, крок сітки – 2 метри, частота випромінювача – 20 Гц. Координати станцій: HAS1 – 1490;1750, HAS2 – 1500;1750.

Отримані “сірі” сигнали мали різні частоти дискретизації (модель — залежно від кроку часу, станція — апаратно фіксовану), тому пряме зіставлення у часовій області було некоректним. Для узгодження даних застосовано процедуру вибору цільової частоти дискретизації та ресемплінгу з антиаліасинговою FIR-фільтрацією. Далі виконувалося спектральне перетворення FFT (із вікном Блекмана) та виділялася амплітудна складова на цільовій частоті 20 Гц, що формувало два порівнювані ряди амплітуд — для моделі та для натурних даних.

Перед обчисленням метрик алгоритм автоматично перевіряв коректність налаштувань моделі: достатність просторової роздільної здатності (кількість вузлів на довжину хвилі), виконання умови стійкості CFL, наявність вираженого піку на частоті 20 Гц та фазову узгодженість. Це дозволяло відсікти випадки, коли отримана амплітуда є наслідком числової дисперсії або нестійкості схеми, а не фізичного сигналу.

Для оцінки узгодженості моделі з експериментом використовувалися два види порівняння на нормованих рядах амплітуд: (1) абсолютне відхилення, яке відображає систематичне завищення/заниження амплітуди моделлю у часі; (2) відносний коефіцієнт, чутливий до грубих аномалій, коли модель “втрачає” сигнал (наприклад, через некоректні граничні умови або надмірне поглинання).

Графічний опис алгоритму:

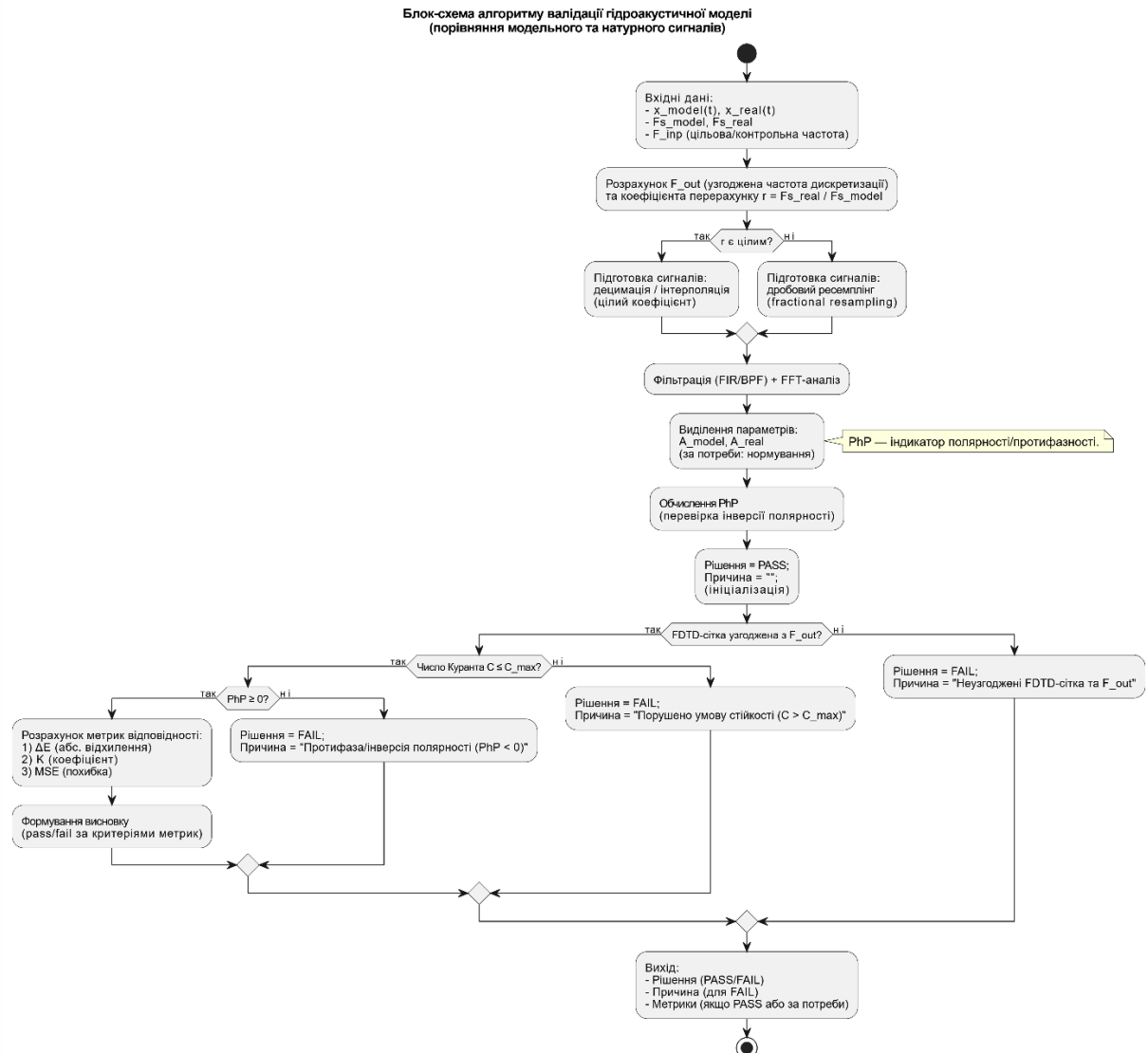


Рисунок 1 – Блок-схема алгоритму валідації гідроакустичної моделі за результатами порівняння модельного та натурального сигналів

Для кількісного зіставлення змодельованих даних і даних натурних вимірювань використано критерій середньоквадратичної похибки MSE. На рис. 2 наведено порівняння значень MSE для обох підходів у серії експериментів 1–5. Виділення цільової частоти 20 Гц зменшує вплив широкосмугового шуму натурних даних і дає більш стійку оцінку узгодженості моделі з експериментом, що проявляється у суттєво менших значеннях MSE для оброблених даних порівняно з “сирими” сигналами.

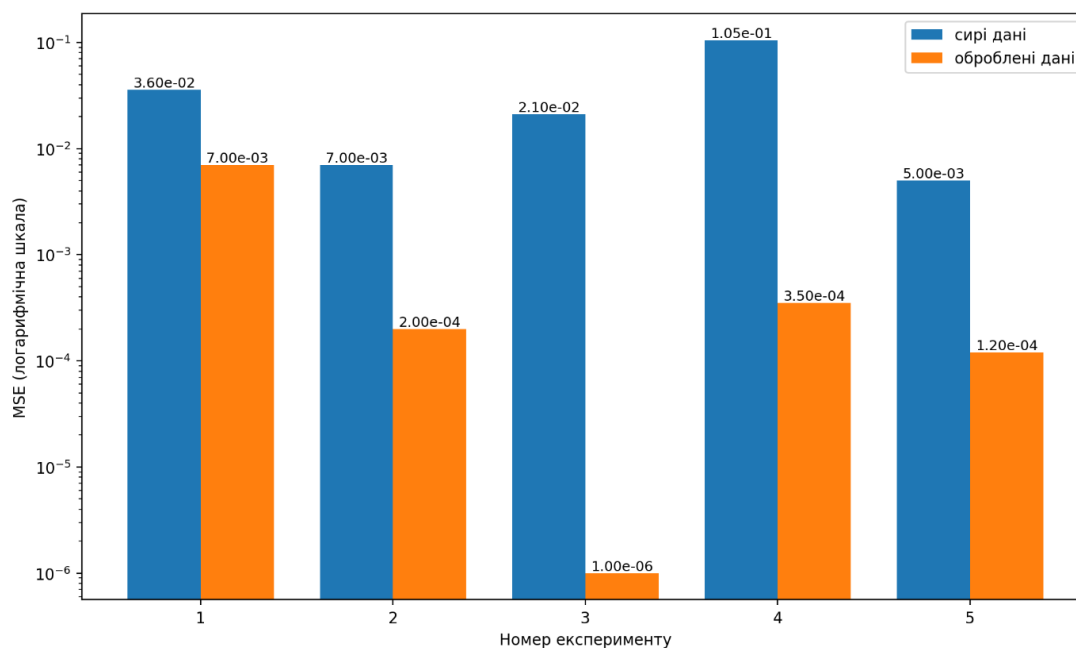


Рисунок 2 – Значення MSE для експериментів 1–5 при застосуванні методу узгодження частот дискретизації та спектрального виділення цільової частоти (ресемплінг + FIR-фільтрація + FFT + нормування)

Висновки. Запропоновано уніфікований метод валідації гідроакустичних моделей, який усуває проблему несумісності “сирих” даних моделі та натурних вимірювань шляхом узгодження частот дискретизації та переходу до порівняння у спектральній області на частоті випромінювача.

Показано, що поєднання ресемплінгу (цілого та дробового) з антиаліасинговою FIR-фільтрацією та застосуванням FFT (із вікном Блекмана) дозволяє отримати стабільні ряди амплітуд, придатні для автоматизованого зіставлення без втрати фізичного змісту сигналу.

У метод включено попередні перевірки коректності налаштувань FDTD (просторова роздільна здатність, умова стійкості CFL, наявність піку та фазова узгодженість), що зменшує ризик інтерпретації числових артефактів як фізичного результату.

За результатами серії з 5 експериментів продемонстровано, що виділення цільової частоти 20 Гц знижує вплив широкосмугового шуму натурних даних і забезпечує менші та менш варіативні значення MSE порівняно з оцінюванням на “сирих” часових реалізаціях.

Практичне застосування абсолютного відхилення та відносного коефіцієнта дозволяє розрізнити систематичні похибки моделі (завищення/заниження) та грубі аномалії (втрата сигналу), що робить метод придатним для інтеграції у програмні комплекси контролю якості моделювання. Подальші дослідження доцільно спрямувати на розширення методу на багаточастотні режими та використання додаткових метрик (RMSE, кореляція, спектральна когерентність).

ЛІТЕРАТУРА

1. Oppenheim A. V., Schafer R. W., Buck J. R. Discrete-Time Signal Processing. 2nd ed. Upper Saddle River : Prentice Hall, 1999. P. 168.
2. Antoniou A. Digital Signal Processing. New York : McGraw-Hill, 2006. P. 830.
3. Cetin A. E., Gerek O. N., Yardimci Y. Equiripple FIR filter design by the FFT algorithm // IEEE Signal Processing Magazine. – 1997. – March. – P. 60–64.
4. Vargas-Rubio J. G., Santhanam B. On the multiangle centered discrete fractional Fourier transform // IEEE Signal Processing Letters. – 2005. – Vol. 12, no. 4. – P. 273–276.
5. Joseph R. M., Taflove A. Spatial soliton deflection mechanism indicated by FDTD Maxwell's equations modeling // IEEE Photonics Technology Letters. – 1994. – Vol. 6, no. 10. – P. 1251–1254.
6. Courant R., Friedrichs K., Lewy H. On the partial difference equations of mathematical physics // IBM Journal of Research and Development. – 1967. – Vol. 11, no. 2. – P. 215–234.
7. Mean Squared Error (MSE) [Електронний ресурс] // Probability Course. – Режим доступу: <https://www.probabilitycourse.com>.
8. Analysis of multipath acoustic field variability and coherence in the finale of broadband basin-scale transmissions in the North Pacific Ocean / J.A. Colosi et al. *The Journal of the Acoustical Society of America*. 2005. Vol. 117, no. 3. P. 1538–1564.
9. Roux P., Sabra K.G., Kuperman W.A., Roux A. Ambient noise cross correlation in free space: Theoretical approach. *The Journal of the Acoustical Society of America*. 2005. Vol. 117, no. 1. P. 79–84.
10. Sabra K.G., Roux P., Kuperman W.A. Emergence of the Green's function from the cross-correlation of ambient noise in an oceanic waveguide. *The Journal of the Acoustical Society of America*. 2005. Vol. 118, no. 6. P. 3524–3531.
11. McDonald M.A., Hildebrand J.A., Wiggins S.W. Increases in deep ocean ambient noise in the Northeast Pacific west of San Nicolas Island, California. *The Journal of the Acoustical Society of America*. 2006. Vol. 120, no. 2. P. 711–718.
12. Siderius M., Harrison C.H., Porter M.B. A passive fathometer for determining bottom depth and imaging seabed layering using ambient noise. *The Journal of the Acoustical Society of America*. 2006. Vol. 120, no. 3. P. 1315–1323.

REFERENCES

1. Oppenheim, A. V., Schafer, R. W., & Buck, J. R. (1999). *Discrete-Time Signal Processing* (2nd ed.). Upper Saddle River, NJ: Prentice Hall.
2. Antoniou, A. (2006). *Digital Signal Processing*. McGraw-Hill.
3. Cetin, A. E., Gerek, O. N., & Yardimci, Y. (1997, March). Equiripple FIR filter design by the FFT algorithm. *IEEE Signal Processing Magazine*, 60–64.
4. Vargas-Rubio, J. G., & Santhanam, B. (2005). On the multiangle centered discrete fractional Fourier transform. *IEEE Signal Processing Letters*, 12(4), 273–276. <https://doi.org/10.1109/LSP.2005.843762>
5. Joseph, R. M., & Taflove, A. (1994). Spatial soliton deflection mechanism indicated by FDTD Maxwell's equations modeling. *IEEE Photonics Technology Letters*, 6(10), 1251–1254. <https://doi.org/10.1109/68.329654>

6. Courant, R., Friedrichs, K., & Lewy, H. (1967). On the partial difference equations of mathematical physics. *IBM Journal of Research and Development*, 11(2), 215–234. <https://doi.org/10.1147/rd.112.0215>
7. Mean Squared Error (MSE). (n.d.). In *Probability Course*. Retrieved September 12, 2020, from <https://www.probabilitycourse.com>
8. Colosi, J. A., Baggeroer, A. B., Cornuelle, B. D., Dzieciuch, M. A., Munk, W. H., Worcester, P. F., Dushaw, B. D., Howe, B. M., Mercer, J. A., Spindel, R. C., Birdsall, T. G., Metzger, K., & Forbes, A. M. G. (2005). Analysis of multipath acoustic field variability and coherence in the finale of broadband basin-scale transmissions in the North Pacific Ocean. *The Journal of the Acoustical Society of America*, 117(3), 1538–1564. <https://doi.org/10.1121/1.1854611>
9. Roux, P., Sabra, K. G., Kuperman, W. A., & Roux, A. (2005). Ambient noise cross correlation in free space: Theoretical approach. *The Journal of the Acoustical Society of America*, 117(1), 79–84. <https://doi.org/10.1121/1.1830673>
10. Sabra, K. G., Roux, P., & Kuperman, W. A. (2005). Emergence of the Green's function from the cross-correlation of ambient noise in an oceanic waveguide. *The Journal of the Acoustical Society of America*, 118(6), 3524–3531. <https://doi.org/10.1121/1.2109059>
11. McDonald, M. A., Hildebrand, J. A., & Wiggins, S. W. (2006). Increases in deep ocean ambient noise in the Northeast Pacific west of San Nicolas Island, California. *The Journal of the Acoustical Society of America*, 120(2), 711–718. <https://doi.org/10.1121/1.2216565>
12. Siderius, M., Harrison, C. H., & Porter, M. B. (2006). A passive fathometer for determining bottom depth and imaging seabed layering using ambient noise. *The Journal of the Acoustical Society of America*, 120(3), 1315–1323. <https://doi.org/10.1121/1.2227371>

Received 11.02.2026
Accepted 16.02.2026
Published 31.03.2026

A validation method for numerical models of hydroacoustic wave propagation using sampling-rate matching and spectral estimation

This paper proposes a practical validation method for numerical hydroacoustic wave-propagation models using field measurements in situations where the “raw” model output and the sensor recordings have different sampling rates. Such a mismatch is typical for finite-difference time-domain (FDTD) simulations: the model time step (and thus the effective sampling rate) is constrained by grid spacing and medium properties, whereas the measurement system samples with a fixed hardware rate. As a result, direct overlay and point-wise comparison in the time domain becomes mathematically incorrect and may lead to misleading conclusions. The goal of the study is to develop an automated comparison procedure that (i) consistently matches sampling rates, (ii) extracts a physically meaningful and informative signal component, and (iii) enables stable quantitative assessment of model-to-measurement agreement.

The proposed pipeline starts with selecting a target sampling rate that guarantees a power-of-two record length, which is required for efficient FFT processing and helps standardize subsequent spectral estimation. Depending on the relationship between the original and target rates, the method applies either integer decimation or fractional resampling. To prevent aliasing, resampling is combined with anti-aliasing FIR filtering; the implementation

is organized to avoid unnecessary computations for samples that would be discarded after decimation. After resampling, the signal is transferred from the time domain to the frequency domain. To reduce spectral leakage caused by finite windowing, a Blackman window is applied prior to the FFT. Instead of comparing full broadband waveforms that may be strongly affected by ambient noise, multipath interference, and sensor artifacts, the method extracts the amplitude at the known transmitter (carrier) frequency and forms comparable amplitude time series for the model and the field data.

Before computing any accuracy metrics, the algorithm performs a set of automatic correctness checks aimed at rejecting numerically unreliable configurations and non-informative comparisons. These checks include: spatial resolution adequacy (sufficient number of grid points per wavelength), verification of the CFL stability condition (Courant number), detection of a pronounced spectral peak at the target frequency, and polarity/anti-phase detection based on the sign of the zero-lag correlation to avoid falsely “good” agreement due to sign inversion. Model quality is then quantified using complementary measures computed on normalized amplitude series: absolute deviation (ΔE), a relative ratio coefficient (K), and mean squared error (MSE). A series of validation experiments demonstrates that isolating the target frequency significantly reduces the influence of broadband noise and yields a more stable and informative assessment compared with evaluation on raw time-domain signals. The method is intended for integration into software validation toolchains where reproducibility, automation, and robustness to heterogeneous sampling conditions are critical.

Keywords: hydroacoustics; model validation; sampling-rate matching; resampling; anti-aliasing; FIR filtering; FFT; Blackman window; FDTD; Courant number (CFL); spectral estimation; MSE.

Гейко Олег Олександрович – аспірант, Національний технічний університет України «Київський політехнічний інститут імені Ігоря Сікорського», Київ, Україна.

ORCID: <https://orcid.org/0009-0006-3279-8274>

Варава Іван Андрійович – к.т.н., доцент, Національний технічний університет України «Київський політехнічний інститут імені Ігоря Сікорського», Україна.

ORCID: <https://orcid.org/0000-0001-9874-016X>

Пуха Геннадій Сергійович – молодший науковий співробітник Особливого конструкторського бюро «ШТОРМ», Національний технічний університет України «Київський політехнічний інститут імені Ігоря Сікорського», Україна.

ORCID: <https://orcid.org/0000-0001-5728-1577>

Дембіцький Валентин Валентинович - аспірант, Національний технічний університет України «Київський політехнічний інститут імені Ігоря Сікорського», Україна.

ORCID: <https://orcid.org/0009-0004-4119-4742>

Вдовина Анастасія Валеріївна – студентка, Національний технічний університет України «Київський політехнічний інститут імені Ігоря Сікорського», Україна.

ORCID: <https://orcid.org/0009-0001-1116-708X>

Heiko Oleh – PhD student, National Technical University of Ukraine “Igor Sikorsky Kyiv Polytechnic Institute”, Ukraine.

ORCID: <https://orcid.org/0009-0006-3279-8274>

Varava Ivan – PhD, Associate Professor, National Technical University of Ukraine “Igor Sikorsky Kyiv Polytechnic Institute”, Ukraine.

ORCID: <https://orcid.org/0000-0001-9874-016X>

Pukha Hennadii – Junior Researcher, Special Design Bureau “STORM”, National Technical University of Ukraine “Igor Sikorsky Kyiv Polytechnic Institute”, Ukraine.

ORCID: <https://orcid.org/0000-0001-5728-1577>

Dembitskyi Valentyn – PhD student, National Technical University of Ukraine “Igor Sikorsky Kyiv Polytechnic Institute”, Ukraine.

ORCID: <https://orcid.org/0009-0004-4119-4742>

Vdovyna Anastasiia – student, National Technical University of Ukraine “Igor Sikorsky Kyiv Polytechnic Institute”, Ukraine.

ORCID: <https://orcid.org/0009-0001-1116-708X>

Ю.О. Гунченко, К.І. Каменєв, А.В. Каменєва, М.О. Єпик

ОЦІНКА ПРОДУКТИВНОСТІ AWS LAMBDA ДЛЯ МАСШТАБОВАНОЇ ТА БЕЗПЕЧНОЇ АВТОРИЗАЦІЇ КОРИСТУВАЧІВ У КРОСПЛАТФОРМЕНИХ ХМАРНИХ ЗАСТОСУНКАХ

Анотація. У статті проаналізовано ефективність використання безсерверної архітектури AWS Lambda для реалізації масштабованої системи авторизації користувачів у хмарному середовищі. Авторизаційна функція розгортається як кросплатформений компонент, що взаємодіє з керованою реляційною базою даних Amazon Aurora PostgreSQL і використовує сервіс AWS Systems Manager для безпечного зберігання конфігурацій. Досліджено продуктивність функції залежно від параметрів середовища (обсяг пам'яті, холодний/теплий старт), а також реалізацію генерації JWT-токенів для ідентифікації користувачів. Результати можуть бути застосовані при розробці хмарних додатків, орієнтованих на високу масштабованість, портативність і безпечну роботу з базами даних.

Ключові слова: AWS Lambda, авторизація користувачів, безсерверні обчислення, Amazon Aurora PostgreSQL, jwt токени, продуктивність хмарних функцій, кросплатформені застосунки.

Постановка проблеми. У сучасних умовах стрімкого розвитку цифрових технологій особливого значення набуває забезпечення безпечної та масштабованої авторизації користувачів у хмарних додатках. Із зростанням кількості веб- і мобільних клієнтів традиційні серверні рішення перестають задовольняти вимоги до гнучкості, продуктивності та економічної ефективності. У зв'язку з цим актуальним є впровадження архітектурних підходів, що дозволяють масштабувати обчислювальні ресурси відповідно до навантаження, забезпечуючи при цьому високу доступність і захищеність даних. Одним із таких рішень є безсерверна (serverless) архітектура, яку пропонує платформа Amazon Web Services (AWS) через сервіс AWS Lambda.

Безсерверні обчислення дозволяють виконувати програмні функції без необхідності керування інфраструктурою, що особливо важливо для розробників кросплатформених застосунків. У контексті авторизації це дає можливість створювати модульні, незалежні та легко масштабовані компоненти, які можуть бути інтегровані в мобільні або вебдодатки незалежно від операційної системи чи клієнтського середовища. При цьому забезпечується надійний доступ до централізованої бази даних, наприклад, Amazon Aurora PostgreSQL, що гарантує збереження даних, транзакційну цілісність і підтримку стандарту SQL.

Застосування AWS Lambda у поєднанні з керованою базою даних і системою керування конфігураціями (AWS Systems Manager Parameter Store) відкриває нові можливості для реалізації сучасних підходів до управління обліковими записами, зберігання секретів і генерації токенів доступу, зокрема JWT. Така система дозволяє гнучко обробляти вхідні запити, здійснювати валідацію облікових даних, створювати криптографічно захищені маркери доступу та записувати журнали подій — усе це без постійно працюючого серверного оточення.

На відміну від класичних серверних архітектур, де обслуговування запитів залежить від попередньо налаштованих інстансів, AWS Lambda виконує функції на вимогу. Це дозволяє не лише зменшити витрати, а й підвищити еластичність системи, оскільки вона автоматично адаптується до змін навантаження. Проте така гнучкість потребує ретельного аналізу продуктивності в різних умовах, зокрема при холодному та теплому старті, а також при різних обсягах виділеної пам'яті.

Аналіз останніх досліджень і публікацій. Останні роки відзначаються стрімким зростанням інтересу до безсерверних обчислень (serverless computing), що спричинило появу численних досліджень у галузі архітектур типу Function-as-a-Service (FaaS). У працях [1], [2] розглядаються ключові переваги безсерверних моделей, серед яких: автоматичне масштабування, зниження витрат на інфраструктуру, адаптивність до нерівномірного навантаження та зручність для розробників. Особливо важливою є підтримка подієвої архітектури, яка дозволяє створювати реактивні сервіси, зокрема функції авторизації на вимогу.

Розгортання авторизаційних механізмів у хмарному середовищі потребує інтеграції з керованими базами даних. У дослідженнях [3], [4] аналізується ефективність використання Amazon Aurora як масштабованого і сумісного з PostgreSQL рішення для зберігання облікових даних. Автори підкреслюють її високу доступність, автоматичне резервне копіювання, підтримку транзакцій та інтеграцію з іншими сервісами AWS. Особливий акцент робиться на важливості використання керованих конфігурацій і секретів через AWS Systems Manager Parameter Store [5], що дозволяє безпечно зберігати паролі, ключі й інші конфіденційні параметри.

Сучасні методи авторизації користувачів, описані в [6], [7], базуються на використанні токенів доступу, зокрема JWT (JSON Web Token), які підтримують кросплатформену взаємодію між клієнтом і сервером. Це дозволяє реалізувати безстанні API, що особливо важливо для безсерверних функцій, які не зберігають сесію користувача між викликами. У роботах також відзначається необхідність дотримання принципів безпечної аутентифікації та обмеження прав доступу до бази даних.

Проблематика продуктивності AWS Lambda розглядається в працях [8], [9], де автори досліджують вплив "холодного старту", обсягу виділеної пам'яті та обсягу викликів функцій на затримку відповіді. Окрему увагу приділено оптимізації часу виконання для задач, пов'язаних із доступом до баз даних і генерацією токенів. У статті [10] проводиться порівняльний аналіз AWS Lambda з іншими FaaS-рішеннями

(Azure Functions, Google Cloud Functions), що також підтверджує конкурентоспроможність архітектури AWS у задачах авторизації.

У контексті кроссплатформеності варто згадати дослідження [11], [12], у яких наголошується на перевагах побудови універсальних хмарних бекендів, здатних обслуговувати як мобільні, так і вебклієнти. Завдяки використанню RESTful API, функцій авторизації та уніфікованих форматів даних (JSON), можливим стає створення єдиного мікросервісу, що адаптується до потреб різних платформ.

Таким чином, огляд наявних досліджень демонструє, що поєднання AWS Lambda, Amazon Aurora та JWT-технологій є перспективним підходом для побудови масштабованих, безпечних і кроссплатформених систем авторизації. Проте питання точного аналізу продуктивності та визначення оптимальних конфігурацій для подібних систем залишається відкритим, що й обумовлює актуальність даної статті.

Мета дослідження. Метою даної роботи є оцінка ефективності використання AWS Lambda для реалізації масштабованої системи авторизації користувачів з точки зору інтеграції з базою даних та кроссплатформених клієнтів. У роботі також аналізується роль керованих сервісів у підвищенні безпеки, стабільності та продуктивності таких рішень. Результати цього дослідження можуть бути використані як основа для проектування авторизаційних модулів у хмарних додатках, орієнтованих на мобільні платформи, вебінтерфейси та багатокомпонентні системи.

Виклад основного матеріалу дослідження.

Хмарні компоненти масштабованої авторизації користувачів

1. Архітектура системи

Масштабована авторизація у хмарному середовищі потребує узгодженої взаємодії між обчислювальними функціями, базою даних та засобами безпечного зберігання конфігурацій. У цьому дослідженні використано три основні компоненти платформи AWS: **AWS Lambda**, **Amazon Aurora PostgreSQL** та **AWS Systems Manager Parameter Store (SSM)**. У цьому розділі описано їхню функціональну роль та технічну інтеграцію в межах авторизаційного модуля.

Архітектура реалізованої системи авторизації базується на поєднанні безсерверних обчислень, керованої бази даних та централізованого зберігання конфігурацій. Користувач надсилає облікові дані через HTTP-запит, який обробляє API Gateway. Запит викликає функцію AWS Lambda, яка отримує параметри з AWS Systems Manager Parameter Store, підключається до бази даних Amazon Aurora PostgreSQL, виконує перевірку облікових даних і генерує JWT-токен. Цей токен повертається клієнту у відповіді. Уся система побудована всередині AWS, що забезпечує високу доступність, масштабованість і безпеку.

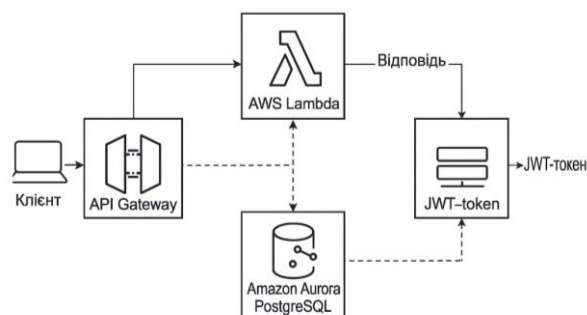


Рисунок 1 - Архітектура системи авторизації користувачів у AWS

На схемі зображено: клієнт (веб чи мобільний застосунок) надсилає запит через API Gateway до AWS Lambda. Lambda-функція взаємодіє з Amazon Aurora PostgreSQL для перевірки облікових даних та зберігає конфігурацію в SSM Parameter Store. Після успішної перевірки повертається JWT-токен.

2. AWS Lambda: виконання коду на вимогу

AWS Lambda є безсерверним сервісом, що дозволяє запускати функції у відповідь на події (наприклад, HTTP-запит від клієнта) без потреби керування інфраструктурою. У даній системі Lambda-функція виконує обробку запитів авторизації: зчитує облікові дані, перевіряє їх у базі даних та, у разі успіху, формує JWT-токен.

Оригінальний фрагмент функції авторизації має вигляд:

```

const { Client } = require('pg');
const jwt = require('jsonwebtoken');
const { getParameter } = require('./ssm');

exports.handler = async (event) => {
  const { username, password } = JSON.parse(event.body);

  const client = new Client({
    host: process.env.DB_HOST,
    user: process.env.DB_USER,
    password: await getParameter('dbPassword'),
    database: 'authdb',
  });
  await client.connect();

  const res = await client.query(
    'SELECT id, role FROM users WHERE username = $1 AND
password = crypt($2, password)',
    [username, password]
  );
  if (res.rows.length === 0) {
    return {
      statusCode: 401,
      body: 'Unauthorized',
    };
  }
};
  
```

```
};  
}  
  
const token = jwt.sign(  
  { userId: res.rows[0].id, role: res.rows[0].role },  
  process.env.JWT_SECRET,  
  { expiresIn: '15m' }  
);  
  
return {  
  statusCode: 200,  
  body: JSON.stringify({ token }),  
};  
};
```

Ця функція працює як незалежний обчислювальний мікросервіс, що не вимагає постійної активності й автоматично масштабується відповідно до навантаження.

3. Для зберігання облікових записів використовується керована реляційна база даних Amazon Aurora PostgreSQL — сумісна з PostgreSQL високопродуктивна база даних, що забезпечує автоматичне масштабування, резервне копіювання та низьку затримку. У контексті авторизації вона виконує перевірку імені користувача та пароля.

Для безпечного зберігання паролів використовується функція `crypt()` із модуля `pgcrypto`, що дозволяє зберігати хешовані паролі й перевіряти їх без розшифрування.

4. AWS Systems Manager Parameter Store — безпечне зберігання конфігурацій

Конфіденційна інформація, така як пароль до бази даних або секрет для підпису токенів, зберігається в **AWS SSM Parameter Store**. Це дозволяє уникнути прямого запису секретів у коді та централізовано керувати доступом до них.

Функція для доступу до параметрів виглядає так:

```
const AWS = require('aws-sdk');  
const ssm = new AWS.SSM();  
async function getParameter(name) {  
  const result = await ssm.getParameter({  
    Name: name,  
    WithDecryption: true,  
  }).promise();  
  return result.Parameter.Value;  
}
```

Таким чином, авторизаційна система спирається на безсерверне обчислення, централізоване зберігання секретів і керовану базу даних, що разом формують надійну, масштабовану та безпечну архітектуру.

Представлено огляд провідної хмарної платформи AWS, з акцентом на її безсерверні обчислювальні сервіси та керовані бази даних. AWS Lambda продемонструвала високу гнучкість і масштабованість для запуску подієорієнтованого коду без необхідності керування інфраструктурою. Особливо корисною є можливість автоматичного

масштабування, підтримка багатьох мов програмування, інтеграція з іншими сервісами AWS, підтримка приватних мереж і контейнеризації.

Amazon Aurora забезпечує надійне, продуктивне й масштабоване зберігання даних з автоматичною реплікацією, балансуванням навантаження на читання і високою доступністю. Її сумісність із MySQL/PostgreSQL, підтримка безсерверної конфігурації (Aurora Serverless v2) та розділення сховища й обчислювальних потужностей дозволяють легко інтегрувати її у складні масштабовані системи.

Таким чином, комбінація AWS Lambda та Aurora надає сучасну, ефективну архітектуру для реалізації продуктивних і витривалих додатків, зокрема в задачах авторизації та управління даними.

Експериментальна оцінка продуктивності AWS Lambda-функцій для авторизації користувачів

1. Вплив обсягу пам'яті на час і вартість виконання функції з алгоритмом Argon2

У цьому підрозділі проаналізовано залежність продуктивності AWS Lambda-функції, яка виконує хешування пароля за допомогою алгоритму Argon2, від обсягу виділеної пам'яті (ОП — обсяг оперативної пам'яті функції). Argon2 — сучасний криптографічний алгоритм, рекомендований для безпечного зберігання паролів, який використовується у функції авторизації для перевірки правильності облікових даних.

Для оцінки проведено серію експериментів з різними обсягами пам'яті — від 128 МБ до 2048 МБ.

Для кожної конфігурації виміряно:

- час виконання функції у випадку холодного старту (перше завантаження середовища),
- час виконання при теплому старті (повторний виклик без повторної ініціалізації),
- вартість виконання в обох випадках, розраховану за офіційною моделлю тарифікації AWS Lambda.

Аналіз часу виконання: холодний старт.

На рисунку 2 показано експоненційне зменшення часу виконання функції при збільшенні ОП. Для Argon2, який є ресурсоемним алгоритмом, низький обсяг пам'яті (128 МБ) призводить до неприйнятно високої затримки — понад 4 секунди. Збільшення обсягу до 2048 МБ скорочує час до 260 мс, що відповідає прискоренню в 15 разів.

Таким чином, використання малих обсягів пам'яті (<512 МБ) для криптографічних функцій значно погіршує продуктивність і не рекомендоване для авторизаційних сервісів реального часу.

Аналіз часу виконання: теплий старт.

Рисунок 3 демонструє аналогічну тенденцію: при повторному виклику функції (теплий старт) час виконання зменшується з 3185 мс до 183 мс. Хоча приріст менш відчутний через повторне використання ініціалізованого середовища, ефект залишається значним — до 17-кратного прискорення.

Висновок: для стабільно низької затримки при warm start рекомендовано використовувати обсяг пам'яті не менше 1024 МБ, оптимально — 2048 МБ.

Цікаво, що вартість виконання функції залишається майже незмінною для всіх рівнів ОП. Для холодного старту значення коливається в межах $\$8.4\text{--}8.7 \times 10^{-6}$, попри те, що пам'ять зростає у 16 разів. Це пояснюється тим, що при збільшенні ОП функція виконується значно швидше, тому зменшується час, а загальний тариф балансується.

Висновок: підвищення обсягу пам'яті майже не впливає на вартість, але суттєво покращує швидкодію, тому є доцільним навіть у бюджетних сценаріях.

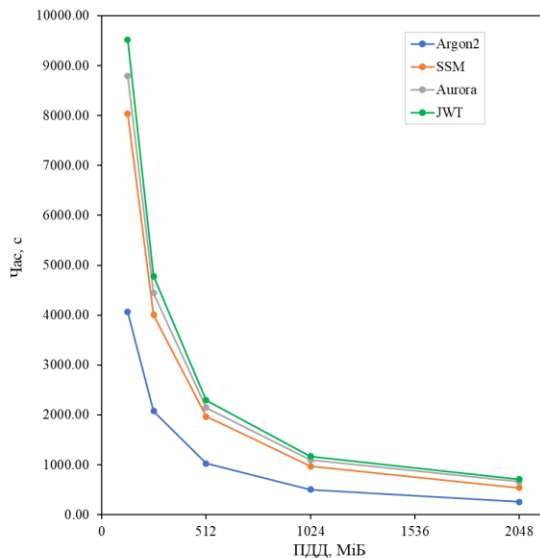


Рисунок 2 – Графік залежності холодного старту функцій від об'єму ОП

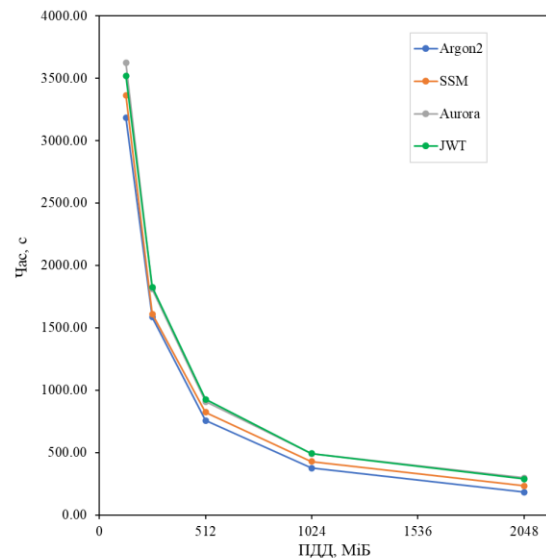


Рисунок 3 - Графік залежності теплового старту функцій від об'єму ОП

2. Продуктивність AWS Lambda при зверненні до SSM

У цьому підрозділі оцінюється вплив обсягу виділеної пам'яті на швидкодію та вартість функції AWS Lambda під час звернення до сервісу AWS Systems Manager Parameter Store (SSM). Цей компонент використовується у функції авторизації для безпечного отримання конфігураційних параметрів (наприклад, паролів до БД або секретних ключів). На відміну від обчислень у межах самої функції, звернення до SSM вимагає зовнішнього запиту, валідації доступу через IAM, дешифрування значення через KMS і передачі результату в Lambda, що значно збільшує загальну затримку.

Аналіз часу виконання (холодний старт).

Графік 4 демонструє типову експоненційну залежність: при 128 МБ функція виконується понад 8 секунд, при 2048 МБ — лише 540 мс. Це майже 15-кратне зниження часу відповіді. Однак абсолютні значення затримки вищі, ніж при хешуванні Argon2, оскільки запит до SSM включає мережеву взаємодію, авторизацію, розшифрування KMS і передачу відповіді.

Висновок: SSM — один із найбільш “важких” етапів авторизації. Зниження затримки можливе лише через збільшення обсягу пам'яті або попереднє кешування значень у коді функції.

Аналіз часу виконання (теплий старт).

Графік 4 також показує суттєве зменшення часу при теплому старті — з 3363 мс (128 МБ) до 233 мс (2048 МБ). Це свідчить, що навіть при повторному запуску функції продуктивність при зверненні до SSM суттєво залежить від виділеної пам'яті, хоч і меншою мірою, ніж при ініціалізації середовища.

Висновок: навіть при warm start рекомендовано використовувати обсяг пам'яті не менше 1024 МБ, щоб забезпечити прийнятну затримку в авторизаційних API.

Оцінка вартості виконання.

Вартість для викликів до SSM є найвищою серед усіх досліджуваних етапів. У середньому вона становить від 16 до 18×10^{-6} USD при холодному старті (рисунок 5). Це пов'язано не лише з тривалістю виконання, а й з тим, що звернення до SSM активує допоміжні сервіси, зокрема KMS і IAM. Навіть при теплому старті вартість зменшується незначно: наприклад, при 2048 МБ — лише з 18.0 до 7.7×10^{-6} USD.

Висновок: через високу вартість і затримку використання SSM варто обмежити лише критично важливими параметрами, інші - кешувати в середині функції або зберігати у вигляді зашифрованих шарів (Lambda layers).

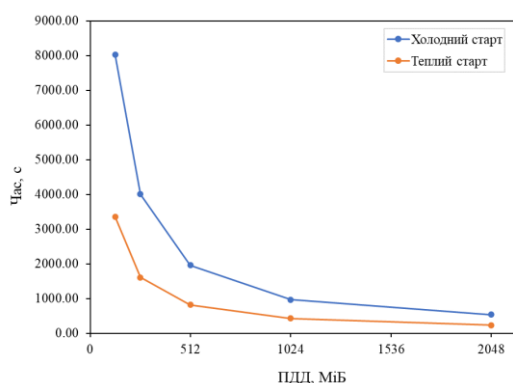


Рисунок 4 – Залежність швидкості виконання функції від об'єму ОП

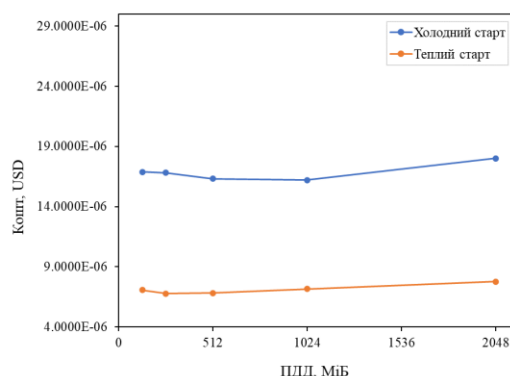


Рисунок 5 – Графік залежності кошту виконання функції від об'єму ОП

3. Продуктивність запитів до бази даних Aurora PostgreSQL

У цьому експерименті AWS Lambda-функція виконує підключення до бази даних Aurora PostgreSQL і виконує запит SELECT для перевірки облікових даних користувача. Aurora працює в режимі Serverless v2 в одній зоні доступності. Мета експерименту - оцінити, як зміна обсягу пам'яті впливає на час підключення, виконання запиту та загальну затримку, а також вартість функції.

Таблиця 2

Залежність швидкості виконання функції від об'єму ОП

ОП	Холодний старт		Теплий старт	
	Час, мс	Кошт, USD	Час, мс	Кошт, USD
128	8790.83	18.4607E-06	3623.36	7.6090E-06
256	4439.54	18.6461E-06	1810.59	7.6045E-06
512	2146.18	17.8133E-06	908.69	7.5422E-06
1024	1095.66	18.2976E-06	489.77	8.1791E-06
2048	658.69	21.9344E-06	297.44	9.9049E-06

Аналіз результатів показує, що зі збільшенням об'єму ОП час виконання функції значно скорочується в обох сценаріях. У випадку холодного старту функція працює повільніше, але навіть тоді приріст ОП забезпечує зменшення затримки у 13 разів (від ~8790 мс до ~659 мс). У теплому старті зменшення часу виконання ще більш ефективне - з ~3623 мс до ~297 мс.

Водночас вартість виконання функції залишається практично стабільною, коливаючись у межах одного порядку (близько $8-9 \times 10^{-6}$ USD). Це свідчить про те, що збільшення об'єму пам'яті є доцільним, оскільки забезпечує значне покращення продуктивності без пропорційного зростання витрат.

4. Генерація JWT-токена: продуктивність і витрати

Суть експерименту: JSON Web Token (JWT) використовується для передачі авторизаційної інформації між клієнтом і сервером. Lambda-функція після успішної перевірки облікових даних формує токен з підписом, який зберігає ID користувача, роль, час створення та строк дії. Генерація токена включає криптографічне шифрування (НМАС або RSA), серіалізацію JSON і повернення відповіді через API Gateway. Мета експерименту - визначити, як обсяг пам'яті, виділений функції (ОП), впливає на час генерації JWT та її вартість.

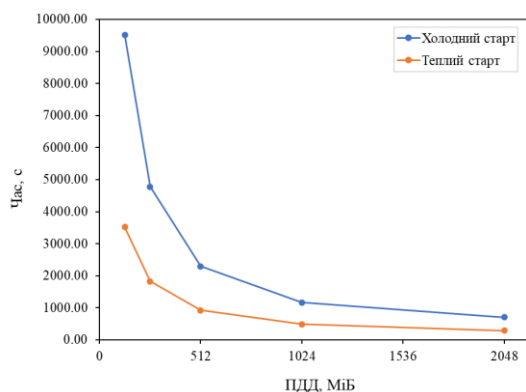


Рисунок 6 - Залежність швидкості виконання функції від об'єму ОП

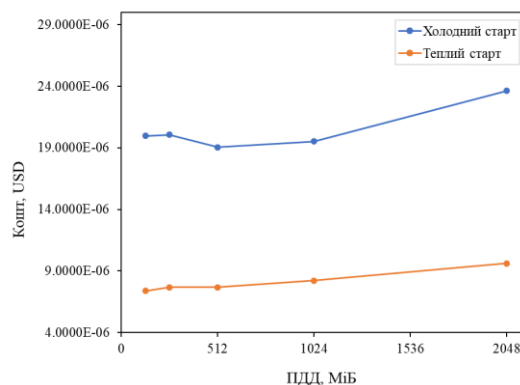


Рисунок 7 - Графік залежності кошту виконання функції від об'єму ОП

Графік на рисунку 6 демонструє, що зі збільшенням ОП час генерації токена суттєво зменшується як у випадку холодного старту, так і теплового. При холодному старті спостерігається зниження часу з ~9518 мс (128 МБ) до ~710 мс (2048 МБ), тобто у понад 13 разів. При теплому старті - з ~3520 мс до ~289 мс, що є майже 12-кратним покращенням.

Вартість виконання функції, яка представлена на рисунку 7, залишається стабільною - вона не зростає лінійно з обсягом пам'яті, а коливається в межах одного порядку: приблизно від 7 до 10×10^{-6} USD. Це свідчить про ефективність масштабування: більший ОП дозволяє досягти значно меншого часу виконання без істотного збільшення витрат.

Таким чином, для генерації JWT найбільш доцільним є використання ОП у діапазоні 1024–2048 МБ, що забезпечує мінімальні затримки з незначним впливом на загальну вартість функції. Як результат, усі 4 компоненти (argon2, SSM, БД, JWT) підтвер-

джують, що збільшення пам'яті значно знижує час виконання, майже не впливаючи на вартість при теплому старті.

Нижче наведена зведена таблиця, яка порівнює **усі 4 етапи** виконання Lambda-функції авторизації за ключовими метриками: час (мс) і вартість (\$), як для холодного, так і для теплового старту, при максимальній конфігурації (2048 МБ).

Таблиця 3

Продуктивність етапів Lambda-функції (2048 МБ)

Етап виконання	Холодний старт (мс)	Теплий старт (мс)	Вартість холодного старту (\$)	Вартість теплового старту (\$)
Argon2	260.35	183.46	8.6697E-06	6.1093E-06
SSM	540.55	233.25	1.8003E-05	7.7688E-06
База даних	658.18	312.14	2.1921E-05	1.0392E-05
JWT	709.47	289.62	2.3625E-05	9.6452E-06

Висновки зі зведеної таблиці:

- Найшвидший компонент: Argon2 при теплому старті — лише 183 мс.
- Найповільніший при холодному старті: JWT — понад 700 мс, через ініціалізацію криптографії.
- Найдорожчий компонент: JWT при холодному старті — $\$23.6 \times 10^{-6}$.
- Найменш чутливий до ПДД: SSM, бо затримки більше залежать від зовнішніх викликів.
- Оптимальна стратегія: для реального продакшн-навантаження варто використовувати provisioned concurrency або контейнери Lambda з попередньо ініціалізованими залежностями, і при цьому встановити пам'ять не менше 1024–2048 МБ.

Висновки. У результаті експериментальної оцінки продуктивності Lambda-функції авторизації було досліджено чотири ключові етапи: хешування паролю (argon2), звернення до SSM, взаємодію з базою даних PostgreSQL та генерацію JWT. Проведено порівняння часу виконання та вартості для сценаріїв холодного й теплового стартів при обсязі пам'яті 2048 МБ.

Найдовшим етапом при холодному старті виявився генератор токенів JWT (понад 700 мс), що пов'язано з ініціалізацією криптографічних залежностей. Найшвидше виконання спостерігалось для Argon2 при теплому старті. Вартісний аналіз підтвердив, що функція з обраною конфігурацією залишається економічно ефективною, однак значно виграє від використання "теплих" екземплярів.

Загалом, результати свідчать про доцільність застосування AWS Lambda для авторизаційних задач, особливо в поєднанні з керованими сервісами AWS. Найкраща продуктивність досягається при використанні високої конфігурації пам'яті (1024–2048 МБ) та попередньо виділених екземплярів (provisioned concurrency). Це дозволяє зменшити затримки, уникнути непередбачуваних холодних стартів і забезпечити стабільну масштабовану роботу сервісу авторизації.

У статті було досліджено можливості використання безсерверної архітектури AWS Lambda у поєднанні з керованою базою даних Amazon Aurora для реалізації масштабованої системи авторизації користувачів. Проведений аналіз підтверджує, що таке поєднання дозволяє досягти високої продуктивності, автоматичного масштабування, гнучкого управління ресурсами та зниження витрат на інфраструктуру. Завдяки підтримці різних мов програмування та архітектур, AWS Lambda добре інтегрується з кросплатформеними застосунками, зокрема мобільними, веб- і IoT-рішеннями. Aurora, у свою чергу, забезпечує стабільну та масштабовану реляційну базу даних з високим рівнем доступності, що критично важливо для обробки користувацьких запитів і зберігання облікових даних.

Проведене дослідження підтвердило ефективність використання безсерверної архітектури AWS Lambda для реалізації сучасної авторизації користувачів у хмарному середовищі. Результати експериментів продемонстрували, що правильно підібрані параметри середовища, зокрема обсяг оперативної пам'яті, суттєво впливають на швидкість функцій без значного збільшення вартості їх виконання. Інтеграція з керованою базою даних Amazon Aurora та безпечним зберіганням конфігурацій у SSM забезпечує надійність, гнучкість і масштабованість системи.

Отримані висновки можуть бути використані як основа для проектування продуктивних, економічно ефективних та кросплатформених авторизаційних сервісів у реальних виробничих середовищах. Це відкриває перспективи подальшого дослідження в напрямі автоматичного масштабування, оптимізації витрат і підвищення стійкості хмарних архітектур до навантажень нового покоління.

ЛІТЕРАТУРА

1. Baldini, I., Castro, P., Chang, K. et al. Serverless computing: Current trends and open problems. *Research Advances in Cloud Computing*, 2017, pp. 1–20.
2. Spillner, J., Mateos, C., Monge, D. A. FAASCAPES: towards a taxonomy for serverless computing in cloud environments. *IEEE Cloud Computing*, 2019, 6(5), pp. 48–57.
3. Wu, H., Shah, A., Gupta, R. Aurora: Design and Performance of the Next-Generation MySQL-Compatible Cloud Database. *AWS re:Invent Conference*, 2017.
4. Baeza-Yates, R. et al. Scalable Databases in the Cloud: Data Models and Performance. *Proceedings of the VLDB Endowment*, 2018, 11(12), pp. 2106–2109.
5. AWS Documentation. AWS Systems Manager Parameter Store – Best Practices. [Online]. Available: <https://docs.aws.amazon.com/systems-manager/latest/userguide/systems-manager-parameter-store.html>
6. Jones, M., Bradley, J., and Sakimura, N. JSON Web Token (JWT). *IETF RFC 7519*, 2015. [Online]. Available: <https://tools.ietf.org/html/rfc7519>
7. Choudhury, O. et al. Enabling secure and scalable authentication with JWT in distributed systems. *Journal of Cloud Computing*, 2020, 9(1), p. 24.
8. Wang, L., Zhang, M., Ristenpart, T., Swift, M. D. Peeking Behind the Curtains of Serverless Platforms. *USENIX ATC*, 2018, pp. 133–146.

9. McGrath, G., Brenner, P. Serverless computing: Design, implementation, and performance. *IEEE International Conference on Distributed Computing Systems Workshops (ICDCSW)*, 2017.
10. Spillner, J. Comparing FaaS Performance: AWS Lambda, Azure Functions, and Google Cloud Functions. *arXiv preprint*, arXiv:2003.04867, 2020.
11. Richards, M. *Software Architecture Patterns*. O'Reilly Media, 2015. (Chapter on Microservices and Backend for Frontend).
12. Taivalsaari, A., Mikkonen, T. A Roadmap to Web Applications: From Web 1.0 to Web 4.0. *Web Information Systems and Technologies*, 2017, pp. 318–336.

REFERENCES

1. Baldini, I., Castro, P., Chang, K. et al. Serverless computing: Current trends and open problems. *Research Advances in Cloud Computing*, 2017, pp. 1–20.
2. Spillner, J., Mateos, C., Monge, D. A. FAASCAPES: towards a taxonomy for serverless computing in cloud environments. *IEEE Cloud Computing*, 2019, 6(5), pp. 48–57.
3. Wu, H., Shah, A., Gupta, R. Aurora: Design and Performance of the Next-Generation MySQL-Compatible Cloud Database. *AWS re:Invent Conference*, 2017.
4. Baeza-Yates, R. et al. Scalable Databases in the Cloud: Data Models and Performance. *Proceedings of the VLDB Endowment*, 2018, 11(12), pp. 2106–2109.
5. AWS Documentation. AWS Systems Manager Parameter Store – Best Practices. [Online]. Available: <https://docs.aws.amazon.com/systems-manager/latest/userguide/systems-manager-parameter-store.html>
6. Jones, M., Bradley, J., and Sakimura, N. JSON Web Token (JWT). *IETF RFC 7519*, 2015. [Online]. Available: <https://tools.ietf.org/html/rfc7519>
7. Choudhury, O. et al. Enabling secure and scalable authentication with JWT in distributed systems. *Journal of Cloud Computing*, 2020, 9(1), p. 24.
8. Wang, L., Zhang, M., Ristenpart, T., Swift, M. D. Peeking Behind the Curtains of Serverless Platforms. *USENIX ATC*, 2018, pp. 133–146.
9. McGrath, G., Brenner, P. Serverless computing: Design, implementation, and performance. *IEEE International Conference on Distributed Computing Systems Workshops (ICDCSW)*, 2017.
10. Spillner, J. Comparing FaaS Performance: AWS Lambda, Azure Functions, and Google Cloud Functions. *arXiv preprint*, arXiv:2003.04867, 2020.
11. Richards, M. *Software Architecture Patterns*. O'Reilly Media, 2015. (Chapter on Microservices and Backend for Frontend).
12. Taivalsaari, A., Mikkonen, T. A Roadmap to Web Applications: From Web 1.0 to Web 4.0. *Web Information Systems and Technologies*, 2017, pp. 318–336.

Received 20.02.2026
Accepted 27.02.2026
Published 31.03.2026

Performance evaluation of AWS Lambda for scalable and secure user authorization in cross-platform cloud applications

The paper examines the problem of designing scalable and secure user authorization systems in cloud environments using serverless computing. The relevance of this research is driven by the increasing demand for high-performance services that remain cost-effective and reliable under varying workloads. Traditional server-based solutions no longer fully address these requirements, which has led to the growing adoption of Function-as-a-Service (FaaS) models. AWS Lambda was selected as the core platform, offering automatic scaling, event-driven execution, and a pay-per-use model. For credential validation, the architecture integrates with Amazon Aurora PostgreSQL, a high-availability managed database compatible with PostgreSQL, while AWS Systems Manager Parameter Store ensures secure storage and centralized management of configuration parameters and secrets.

The proposed architecture processes user credentials through an API Gateway that triggers Lambda functions, validates the input against Aurora, and generates JSON Web Tokens (JWT) to authorize user access. Experimental evaluation focused on the effects of allocated memory, cold versus warm starts, and calls to external services on execution time and overall cost. The results revealed an exponential decrease in response latency when memory was increased from 128 MB to 2048 MB: execution time dropped from several seconds to under one second, while costs remained nearly constant. Aurora queries demonstrated stable low-latency performance, JWT generation reached optimal efficiency at 1024–2048 MB, and the Parameter Store introduced the highest delays, indicating the importance of caching and optimized secret management.

The findings confirm the feasibility of AWS Lambda as the foundation for cloud-based authorization services. The combination of Lambda, Aurora, and Parameter Store creates a robust, secure, and cost-efficient architecture that adapts dynamically to workload changes. The proposed approach is particularly relevant for cross-platform mobile and web applications, where scalability, data security, and low response time are critical. Future research should focus on optimizing cold start mitigation strategies, improving cost-performance trade-offs, and enhancing the resilience of serverless architectures under next-generation workloads.

Гунченко Юрій Олександрович – зав. кафедри комп'ютерних систем та технологій, д.т.н., професор, Одеський національний університет імені І.І.Мечникова.

ORCID: <https://orcid.org/0000-0003-4423-8267>.

Камєнєв Кирило Ігорович – магістр кафедри математичного забезпечення комп'ютерних систем, доктор філософії в галузі транспорту, Одеський національний університет імені І.І.Мечникова.

ORCID: <https://orcid.org/0000-0002-9200-9496>

Камєнєва Алла Вікторівна – доцент кафедри комп'ютерних систем та технологій, к.т.н., Одеський національний університет імені І.І.Мечникова.

ORCID: <https://orcid.org/0000-0002-9970-9081>

Єпiк Марина Олександрiвна – доцент кафедри комп’ютерних систем та технологiй, к.т.н., Одеський національний унiверситет iменi I.I.Мечникова.

ORCID: <https://orcid.org/0000-0001-9021-3680>

Gunchenko Yurii – head of the department of computer systems and technologies, doctor of technical sciences, professor, Odesa I.I. Mechnikov National University.

ORCID: <https://orcid.org/0000-0003-4423-8267>.

Kamieniev Kyrylo – master of the department of mathematical support of computer systems, phd in transport, Odesa I.I. Mechnikov National University.

ORCID: <https://orcid.org/0000-0002-9200-9496>

Kamienieva Alla – associate professor of the department of computer systems and technologies, phd in technical sciences, Odesa I.I. Mechnikov National University.

ORCID: <https://orcid.org/0000-0002-9970-9081>

Iepik Maryna – associate professor of the department of computer systems and technologies, phd in technical sciences, Odesa I.I. Mechnikov National University;

ORCID: <https://orcid.org/0000-0001-9021-3680>

ІМІТАЦІЙНА МОДЕЛЬ БАГАТОКАНАЛЬНОЇ СИСТЕМИ ЗБЕРІГАННЯ ПАЛИВНО-МАСТИЛЬНИХ МАТЕРІАЛІВ

Анотація. В статті розглядається побудова імітаційної моделі багатоканальної системи зберігання паливно-мастильних матеріалів на основі колірних мереж Петрі. Представлено формальний опис моделей на основі колірних мереж Петрі. Представлена структурна схема багатоканальної системи зберігання ПММ. Досліджена загальна модель процесу роботи АЗС, як багатоканальної системи зберігання ПММ. При побудові імітаційної моделі системи було використано ієрархічний підхід. На верхньому рівні, модель системи представлена в цілому. Далі загальну модель було структуровано шляхом розбиття на два модуля нижчого рівня: модуль призначений для генерації автотранспорту в систему АЗС та модуль, який безпосередньо моделює процеси заправки авто і оплати за пальне. Для опису системи задається її опис. Розроблені функції для ієрархічної імітаційної моделі багатоканальної системи зберігання ПММ. Представлено аналіз результатів імітаційного моделювання процесу роботи багатоканальної системи зберігання паливно-мастильних матеріалів при різній кількості каналів обслуговування.

Ключові слова: Моделювання, імітаційна модель, багатоканальна система, паливно-мастильні матеріали, АЗС, ієрархічна модель, колірні мережі Петрі, CPN Tools.

Вступ. Особливість побудови імітаційних моделей моніторингу паливно мастильних матеріалів (ПММ) в системах їх зберігання обумовлена рядом причин серед яких: структура систем зберігання ПММ, складність виявлення та формалізації зв'язків між елементами системи зберігання палива, необхідність адекватного опису зв'язків, складність структурного та функціонального моделювання систем зберігання ПММ тощо. Складність моделювання задач моніторингу обумовлена складністю процесу моніторингу, значною кількістю зв'язків, складністю впливу та взаємодії елементів системи. Різні підходи будуть мати різні результати. Запропонований в літературі певні набори моделей і методів сам по собі не гарантують адекватності моделі [1-4]. Адекватність моделей моніторингу може остаточно бути визначена тільки в процесі обчислювального експерименту.

Існує ряд методів моделювання, за допомогою яких можливо моделювати процеси моніторингу та взаємодію їх структурних елементів технічної системи між собою. Для розширення можливостей аналізу та моделювання процесів моніторингу, в тому числі для імітаційного моделювання систем зберігання палива доцільно використати метод моделювання на основі різних типів мереж Петрі, в тому числі колірних. Голов-

ною особливістю, яких є врахування змінних різного типу та різноманітних умов спрацювання переходів, це дозволяє моделювати і відстежувати динамічні зміни в системі [5-8]. Мережі Петрі забезпечують можливість опису паралельних процесів та конфліктних ситуацій, в той час як звичайні мови програмування надають інструментарій для визначення типів даних і операцій над ними.

Постановка проблеми. Метою даної роботи є побудова та дослідження імітаційної моделі багатоканальної системи зберігання паливно-мастильних матеріалів за допомогою колірних мереж Петрі.

Аналіз останніх досліджень. Мережі Петрі, як інструмент моделювання складних дискретних систем та процесів отримали значне розповсюдження [1-3,7,9]. Мережа Петрі це орієнтований дводольний граф з двома типами вузлів: позиціями (представлені колами), та переходами (представлені прямокутниками). Дуги графа поєднують позиції і переходи таким чином, що позиції можуть бути пов'язані тільки з переходами і навпаки. Позиції в мережі Петрі можуть містити дискретне число *токенів*. Розподіл токенів над місцями називається маркуванням [10]. Мережі Петрі розроблялись для опису паралельних систем з точки зору причинно-наслідкових зв'язків без обліку часу [11,12]. Імплементация часових складових в мережі Петрі було запропоновано іншими дослідниками [5,12]. Для моделювання складних систем та процесів різної природи використовуються різні модифікації мереж Петрі: стохастичні мережі Петрі (SPN), часові мережі Петрі (TPN), колірні мережі Петрі (CPN), нечіткі мережі Петрі (FuzzyPN) та інші [1,2,4,8,9,13-15]. Вперше мережі Петрі були використані, як інструмент для побудови та композиції веб-сервісів в роботі [16]. Але задача моделювання паралельних та багатоканальних систем та їх компонентів залишається актуальною. Для вирішення даної задачі розроблено алгебру із розширеним набором операцій, що дозволяє детально описати взаємодію між компонентами багатоканальних систем при побудові і моделюванні систем зберігання ПММ [17].

Побудова ієрархічної імітаційної моделі в середовищі CPN Tools. Одним із типів систем зберігання паливно-мастильних матеріалів є багатоканальні системи зберігання ПММ такі, як автозаправні станції (АЗС). В систему зберігання ПММ, АЗС, надходить потік заявок на заправку автотранспорту двох типів (звичайного та спеціального призначення), розподілений за експоненціальним законом. Заявки надходять у чергу АЗС на обробку. Тип черги – FIFO. Кожне авто може бути заправлений одним із можливих типів палива. Кожна колонка надає вибір типів палива. Якщо АЗС перебуває у режимі очікування (немає жодного авто), то заявка на заправку надходить виконання вільною колонкою. Необхідно розробити імітаційну модель АЗС, що обслуговує 1000 авто.

Структурна схема багатоканальні системи зберігання ПММ представлена на рисунку 1.

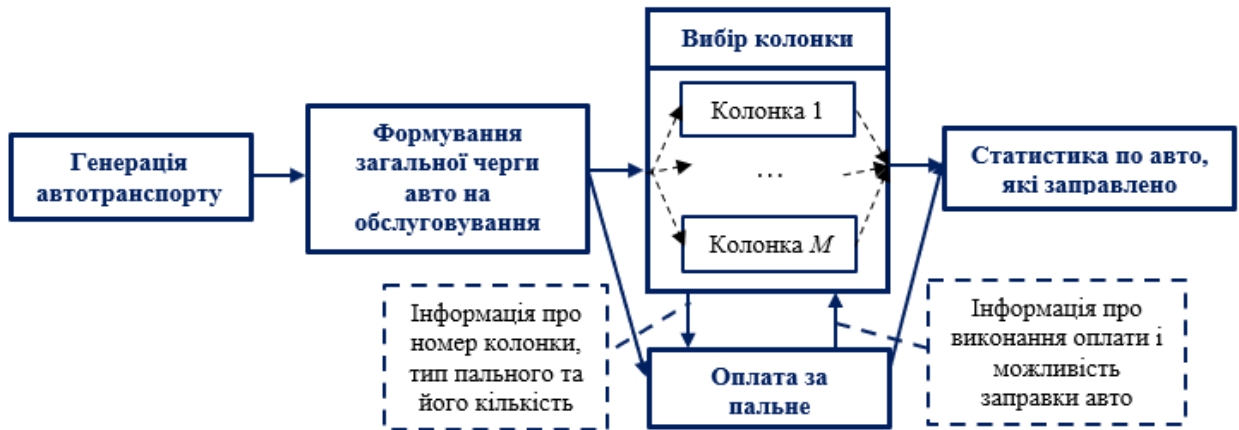


Рисунок 1– Структурна схема багатоканальні системи зберігання ПММ

Загальна модель процесу роботи АЗС розподілена на окремі функціональні блоки, що дає можливість виконати декомпозицію системи на окремі модулі. На основі принципів системного аналізу за рахунок декомпозиції зменшується складність системи. Таким чином при побудові імітаційної моделі системи використовується ієрархічний підхід. На верхньому рівні, *System*, модель системи представлена в цілому. Далі загальну модель було структуровано шляхом розбиття на два модуля нижчого рівня: *Arrivals* – модуль призначений для генерації автотранспорту в систему АЗС, *Gas Station* – модуль, який безпосередньо моделює процеси заправки авто і оплати за пальне.

Загальна імітаційна модель *System* (рис. 2, а) має дві позиції (чергу – *Waiting*, авто, що були заправлені – *Completed*) та два переходи (генерувати авто, який потребує заправки – *Arrivals*, виконати заправку авто і оплату за пальне – *Gas Station*). Переходи мають складну ієрархічну структуру і представлені на окремих аркушах моделі.

Імітаційна модель підсистеми генерації автотранспорту (рис. 2, б) має 3 позиції (поточне авто - *Init*, наступне авто - *Next*, черга - *Waiting* з аркуша *System*) та два переходи (*Init* – визначає розподіл надходження автотранспорту по експоненційному закону з інтенсивністю 12 заявок за одиницю часу, *Arrive* - визначає надходження авто до черги).

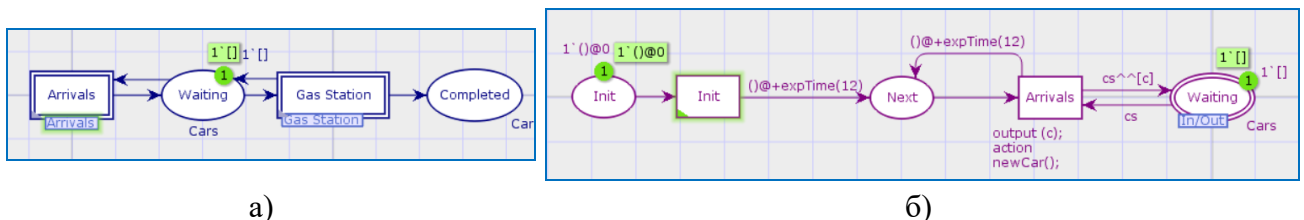


Рисунок 2 – а) Імітаційна модель системи верхнього рівня, б) Імітаційна модель підсистеми генерації автотранспорту

Імітаційна модель підсистеми обслуговування авто на АЗС та оплати послуги представлена на рисунку 3.

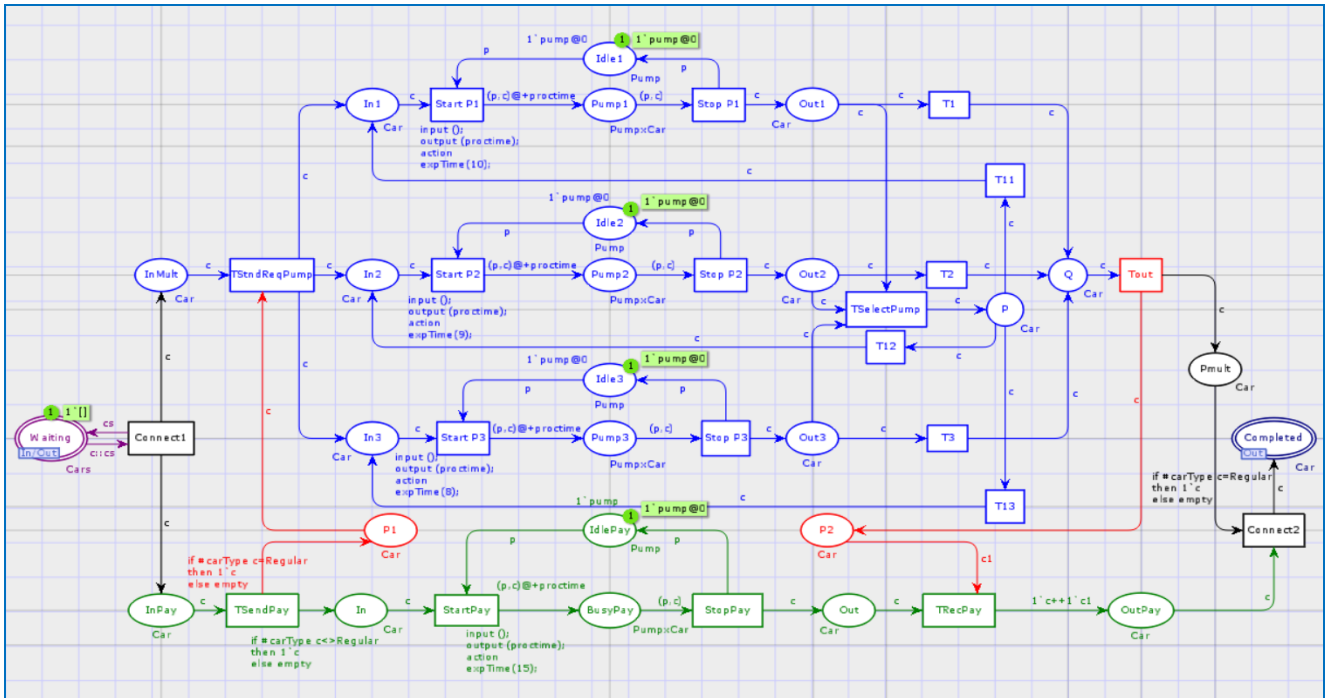


Рисунок 3 – Імітаційна модель підсистеми обслуговування авто на АЗС та оплати послуги

Завдання декларації системи. Спершу визначаються параметри процесу, якій моделюється. Параметрами процесу є *множина кольорів системи (colorset)*, які мають наступні значення:

- фішки типу *Pump* – визначають моменти часу заправки;
- фішки типу *CarType* – визначають 2 типи автотранспорту *Regular* і *Special*;
- фішки типу *FuelType* – визначають 2 типи пального *diesel*, *petrol 95*, *petrol 98*;
- кортеж *Car* має 3 поля, які відповідають за *carType* – тип автотранспорту (звичайний або спеціальний) та відповідно має тип *CarType*, поле *fuelType* – тип пального, якій потрібно для авто, і має тип *FuelType*, поле *AT* має тип *INT* та використовується для зберігання часу знаходження заявки в системі;
- фішки типу *Cars* – це список інформації про авто, які звернулись до АЗС;
- фішки типу *PumpxCar* – визначають стан колонки АЗС, що зайнята заправкою авто.

Змінні моделі:

- *proctime* – визначає час обробки заявки;
- *car, car1* – визначають характеристики поточного авто;
- *cs* – визначає надходження авто в чергу.

Функції системи:

- функція *expTime* описує генерацію цілочисельних значень через інтервали часу, розподілені за експоненціальним законом;
- функція *intTime* перетворює поточне модельне час в ціле число;

- функція *newCar* повертає значення з набору *CarType* – випадковий вибір типу авто (Regular або Special) та значення з набору *FuelType* – випадковий вибір типу пального (diesel, petrol95 або petrol98).

Розроблені функції для ієрархічної імітаційної моделі багатоканальної системи зберігання ПММ наведені на рисунку 4.

```
▼ fun expTime(mean:int)=  
  let  
    val realMean=Real.fromInt mean  
    val rv=exponential((1.0/realMean))  
  in  
    floor(rv+0.5)  
  end;  
fun intTime()=IntInf.toInt(time());  
fun newCar()={ carType=CarType.ran(),  
  fuelType=FuelType.ran(),  
  AT=intTime() }
```

Рисунок 4 – Опис функцій імітаційної моделі багатоканальної системи зберігання ПММ

Параметри моделі на графах мережі. На модельному аркуші *System* представлено загальні параметри моделі (див. рис. 2, а):

- у позиції *Waiting* множина кольорів фішок – *Cars*; початкове маркування $1 \text{ } []$ визначає, що спочатку черга авто порожня.
- у позиції *Completed* множина кольорів – *Car*.

На модельному аркуші *Arrivals* представлено мережа другого рівня з моделлю генератора автотранспорту, який потребує заправки (див. рис. 2, б). Визначимо її параметри:

- у позиції *Init*: множина кольорів фішок – *UNIT*; початкове маркування $1 \text{ } ()@0$ визначає, що надходження авто в АЗС починається з нульового моменту часу;
- у позиції *Next*: множина кольорів фішок – *UNIT*;
- на дузі від позиції *Init* до переходу *Init* вираз $()$ задає генерацію заявок;
- на дузі від переходів *Init* та *Arrivals* до позиції *Next* вираз $()@+expTime(12)$ задає експоненціальний розподіл часу між надходженнями авто;
- на дузі від позиції *Next* до переходу *Arrivals* вираз $()$ задає переміщення фішки;
- на дузі від переходу *Arrivals* до позиції *Waiting* вираз $cs^{[c]}$ задає надходження авто в чергу;
- на дузі від позиції *Waiting* до переходу *Arrivals* вираз cs задає зворотній зв'язок.

На модельному аркуші *Gas Station* представлено мережа другого рівня з моделлю АЗС заправки авто і оплати за послуги (рис. 3). Визначимо параметри цієї моделі:

- у позиціях *Idle(i)*, *IdlePay*: множина кольорів фішок – *Pump*, початкове значення маркування – $1 \text{ } pump@0$ визначає, що спочатку процесу моделювання жодна колонка АЗС немає заявок на обслуговування і система оплати незайнята;
- у позиціях *BusyPay*, *Pump(i)*: множина кольорів фішок – *PumpxCar*;

- переходи $Start P(i)$, $StartPay$ мають сегмент коду $output (proctime)$; $action expTime(m)$; це визначає, що час обслуговування авто розподілене по експоненціальному закону із середнім часом обробки в m одиниць часу;
- на дузі від позиції $Waiting$ до переходу $Connect$ вираз $c::cs$ визначає, що АЗС може почати заправку авто, якщо в черзі є хоча б одне авто;
- на дугах від переходів $Start P(i)$ та $StartPay$ до позицій $Pump(i)$ та $BusyPay$ вираз $(p,c)@+proctime$ запускає функцію розрахунку часу обробки заявки на заправку авто або оплати послуги;
- на дугах від позицій $Pump(i)$ та $BusyPay$ до переходів $Stop P(i)$ та $StopPay$ вираз (p,c) говорить про завершення обробки заявки від авто в АЗС;
- на дугах від переходів $Start P(i)$ та $StartPay$ до позицій Out та $Out(i)$ вираз c показує, що заявка від авто вважається обслуженою;
- вираз p на дугах від i до позицій $Idle(i)$ та $IdlePay$ визначає зміну стану колонки/системи оплати (обробляє заявки або очікує);
- на дузі від переходу $Connect$ до позиції $Waiting$ вираз cs задає зворотний зв'язок.

Аналіз результатів моделювання багатоканальної системи зберігання ПММ. При імітаційному моделюванні модель процесу запускається кілька разів. Кожен запуск можна розглядати як експеримент, що відповідає «випадковому блуканню» у просторі станів моделі. Якщо неможливо побудувати весь простір станів, подібні експерименти проводять багаторазово. Але такий підхід дозволяє отримати лише частину простору станів. Тому перевіряється лише наявність помилок, а не їх відсутність.

На початку експериментів з моделлю багатоканальної системи зберігання ПММ було використано так зване короткострокове моделювання [7,10]. На відміну від класичних підходів до моделювання, що фокусуються на стаціонарній поведінці системи або процесу, мета короткострокового моделювання – робити прогнози на найближче майбутнє. Короткострокове моделювання фокусується на перехідній поведінці. Це дозволяє використовувати кнопку «швидкої перемотування» у майбутнє. На рисунку 5 представлено результати імітаційного моделювання процесу обслуговування авто на АЗС, якщо генерується 1000 автомобілів. За допомогою моніторів для конкретного прогону моделювання було визначено, що:

- середня довжина списку фішок в черзі $Waiting$ становить 0,915835;
- середня кількість фішок у $Pump(i)$ становить 0,802938;
- середня кількість фішок у $Idle(i)$ складає 0,197062;
- середній час очікування автомобілів, які заправляються, становить 9,001130 хвилин.

Таким чином, завантаження складає близько 80%, і в середньому близько одного автомобіля очікує на обслуговування. Середній час очікування становить близько 9 хвилин.

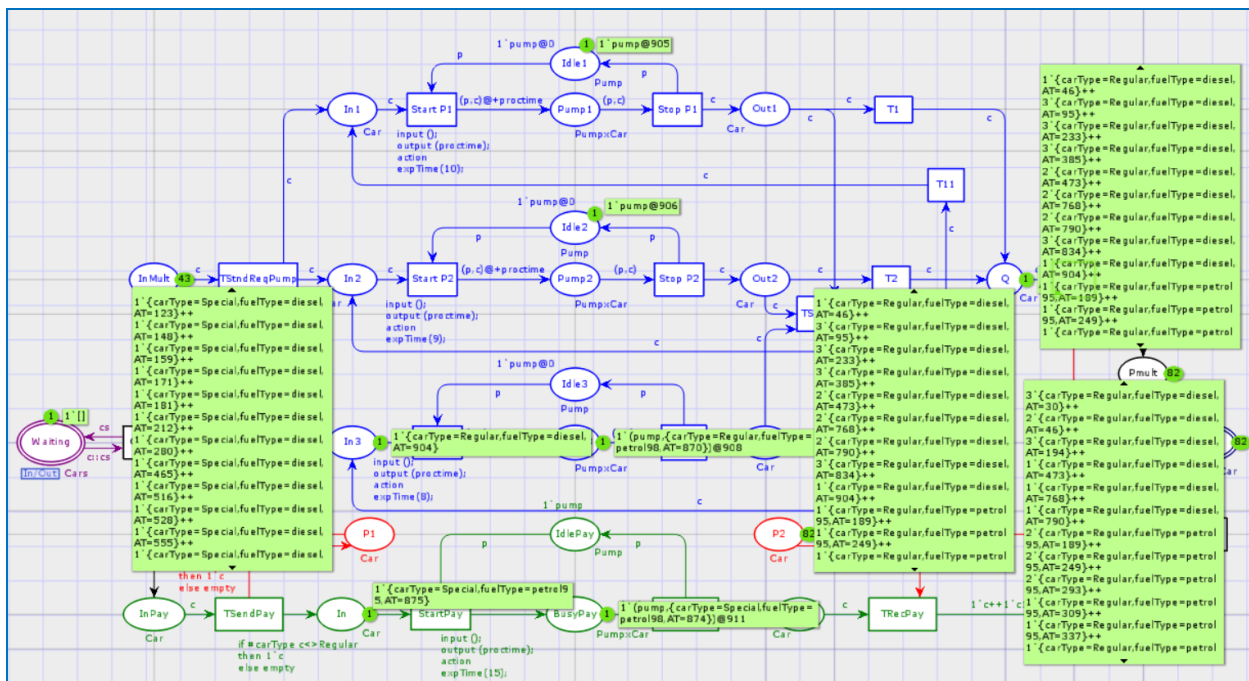


Рисунок 5 – Результати імітаційного моделювання підсистеми обслуговування авто на АЗС та оплати послуги

Додавання моніторів до моделі дає можливість легко досліджувати різні альтернативні моделі та порівнювати їх. У таблиці 1 представлені результати для моделі АЗС з одною колонкою, двома та трьома колонками. Додавання додаткової колонки позитивно впливає на всі показники продуктивності. Як показано в Таблиці 1, час потоку скорочується приблизно до 5 хвилин.

Таблиця 1
Результати моделювання трьох альтернативних варіантів моделі процесу роботи АЗС

Тип моделі	Середня довжина черги	Середня кількість вільних колонок	Середня кількість задіяних колонок	Середній час потоку
З 1-єю колонкою	0,900±0,006	0,201±0,001	0,798±0,001	8,945±0,020
З 2-ма колонками	0,389±0,001	1,129±0,002	0,871±0,002	5,431±0,003
З 3-ма колонками	0,107±0,002	1,401±0,001	0,599±0,001	5,541±0,009

У таблиці 2 представлені результати для всіх автомобілів, а також результати для спец транспорту та звичайних автомобілів окремо. Важливо, що час очікування спец транспорту менший, оскільки в середньому за годину прибуває всього 5 авто такого типу, тоді як у середньому маємо 10 звичайних автомобілів.

Результати моделювання процесу роботи АЗС 3-ма колонками

Тип авто	Середня довжина черги	Середня кількість вільних колонок	Середня кількість задіяних колонок	Середній час потоку
Всі авто	0,107±0,002	1,401±0,001	0,599±0,001	5,541±0,009
Спец транспорт	-	-	-	3,857±0,007
Звичайні авто	-	-	-	6,988±0,021

Результати імітаційного моделювання на основі ієрархічної моделі з урахуванням часу демонструють можливості врахування багатьох аспектів функціонування систем зберігання ПММ. Застосування імітаційних моделей в процесі моніторингу дозволяє ефективно визначати структуру процесу, який досліджується за рахунок підбору параметрів та варіації альтернативних структур.

Висновки. Представлена структурна схема багатоканальні системи зберігання ПММ. Досліджена загальна модель процесу роботи АЗС, як багатоканальної системи зберігання ПММ. При побудові імітаційної моделі системи було використано ієрархічний підхід. На верхньому рівні, модель системи представлена в цілому. Далі загальну модель було структуровано шляхом розбиття на два модуля нижчого рівня: модуль призначений для генерації автотранспорту в систему АЗС, та модуль, який безпосередньо моделює процеси заправки авто і оплати за паливе. Для опису системи задається її опис. Побудовано імітаційна модель підсистеми обслуговування авто на АЗС та оплати послуги. Розроблені функції для ієрархічної імітаційної моделі багатоканальної системи зберігання ПММ. Представлені результати моделювання трьох альтернативних варіантів моделі процесу роботи АЗС та результати моделювання процесу роботи АЗС 3-ма колонками для всіх видів транспорту. Доведено, що імітаційна модель на основі ієрархічної моделі з урахуванням часу демонструє можливості врахування багатьох аспектів функціонування систем зберігання ПММ.

ЛІТЕРАТУРА

1. Luo Sh., Xe T. Modeling and Analysis of Train Control Center Simulation System Based on CPN. 2025 International Conference on Electrical Automation and Artificial Intelligence (ICEAAI). 10-12 January 2025. IEEE. Guangzhou, China
DOI: 10.1109/ICEAAI64185.2025.10957698.
2. Arena D., Criscione F., Trapani N. Risk assessment in a chemical plant with a CPN-HAZOP Tool. IFAC-PapersOnLine, vol. 51, Issue 11, 2018, Pp. 939-944
<https://doi.org/10.1016/j.ifacol.2018.08.487>.
3. Samuel Medina-Garcia S., Medina-Marin J., Montaña-Arango O., Manuel Gonzalez-Hernandez M., Selene Hernandez-Gress E. A Petri Net Approach for Business Process Modeling and Simulation. MDPI. Journal Applied Sciences, vol. 13, issue 20., 11192, 2023.
<https://doi.org/10.3390/app132011192>.

4. Veza O., Larisang L., Setyabudhi A. L., Arifin N. Y., Agustini Sh. Simulation Modeling System in Determining the Amount of Oil Inventory. Journal "Of Computer Networks Architecture and High-Performance Computing" 5(1), pp.110-119.
DOI:10.47709/cnahpc.v5i1.2009.
5. Jensen K. Coloured Petri Nets. Basic Concepts, Analysis Methods and Practical Use. EATCS monographs on Theoretical Computer Science. Springer-Verlag, Berlin, 1996.
6. Jensen K., Kristensen L.M. Coloured Petri Nets – Modelling and Validation of Concurrent Systems. Springer-Verlag, Berlin, 2009.
7. Калініна І.О., Гожий О.П., Шиян С.І., Нечахін В.В. Імітаційне моделювання систем зі складним стохастичним процесом обробки даних за допомогою кольорових мереж Петрі. Регіональний міжвузівський збірник наукових праць «Системні технології», Дніпро. 2022. Вип. 6, № 143. С. 42-56.
DOI: <https://doi.org/10.34185/1562-9945-6-143-2022-04>.
8. Гожий В.О., Калініна І. О. Використання ієрархічних часових мереж Петрі для моделювання web-сервісів. Наукові праці: науково-методичний журнал. Комп'ютерні технології. – Миколаїв: Вид-во ЧНУ ім. П. Могили. – Миколаїв, 2018. Т. 317. Вип. 305. – С. 30-35.
9. Гожий В. О. Моделювання взаємодії web-сервісів в Mashup системах на основі кольорових мереж Петрі. Наукові праці : наук. журн. – Миколаїв : Вид-во ЧНУ ім. Петра Могили, 2018. – Т. 320. Вип. 308. – С. 64–70. – (Комп'ютерні технології).
10. Калініна І.О., Гожий О.П. Моделювання складних систем на основі кольорових мереж Петрі: навчальний посібник. Херсон: книжкове видавництво ФОП Вишемирський В.С., 2021. – 60 с.
11. Ajmone Marsan M., Balbo G., Conte G., Donatelli S., Franceschinis G. Modelling with Generalized Stochastic Petri Nets [Text] – John Wiley and Sons, 1995. – 324 p.
12. Perkusich J., De Figueiredo J. C. A. G-nets: A Petri net based approach for logical and timing analysis of complex software systems. Journal of Systems and Software, vol. 39, ISSUE 1, pp. 39-59, Oct 1997.
13. Bause, F., Kritzinger P.S. Stochastic Petri nets: an introduction to the theory [Text]b–Friedrich Vieweg and Sohn Verlag, 2002. – 223 p.
14. Jensen K., Kristensen L.M., Wells L. Coloured Petri Nets and CPN Tools for Modelling and Validation of Concurrent Systems. Software Tools for Technology Transfer manuscript. 2007. 40 p.
15. Zaitsev D.A., Shmeleva T.R. Simulating Telecommunication Systems with CPN Tools: Students' book – Odessa: ONAT, 2006. – 60 p.
16. Hamadi R., Benatallah B. A Petri net based-model for web service composition. In proc. the 14th Australasian database conference, Adelaide. Darlinghurst: Australian International Journal of Computer Science & Information Technology (IJCSIT) Vol 5, No 3, June 2013.
17. Гожий В.О. Алгебра для моделювання взаємодії web-сервісів Регіональний міжвузівський збірник наукових праць «Системні технології», Дніпро. – 2018. – Вип. 5 (118). – С. 121-132.

REFERENCE

1. Luo Sh., Xe T. Modeling and Analysis of Train Control Center Simulation System Based on CPN. 2025 International Conference on Electrical Automation and Artificial Intelligence (ICEAAI). 10-12 January 2025. IEEE. Guangzhou, China
DOI: 10.1109/ICEAAI64185.2025.10957698.
2. Arena D., Criscione F., Trapani N. Risk assessment in a chemical plant with a CPN-HAZOP Tool. IFAC-PapersOnLine, vol. 51, Issue 11, 2018, Pp. 939-944
<https://doi.org/10.1016/j.ifacol.2018.08.487>.
3. Samuel Medina-Garcia S., Medina-Marin J., Montaña-Arango O., Manuel Gonzalez-Hernandez M., Selene Hernandez-Gress E. A Petri Net Approach for Business Process Modeling and Simulation. MDPI. Journal Applied Sciences, vol. 13, issue 20., 11192, 2023.
<https://doi.org/10.3390/app132011192>.
4. Veza O., Larisang L., Setyabudhi A. L., Arifin N. Y., Agustini Sh. Simulation Modeling System in Determining the Amount of Oil Inventory. Journal “Of Computer Networks Architecture and High-Performance Computing” 5(1), pp.110-119.
DOI:10.47709/cnahpc.v5i1.2009.
5. Jensen K. Coloured Petri Nets. Basic Concepts, Analysis Methods and Practical Use. EATCS monographs on Theoretical Computer Science. Springer-Verlag, Berlin, 1996.
6. Jensen K., Kristensen L.M. Coloured Petri Nets – Modelling and Validation of Concurrent Systems. Springer-Verlag, Berlin, 2009.
7. Kalinina I.O., Hozhyi O.P., Shyian S.I., Nechakhin V.V. Imitatsiine modeliuвання system zi skladnym stokhastychnym protsesom obrobky danykh za dopomohoiu ko-lorovykh merezh Petri. Rehionalnyi mizhvuzivskyi zbirnyk naukovykh prats «Systemni tekhnolohii», Dnipro. 2022. Vyp. 6, № 143. S. 42-56. DOI: <https://doi.org/10.34185/1562-9945-6-143-2022-04>.
8. Hozhyi V.O., Kalinina I. O. Vykorystannia iierarkhichnykh chasovykh merezh Petri dlia modeliuвання web-servisiv. Naukovi pratsi: naukovo-metodychnyi zhurnal. Kompiuterni tekhnolohii. – Mykolaiv: Vyd-vo ChNU im. P. Mohyly. – Mykolaiv, 2018. T. 317. Vyp. 305. – S. 30-35.
9. Hozhyi V. O. Modeliuвання vzaiemodii web-servisiv v Mashup systemakh na os-novi kolorovykh merezh Petri. Naukovi pratsi : nauk. zhurn. – Mykolaiv : Vyd-vo ChNU im. Petra Mohyly, 2018. – T. 320. Vyp. 308. – S. 64–70. – (Kompiuterni tekhnolohii).
10. Kalinina I.O., Hozhyi O.P. Modeliuвання skladnykh system na osnovi kolorovykh merezh Petri: navchalnyi posibnyk. Kherson: knyzhkove vydavnytstvo FOP Vyshemyrskyi V.S., 2021. – 60 s.
11. Ajmone Marsan M., Balbo G., Conte G., Donatelli S., Franceschinis G. Modelling with Generalized Stochastic Petri Nets [Text] – John Wiley and Sons, 1995. – 324 p.
12. Perkusich J., De Figueiredo J. C. A. G-nets: A Petri net based approach for logical and timing analysis of complex software systems. Journal of Systems and Software, vol. 39, ISSUE 1, pp. 39-59, Oct 1997.
13. Bause, F., Kritzinger P.S. Stochastic Petri nets: an introduction to the theory [Text]b–Friedrich Vieweg and Sohn Verlag, 2002. – 223 p.

14. Jensen K., Kristensen L.M., Wells L. Coloured Petri Nets and CPN Tools for Modelling and Validation of Concurrent Systems. Software Tools for Technology Transfer manuscript. 2007. 40 p.
15. Zaitsev D.A., Shmeleva T.R. Simulating Telecommunication Systems with CPN Tools: Students' book – Odessa: ONAT, 2006. – 60 p.
16. Hamadi R., Benatallah B. A Petri net based-model for web service composition. In proc. the 14th Australasian database conference, Adelaide. Darlinghurst: Australian International Journal of Computer Science & Information Technology (IJCSIT) Vol 5, No 3, June 2013.
17. Hozhyi V.O. Alhebra dlia modeliuvannia vzaiemodii web-servisiv Rehionalnyi mizhvuzivskyi zbirnyk naukovykh prats «Systemni tekhnolohii», Dnipro. – 2018. – Vip. 5 (118). – S. 121-132.

Received 26.02.2026
Accepted 03.03.2026
Published 31.03.2026

Simulation model of a multi-channel storage system for fuel and lubricants.

The article considers the construction of a simulation model of a multi-channel fuel and lubricant storage system based on colour Petri nets. A formal description of models based on colour Petri nets is presented. A structural diagram of a multi-channel fuel and lubricant storage system is presented. A general model of the gas station operation process as a multi-channel fuel and lubricant storage system is investigated. A hierarchical approach was used when constructing the simulation model of the system. At the top level, the system model is presented as a whole. Further, the general model was structured by dividing it into two lower-level modules: a module designed for generating vehicles into the gas station system and a module that directly models the processes of refuelling and paying for fuel. To describe the system, its description is given. Functions for a hierarchical simulation model of a multi-channel fuel and lubricant storage system are developed. An analysis of the results of simulation modelling of the operation process of a multi-channel fuel and lubricant storage system with a different number of service channels is presented.

Keywords: Modelling, simulation model, multi-channel system, fuels and lubricants, gas stations, hierarchical model, colour Petri nets, CPN Tools.

Шиян Сергій Іванович – аспірант кафедри інтелектуальних інформаційних систем Чорноморського національного університету ім. Петра Могили.

ORCID: <https://orcid.org/0000-0001-9255-9511>

Shiyan Serhii Ivanovych – Postgraduate student of the Department of Intellectual Information Systems of the Black Sea National University named after Petera Mohyly.

ORCID: <https://orcid.org/0000-0001-9255-9511>.

Д.А. Кондрашов, І.О. Музика, В.В. Костенко, В.А. Чубаров

ВПЛИВ ОПТИЧНИХ ЗВОРОТНИХ ВТРАТ НА НАДІЙНІСТЬ ПЕРЕДАВАННЯ ДАНИХ У GPON-МЕРЕЖІ

Анотація. Актуальність дослідження зумовлена стрімким зростанням ролі GPON-мереж у забезпеченні широкосмугового доступу до Інтернету та підвищеними вимогами до їхньої надійності в умовах інтенсивної експлуатації. Однією з ключових проблем функціонування GPON-мереж є вплив оптичних зворотних втрат, які виникають унаслідок відбиттів та розсіювання оптичного сигналу у волоконно-оптичній лінії зв'язку і можуть призводити до зниження якості передавання даних та порушення синхронізації. Метою роботи є дослідження впливу оптичних зворотних втрат на надійність передавання даних у GPON-мережах та визначення шляхів мінімізації їх негативного впливу. Для досягнення поставленої мети застосовано методи теоретичного аналізу фізичних процесів у волоконно-оптичних лініях, експериментального дослідження реальних GPON-ліній, аналізу рефлектограм, а також математичного та імітаційного моделювання. У результаті дослідження встановлено вплив рівня оптичних зворотних втрат на показник якості сигналу та надійністю передавання даних. Отримані результати дозволили обґрунтувати рекомендації щодо вибору параметрів оптичного обладнання, монтажу та експлуатації мережі. Зроблено висновок, що контроль і зменшення оптичних зворотних втрат є необхідною умовою підвищення стабільності та надійності GPON-мереж.

Ключові слова: GPON, пасивна оптична мережа, волоконно-оптична лінія зв'язку, оптичні зворотні втрати, оптичний бюджет, надійність передавання даних, якість сигналу, рефлектометрія.

Постановка проблеми. У сучасних умовах стрімкого розвитку телекомунікаційних технологій волоконно-оптичні мережі стали основою для забезпечення високошвидкісного та надійного доступу до інформаційних ресурсів. Особливе місце серед них займають мережі Gigabit Passive Optical Network (GPON), які завдяки високій пропускній здатності, енергоефективності та відсутності активних елементів у розподільчій частині широко застосовуються для реалізації різноманітних архітектур типу FTTx. В умовах підвищеного навантаження на мережеву інфраструктуру та необхідності забезпечення безперервного доступу до Інтернету питання надійності передавання даних у GPON-мережах набуває особливої актуальності.

Однією з ключових проблем експлуатації GPON-мереж є вплив фізичних факторів волоконно-оптичної лінії зв'язку на якість оптичного сигналу. Зокрема, оптичні

зворотні втрати, що виникають унаслідок френелівських відбиттів, релєївського розсіювання, дефектів з'єднань і неоднорідностей волокна, призводять до появи паразитних відбитих сигналів. У мережах типу PON, які використовують спільне середовище передавання та механізми часової синхронізації, такі відбиття можуть сприйматися приймальним обладнанням як корисні сигнали, що викликає погіршення співвідношення сигнал–шум, зростання ймовірності бітових помилок та порушення стабільності роботи системи.

Проблема ускладнюється прагненням операторів зв'язку до збільшення кількості абонентів на одному оптичному порту та роботи мережі в умовах обмеженого оптичного бюджету. За таких умов навіть незначне зростання рівня оптичних зворотних втрат може призвести до суттєвого зниження надійності передавання даних. Незважаючи на наявність нормативних вимог до параметрів обладнання, вплив сумарних оптичних зворотних втрат на функціонування GPON-мереж залишається недостатньо формалізованим, що зумовлює необхідність подальших досліджень у цьому напрямі.

Аналіз останніх досліджень і публікацій. Проблема оптичних зворотних втрат (ORL) та відбиттів у волоконно-оптичних лініях розглядається у двох взаємопов'язаних напрямках: фізиці оптичного зворотного зв'язку та його впливу на джерела випромінювання / приймання; прикладних аспектах вимірювання відбиттів і їх впливу на якість передавання в мережах доступу (PON/GPON). Класичною фундаментальною працею, що описує ефекти зовнішнього оптичного зворотного зв'язку на параметри напівпровідникових інжекційних лазерів, є робота науковців R. Lang та K. Kobayashi [1], яка заклала теоретичну основу аналізу чутливості лазерних приймачів до відбиттів.

У прикладній площині значну увагу приділено методикам вимірювання ORL, коефіцієнту відбиття та інтерпретації вимірювань за допомогою спеціалізованого обладнання – оптичних рефлектометрів (Optical Time-Domain Reflectometer, OTDR). Зокрема, у статті G. Lietaert [2] систематизовано підходи до вимірювання ORL та обґрунтовано типові джерела похибок. Практичні рекомендації щодо розмежування понять коефіцієнту відбиття та втрат під час тестування наведені у матеріалах The Fiber Optic Association [3]. Окремо слід відзначити методику компанії VeeX щодо вимірювання OTDR Reflectance і ORL, орієнтовану на діагностику комп'ютерних мереж різного рівня складності [4].

У контексті GPON суттєвими є аналіз продуктивності приймачів у режимі пакетної передачі з вирівнюванням фази тактового сигналу та корекцією помилок для GPON, де показано чутливість приймача до спотворень і завад, зокрема спричинених відбиттями та розсіюванням [5]. Хоча нормативну основу для параметрів фізичного рівня GPON (зокрема вимог до оптичного інтерфейсу) формують рекомендації ІТУ-Т серії G.984.x, зокрема G.984.2 [6], однак на практиці не завжди вдається досягти бажаної надійності передавання інформації у зв'язку з наявністю низки факторів у т. ч. і пов'язаних з якістю зварки оптоволокна, чистоти обладнання, якості електроніки тощо.

Загалом, аналіз публікацій показує, що методи вимірювання ORL добре формалізовані, однак прикладна залежність між ORL та показниками якості / надійності

(BER, стабільність синхронізації) для конкретних умов GPON-ліній потребує додаткового вивчення з урахуванням умов конкретних каналами зв'язку та параметрів обладнання.

Мета дослідження. Метою даного дослідження є вивчення впливу оптичних зворотних втрат на надійність передавання даних у мережах типу GPON та обґрунтування технічних рішень, спрямованих на зменшення їх негативного впливу на якість функціонування волоконно-оптичних ліній зв'язку. У межах дослідження передбачається встановити закономірності взаємозв'язку між рівнем оптичних зворотних втрат, параметрами оптичного бюджету та показниками якості передавання даних, зокрема стабільністю синхронізації та імовірністю бітових помилок. Особлива увага приділяється аналізу впливу конструктивних і монтажних особливостей оптичної лінії, а також характеристик активного обладнання OLT та ONU на формування сумарного рівня відбитого сигналу. Досягнення поставленої мети має забезпечити формування практичних рекомендацій щодо проектування, експлуатації та діагностики GPON-мереж з підвищеним рівнем надійності та стійкості до фізичних спотворень оптичного сигналу.

Викладення основного матеріалу дослідження. Надійність передавання даних у мережах Gigabit Passive Optical Network (GPON) значною мірою визначається параметрами фізичного рівня волоконно-оптичної лінії зв'язку. На відміну від активних топологій, GPON використовує спільне оптичне середовище та механізми часової синхронізації, що підвищує чутливість системи до фізичних спотворень сигналу. Одним із найбільш критичних факторів, що впливають на стабільність роботи таких мереж, є оптичні зворотні втрати (Optical Return Loss, ORL), зумовлені зворотними відбиттями та розсіюванням оптичного сигналу у волокні (рис. 1).

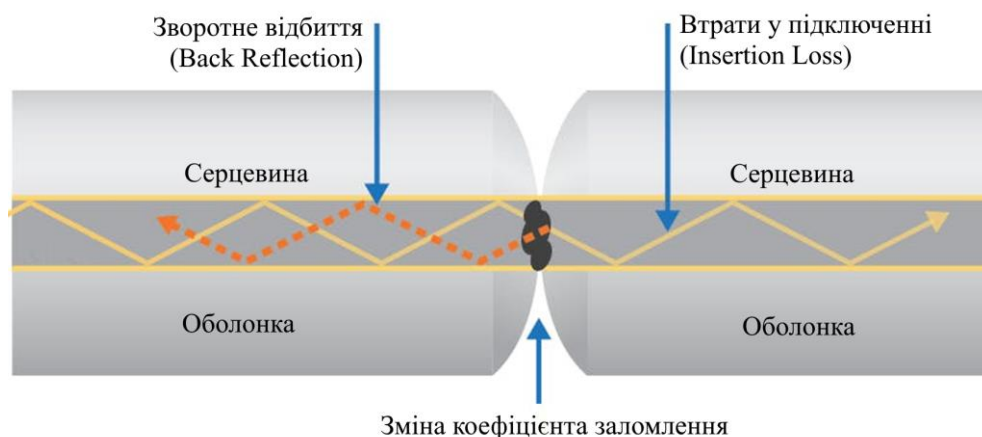


Рисунок 1 – Оптичний сигнал зазнає внесених втрат (Insertion Loss) і зворотного відбиття (Back Reflection) [7]

Оптичні зворотні втрати формуються внаслідок сукупної дії френелівських відбиттів на межах неоднорідностей та релєвського розсіювання в серцевині оптичного волокна. Френелівські відбиття виникають у місцях різкої зміни показника заломлення, зокрема на торцях конекторів, у місцях механічних пошкоджень, мікротріщин або заб-

руднення оптичних поверхонь. Релєвське розсіювання, своєю чергою, є об'ємним ефектом, пов'язаним із «вмороженими» мікронеоднорідностями структури волокна, і присутнє по всій його довжині.

Сумарний рівень ORL визначається як логарифмічне відношення потужності випромінюваного сигналу до потужності зворотно відбитого світлового потоку. Важливо відзначити, що ORL характеризує інтегральний ефект усіх відбиттів і розсіювання вздовж оптичної траси. Високі значення ORL відповідають меншим втратам на відбиття та свідчать про кращу якість волоконно-оптичної лінії.

У GPON-мережах (рис. 2) оптичні зворотні втрати мають особливо негативний вплив у висхідному напрямку передавання даних. Це пов'язано з використанням burst-mode приймачів на стороні OLT, які працюють у режимі приймання коротких імпульсів від різних ONU з різною відстанню та рівнем потужності. Зворотно відбиті сигнали можуть потрапляти в часові вікна приймання, порушувати процедури вирівнювання фаз і рівнів, а також знижувати ефективність механізмів корекції помилок.

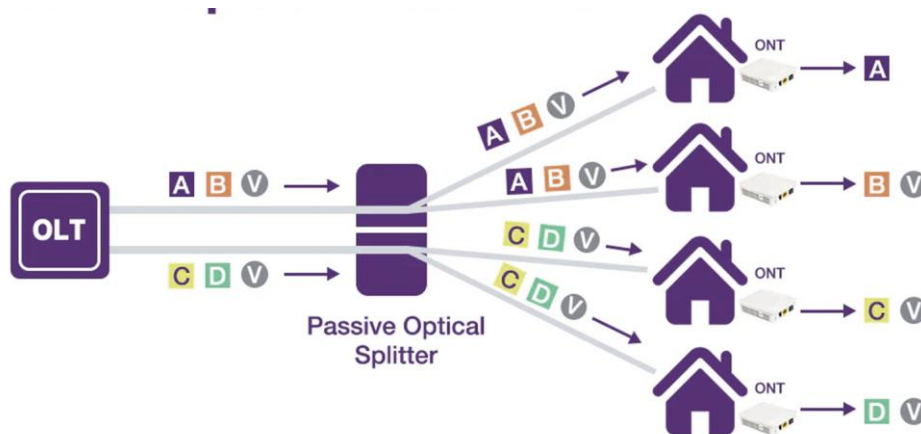


Рисунок 2 – Структура типової PON-мережі [8]

Підвищений рівень ORL призводить до погіршення співвідношення сигнал–шум, зростання ймовірності бітових помилок (BER) та нестабільної роботи системи динамічного розподілу смуги пропускання (DBA). У граничних випадках це може викликати втрату синхронізації між OLT та ONU, повторні процедури ресстрації абонентських терміналів або переривання сервісів.

Оптичний бюджет є базовим параметром при проектуванні та експлуатації GPON-мереж. Він визначається різницею між потужністю передавача та чутливістю приймача з урахуванням усіх втрат у волоконно-оптичній лінії. До основних складових втрат належать загасання усередині волокна, втрати на зварних з'єднаннях, втрати на конекторах, а також втрати, внесені пасивними розгалужувачами.

Оптичні зворотні втрати формально не зменшують енергетичний бюджет у прямому сенсі, проте вони погіршують ефективність використання наявного бюджету. В умовах, коли мережа працює поблизу граничних значень допустимих втрат, навіть незначне зростання ORL може призвести до зниження запасу надійності та нестабільної роботи приймального обладнання. Це особливо актуально для GPON-ліній з великим коефіцієнтом розгалуження (1:64, 1:128) та значною протяжністю.

У межах дослідження проведено аналіз реальних GPON-ліній різної довжини та конфігурації з використанням оптичного рефлектометра (OTDR). Отримані рефлектограми дозволили ідентифікувати основні джерела відбиттів, оцінити рівень рефлектансу окремих подій та визначити інтегральне значення ORL для кожної лінії. На рисунку 3 подано типову рефлектограму з описом причин зменшення потужності сигналу.

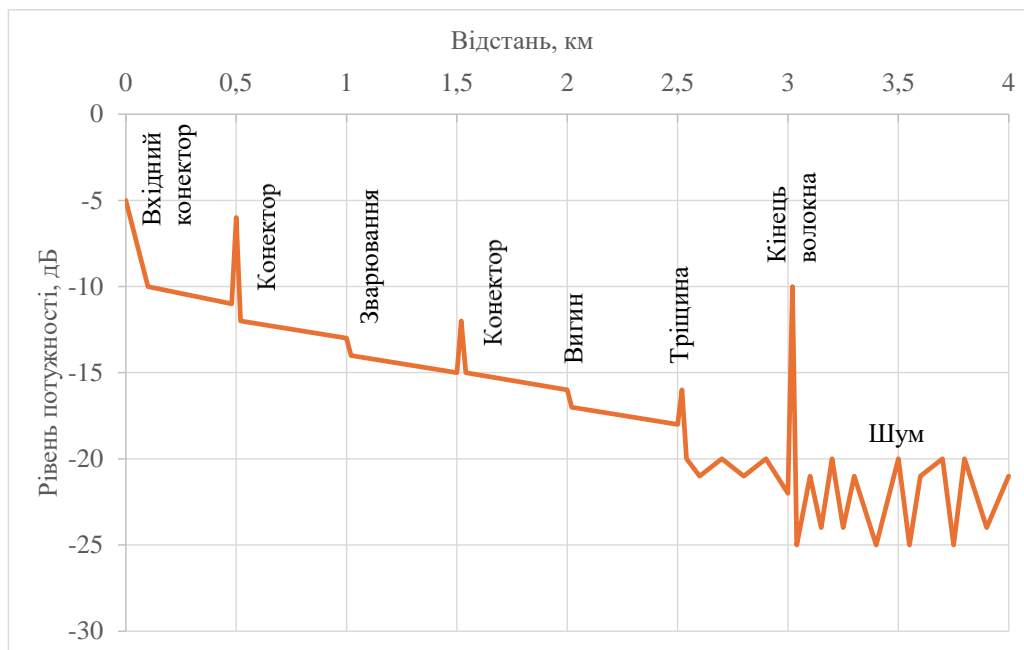


Рисунок 3 – Приклад типової рефлектограми OTDR оптоволоконної лінії

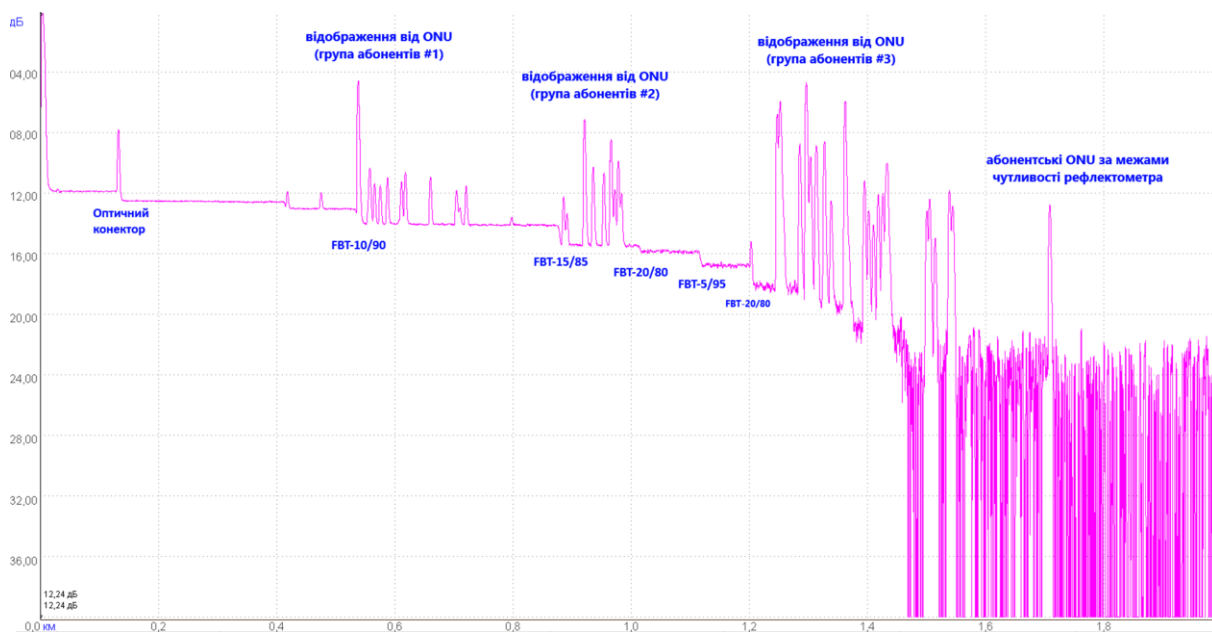


Рисунок 4 – Аналіз рефлектограми у діапазоні 1310 нм

Аналіз результатів показав (рис. 4), що найбільший внесок у погіршення ORL вносять не загасання всередині волокна, а локальні явища з високим рівнем відбиття, зокрема конектори з прямим поліруванням (UPC), забруднені або пошкоджені торці

волокна, а також неякісно виконані механічні з'єднання. Виявлено, що використання конекторів з кутовим поліруванням (APC) суттєво знижує рівень френелівських відбиттів і покращує сумарний показник ORL.

Для оцінки впливу оптичних зворотних втрат на надійність передавання даних було виконано математичне та імітаційне моделювання. Модель враховувала залежність рівня шумів приймача від потужності зворотно відбитого сигналу, а також вплив ORL на ефективність корекції помилок. Отримані результати підтвердили експериментальні спостереження та показали нелінійний характер впливу ORL на показники BER.

Необхідність використовувати метод математичного моделювання виникла через те, що якщо використовувати практичну модель, то в цій моделі можливо зробити вимір лише реального значення параметра ORL і, відповідно, одержати відстань до місць в оптичному кабелі, де наявні проблеми. Але створити процес впливу цих параметрів на сигнал оптичного трансиверу, процес додавання цих сигналів у зв'язку із внесенням їх у тракт приймання, а також аналіз наслідків цього явища є неможливим. Це вимагає наявності спеціального устаткування й додаткових вимірювальних приладів.

Характер моделі системи можна описати у вигляді трьох множин: $y_b(x)$, $ORF(x)$, $S_1(x)$, x , де $y_b(x)$ та $ORF(x)$ – множина досліджуваних елементів (в даному випадку це вхідний сигнал трансиверу, який надходить до оптичної лінії); $S_1(x)$ – множина допустимих зв'язків між елементами (структура моделі); x – множина розглянутих моментів часу.

Для створення математичної моделі було використано середовище Mathcad 15.0. Задано вхідний сигнал у вигляді (1):

$$y_b(x) = \begin{cases} 0 & \text{if } 0 \leq x \leq 3 \\ 1 & \text{if } 3 < x \leq 6 \\ 0 & \text{otherwise} \end{cases} \quad (1)$$

На рис. 5 зображено графік одного періоду такого вхідного сигналу.

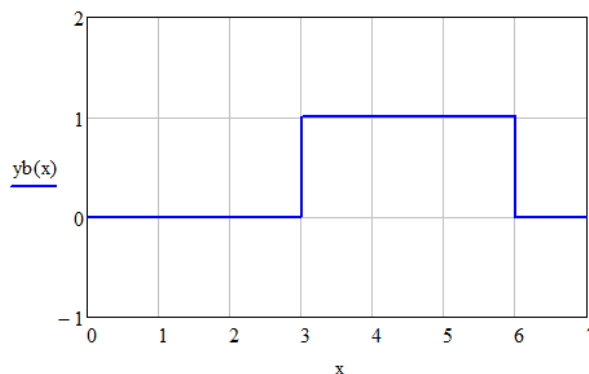


Рисунок 5 – Один період вхідного сигналу

На графіку (рис. 6) представлено вхідний сигнал на певному досліджуваному інтервалі часу, який описується формулою (2).

$$f(x) = \sum_{m=-1}^7 y_b(x - m \cdot T) \quad (2)$$

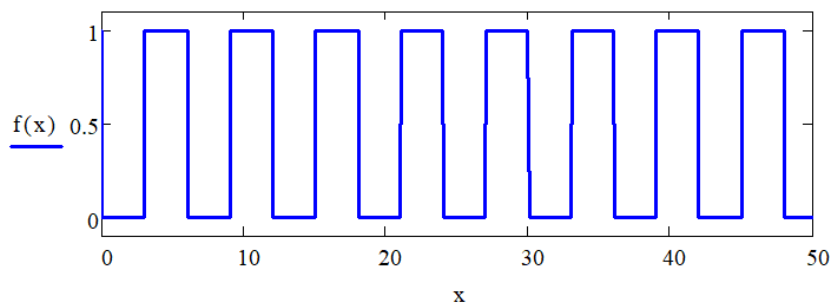


Рисунок 6 – Вхідний сигнал на досліджуваному інтервалі часу

Для того, щоб наблизити математичну модель сигналу до реальної фізичної моделі необхідно знайти неперервну функцію сигналу та ввести до неї фізичні властивості обладнання при формуванні сигналу. Для цього використано перетворення Фур'є (3) такого вигляду:

$$S_1(x) = \frac{a_0}{2} + \sum_{k=1}^n [a_k \cos(k \cdot \Omega \cdot x) + b_k \sin(k \cdot \Omega \cdot x)] \quad (3)$$

де $a(k)$ та $b(k)$ – параметри, наведені у формулах (4) та (5) відповідно:

$$a_k = \frac{2}{T} \cdot \int_{t_0}^{t_0+T} y_b(x) \cdot \cos(k \cdot \Omega \cdot x) dx \quad (4)$$

$$b_k = \frac{2}{T} \cdot \int_{t_0}^{t_0+T} y_b(x) \cdot \sin(k \cdot \Omega \cdot x) dx \quad (5)$$

На рис. 7 зображений вхідний сигнал, наблизений до реальної фізичної моделі у вигляді неперервної функції, знайденої за допомогою розкладання в ряд Фур'є.

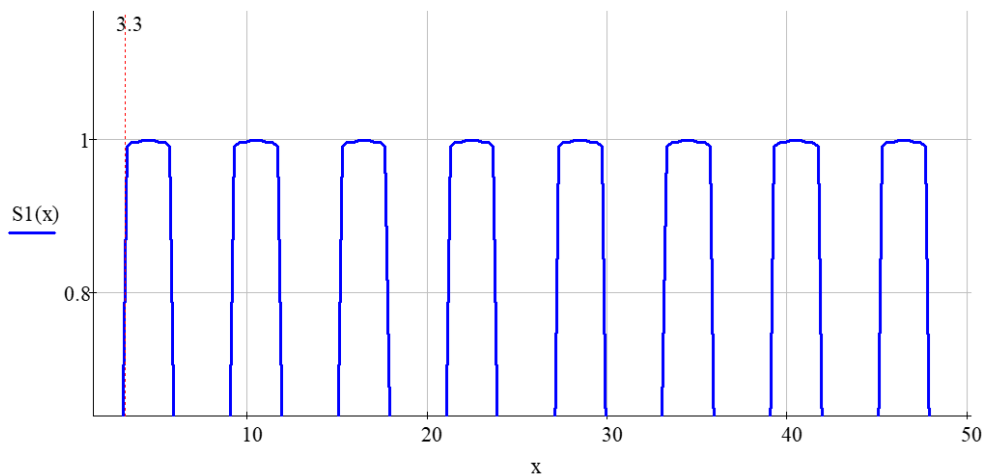


Рисунок 7 – Вхідний сигнал, наблизений до реальної фізичної моделі

Для створення моделі впливу ORL на сигнал необхідно змоделювати функцію зворотніх відбиттів (ORF або Optical Return Function). Функція ORF буде пов'язана із зворотніми відображеннями вхідного сигналу, які будуть зумовлені неоднорідностями, що знаходяться на різних відстанях та, відповідно, мають різну величину. Отже, для моделювання необхідно використовувати випадкові значення амплітуд відбиттів та їх затримок у часі.

Для моделювання ORF використано множину випадкових значень коефіцієнтів r для моделювання затримок та загасань.

$$r = \text{rexp}(n, 10) \quad (6)$$

У формулі 6 зображена функція створення випадкової множини значень коефіцієнтів, які будуть використовуватися для моделювання ORF. Нижче у формулі (7) представлено функцію обирання коефіцієнта із створеної множини випадкових значень r в залежності від кроку анімації.

$$T_1(x) = \frac{x+4}{T} (4 + sm) \quad (7)$$

Формула (8) буде використовуватися для створення випадкового часового зсуву функції ORF відносно вхідного сигналу.

$$\text{delta}(x) = x - 3 + 15 \cdot r_{\text{floor}(T_1(x))} \quad (8)$$

$$\text{ORF}_{\text{base}}(x) = \left| \frac{10^{-45 \cdot r_{\text{floor}(T_1(x))}}}{45} S_1(x) \right| \quad (9)$$

Визначимо функцію випадкового коефіцієнту підсилення вхідного сигналу (9), який зумовлений неоднорідностями оптичного волокна.

$$\text{ORF}(x) = \text{ORF}_{\text{base}}(\text{delta}(x - sm)) \quad (10)$$

Функція (10) випадкового коефіцієнту амплітуди ORF з урахуванням випадкового зсуву в часі сигналу, який відбивається від неоднорідностей. У формулі 11 наведена результуюча математична модель вихідного сигналу з урахуванням впливу ORF на вхідний сигнал.

$$\text{SUM}(x) = S_1(x) + \text{ORF}(x) \quad (11)$$

На рис. 8 зображено ORF та вихідний сигнал з підсиленнями вхідного сигналу, які зумовлені ORF, верхньою та нижньою границями сприйнятливості приймача світлового сигналу.

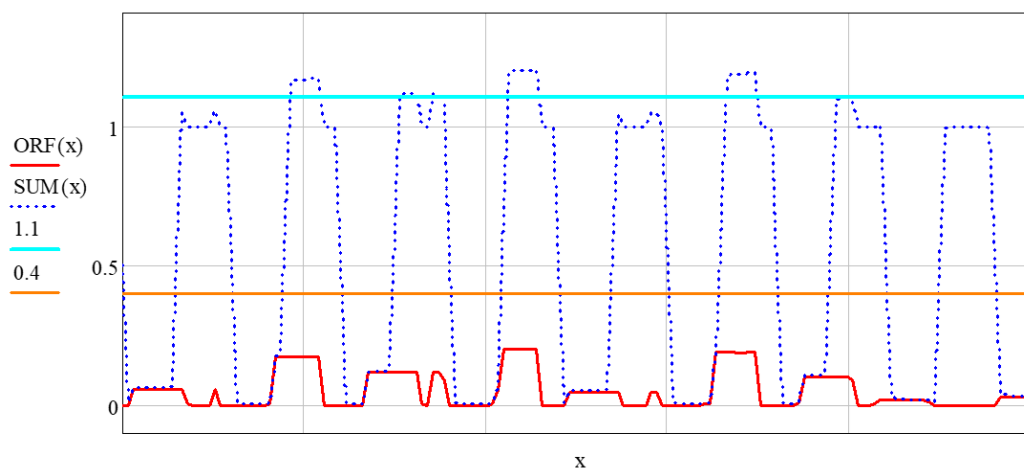


Рисунок 8 – ORF та вихідний сигнал, наближений до реальної фізичної моделі

Синім пунктиром наведено вхідний сигнал, що надходить на приймач. Червоним кольором наведено рівень зворотніх відображень, що в рамках прикладу генерується з використанням випадкової множини значень. Верхня та нижня границі сприйняття визначають, яким має бути сигнал, щоб його розпізнав приймач, та залежить від класу приймача і його технічної характеристики. У більш потужних та чутливих приймачі

класу C++ і вище границі сприйняття є ширшими, а тому ORL можуть бути сприйняті як сигнал і, відповідно, викликатимуть розсинхронізацію.

На графіку (рис. 9) можна спостерігати, що в цьому випадку оптичні зворотні відображення не впливають на приймач, тому що не переходять нижню границю сприйняття. Але якщо змодельовати аналогічну ситуацію з більш чутливим приймачем, то відбиття будуть прийняті як сигнал (рис. 9).

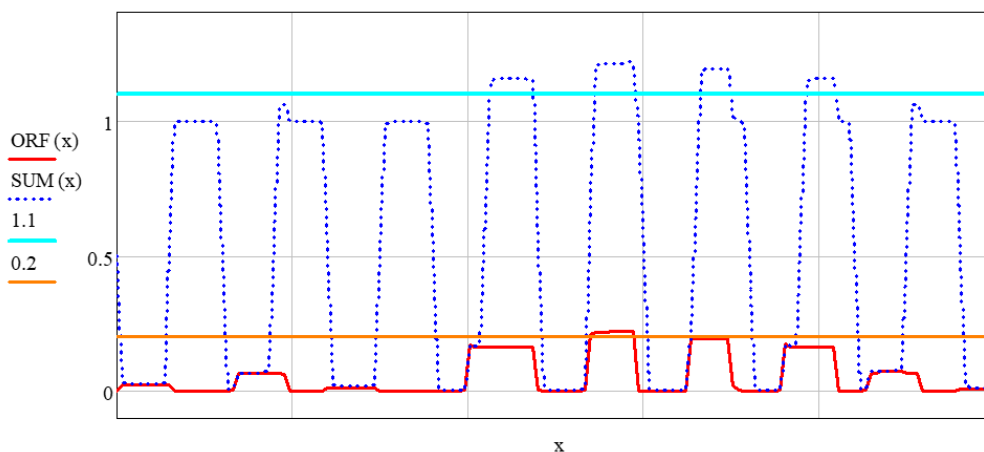


Рисунок 9 – ORF та вихідний сигнал при більш чутливому приймачі

Варто зазначити, що в тому випадку, коли вплив ORL на приймач є незначним, то є можливим програмне коригування його границь сприйняття. В іншому випадку для вирішення проблеми зворотніх відображень необхідно підбирати оптичні модулі залежно від конкретних умов мережі. На коротких відстанях є оптимальним використання менш потужних приймачів (наприклад, класу C+), що зменшить кількість оптичних відображень, а великих відстанях, де відображення поступово стухають разом із сигналом, можливе застосування високопотужних приймачів (наприклад, класу C++ і вище), що підвищить загальну пропускну здатність мережі без негативного впливу оптичних зворотніх відображень.

У результаті математичного моделювання було продемонстровано вплив зворотного відбиття на якість передачі даних в оптичному каналі GPON-мережі при наявності високочутливого приймача, який може помилково сприймати відбиття ORL як реальний сигнал і, відповідно, отримати збій часової синхронізації. Моделювання засвідчило, що при достатньому запасі оптичного бюджету система здатна компенсувати негативний вплив зворотніх відбиттів. Однак у режимах граничного бюджету навіть помірне погіршення ORL призводить до різкого зростання BER і втрати стабільності передавання. Це підтверджує необхідність урахування ORL не лише як допоміжного, а як одного з ключових параметрів проектування GPON-мереж.

На основі проведеного аналізу сформульовано практичні рекомендації щодо підвищення надійності передавання даних у GPON-мережах. До них належать використання APC-конекторів у критичних ділянках мережі, мінімізація кількості з'єднань, регулярний контроль чистоти оптичних поверхонь, а також забезпечення достатнього запасу оптичного бюджету на етапі проектування. Систематичний моніторинг ORL та

аналіз рефлектограм дозволяють своєчасно виявляти деградацію лінії та запобігати аварійним ситуаціям.

Висновки. У статті виконано дослідження впливу оптичних зворотних втрат на надійність передавання даних у мережах типу GPON, що дозволило узагальнити фізичні та експлуатаційні аспекти функціонування волоконно-оптичних ліній зв'язку. Проаналізовано основні механізми формування оптичних зворотних втрат, зокрема френелівські відбиття та релєївське розсіювання, а також визначено роль якості монтажу, типів конекторів і параметрів пасивних компонентів у формуванні сумарного рівня ORL. Показано, що зростання оптичних зворотних втрат призводить до погіршення співвідношення сигнал–шум, підвищення ймовірності бітових помилок та зниження стабільності роботи приймального обладнання GPON, особливо у висхідному напрямку передавання даних. У межах дослідження встановлено залежність між рівнем ORL, запасом оптичного бюджету та надійністю передавання даних у реальних GPON-лініях різної довжини та конфігурації. Результати математичного та імітаційного моделювання підтвердили, що робота мережі в умовах граничного оптичного бюджету значно підвищує чутливість системи до відбиттів і зворотного розсіювання. На основі отриманих результатів сформульовано практичні рекомендації щодо мінімізації оптичних зворотних втрат, зокрема шляхом використання конекторів з кутовим поліруванням, оптимізації структури з'єднань та забезпечення достатнього запасу оптичного бюджету. Таким чином, систематичний контроль оптичних зворотних втрат (ORL) є необхідною умовою підвищення надійності та стабільності функціонування GPON-мереж.

ЛІТЕРАТУРА

1. Lang R., Kobayashi K. External optical feedback effects on semiconductor injection laser properties // IEEE Journal on Quantum Electronics. 1980. Vol. QE-16. P. 347–355. URL: <https://ieeexplore.ieee.org/document/1070479> (дата звернення 02.01.2026)
2. Lietaert G. Optical return loss measurement. White Paper JDSU, 2006. URL: <https://www.jdsu.com> (дата звернення 02.01.2026).
3. The Fiber Optic Association, Inc. Measuring Reflectance or Return Loss. URL: <https://www.thefoa.org/tech/ref/testing/test/reflectance.html> (дата звернення 02.01.2026)
4. Technical Note: Measuring OTDR Reflectance and ORL. URL: https://download1.veexinc.com/RXT-4100/Technical-Notes/10014/Measuring_OTDR_Reflectance_and_ORL_D08-00-088_A00.pdf (дата звернення 02.01.2026).
5. Shastri B. J., Faucher J., Kheder N., Zeng M., Zicha N., Plant D. Performance analysis of burst-mode receivers with clock phase alignment and forward error correction for GPON. Analog Integr Circ Sig Process, 2009. P. 57–70. URL: https://www.queensu.ca/physics/shastrilab/sites/shastwww/files/uploaded_files/publications/journals/4_Shastri_Analog_bmcpa_2009.pdf (дата звернення 02.01.2026).
6. Gigabit-capable Passive Optical Networks (G-PON): Physical Media Dependent (PMD) layer specification. ITU-T G.984.2 Telecommunication Standardization Sector Of ITU, 2019. P. 5. URL: https://www.itu.int/rec/dologin_pub.asp?lang=e&id=T-REC-G.984.2-201908-I!!PDF-E&type=items (дата звернення 02.01.2026).

7. Where does optical return loss matter. URL: <https://www.cablinginstall.com/data-center/article/14210663/where-does-optical-return-loss-matter> (дата звернення 02.01.2026).

8. AON vs. PON: Which is Better for FTTH Network.

URL: <https://www.vcelink.com/blogs/focus/aon-vs-pon> (дата звернення 02.01.2026).

REFERENCES

1. Lang, R., & Kobayashi, K. (1980). External optical feedback effects on semiconductor injection laser properties. *IEEE Journal on Quantum Electronics*, 16(3), 347–355. <https://doi.org/10.1109/JQE.1980.1070479>

2. Lietaert, G. (2006). Optical return loss measurement (White paper). JDSU. <https://www.jdsu.com>

3. The Fiber Optic Association, Inc. (n.d.). Measuring reflectance or return loss. <https://www.thefoa.org/tech/ref/testing/test/reflectance.html>

4. VeeX Inc. (n.d.). Measuring OTDR reflectance and ORL (Technical note). https://download1.veexinc.com/RXT-4100/Technical-Notes/10014/Measuring_OTDR_Reflectance_and_ORL_D08-00-088_A00.pdf

5. Shastri, B. J., Faucher, J., Kheder, N., Zeng, M., Zicha, N., & Plant, D. (2009). Performance analysis of burst-mode receivers with clock phase alignment and forward error correction for GPON. *Analog Integrated Circuits and Signal Processing*, 57–70. https://www.queensu.ca/physics/shastrilab/sites/shastwww/files/uploaded_files/publications/journals/4_Shastri_Analog_bmcpa_2009.pdf

6. International Telecommunication Union. (2019). Gigabit-capable Passive Optical Networks (G-PON): Physical media dependent (PMD) layer specification (ITU-T Recommendation G.984.2). <https://www.itu.int/rec/T-REC-G.984.2>

7. Where does optical return loss matter? (n.d.). Cabling Installation & Maintenance. <https://www.cablinginstall.com/data-center/article/14210663/where-does-optical-return-loss-matter>

8. AON vs. PON: Which is better for FTTH network? (n.d.). VCElink Blog. <https://www.vcelink.com/blogs/focus/aon-vs-pon>

Received 03.03.2026

Accepted 09.03.2026

Published 31.03.2026

The impact of optical reverse losses on the reliability of data transmission in GPON networks

The rapid deployment of Gigabit Passive Optical Networks (GPON) as a core technology for broadband access has significantly increased the requirements for transmission reliability and physical layer stability. In shared optical access networks, such as GPON, the quality of the fiber-optic link plays a crucial role in ensuring stable data transmission, especially under high split ratios and limited optical power budgets. One of the critical physical factors affecting network performance is optical return loss (ORL), which is caused by Fresnel reflections and Rayleigh backscattering in optical fibers, connectors, splices, and other network components.

This paper investigates the impact of optical return loss on data transmission reliability in GPON networks. The study focuses on the influence of back-reflected optical signals on signal quality, synchronization stability, and error performance, particularly in the upstream

direction, where burst-mode receivers are used. The aim of the research is to assess the relationship between ORL levels, optical budget margins, and key quality indicators of GPON systems.

The research methodology combines theoretical analysis of physical processes in fiber-optic links, experimental measurements of real GPON lines using optical time-domain reflectometry, and mathematical as well as simulation modeling. The obtained results demonstrate that increased optical return loss leads to degradation of the signal-to-noise ratio, higher bit error rates, and reduced operational stability, especially when the network operates close to its maximum allowable optical budget.

Based on the analysis, practical recommendations are proposed to minimize optical return loss and improve GPON network reliability, including the use of angled physical contact connectors, optimization of connection topology, reduction of reflective events, and continuous monitoring of ORL parameters. The results confirm that effective control of optical return loss is a necessary condition for ensuring reliable and stable operation of GPON access networks.

Keywords: GPON, passive optical network, fiber-optic communication line, optical return loss, optical budget, data transmission reliability, signal quality, reflectometry.

Кондрашов Дмитро Андрійович – аспірант кафедри комп’ютерних систем та мереж Криворізького національного університету, Кривий Ріг, Україна.

ORCID: <https://orcid.org/0009-0008-6751-925X>

Музика Іван Олегович – к.т.н., доцент кафедри комп’ютерних систем та мереж Криворізького національного університету, Кривий Ріг, Україна.

ORCID: <https://orcid.org/0000-0002-9202-2973>

Костенко Владислав Володимирович – провідний інженер ТОВ «Претчер», Кривий Ріг, Україна.

ORCID: <https://orcid.org/0009-0003-0525-9396>

Чубаров Владислав Анатолійович – к.т.н., доцент кафедри комп’ютерних систем та мереж Криворізького національного університету, Кривий Ріг, Україна.

ORCID: <https://orcid.org/0000-0002-7369-2859>

Kondrashov Dmytro Andriiovych – postgraduate student, department of computer systems and networks, Kryvyi Rih National University, Kryvyi Rih, Ukraine.

ORCID: <https://orcid.org/0009-0008-6751-925X>

Muzyka Ivan Olehovych – PhD, associate professor, department of computer systems and networks, Kryvyi Rih National University, Kryvyi Rih, Ukraine.

ORCID: <https://orcid.org/0000-0002-9202-2973>

Kostenko Vladyslav Volodymyrovych – Lead Engineer, Pretcher LLC, Kryvyi Rih, Ukraine.

ORCID: <https://orcid.org/0009-0003-0525-9396>

Chubarov Vladyslav Anatoliiovych – PhD, associate professor, department of computer systems and networks, Kryvyi Rih National University, Kryvyi Rih, Ukraine.

ORCID: <https://orcid.org/0000-0002-7369-2859>

ПРО РОЗВ'ЯЗАННЯ ЛОГІСТИЧНИХ ЗАДАЧ МЕТОДАМИ ТЕОРІЇ ОПТИМАЛЬНОГО РОЗБИТТЯ МНОЖИН

Анотація. У статті розглянуто підхід до розв'язання широкого класу логістичних задач на основі методів теорії оптимального розбиття множин. Зокрема, запропоновано математичну формалізацію задач, пов'язаних із просторовим розміщенням об'єктів, оптимізацією маршрутів доставки, зонуванням територій та розподілом ресурсів, у вигляді задач оптимального розбиття множини з урахуванням заданих критеріїв ефективності. Основна увага приділена динамічним аспектам формулювання задачі, які передбачають зміну вхідних даних у часі, а також наявність стохастичних компонентів і невизначеності. Наведено алгоритмічні підходи до розв'язання таких задач, зокрема із застосуванням модифікованих евристичних і метаевристичних методів, а також елементів машинного навчання для прогнозування змін у параметрах системи. Отримані результати можуть бути використані для підвищення ефективності прийняття управлінських рішень у логістиці, урбаністиці та інших прикладних сферах, де важливо враховувати як структуру простору, так і динаміку змін.

Ключові слова: оптимальне розбиття, логістичні задачі, динамічні моделі, просторове зонування, розподіл ресурсів, чисельне моделювання.

Постановка проблеми. У сучасному світі логістика відіграє ключову роль у забезпеченні ефективного функціонування як комерційних, так і державних систем, що керують потоками матеріальних ресурсів, послуг та інформації. Логістичні задачі охоплюють надзвичайно широкий спектр прикладних проблем: оптимізацію маршрутів доставки, планування розміщення складів і сервісних центрів, територіальне зонування для обслуговування населення, організацію розподілу ресурсів за наявності обмежень і невизначеності та багато інших. Традиційно такі задачі розв'язуються із застосуванням методів дослідження операцій, математичного програмування, теорії графів, еволюційних обчислень та інших чисельних і аналітичних підходів.

Однак зі зростанням складності модельованих систем посилюється потреба у більш гнучких, узагальнених і масштабованих методах, здатних враховувати як просторову, так і часову структуру задач. Одним із перспективних напрямів у цьому контексті є використання теорії оптимального розбиття множин – підходу, що ґрунтується на пошуку найкращого способу поділу множини об'єктів або елементів на підмножини відповідно до заданих критеріїв. Такий підхід забезпечує природну формалізацію багатьох

логістичних задач, зокрема тих, що пов'язані з розміщенням, кластеризацією, зонуванням і балансуванням навантаження між зонами обслуговування.

Динамічні постановки задач оптимального розбиття множин мають особливе значення у випадках, коли вхідні параметри змінюються з часом або зазнають стохастичних впливів. У таких умовах розв'язки повинні бути адаптивними, а алгоритми – здатними до перерахунку та оновлення результатів у режимі реального часу або з урахуванням прогнозованих змін. Це відкриває широкі можливості для інтеграції методів машинного навчання, байєсівських підходів до обробки невизначеності, а також для побудови гібридних моделей, що поєднують аналітичну строгість із евристичною гнучкістю.

Метою цієї статті є дослідження потенціалу застосування методів теорії оптимального розбиття множин для розв'язання логістичних задач у динамічних середовищах. Зокрема, розглянуто математичні постановки відповідних задач, запропоновано алгоритмічні підходи до їх розв'язання та проведено чисельні експерименти для оцінювання ефективності розроблених методів. Основну увагу приділено просторовим аспектам задач транспортної логістики, що потребують урахування географічної структури, а також задачам динамічного перерозподілу ресурсів за умов невизначених початкових даних. Отримані результати підтверджують перспективність запропонованого підходу та його потенціал для подальших досліджень і практичного застосування.

Аналіз останніх досліджень і публікацій. Розв'язання логістичних задач із використанням методів оптимального розбиття множин є актуальною проблематикою сучасної прикладної математики та інформатики. Для глибшого розуміння розвитку цього напрямку розглянемо ключові праці у відповідній галузі – від класичних досліджень до сучасних результатів.

Фішер [1] запропонував застосування лагранжевої релаксації для знаходження оптимальних розв'язків задач покриття та розбиття множин. Запропонований підхід суттєво підвищує якість і швидкість отримання оптимальних розв'язків, що має принципове значення для логістичних задач із великою кількістю елементів. Відтоді метод лагранжевої релаксації став одним із базових інструментів дослідження задач комбінаторної оптимізації, зокрема у логістичних застосуваннях.

Кісельова та Шор [2] дослідили неперервні задачі оптимального розбиття множин, запропонувавши фундаментальні принципи та алгоритмічні підходи до їх розв'язання. Їх монографічний підхід охоплює аналіз властивостей задач, розробку ефективних алгоритмів і розгляд практичних застосувань, зокрема у сфері логістики та оптимального розподілу ресурсів. Ця праця суттєво розширила межі класичної теорії оптимального розбиття множин, адаптувавши її до неперервних і динамічних постановок задач.

У статті Кісельової, Притоманової та Гарт [3] запропоновано метод розв'язання двоетапної неперервно-дискретної задачі оптимального розбиття з урахуванням розміщення центрів підмножин. Авторами розроблено алгоритми, що поєднують методи комбінаторної оптимізації з евристичними підходами для адаптивного просторового ро-

зподілу елементів. Такий підхід є особливо актуальним для задач транспортної логістики в умовах динамічної зміни параметрів.

У цій же роботі [4] авторами запропоновано алгоритм побудови діаграм Вороного з оптимальним розміщенням генераторів на основі теорії оптимального розбиття множин. Це забезпечує можливість моделювання просторових розподілів об'єктів, що має безпосереднє застосування у задачах територіального зонування та оптимізації маршрутів.

У нещодавньому дослідженні Lin, Zhang та Li [5] розглянуто задачу оптимального нерозміченого розбиття множин із застосуванням до оцінювання ризиків. Авторами запропоновано сучасні математичні моделі та методи, які враховують невизначеність даних і забезпечують гнучку адаптацію до змін вхідної інформації, що є надзвичайно важливим для динамічних логістичних систем.

Samer та співавтори [6] представили новий підхід до узагальнених задач оптимального розбиття множин, заснований на релаксації узгодження – що дозволило суттєво розширити клас задач, придатних до розв'язання. Запропоновані методи демонструють високу ефективність при розв'язуванні великомасштабних задач із різними типами обмежень, характерних для логістичних систем.

Pintér [7] досліджував задачі глобальної оптимізації початкових центрів кластеризації для моделей розбиття множин – що сприяє формуванню більш якісних початкових наближень для ітераційних алгоритмів. Такий підхід підвищує загальну ефективність пошуку оптимальних розв'язків у задачах логістичного зонування.

Fekete, Koehler та Teich [8] запропонували методи багатовимірного пакування з урахуванням порядкових обмежень – які мають прикладне значення для планування складських і транспортних систем. Ця робота розширює класичні підходи до розбиття шляхом включення додаткових умов та обмежень.

Mallozzi, Puerto та Rodríguez-Madrena [9] розглядали задачі розміщення та розподілу з урахуванням просторових характеристик об'єктів – що є важливим для проектування складських комплексів і логістичних хабів, де геометричні параметри та просторове розташування відіграють визначальну роль.

Класичні підручники Ahuja, Magnanti та Orlin [10], Nemhauser і Wolsey [11], а також Dantzig і Thapa [12] і надалі залишаються базовими джерелами для вивчення потоків у мережах, цілочислової оптимізації та лінійного програмування – напрямів, що становлять теоретичну основу багатьох сучасних методів розв'язання логістичних задач.

Довідковий посібник Gurobi Optimizer Reference Manual [13] ілюструє практичне застосування сучасних комерційних систем оптимізації для розв'язання складних оптимізаційних задач, зокрема задач оптимального розбиття множин і транспортної логістики.

У роботі Burke та Kendall [14] представлено сучасні методології пошуку та підходи до підтримки прийняття рішень – включно з евристичними й метаевристичними

алгоритмами, що широко використовуються для розв'язання складних оптимізаційних задач у логістиці.

Hwang, Richards та Winter [15] здійснили ґрунтовне дослідження задачі дерева Штейнера – однієї з ключових задач теорії графів і мережевої оптимізації, яка має важливі прикладні застосування у проектуванні транспортних та комунікаційних мереж.

Отже, сучасний розвиток теорії оптимального розбиття множин і методів комбінаторної оптимізації відкриває широкі можливості для розв'язання складних логістичних задач із урахуванням просторових, часових і стохастичних аспектів. Поєднання класичних теоретичних засад із новими алгоритмічними підходами та потужними програмними засобами формує надійну основу для подальших досліджень і практичних застосувань.

Мета дослідження. Метою даної роботи є розробка підходу до розв'язання широкого класу логістичних задач на основі методів теорії оптимального розбиття множин. Зокрема, дослідження спрямоване на математичну формалізацію задач, пов'язаних із просторовим розміщенням об'єктів, оптимізацією маршрутів доставки, зонуванням територій та розподілом ресурсів, у вигляді задач оптимального розбиття множини з урахуванням заданих критеріїв ефективності.

Особлива увага приділена динамічним аспектам задачі, що передбачають зміну вхідних даних у часі, а також наявність стохастичних компонентів і невизначеності.

Викладення основного матеріалу дослідження. Знайти розбиття $\varpi = \{\Omega_1, \dots, \Omega_N\} \in \Sigma_{\Omega}^N$ множини $\Omega \subset E_n$ і векторну функцію $\rho(x, t)$, визначену майже всюди (м.в.) для $x \in \Omega$ та всіх $t \in [0, T]$, які забезпечують

$$\inf_{\varpi \in \Sigma_{\Omega}^N; \rho(x, t) \in L_2^N(\Omega \times [0, T])} F(\varpi, \rho(x, t)),$$

де

$$F(\varpi, \rho(x, t)) = \int_0^T \sum_{i=1}^N \int_{\Omega_i} (c_i(x, \tau_i) + a_i) \rho(x, t) dx dt$$

за умов

$$\frac{\partial \rho(x, t)}{\partial t} = f(\rho(x, t), x, t), 0 \leq t \leq T$$

$$\rho(x, t_0) = \rho_0(x)$$

та з інтегральними обмеженнями

$$\int_0^T \int_{\Omega_i} \rho(x, t) dx dt = b_i; \quad i = \overline{1, N},$$

Загалом, інтегральні обмеження у задачах оптимального розбиття множин, транспорту, логістики відображають глобальні ліміти системи, сумарні запаси ресурсів або загальну пропускну спроможність, і тому відіграють ключову роль у прикладних пос-

тановках. Такі обмеження можуть моделювати, зокрема, сумарний запас пального чи сировини, сумарну виробничу потужність підприємства, загальну кількість місць у пунктах прийому (наприклад, для забезпечення допомоги), або сумарну пропускну здатність транспортних ділянок і сервісів. На відміну від локальних (точкових) обмежень, інтегральні умови зв'язують рішення на різних ділянках простору та інтервалах часу, ускладнюють структуру задачі і вимагають спеціалізованих аналітичних і чисельних підходів.

Формула, яка задає часову динаміку щільності у вигляді відповідного диференціального рівняння, природним чином приводить до постановки задачі Коші для системи звичайних диференціальних рівнянь. У такій постановці початкове значення щільності інтерпретується як початкова умова, тоді як сама система описує еволюцію щільності в часі. Це дозволяє застосовувати стандартний апарат теорії задачі Коші: досліджувати існування та єдиність розв'язку, встановлювати умови стійкості та неперервної залежності від початкових даних, а також обирати відповідні чисельні методи для інтегрування системи (методи Рунге-Кутта, Ейлера). Подібна формалізація забезпечує математичну коректність моделі та дозволяє узгоджено описувати зміну щільності в часі з урахуванням вибраного механізму динаміки.

Сукупність вимірних за Лебегом підмножин $\Omega_1, \dots, \Omega_N$ з $\Omega \subset E_n$ будемо називати можливим розбиттям множини Ω на його неперетинні підмножини $\Omega_1, \dots, \Omega_N$, якщо

$$\bigcup_{i=1}^N \Omega_i = \Omega, \text{mes}(\Omega_i \cap \Omega_j) = 0, i \neq j, i, j = 1, \dots, N,$$

де $\text{mes}(\cdot)$ означає міру Лебега.

м.в. для $x \in \Omega$, при фіксованих $\tau_i = (\tau_i^{(1)}, \dots, \tau_i^{(n)}) \in \Omega_i, i = 1, \dots, N$.

Тут $\rho(x, t)$ – шукана дійсна функція, визначена на $\Omega \times [0, T]$, яка неперервно диференційована за аргументом t на відрізку $[0, T]$ м.в. для $x = (x^{(1)}, \dots, x^{(n)}) \in \Omega$, обмежена та вимірна за аргументом x на Ω для всіх $t \in [0, T]$; $\rho_0(x)$ – задана невід'ємна функція, обмежена та вимірна за аргументом $x \in \Omega$; $f(\rho(x, t), x, t)$ – задана дійсна функція, неперервна та ліпшицева в межах свого визначення; $c_i(x, \tau_i)$ – визначені на $\Omega \times \Omega$ задані дійсні обмежені функції, вимірні за аргументом $x = (x^{(1)}, \dots, x^{(n)})$ при будь-якому фіксованому $\tau_i = (\tau_i^{(1)}, \dots, \tau_i^{(n)}) \in \Omega_i \subset \Omega$; $T > 0$ та $t_0 \in [0, T]$ задані числа; $a_1, \dots, a_N, b_1, \dots, b_N$ – задані невід'ємні числа, причому

$$S = \int_0^T \int_{\Omega} \rho(x,t) dx dt \leq \sum_{i=1}^N b_i, \quad 0 \leq b_i \leq S, \quad i = 1, \dots, N.$$

Тут і надалі інтеграли розуміються у сенсі Лебега. Вважатимемо, що міра множини межових точок Ω_i , $i = 1, \dots, N$, дорівнює нулю.

У наведеній математичній постановці динамічної задачі оптимального розбиття незалежна змінна $t \in [0, T]$ може відігравати роль часової змінної, а $T > 0$ та $t_0 \in [0, T]$ – задані кінцевий та початковий моменти часу в досліджуваному динамічному процесі.

Постановка задачі оптимального розбиття множини за умов динамічної, тобто залежної від часу щільності, може розглядатися і у випадку, коли функція щільності $\rho(x, t)$ одразу відома. У такій ситуації дослідження зосереджується на визначенні оптимального розбиття множини для кожного обраного інтервалу часу відповідно до заданої еволюції щільності та з урахуванням усіх заданих обмежень.

Слід підкреслити, що використання наперед відомої часової залежності щільності не усуває динамічний характер задачі. Незважаючи на те, що на кожному фіксованому часовому кроці розв'язання формально набуває статичної проблеми, зміна щільності в часі неминує зумовлює трансформацію оптимального розбиття. Таким чином, задача зберігає динамічну природу, оскільки структура розбиття змінюється разом із розвитком системи у часі.

Так, функція $\rho(x, t)$, у диференціальних зв'язках, що відображає динаміку щільності на площині, може мати різний вигляд залежно від змісту, який в неї вкладається, наприклад:

- Щільність населення або потоків людей, що змінюється внаслідок міграції, евакуаційних процесів, сезонних коливань або нерівномірного попиту на певні послуги.
- Інтенсивність споживання ресурсів у просторі, коли різні регіони демонструють змінний попит (наприклад, електроенергії, товарів, медичних послуг), а динаміка щільності характеризує коливання цього попиту в часі.
- Концентрацію вантажних потоків, яка може зростати чи спадати залежно від транспортних умов, роботи логістичної інфраструктури або тимчасових обмежень пропускної спроможності.
- Розподіл ризиків або небезпек, наприклад у задачах моделювання поширення пожежі, забруднення чи епідеміологічних процесів, де щільність відображає ступінь загрози та її еволюцію.

Методи розв'язання логістичних задач. Розв'язування логістичних задач із використанням теорії оптимального розбиття множин ґрунтується на поєднанні аналітичних, чисельних та евристичних підходів, які забезпечують ефективне формування оптимальних або близьких до оптимальних розбиттів множин елементів відповідно до заданих критеріїв оптимізації. Нижче наведено основні методи, що застосовуються для розв'язання задач цього класу.

Комбінаторні методи та цілочислове програмування. Значна частина задач оптимального розбиття множин має комбінаторну природу та формалізується у вигляді задач цілочислової або булевої оптимізації. Методи цілочислового програмування дозволяють строго задати умови розбиття: належність елементів підмножинам, взаємну неперетинність підмножин, обмеження на їхні розміри або характеристики центрів. Багато таких задач є NP-складними, що зумовлює високу обчислювальну складність. Для їх розв'язання застосовуються методи повного перебору з відсіканням, алгоритми гілок і меж, методи площин відсікання та інші точні процедури оптимізації.

Релаксація Лагранжа. Релаксація Лагранжа є ефективним інструментом спрощення складних комбінаторних задач. Вона передбачає виділення складних обмежень і заміну їх штрафними доданками у цільовій функції з використанням множників Лагранжа. Такий підхід дозволяє декомпонувати задачу на простіші підзадачі, розв'язки яких обчислюються значно швидше. У задачах оптимального розбиття множин релаксація Лагранжа застосовується для отримання оцінок знизу цільового функціоналу та побудови наближених алгоритмів. Ітеративне коригування множників Лагранжа забезпечує поступове покращення якості розв'язку.

Методи кластеризації. Кластеризація є евристичним підходом, що широко застосовується для розбиття множин на основі подібності елементів. Поширені алгоритми, зокрема метод k-середніх, ієрархічна кластеризація та методи, засновані на щільності, використовують метрики відстані між елементами та центрами кластерів. У логістичних задачах ці методи застосовуються для формування зон обслуговування, розподілу транспортних засобів або розміщення складів. Їхніми основними перевагами є швидкість та відносна простота реалізації, однак вони не гарантують досягнення глобального оптимуму.

Діаграми Вороного. Діаграми Вороного є геометричними структурами, що розбивають простір на області, кожна з яких асоціюється з певним центром. У задачах оптимального розбиття множин алгоритми побудови діаграм Вороного дозволяють моделювати зони впливу складів, сервісних пунктів або транспортних вузлів. Оптимізаційний аспект полягає у визначенні такого розташування центрів, яке мінімізує сумарні відстані або інші критерії витрат. Для цього застосовуються ітеративні процедури, що поєднують методи кластеризації та геометричні обчислення.

Еволюційні та метаевристичні алгоритми. З огляду на високу складність великомасштабних задач оптимального розбиття множин дедалі ширше використовуються еволюційні алгоритми (генетичні алгоритми, метод рою частинок), пошук із заборонами та інші метаевристики. Такі методи характеризуються високою гнучкістю, здатністю адаптуватися до динамічних змін параметрів та відсутністю потреби у жорстко заданих аналітичних моделях. Вони імітують природні або стохастичні процеси пошуку, що дозволяє зменшити ризик застрягання в локальних мінімумах і отримувати розв'язки високої якості.

Динамічні алгоритми та адаптивні підходи. Логістичні задачі часто потребують урахування мінливості даних і характеристик середовища. Динамічні алгоритми забез-

печують оновлення розбиття множини в міру надходження нової інформації або зміни параметрів. Адаптивні методи передбачають послідовне коригування положення центрів і структури підмножин на основі поточних спостережень, а також використання моделей машинного навчання для прогнозування майбутніх змін і випереджального налаштування розв'язків.

Гібридні методи. З метою підвищення ефективності розв'язування широко застосовуються гібридні підходи, що поєднують класичні алгоритми оптимізації з евристичними та метаевристичними процедурами. Наприклад, комбінування лагранжевої релаксації з генетичними алгоритмами або використання побудови діаграм Вороного як початкового етапу подальшої оптимізації. Такі методи дозволяють отримувати розв'язки високої якості за прийнятного часу обчислень, що є критично важливим для практичних задач у режимі реального часу.

Паралельні та розподілені обчислення. Із зростанням розмірності задач і обсягів даних особливої ваги набувають методи паралельних і розподілених обчислень. Вони передбачають розподіл обчислювального навантаження між кількома процесорами або вузлами, що суттєво скорочує час знаходження розв'язку. Паралелізація застосовується як до класичних алгоритмів (методи гілок і меж, лагранжева релаксація), так і до метаевристик, забезпечуючи ефективне масштабування обчислень.

Таким чином, для розв'язання логістичних задач із використанням теорії оптимального розбиття множин існує широкий спектр методів. Вибір конкретного підходу визначається особливостями задачі, розміром даних, часовими обмеженнями та вимогами до точності розв'язку. Поєднання класичних математичних методів із сучасними евристичними та адаптивними алгоритмами забезпечує високу ефективність і гнучкість у розв'язанні практичних логістичних проблем.

Висновки. У статті розглянуто основні методи розв'язання логістичних задач із використанням теорії оптимального розбиття множин. Аналіз показав, що класичні підходи, такі як цілочисельне програмування та лагранжеве релаксаційне розв'язання, забезпечують високу точність і теоретичне обґрунтування, але часто характеризуються значною обчислювальною складністю. Евристичні та метаевристичні алгоритми – генетичні алгоритми, пошук у табу, імітаційне відпалювання – пропонують гнучкість і швидкість, особливо для масштабних та динамічних задач.

Сучасні методи побудови діаграм Вороного та кластеризації ефективно моделюють просторові розподіли, що має велике значення для практичних застосувань у транспортній логістиці та зонуванні. Адаптивні та динамічні підходи враховують змінні параметри задачі, що дозволяє оновлювати рішення у режимі реального часу.

Використання гібридних методів та паралельних обчислень підвищує продуктивність і точність розв'язків, що критично для сучасних логістичних систем із великими обсягами даних та швидкозмінним середовищем.

Таким чином, комбінування різних методів із урахуванням специфіки задачі дозволяє досягти оптимального балансу між точністю, швидкістю та гнучкістю при управлінні логістичними процесами.

ЛІТЕРАТУРА

1. Fisher M.L. Оптимальне розв'язання задач покриття/розбиття множин із використанням лагранжевої релаксації // *Management Science*, 1990, т. 36, № 6, с. 674–688.
DOI: 10.1287/mnsc.36.6.674
2. Киселева Є. М., Шор Н. З. Неперервні задачі оптимального розбиття множин: теорія, алгоритми, застосування. Київ : Наукова думка, 2005. – 564 с.
3. Kiseleva E.M., Prytomanova O.M., Hart L.L. Розв'язання двоетапної неперервно-дискретної задачі оптимального розбиття-розподілу з розміщенням центрів підмножин // *Open Computer Science*, 2020, т. 10, с. 124–136.
DOI: 10.1515/comp-2020-0142
4. Kiseleva E. M., Prytomanova O. M., Hart L. L. Алгоритм побудови діаграм Вороного з оптимальним розміщенням генераторних точок на основі теорії оптимального розбиття множин // *Journal of Automation and Information Sciences*, 2020, т. 52, № 3, с. 1–12.
5. Lin J., Zhang X., Li Z. Оптимальне розбиття без міток із застосуванням до оцінювання ризиків // *Journal of Risk and Financial Management*, 2024, т. 17, № 1, с. 25.
DOI: 10.3390/jrfm17010025
6. Samer P., Cavalcante E., Urrutia S., Oppen J. Релаксація відповідностей для класу узагальнених задач розбиття множин // *Computers & Operations Research*, 2017, т. 85, с. 116–131. DOI: 10.1016/j.cor.2017.03.010
7. Pintér J. Розбиття множини за глобально оптимізованими початковими точками кластерів // *European Journal of Operational Research*, 2000, т. 125, № 1, с. 243–246.
DOI: 10.1016/S0377-2217(99)00423-2
8. Fekete S. P., Koehler E., Teich J. Упаковка вищих вимірів із обмеженнями порядку // *Discrete Applied Mathematics*, 2003, т. 132, № 1–3, с. 67–85.
DOI: 10.1016/S0166-218X(02)00323-4
9. Mallozzi L., Puerto J., Rodríguez-Madrena M. Про задачі розміщення-розподілу для розмірних об'єктів // *European Journal of Operational Research*, 2020, т. 281, № 2, с. 443–459. DOI: 10.1016/j.ejor.2019.07.038
10. Ahuja R.K., Magnanti T.L., Orlin J.B. *Потоки в мережах: теорія, алгоритми та застосування*. Prentice Hall, 2005. – 1020 с.
11. Nemhauser G.L., Wolsey L.A. *Цілочисельна та комбінаторна оптимізація*. Wiley-Interscience, 2009. – 768 с.
12. Dantzig G. B., Thapa M. N. *Лінійне програмування 1: вступ*. Springer, 2006. – 448 с.
13. Gurobi Optimization, LLC. *Посібник користувача Gurobi Optimizer*, 2022. Доступно: <https://www.gurobi.com>
14. Burke E.K., Kendall G., ред. *Методи пошуку: вступні навчальні посібники з оптимізації та прийняття рішень*. Springer, 2014. – 324 с.
15. Hwang F.K., Richards D.S., Winter P. *Задача дерева Штейнера*. Elsevier, 2013. – 392 с.

REFERENCES

1. Fisher M. L. Optimal Solution of Set Covering/Partitioning Problems Using Lagrangian Relaxation. *Management Science*, 1990, vol. 36, no. 6, pp. 674–688.
DOI: 10.1287/mnsc.36.6.674
2. Kiseleva E. M., Shor N. Z. *Continuous Problems of Optimal Partitioning of Sets: Theory, Algorithms, Applications*. Kyiv: Naukova Dumka, 2005. – 564 p.
3. Kiseleva E. M., Prytomanova O. M., Hart L. L. Solving a Two-Stage Continuous-Discrete Problem of Optimal Partitioning-Allocation with Subsets Centers Placement. *Open Computer Science*, 2020, vol. 10, pp. 124–136. DOI: 10.1515/comp-2020-0142. ISSN 2312-119X.
4. Kiseleva E. M., Prytomanova O. M., Hart L. L. Algorithm for Constructing Voronoi Diagrams with Optimal Placement of Generator Points Based on Theory of Optimal Set Partitioning. *Journal of Automation and Information Sciences*, 2020, vol. 52, no. 3, pp. 1–12.
5. Lin J., Zhang X., Li Z. Optimal Unlabeled Set Partitioning with Application to Risk Assessment. *Journal of Risk and Financial Management*, 2024, vol. 17, no. 1, p. 25.
DOI: 10.3390/jrfm17010025
6. Samer P., Cavalcante E., Urrutia S., Oppen J. The Matching Relaxation for a Class of Generalized Set Partitioning Problems. *Computers & Operations Research*, 2017, vol. 85, pp. 116–131. DOI: 10.1016/j.cor.2017.03.010
7. Pintér J. Set Partition by Globally Optimized Cluster Seed Points. *European Journal of Operational Research*, 2000, vol. 125, no. 1, pp. 243–246.
DOI: 10.1016/S0377-2217(99)00423-2
8. Fekete S. P., Koehler E., Teich J. Higher-Dimensional Packing with Order Constraints. *Discrete Applied Mathematics*, 2003, vol. 132, no. 1–3, pp. 67–85.
DOI: 10.1016/S0166-218X(02)00323-4
9. Mallozzi L., Puerto J., Rodríguez-Madrena M. On Location-Allocation Problems for Dimensional Facilities. *European Journal of Operational Research*, 2020, vol. 281, no. 2, pp. 443–459. DOI: 10.1016/j.ejor.2019.07.038
10. Ahuja R. K., Magnanti T. L., Orlin J. B. *Network Flows: Theory, Algorithms, and Applications*. Prentice Hall, 2005. – 1020 p.
11. Nemhauser G.L., Wolsey L.A. *Integer and Combinatorial Optimization*. Wiley-Interscience, 2009. – 768 p.
12. Dantzig G.B., Thapa M. N. *Linear Programming 1: Introduction*. Springer, 2006. – 448 p.
13. Gurobi Optimization, LLC. *Gurobi Optimizer Reference Manual*, 2022. Available at: <https://www.gurobi.com>
14. Burke E.K., Kendall G., editors. *Search Methodologies: Introductory Tutorials in Optimization and Decision Support Techniques*. Springer, 2014. – 324 p.
15. Hwang F.K., Richards D.S., Winter P. *The Steiner Tree Problem*. Elsevier, 2013. – 392 p.

Received 03.03.2026
Accepted 09.03.2026
Published 31.03.2026

***On solving logistics problems using the methods of the theory
of optimal set partitioning***

The paper presents an approach to solving a broad class of logistics problems based on the methods of the theory of optimal set partitioning. In particular, a mathematical formalization is proposed for problems related to spatial allocation of objects, route optimization, territory zoning, and resource distribution, formulated as optimal set partitioning problems according to predefined efficiency criteria. The main focus is on the dynamic aspects of the problem formulation, which involve time-varying input data as well as stochastic components and uncertainty. Algorithmic approaches to solving such problems are outlined, including the use of modified heuristic and metaheuristic methods, as well as elements of machine learning for forecasting changes in system parameters. The obtained results can be used to improve the efficiency of decision-making in logistics, urban planning, and other applied fields where it is essential to consider both spatial structure and dynamic changes.

Keywords: optimal partitioning, logistics problems, dynamic models, spatial zoning, resource allocation, numerical modeling.

Лупинський Станіслав Володимирович – аспірант кафедри прикладної математики, Дніпровський національний університет імені Олеся Гончара, Україна, Дніпро.

ORCID: <https://orcid.org/0009-0008-7484-4392>

Лозовський Артур Валентинович – аспірант кафедри прикладної математики, Дніпровський національний університет імені Олеся Гончара, Україна, Дніпро.

ORCID: <https://orcid.org/0009-0000-7013-7430>

Lupynskiy Stanislav – PhD student, Department of Applied Mathematics, Oles Honchar Dnipro National University, Ukraine, Dnipro.

ORCID: <https://orcid.org/0009-0008-7484-4392>

Lozovskyi Artur – PhD student, Department of Applied Mathematics, Oles Honchar Dnipro National University, Ukraine, Dnipro.

ORCID: <https://orcid.org/0009-0000-7013-7430>

АДИТИВНІ ТЕХНОЛОГІЇ У СТВОРЕННІ РАКЕТНИХ ДВИГУНІВ ЗІ ЗМІННИМ ПИТОМИМ ІМПУЛЬСОМ: СУЧАСНІ ПІДХОДИ ТА ПЕРСПЕКТИВИ

Анотація. У статті розглянуто перспективи застосування адитивних технологій (3D-друку) у проектуванні та виготовленні ракетних двигунів зі змінним питомим імпульсом, що є одним із пріоритетних напрямів розвитку сучасної ракетно-космічної галузі. Актуальність дослідження зумовлена необхідністю підвищення ефективності, адаптивності та надійності силових установок в умовах змінних термогазодинамічних і механічних навантажень. Метою роботи є аналіз можливостей і обмежень використання адитивного виробництва для створення високотехнологічних компонентів двигунів зі змінним питомим імпульсом. Методологія дослідження базується на міждисциплінарному підході з використанням математичного моделювання процесів теплопереносу, оптимізації геометрії елементів двигуна та аналізу фізико-механічних властивостей матеріалів, придатних для технологій SLM, DED та EBM. У результаті дослідження доведено, що застосування адитивних технологій дозволяє створювати легкі, міцні та тепловитривалі конструкції зі змінною геометрією, здатні забезпечувати варіювання тяги та підвищення питомого імпульсу. Ключовим висновком є доцільність впровадження адитивного виробництва як інструменту формування адаптивних ракетних двигунів нового покоління та розвитку інноваційного потенціалу вітчизняного двигунобудування. При цьому Адитивні технології в Україні вже почали впроваджуватися у виробництво ракетних двигунів зі змінним питомим імпульсом, здебільшого на етапі прототипування та виготовлення окремих складних деталей. Попри значні виклики, пов'язані з економічними обмеженнями, воєнними діями та технологічною залежністю від імпорту, перспективи розвитку цієї галузі є вагомими. Для досягнення сталого прогресу необхідно зосередитися на локалізації виробництва, розвитку науково-технічної бази, підготовці висококваліфікованих кадрів та впровадженні цифрових інструментів у виробничі процеси. Такий комплексний підхід дозволить підвищити технологічну незалежність України, зміцнити обороноздатність і забезпечити конкурентоспроможність на міжнародному рівні в умовах сучасних викликів

Ключові слова: адитивне виробництво, 3D-друк, SLM, DED EBM, топологічна оптимізація, функціонально-градієнтні матеріали, охолоджувальні канали, модульні сопла.

Постановка проблеми. Сучасна космічна галузь зазнає глибокої трансформації, що обумовлена, як технічним прогресом, так і необхідністю забезпечення гнучкості, економічної доцільності та ефективності запусків. Зокрема одним із ключових напрямів розвитку сучасних ракетно-космічних технологій є створення **ракетних двигунів зі**

змінним питомим імпульсом (Ш), які здатні адаптуватися до різних фаз польоту, забезпечуючи оптимізацію тяги, ефективності витрати палива та керованості космічних апаратів. Ця технологія має потенціал революціонізувати системи руху не лише в орбітальних, але й у міжпланетних місіях, де гнучкість у керуванні імпульсними характеристиками двигуна є критично важливою. У центрі інновацій, що супроводжують розвиток ракетних систем нового покоління, стоять **адитивні технології** (3D-друк), які відкривають нові горизонти в проєктуванні, виробництві та тестуванні складних компонентів двигунів. Застосування 3D-друку дозволяє виготовляти деталі складної геометрії, зменшувати вагу систем, скорочувати терміни розробки, а також експериментувати з новими матеріалами та охолоджувальними каналами, що критично важливо для високотемпературного середовища роботи ракетних двигунів. Адитивне виробництво також забезпечує модульність конструкцій, що уможливорює гнучке проєктування двигунів зі змінними режимами роботи, у тому числі зі змінним питомим імпульсом. Україна, маючи глибокі традиції в галузі ракетобудування, зокрема завдяки науково-технічному спадку підприємств, як **КБ «Південне»** та **ВО «Південмаш»**, має стратегічні передумови для інтеграції у нову хвилю технологічного прориву. Проте у сучасних умовах розвитку національної космічної галузі критично важливо не лише зберегти наявний потенціал, а й адаптуватися до нових технологічних трендів, включно з цифровим проєктуванням, використанням нових матеріалів та широким впровадженням адитивного виробництва. Впровадження концепції змінного питомого імпульсу в українських розробках може стати одним із напрямів проривного технологічного зростання вітчизняного космічного сектору.

Аналіз останніх досліджень і публікацій. У праці [1] дослідники з Fraunhofer IWS та Технічного університету Дрездена представили проривну розробку – аероспайковий ракетний двигун, створений методом лазерного спікання порошку (L-PBF), який призначено для використання в мікроносіях. Основний акцент зі сторони авторського колективу праці [1] було зроблено на технологічних перевагах адитивного виробництва у проєктуванні й виготовленні ракетних систем нового покоління. Згідно з експериментальними даними, які прест авили автори вище вказаної праці новий двигун демонструє на 30% менше споживання пального порівняно з класичними ракетними двигунами тієї ж тяги, що є надзвичайно важливим для мікроносіїв, де обмеження маси, об'єму та енергетичних ресурсів є критичними для місії. Зменшення витрат пального дозволяє або збільшити корисне навантаження, або знизити загальну масу пускової системи, що відкриває нові можливості для економічно доцільного запуску наносупутників. У роботі також розкрито низку технічних і технологічних проблем, з якими зіштовхнулися розробники. Зокрема, йдеться про складність точного моделювання теплових процесів у стінках камери згоряння, виготовленої методом L-PBF, що зумовлено анізотропією механічних і теплових властивостей надрукованого матеріалу. А це в свою чергу вимагає поглибленого чисельного аналізу й експериментальної верифікації, щоб забезпечити надійність роботи системи в умовах змінного температурного навантаження та високих тисків. Також науковцями було відзначена складність забезпечення цілісності структу-

ри при друці складних геометрій із вбудованими каналами, оскільки навіть незначні дефекти можуть призвести до втрати герметичності, або руйнування під час роботи.

У статті [2], проаналізовано можливості використання адитивного виробництва для створення твердих паливних блоків з оптимізованою геометрією, що значною мірою впливає на ефективність гібридних ракетних двигунів. Автори підкреслюють, що традиційні методи виготовлення твердих паливних блоків, як правило, обмежують складність внутрішньої структури, через що знижується інтенсивність горіння та ефективність тяги. Натомість, застосування технологій 3D-друку дозволяє реалізувати складні внутрішні конфігурації каналів, які сприяють покращеному змішуванню окисника з паливом і створюють умови для інтенсифікованого тепло- і масообміну.

Авторський колектив праці [3] підкреслює, що інтеграція адитивних технологій із чисельним моделюванням та параметричним оптимізуванням форм паливних блоків, доповнена експериментальною перевіркою отриманих результатів, відкриває нові горизонти підвищення ефективності гібридних ракетних систем. В працях [4-5] відмічається, що адитивні технології, зокрема 3D-друк, наразі здійснюють революцію у виробництві ракетних двигунів.

Аналізуючи сучасні дослідження та практичні кейси, можна виділити ключові напрямки, у яких адитивне виробництво трансформує традиційні підходи. По-перше, здатність 3D-друку створювати складні геометричні конструкції з інтегрованими внутрішніми каналами для охолодження, або подачі палива дозволяє значно підвищити ефективність і надійність ракетних двигунів. У працях конструкторських колективів Rocket Lab, Ursa Major, Relativity Space, які активно впроваджують такі технології для виготовлення інжекторів, насосів та камер згорання, що раніше вироблялися за допомогою численних окремих елементів і складних процесів [4-8].

По-друге, адитивне виробництво забезпечує суттєве зниження ваги конструкцій завдяки оптимізації топології, що безпосередньо впливає на зниження витрат палива та підвищення продуктивності [9,10]. Також значну увагу дослідники приділяють скороченню часу виробництва, що є критичним фактором для комерційної та оборонної сфер. Адитивні технології дозволяють значно зменшити кількість виробничих операцій, замінюючи тривалі багатоступеневі процеси безпосереднім формуванням деталей за цифровою моделлю [11], що особливо важливо для оперативного відновлення запасів твердопаливних двигунів, що відзначається у практиці компанії Ursa Major, де швидкість виготовлення деталей безпосередньо впливає на обороноздатність [12].

Крім того, авторами праці [13] підкреслюється, що адитивне виробництво сприяє гнучкості виробництва, дозволяючи швидко адаптувати конструкції під специфічні вимоги замовника та легко впроваджувати інновації у матеріалах і дизайні, що в свою чергу відкриває перспективи для створення багатофункціональних, високоефективних систем із варіативною тягою, які підходять, як для орбітальних, так і суборбітальних запусків. Важливо також, що завдяки використанню адитивних технологій розширюються можливості застосування нових високотемпературних сплавів і композитів, що підвищують довговічність і стійкість деталей до екстремальних умов експлуатації [7,10]. Отже в цілому, аналіз численних праць свідчить, що адитивне ви-

робництво не просто доповнює традиційні методи, а є рушійною силою інновацій у ракетобудуванні, що дозволяє значно підвищити ефективність, надійність і швидкість виробництва сучасних ракетних двигунів, відкриваючи нові можливості для розвитку космічних і оборонних технологій.

Метою дослідження є розгляд сучасного стану створення ракетних двигунів зі змінним питомим імпульсом із використанням адитивних технологій, адаптованих до потреб і можливостей розвитку високотехнологічного двигунобудування в Україні.

Методи та матеріали дослідження. У процесі проведення даного дослідження було застосовано комплексний міждисциплінарний підхід, який об'єднав методи аналізу науково-технічної літератури, теоретичного узагальнення, системного синтезу, математичного та комп'ютерного моделювання, а також елементів інженерної термодинаміки, механіки деформованого твердого тіла й матеріалознавства. Аналіз літературних джерел охоплював понад сорок наукових праць, патентів та технічних звітів провідних науково-дослідних центрів і компаній, включаючи NASA, SpaceX, Rocket Lab, Relativity Space, Fraunhofer Institute та вітчизняні підприємства оборонно-космічного комплексу. Систематизація цих даних дозволила ідентифікувати актуальні напрями застосування адитивного виробництва у створенні ракетних двигунів зі змінним питомим імпульсом. У межах теоретичного блоку було побудовано математичну модель зміни питомого імпульсу в залежності від часу, фаз польоту або термогазодинамічних параметрів. Застосовано узагальнене рівняння Ціолковського з урахуванням функціонально-змінної тяги та витрати маси, що дозволило змоделювати умови оптимального керування параметрами тяги при змінному навантаженні. Окрему увагу приділено моделюванню процесів теплопереносу в конструктивних елементах, виготовлених методом Selective Laser Melting (SLM), із використанням рівнянь нестационарної теплопровідності з локальним джерелом тепла, що моделює лазерний промінь із гауссовим профілем інтенсивності. Для вивчення ефективності геометрії конструктивних елементів двигуна використовувався метод топологічної оптимізації з застосуванням SIMP-підходу, який дозволяє формально описати розподіл матеріалу в конструкції для забезпечення заданих механічних і теплових характеристик при мінімальній масі. Такий підхід надає можливість моделювання складних внутрішніх структур сопел і камер згоряння з врахуванням реальних умов навантаження та температурних градієнтів. Додатково в дослідженні застосовано моделювання поведінки функціонально-градієнтних матеріалів (FGM), для чого використано диференціальні рівняння з просторово змінними коефіцієнтами, які описують зміну теплопровідності, модуля пружності й густини матеріалу в залежності від координат. Це дозволило дослідити адаптивну поведінку матеріалів у зонах високотемпературного навантаження, характерного для роботи ракетних двигунів. У процесі дослідження також проведено порівняльний аналіз фізико-механічних властивостей матеріалів, найбільш поширених у сфері двигунобудування із застосуванням адитивних технологій, зокрема Inconel 718, GRCo-42, Ti-6Al-4V, Maraging Steel, AlSi10Mg, що виготовляються за допомогою методів SLM, DED та EBM. Вивчалися їхній модуль Юнга, гранична міцність, теплопровідність, стійкість до

термічних навантажень та сумісність з умовами багаторазового використання при змінній тязі. Емпіричне обґрунтування базувалося на даних відкритих джерел, технічної документації виробників та експериментальних звітах, що дозволило зробити виважені висновки щодо ефективності конструкцій, створених із використанням 3D-друку.

Викладення основного матеріалу дослідження. Адитивні технології 3D-друку металів, зокрема метод Selective Laser Melting (SLM), набувають все більшого значення у виробництві високотехнологічних компонентів ракетних двигунів, що підтверджується у численних наукових дослідженнях та промислових впровадженнях [14-20]. Цей метод дозволяє створювати складні структури, такі, як канали охолодження, варіативні сопла та камери згоряння, що мають складну геометрію, недосяжну традиційними технологіями. Завдяки шаровому накладанню металевого порошку та локальному плавленню за допомогою лазера, SLM забезпечує високу точність і контроль над внутрішньою структурою виробів, що критично для ефективного теплового менеджменту у ракетних двигунах.

Однією з ключових переваг SLM є можливість реалізації змінної геометрії деталей шляхом послідовного формування шарів із різними параметрами. Це відкриває широкі можливості для оптимізації конструкцій на рівні топології, що дозволяє підвищити теплову стабільність, зменшити вагу та покращити механічні властивості. Дослідження демонструють, що застосування SLM для виготовлення камер згоряння із інтегрованими каналами охолодження значно підвищує їхню довговічність і ефективність роботи в екстремальних температурних режимах [17,19]. Натомість математичне моделювання процесу друку є важливим інструментом для прогнозування якості та властивостей виробів. У процесі SLM відбувається локальне плавлення порошкового матеріалу під дією лазерного променя, що супроводжується інтенсивним теплопереносом.

У процесі друку відбувається локальне плавлення порошку – теплоперенос описується рівнянням:

$$\rho c_p \frac{\partial T(x,t)}{\partial t} = \nabla \cdot (k \nabla T(x,t)) + Q(x,t)$$

де: x – точка в просторі; Q – джерело тепла, моделюється, як розподілений лазерний імпульс:

$$Q(x,t) = \eta \frac{2P}{\pi r^2} e^{-\frac{2|x-x_0(t)|^2}{r^2}}$$

η – коефіцієнт поглинання, P – потужність лазера, r – радіус променя.

На практиці використання цього рівняння у чисельних методах дозволяє оптимізувати параметри друку, такі як потужність лазера, швидкість сканування та товщина шару, що суттєво впливає на якість і характеристики готової деталі [15,18,20]. Крім того, чисельне моделювання процесів фазових переходів і напружень дозволяє прогнозувати можливі дефекти, такі як пористість, тріщини або деформації, і вчасно коригувати параметри виробництва [16,20], що особливо важливо для ракетної галузі, де бездоганна якість і надійність компонентів є критичною вимогою. Таким чином, 3D-друк металів методом SLM стає ключовою технологією у виробництві складних, високотехноло-

гічних компонентів ракетних двигунів, поєднуючи можливості створення унікальної геометрії з високою якістю та механічною стійкістю. Інтеграція математичного моделювання в технологічний процес дозволяє підвищити ефективність виробництва та знизити ризики браку, що сприяє подальшому розвитку космічної та оборонної промисловості. Математичне моделювання поведінки FGM зазвичай базується на диференціальних рівняннях з просторово змінними коефіцієнтами. Де матеріали, в яких властивості змінюються по об'єму – наприклад, теплопровідність $k(x)$, міцність $E(x)$, густина $\rho(x)$. При цьому на практиці застосовується для керованого тепловідводу, або плавного переходу між зонами високих температур і механічного навантаження. Поведінка таких матеріалів описується диференціальними рівняннями з змінними коефіцієнтами:

$$\nabla \cdot (k(x)\nabla T(x)) = 0$$

де $k(x) = k_0 + k_1x + k_2y + k_3z + \dots$, тобто локальні властивості матеріалу моделюються, як функція координат.

В результаті оптимальний розподіл $k(x)$ дозволяє управляти швидкістю охолодження, розширенням і витіканням газів забезпечує зміну питомого імпульсу в процесі роботи двигуна. На практиці для модульних двигунів із змінними соплами (Variable Nozzle Systems) застосовують механічні, або термочутливі структури (актуатори), виготовлені через 3D-друк. Також змінюють ефективно розширення сопла, що напряму впливає на v_e , а отже – на I_{sp} .

Зміна геометрії сопла змінює P_e , що веде до зміни v_e і I_{sp} . За допомогою адитивно виготовлених актуаторів, можна моделювати $P_e(t)$, і тоді маємо:

$$I_{sp}(t) = \frac{1}{g_0} \cdot v_e(t, P_e(t))$$

Із вище наведено впливає, що питомий імпульс ракетного двигуна визначається, як відношення тяги до витрати палива з урахуванням стандартного прискорення вільного падіння, традиційно вважався сталим параметром.

В табл.1. наведено результати аналізу порівняння VSIRE, виготовлених за допомогою адитивних технологій.

Наведені в табл.1. дані підтверджують доцільність та ефективність використання адитивних технологій у виробництві ракетних двигунів зі змінним питомим імпульсом (VSIRE). Із аналізу випливає, що розвиток адитивних технологій у сфері проєктування та виготовлення ракетних двигунів відкриває нові горизонти для космічної галузі. Ці напрацювання можуть стати основою для імплементації інноваційного підходу в Україні – зокрема, в рамках стратегічного розвитку національного ракетно-космічного сектору. Існує потреба у створенні дослідницьких платформ, налагодженні співпраці з міжнародними партнерами та впровадженні державних ініціатив з розвитку 3D-друку в оборонно-космічній промисловості. У цьому контексті постає чітке стратегічне бачення для України, яке полягає в цілеспрямованому розвитку власної екосистеми адитивного двигунобудування.

Результати аналізу порівняння VSIRE, виготовлених
за допомогою адитивних технологій

Двигун / Проект	Тип палива	Тяга (кН)	Питомий імпульс (сек)	Діапазон тяги (%)	Технологія 3D-друку	Матеріал	Примітки
TH-12 (Китай)	LOX/ RP-1	1090 (на рівні моря)	285 (на рівні моря) / 335 (у вакуумі)	40–110%	SLM	Не вказано	Глибока модуляція тяги, багаторазове використання, векторизація тяги
SuperDraco (SpaceX)	NTO/ MMH	~73 (вакуум)	~235	Фіксована	SLM	Inconel	Повністю 3D-друкована камера з охолоджувальними каналами
A45 (Aerojet Rocketdyne)	MMH/ N ₂ O ₄	0.045	~285	Фіксована	SLM	Не вказано	Висока повторюваність імпульсів при 50 Гц
RAMPT (NASA)	LOX/CH ₄	8.9 / 31 / 156	~300	~70–100%	DED + композитне обгортання	GRCor-42 + вуглецеве волокно	Зменшення ваги на 40%, зменшення часу виробництва з років до тижнів
Rutherford (Rocket Lab)	LOX/ Kerosene	24	311	Фіксована	EBM	Титанові сплави	Перший 3D-друкований двигун, що досяг космосу

В табл.2. наведено результати порівняння застосування адитивних технологій у виробництві ракетних двигунів зі змінним питомим імпульсом.

Результати порівняння застосування адитивних технологій у виробництві ракетних двигунів

Технологія	Роздільна здатність (мкм)	Матеріали	Переваги	Недоліки
SLM (Selective Laser Melting)	20–50	Inconel, Ti, Al	Висока точність, складна геометрія	Високі залишкові напруження, потреба в постобробці
DED (Directed Energy Deposition)	100–300	GRCop-42, Ti, Al	Висока швидкість, великі деталі	Менша точність, шорстка поверхня
EBM (Electron Beam Melting)	50–100	Титанові сплави	Висока швидкість, менші залишкові напруження	Обмежений вибір матеріалів, потреба у вакуумі
FDM (Fused Deposition Modeling)	>100	ABS, PC, PLA	Низька вартість, простота	Низька міцність, обмеження температури

Наведені в табл. 2, дані наочно демонструють чіткі переваги та обмеження адитивних технологій, які застосовуються при виробництві ракетних двигунів зі змінним питомим імпульсом, що безпосередньо впливають на їх практичне застосування у високотехнологічній і критично важливій галузі.

В табл.3. наведені результати аналізу механічних властивостей матеріалів, що застосовуються в ракетних двигунах зі змінним питомим імпульсом і виготовлені за допомогою адитивних технологій.

Таблиця 3

Результати аналізу механічних властивостей матеріалів що застосовуються в ракетних двигунах зі змінним питомим імпульсом і виготовлені за допомогою адитивних технологій

Матеріал	Модуль Юнга (GPa)	Гранична міцність (MPa)	Теплопровідність (W/m•K)	Застосування	Адитивні технології
Inconel 718	~200	1100–1300	~11	Камери згоряння, сопла	SLM
GRCop-42	~130	~300	~300	Камери згоряння з охолодженням	DED
Ti-6Al-4V	~110	900–1100	~6.7	Структурні компоненти	SLM, EBM

AlSi10Mg	~70	400–500	~150	Легкі компоненти	SLM
Maraging Steel	~200	1900	~20	Структурні деталі з високою міцністю	SLM, DED
Pure Titanium	~105	430–900	~22	Медичні імпланти, легкі конструкції	EBM, SLM
Copper (Cu)	~110	210	~400	Тепловідводи, електричні компоненти	DED
Nickel Alloy (Inconel 625)	~200	600–900	~9	Сопла, корпусні елементи	SLM
Stainless Steel 316L	~200	500–700	~16	Корпусні деталі, труби	SLM, DED
CoCr Alloy	~210	620–900	~14	Деталі для медичної та авіаційної галузей	SLM
Aluminum 6061	~69	310	~167	Легкі структурні компоненти	SLM

З табл.3. чітко впливає, що при виборі матеріалів для виробництва ракетних двигунів зі змінним питомим імпульсом необхідно враховувати баланс між механічними та тепловими властивостями матеріалів. На рис.1. наведені основні механічні властивості матеріалів для адитивного виробництва ракетних двигунів зі змінним питомим імпульсом.

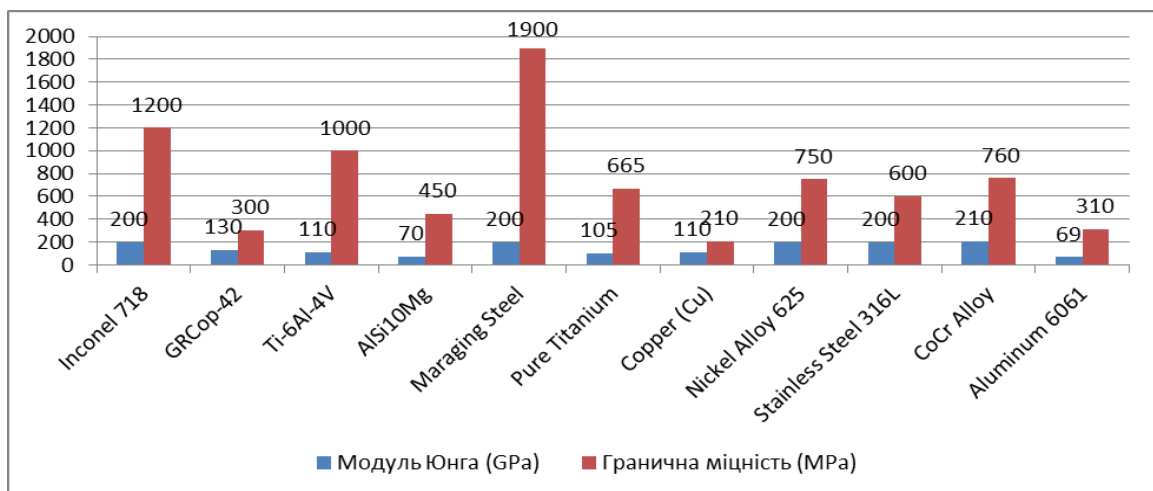


Рисунок 1 - Основні механічні властивості матеріалів для адитивного виробництва ракетних двигунів зі змінним питомим імпульсом

В таблиці 4. наведено дані аналізу, щодо застосування адитивних технологій, які застосовуються, або проходять пілотне впровадження в Україні у виробництві деталей для ракетних двигунів зі змінним питомим імпульсом.

Таблиця 4

Дані аналізу, щодо застосування адитивних технологій, які застосовуються, або проходять пілотне впровадження в Україні у виробництві деталей для ракетних двигунів зі змінним питомим імпульсом

Назва двигуна	Тип ЗП	Матеріали основних деталей	Технології виробництва	Застосування адитивних технологій	Стан виробництва / Впровадження	Виробник / Розробник
РД-855 (проектний)	Рідинний ЗП	Титан, жароміцні сплави, Inconel	Традиційна мехобробка, частково SLM (Selective Laser Melting) для прототипів	Виготовлення складних камер згоряння, охолоджувальних каналів методом SLM	Розробка, лабораторні випробування	КБ «Південне», «Південмаш»
Двигуни для гібридних ракетних систем	ЗП з регульованою тягою	Титанові сплави, алюмінієві сплави	Традиційне виробництво, DED (Directed Energy Deposition) для пілотних деталей	Виготовлення корпусних елементів та сопел з підсиленням DED	Дослідні зразки, пілотне виробництво	КБ «Південне», приватні НДІ
Розробки у сфері ЗП малих двигунів	Твердопаливні та рідинні ЗП	Композити, легкі сплави	Мехобробка, FDM (Fused Deposition Modeling) для прототипів пластикових деталей	Створення прототипів складної геометрії, формувальних моделей	Експериментальні установки	ДП «Хартрон», КБ «Південне»

З табл.4. наочно видно, що в Україні виробництво ракетних двигунів зі змінним питомим імпульсом знаходиться здебільшого в дослідно-конструкторській фазі. Також варто зазначити, що в Україні сьогодні адитивні технології використовуються переважно на рівні прототипування та виробництва окремих складних деталей для ракетних двигунів, що підтверджується даними з КБ «Південне» та підприємств, які впроваджують SLM і DED для виготовлення камер згоряння та охолоджувальних каналів. Зокрема станом на 2025 рік застосування адитивних технологій у виробництві ракетних двигунів в Україні представляє собою перспективний, але водночас складний напрямок розвитку вітчизняної промисловості.

Перш за все, технічні складнощі пов'язані з високими вимогами до матеріалів і конструкції двигуна. ЗПП-двигуни працюють у жорстких температурних та механічних режимах, що потребує використання спеціалізованих сплавів із високою міцністю, тепло- та корозійною стійкістю. Водночас адитивні технології часто обмежені в роботі з такими матеріалами через проблеми з якістю надрукованих виробів, зокрема залишкові напруження, мікротріщини та неоднорідність структури, що негативно впливає на довговічність і безпеку деталей. Другою проблемою є складність забезпечення стабільності та повторюваності виробничого процесу. Адитивне виробництво поки що не досягло рівня масового індустріального виробництва у високотехнологічних галузях, що вимагає жорсткого контролю параметрів друку, налаштування обладнання і постобробки. В Україні це ускладнюється недостатньою кількістю сучасного обладнання, а також нестачею досвідчених фахівців, що володіють новітніми технологіями. Третім викликом є проблеми з доступом до якісних матеріалів і комплектуючих. Четвертою проблемою є економічний фактор. Впровадження адитивних технологій вимагає значних інвестицій у закупівлю обладнання, навчання персоналу, створення сертифікованих технологічних процесів та стандартизацію якості. В умовах економічної нестабільності та воєнних дій фінансування таких проектів є обмеженим, що стримує масштабне виробництво.

П'ятим викликом є безпекові та інфраструктурні ризики, пов'язані з веденням бойових дій на території України. Враховуючи ці проблеми, розвиток виробництва ракетних двигунів зі змінним питомим імпульсом із застосуванням адитивних технологій в Україні потребує комплексного підходу. Необхідно стимулювати державну підтримку, вкладати в оновлення обладнання, розвивати кадровий потенціал та забезпечувати надійне постачання матеріалів.

Отже, доцільність застосування адитивних технологій в Україні у 2025 році обґрунтована наявністю науково-технічної бази і стратегічною необхідністю модернізації ракетної промисловості. Водночас успішна інтеграція таких технологій потребує системних інвестицій у модернізацію виробничих потужностей, розвиток кадрового потенціалу, локалізацію виробництва матеріалів та обладнання, а також активного співробітництва з міжнародними партнерами.

Висновки. Питомий імпульс ракетного двигуна, який зазвичай вважається сталим, у сучасних підходах розглядається, як змінна величина, що залежить від часу та умов роботи двигуна, таких, як температура чи тиск, що дозволяє точніше моделювати рух ракети та оптимізувати її тягу і витрату палива. Одночасно, адитивні технології 3D-

друку металів, зокрема метод SLM, відкривають нові можливості для виготовлення складних компонентів двигунів зі змінною геометрією та властивостями, що підвищує їхню ефективність і надійність. Інтеграція математичного моделювання, топологічної оптимізації та функціонально-градієнтних матеріалів у виробництві ракетних двигунів дозволяє створювати адаптивні, легкі й міцні конструкції нового покоління з покращеними тепловими і механічними характеристиками.

Аддитивні технології в Україні вже почали впроваджуватися у виробництво ракетних двигунів зі змінним питомим імпульсом, здебільшого на етапі прототипування та виготовлення окремих складних деталей. Попри значні виклики, пов'язані з економічними обмеженнями, воєнними діями та технологічною залежністю від імпорту, перспективи розвитку цієї галузі є вагомими. Для досягнення сталого прогресу необхідно зосередитися на локалізації виробництва, розвитку науково-технічної бази, підготовці висококваліфікованих кадрів та впровадженні цифрових інструментів у виробничі процеси. Такий комплексний підхід дозволить підвищити технологічну незалежність України, зміцнити обороноздатність і забезпечити конкурентоспроможність на міжнародному рівні в умовах сучасних викликів.

ЛІТЕРАТУРА

1. Аджамський С. В., Кононенко Г. А., Подольський Р. В. Виготовлення тракту охолодження вдосконаленої конструкції для камери згоряння рідинного ракетного двигуна за допомогою адитивних технологій // *Aerospace Technic and Technology*. 2021. № 3. С. 42–48. <https://doi.org/10.32620/akt.2021.3.05>
2. Blachowicz, T., Ehrmann, G., & Ehrmann, A. (2021). Metal additive manufacturing for satellites and rockets. *Applied Sciences*, 11(24), 12036. <https://doi.org/10.3390/app112412036>
3. Buchholz, M., Gruber, S., Selbmann, A., Marquardt, A., Meier, L., Müller, M., Seifert, L., Leyens, C., Tajmar, M., & Bach, C. (2022). Flow rate improvements in additively manufactured flow channels suitable for rocket engine application. *CEAS Space Journal*. <https://doi.org/10.1007/s12567-022-00476-7>
4. Cheng, C., Wang, Y., Liu, Y., Liu, D., & Lu, X. (2013). Thermal-structural response and low-cycle fatigue damage of channel wall nozzle. *Chinese Journal of Aeronautics*, 26(6), 1449–1458. <https://doi.org/10.1016/j.cja.2013.07.045>
5. Chowdhury, S., Yadaiah, N., Prakash, C., Ramakrishna, S., Dixit, S., Gulta, L. R., & Budhi, D. (2022). Laser powder bed fusion: A state-of-the-art review of the technology, materials, properties & defects, and numerical modelling. *Journal of Materials Research and Technology*. <https://doi.org/10.1016/j.jmrt.2022.07.121>
6. Ciochon, A., & Kennedy, J. (2024). Efficient modelling of surface roughness effects in additively manufactured materials. *Applied Acoustics*, 220, 109953. <https://doi.org/10.1016/j.apacoust.2024.109953>
7. Cui, Z. (2025). Metal additive manufacturing technology in rocket engines and future prospects. *Applied and Computational Engineering*, 156(1), 99–103. <https://doi.org/10.54254/2755-2721/2025.mh25251>

8. da Silva Couto, H., Lacava, P. T., Bastos-Netto, D., & Pimenta, A. P. (2009). Experimental evaluation of a low pressure-swirl atomizer applied engineering design procedure. *Journal of Propulsion and Power*, 25(2), 358–364. <https://doi.org/10.2514/1.37018>
9. Gradl, P. R., & Protz, C. S. (2020). Technology advancements for channel wall nozzle manufacturing in liquid rocket engines. *Acta Astronautica*, 174, 148–158. <https://doi.org/10.1016/j.actaastro.2020.04.067>
10. Grefen, B., Becker, J., Linke, S., & Stoll, E. (2021). Design, production and evaluation of 3d-printed mold geometries for a hybrid rocket engine. *Aerospace*, 8(8), 220. <https://doi.org/10.3390/aerospace8080220>
11. Ha, D., Roh, T.-S., Huh, H., & Lee, H. J. (2022). Development trend of liquid hydrogen-fueled rocket engines (part 2: Core technologies). *International Journal of Aeronautical and Space Sciences*. <https://doi.org/10.1007/s42405-022-00518-8>
12. Hong, M., Jeon, J., & Lee, S. Y. (2012). Discharge coefficient of pressure-swirl atomizers with low nozzle opening coefficients. *Journal of Propulsion and Power*, 28(1), 213–218. <https://doi.org/10.2514/1.b34168>
13. Immich, H., Alting, J., Kretschmer, J., & Preklik, D. (2003). Technology developments for thrust chambers of future launch vehicle liquid rocket engines. *Acta Astronautica*, 53(4-10), 597–605. [https://doi.org/10.1016/s0094-5765\(03\)80021-8](https://doi.org/10.1016/s0094-5765(03)80021-8)
14. Kadivar M., Tormey D., McGranaghan G. CFD of roughness effects on laminar heat transfer applied to additive manufactured minichannels. *Heat and Mass Transfer*. 2022. URL: <https://doi.org/10.1007/s00231-022-03268-1>
15. Kang, Z., Wang, Z.-g., Li, Q., & Cheng, P. (2018). Review on pressure swirl injector in liquid rocket engine. *Acta Astronautica*, 145, 174–198. <https://doi.org/10.1016/j.actaastro.2017.12.038>
16. Kaynak, Y., Tascioglu, E. Post-processing effects on the surface characteristics of Inconel 718 alloy fabricated by selective laser melting additive manufacturing. *Progress in Additive Manufacturing*, 2020, vol. 5, pp. 221–234. DOI: 10.1007/s40964-019-00099-1.
17. Kim, H., et al. (2024). Preliminary Design of 35tonf Methane Combustion Chamber for Additive Manufacturing. *KSPE*, 28(2), 83–96. DOI: 10.6108/KSPE.2024.28.2.083
18. Kuntanapreeda, S., & Hess, D. (2020). Opening access to space by maximizing utilization of 3D printing in launch vehicle design and production. *Applied Science and Engineering Progress*, 14(2). <https://doi.org/10.14416/j.asep.2020.12.002>
19. Kuts, D., Yefanov, V., Halienkova, O., Ovchynnykov, O., Tepla, T., Lemishka, I., & Mierzwiński, D. (2025). Additive technologies for manufacturing swirlers of the combustion chamber of aircraft engines from nickel superalloy powders. *Archives of Materials Science and Engineering*. <https://doi.org/10.5604/01.3001.0055.0368>
20. Lee, K. O., et al. (2023). New Space 3D Printing Rocket Engine Development Trends. *JKSP Engineers*, 27(3), 63–77. DOI: 10.6108/KSPE.2023.27.3.063

REFERENCES

- 1 Adzhamskyi, S. V., Kononenko, H. A., & Podolskyi, R. V. (2021). Vyhotovlennia traktu okholodzhennia vdoskonalenoj konstruksii dlia kamery zghoriannia ridynnoho raketnoho dvyhuna za dopomohoiu adytyvnykh tekhnolohii. *Aerospace Technic and Technology*, (3), 42–48. <https://doi.org/10.32620/aktt.2021.3.05>
- 2 Blachowicz, T., Ehrmann, G., & Ehrmann, A. (2021). Metal additive manufacturing for satellites and rockets. *Applied Sciences*, 11(24), 12036. <https://doi.org/10.3390/app112412036>
- 3 Buchholz, M., Gruber, S., Selbmann, A., Marquardt, A., Meier, L., Müller, M., Seifert, L., Leyens, C., Tajmar, M., & Bach, C. (2022). Flow rate improvements in additively manufactured flow channels suitable for rocket engine application. *CEAS Space Journal*. <https://doi.org/10.1007/s12567-022-00476-7>
- 4 Cheng, C., Wang, Y., Liu, Y., Liu, D., & Lu, X. (2013). Thermal-structural response and low-cycle fatigue damage of channel wall nozzle. *Chinese Journal of Aeronautics*, 26(6), 1449–1458. <https://doi.org/10.1016/j.cja.2013.07.045>
- 5 Chowdhury, S., Yadaiah, N., Prakash, C., Ramakrishna, S., Dixit, S., Gulta, L. R., & Budhi, D. (2022). Laser powder bed fusion: A state-of-the-art review of the technology, materials, properties & defects, and numerical modelling. *Journal of Materials Research and Technology*. <https://doi.org/10.1016/j.jmrt.2022.07.121>
- 6 Ciochon, A., & Kennedy, J. (2024). Efficient modelling of surface roughness effects in additively manufactured materials. *Applied Acoustics*, 220, 109953. <https://doi.org/10.1016/j.apacoust.2024.109953>
- 7 Cui, Z. (2025). Metal additive manufacturing technology in rocket engines and future prospects. *Applied and Computational Engineering*, 156(1), 99–103. <https://doi.org/10.54254/2755-2721/2025.mh25251>
- 8 da Silva Couto, H., Lacava, P. T., Bastos-Netto, D., & Pimenta, A. P. (2009). Experimental evaluation of a low pressure-swirl atomizer applied engineering design procedure. *Journal of Propulsion and Power*, 25(2), 358–364. <https://doi.org/10.2514/1.37018>
- 9 Gradl, P. R., & Protz, C. S. (2020). Technology advancements for channel wall nozzle manufacturing in liquid rocket engines. *Acta Astronautica*, 174, 148–158. <https://doi.org/10.1016/j.actaastro.2020.04.067>
- 10 Grefen, B., Becker, J., Linke, S., & Stoll, E. (2021). Design, production and evaluation of 3d-printed mold geometries for a hybrid rocket engine. *Aerospace*, 8(8), 220. <https://doi.org/10.3390/aerospace8080220>
- 11 Ha, D., Roh, T.-S., Huh, H., & Lee, H. J. (2022). Development trend of liquid hydrogen-fueled rocket engines (part 2: Core technologies). *International Journal of Aeronautical and Space Sciences*. <https://doi.org/10.1007/s42405-022-00518-8>
- 12 Hong, M., Jeon, J., & Lee, S. Y. (2012). Discharge coefficient of pressure-swirl atomizers with low nozzle opening coefficients. *Journal of Propulsion and Power*, 28(1), 213–218. <https://doi.org/10.2514/1.b34168>

- 13 Immich, H., Alting, J., Kretschmer, J., & Preclik, D. (2003). Technology developments for thrust chambers of future launch vehicle liquid rocket engines. *Acta Astronautica*, 53(4-10), 597–605. [https://doi.org/10.1016/s0094-5765\(03\)80021-8](https://doi.org/10.1016/s0094-5765(03)80021-8)
- 14 Kadivar M., Tormey D., McGranaghan G. CFD of roughness effects on laminar heat transfer applied to additive manufactured minichannels. *Heat and Mass Transfer*. 2022. URL: <https://doi.org/10.1007/s00231-022-03268-1>
- 15 Kang, Z., Wang, Z.-g., Li, Q., & Cheng, P. (2018). Review on pressure swirl injector in liquid rocket engine. *Acta Astronautica*, 145, 174–198. <https://doi.org/10.1016/j.actaastro.2017.12.038>
- 16 Kaynak, Y., Tascioglu, E. Post-processing effects on the surface characteristics of Inconel 718 alloy fabricated by selective laser melting additive manufacturing. *Progress in Additive Manufacturing*, 2020, vol. 5, pp. 221–234. DOI: 10.1007/s40964-019-00099-1.
- 17 Kim, H., et al. (2024). Preliminary Design of 35tonf Methane Combustion Chamber for Additive Manufacturing. *KSPE*, 28(2), 83–96. DOI: 10.6108/KSPE.2024.28.2.083
- 18 Kuntanapreeda, S., & Hess, D. (2020). Opening access to space by maximizing utilization of 3D printing in launch vehicle design and production. *Applied Science and Engineering Progress*, 14(2). <https://doi.org/10.14416/j.asep.2020.12.002>
- 19 Kuts, D., Yefanov, V., Halienkova, O., Ovchynnykov, O., Tepla, T., Lemishka, I., & Mierzwiński, D. (2025). Additive technologies for manufacturing swirlers of the combustion chamber of aircraft engines from nickel superalloy powders. *Archives of Materials Science and Engineering*. <https://doi.org/10.5604/01.3001.0055.0368>
- 20 Lee, K. O., et al. (2023). New Space 3D Printing Rocket Engine Development Trends. *JKSP Engineers*, 27(3), 63–77. DOI: 10.6108/KSPE.2023.27.3.063

Received 05.03.2026
Accepted 09.03.2026
Published 31.03.2026

***Additive technologies in the creation of rocket engines
with variable specific impulse: modern approaches and perspectives***

The article examines the prospects of using additive technologies (3D printing) in the design and manufacture of rocket engines with variable specific impulse, which is one of the priority areas of development in the modern rocket and space industry. The relevance of the study is determined by the need to increase the efficiency, adaptability and reliability of power plants in conditions of variable thermogasdynamic and mechanical loads. The purpose of the work is to analyze the possibilities and limitations of using additive manufacturing to create high-tech components of engines with variable specific impulse. The research methodology is based on an interdisciplinary approach using mathematical modeling of heat transfer processes, optimization of the geometry of engine elements and analysis of physical and mechanical properties of materials suitable for SLM, DED and EBM technologies. As a result of the research, it was proven that the use of additive technologies allows creating light, strong and heat-resistant structures with variable geometry, capable of providing variations in thrust and increasing specific impulse. The key conclusion is the expediency of introducing additive manufacturing as a tool for forming adaptive rocket engines of a new generation and developing the innovative potential of domestic engine engineering. At the

same time, Additive technologies in Ukraine have already begun to be implemented in the production of rocket engines with variable specific impulse, mostly at the stage of prototyping and manufacturing of individual complex parts. Despite the significant challenges associated with economic restrictions, military actions and technological dependence on imports, the prospects for the development of this industry are strong. To achieve sustainable progress, it is necessary to focus on the localization of production, the development of the scientific and technical base, the training of highly qualified personnel and the introduction of digital tools into production processes. Such a comprehensive approach will allow to increase the technological independence of Ukraine, strengthen the defense capability and ensure competitiveness at the international level in the conditions of modern challenges

Keywords: additive manufacturing, 3D printing, SLM, DED EBM, topological optimization, functional gradient materials, cooling channels, modular nozzles.

Мариношенко Олександр Петрович – к.т.н., зав.кафедри космічної інженерії, Навчально-науковий інститут аерокосмічних технологій, Національний технічний університет України «Київський політехнічний інститут ім. Ігоря Сікорського», Київ, Україна.

ORCID: <https://orcid.org/0000-0002-1635-0764>

Чорний Олексій Станіславович – магістр прикладної механіки, асистент кафедри космічної інженерії, Національний технічний університет України «Київський політехнічний інститут ім. Ігоря Сікорського», Київ, Україна.

ORCID: <https://orcid.org/0009-0003-3870-6113>

Marynoshenko Oleksandr Petrovych – PhD in technical sciences, head of the department of space engineering, educational and scientific institute of aerospace technologies, National Technical University of Ukraine “Igor Sikorsky Kyiv Polytechnic Institute”, Kyiv, Ukraine.

ORCID: <https://orcid.org/0000-0002-1635-0764>

Chornyi Oleksii Stanislavovych – master of applied mechanics, assistant lecturer of the department of space engineering, educational and scientific institute of aerospace technologies, National Technical University of Ukraine “Igor Sikorsky Kyiv Polytechnic Institute”, Kyiv, Ukraine.

ORCID: <https://orcid.org/0009-0003-3870-6113>

МЕТОД ПІДВИЩЕННЯ ТОЧНОСТІ СИСТЕМИ ВИЯВЛЕННЯ АТАК У ЗОНАХ НЕВИЗНАЧЕНОСТІ НА ОСНОВІ АНАЛІЗУ ПОМИЛОК ТА СЕЛЕКТИВНОГО ПЕРЕВИЗНАЧЕННЯ РІШЕНЬ

Анотація. У статті запропоновано метод підвищення точності системи виявлення атак (IDS) у задачі бінарної класифікації мережевого трафіку за умов дисбалансу класів і наявності прикордонних прогнозів. Підхід реалізує двоступеневу схему прийняття рішень, що поєднує адаптацію навчальних даних на основі аналізу помилок і селективне перевизначення рішень у попередньо визначеній зоні невизначеності. На першому етапі базова згорткова нейронна мережа (CNN) навчається на спектрограмному поданні мережевих з'єднань, сформованому за допомогою Short-Time Fourier Transform (STFT). Після навчання виконується аналіз помилок класифікації на навчальній і валідаційній підвбірках на рівні підкласів атак. Підкласи, що формують найбільшу кількість хибних рішень, використовуються для формування розширеної навчальної вибірки шляхом цільового синтетичного доповнення (ErrorBoost). Далі на оновленому наборі даних з нуля навчається допоміжна модель IDS з ідентичною архітектурою.

Для обробки прикордонних прогнозів вводиться зона невизначеності як інтервал апостеріорних імовірностей, близьких до порогового значення прийняття рішення. Для зразків, імовірність яких потрапляє до цього інтервалу, рішення базової моделі вибірково перевіряється допоміжною моделлю. Остаточна класифікація визначається з урахуванням порогів упевненості, встановлених виключно на валідаційній підвбірці без використання тестових даних під час налаштування параметрів. Такий механізм забезпечує кероване регулювання компромісу між хибнопозитивними та хибнонегативними рішеннями, що є критичним для практичного застосування IDS.

Експериментальне оцінювання виконано на наборі даних NSL-KDD із дотриманням фіксованого протоколу розбиття на навчальну, валідаційну та тестову підвбірки. Використання лише ErrorBoost без селективного перевизначення не забезпечило стабільного покращення як самостійне рішення. Натомість комбінований підхід, що поєднує аналіз помилок та вибіркового перегляду рішень у зоні невизначеності, продемонстрував покращення показників. У кращому експериментальному запуску значення *assigaru* на тестовій підвбірці досягло 0,8522 за збереження збалансованих значень *precision* і *recall* для класу атак. Отримані результати підтверджують, що врахування фактичних помилок моделі та селективне перевизначення невизначених прогнозів дозволяє підвищити ефективність IDS без ускладнення архітектури та порушення коректності експериментальної процедури.

Ключові слова: система виявлення атак, бінарна класифікація, дисбаланс класів, аналіз помилок, зона невизначеності, селективне перевизначення рішень, NSL-KDD, STFT, згорткова нейронна мережа.

Постановка проблеми. Системи виявлення атак у комп'ютерних мережах є одним із ключових компонентів забезпечення інформаційної безпеки, оскільки дозволяють автоматизовано ідентифікувати несанкціоновану активність та аномальну поведінку мережевого трафіку. У більшості прикладних сценаріїв intrusion detection розглядається як задача бінарної класифікації, у межах якої необхідно віднести кожен зразок до нормального або атакуючого класу. Особливістю такої задачі є висока вартість хибно-негативних рішень, коли атака помилково класифікується як нормальна активність.

Дисбаланс призводить до деградації якості виявлення атак навіть за використання складних моделей, зокрема глибоких нейронних мереж [1, 6]. Систематичні огляди також підкреслюють, що метрика загальної точності не відображає реальну здатність IDS виявляти рідкісні та складні атаки і суттєво залежить від протоколу оцінювання та структури набору даних [12, 18].

Поєднання синтетичного балансування з CNN може покращувати показники для міноритарних класів [17]. Однак у типових схемах балансування акцент робиться на вирівнюванні часток класів, тоді як «важкі» для моделі підкласи атак і прикордонні приклади залишаються недостатньо опрацьованими. Саме тому актуальними є адаптивні механізми навчання, що спираються на фактичні помилки моделі та коректний протокол експериментів [8, 10].

Окремою проблемою є наявність зон невизначеності прогнозу, у яких імовірність належності зразка до класу атаки наближається до порогового значення. У таких випадках моделі можуть демонструвати нестабільність, що призводить до зростання кількості хибно-позитивних або хибно-негативних рішень. Показано, що зменшення хибно-негативної складової можливе за рахунок додаткових механізмів обробки складних прикладів, однак у багатьох підходах не вводиться явне виділення зони невизначеності та вибірковий перегляд рішень [13].

Таким чином, актуальною є задача розроблення методу підвищення точності IDS, який поєднує адаптивне навчання на основі аналізу помилок моделі та механізм селективного перевизначення рішень у прикордонних (невизначених) випадках. Такий підхід має забезпечити зменшення кількості хибних рішень без використання тестових даних на етапах налаштування та без суттєвого ускладнення архітектури.

Аналіз останніх досліджень і публікацій. У роботі [1] досліджено виявлення пом'якшення DDoS-атак у програмно-конфігурованих мережах на основі адаптивної ентропійної метрики, яка відстежує зміни статистичних характеристик потоків. Обмеженням такого підходу є орієнтація на конкретний клас атак і залежність від якості оцінювання ентропійних показників у сценаріях зі змішаним трафіком, що ускладнює перенесення на загальну IDS-задачу з різнорідними типами атак.

У дослідженні [2] розглянуто застосування глибокого навчання для побудови IDS в IoT-середовищі з акцентом на автоматизоване виділення ознак. Водночас не запропоновано механізмів, які явно враховують дисбаланс підкласів атак, а також не проаналізовано поведінку моделі у випадках прогнозів із близькими до порогових значеннями ймовірності.

У роботі [3] досліджено багат шарові нейромережеві архітектури для підвищення якості IDS в IoT, однак підхід потребує ретельного налаштування та не містить явної стратегії, спрямованої на підкласи атак, що формують найбільшу кількість помилок.

Окремі прикладні роботи підкреслюють, що неоднорідність трафіку та відмінності сценаріїв експлуатації ускладнюють побудову універсальних детекторів без хибних спрацьовувань [6]. Систематичний огляд [7] наголошує на проблемах відтворюваності результатів і браку аналізу помилок на рівні підкласів атак. У порівняльному дослідженні [8] показано чутливість метрик до вибору датасету та протоколу розбиття, що робить принциповим суворе розмежування навчальної, валідаційної й тестової підвибірок у роботах з IDS.

Узагальнювальні роботи акцентують, що якість IDS визначається не лише архітектурою, а й передобробкою даних та узгодженим протоколом оцінювання [10]. Окремо підкреслюється вплив дисбалансу й асиметрії помилок (насамперед хибнонегативних), а також нестача алгоритмічних стратегій, які одночасно використовують інформацію про помилки моделі для адресного переформування навчальної вибірки та вводять явні критерії виділення зони невизначеності [12, 18].

Для синтетичного доповнення даних, окрім SMOTE, застосовують генеративні моделі (GAN) для формування зразків рідкісних атак або доменно-специфічних сценаріїв [11, 15]. Водночас якість синтетичних прикладів істотно залежить від стабільності навчання генератора та може супроводжуватися артефактами, а також не завжди визначено, для яких саме підкласів атак доповнення є доцільним.

У підсумку, сучасні підходи охоплюють глибоке навчання, синтетичне балансування та генерацію прикладів, а також окремі прийоми зниження хибнонегативної складової [13, 14]. Разом із тим у розглянутій літературі бракує методів, які водночас (1) адресно «підсилюють» саме ті підкласи атак, де базова модель помиляється найчастіше, і (2) переглядають рішення лише в прикордонній зоні прогнозу, не залучаючи тестові дані під час налаштування. Саме цю прогалину заповнює запропонований у роботі підхід.

Метою цієї статті є розроблення методу підвищення точності системи виявлення атак у задачі бінарної класифікації мережевого трафіку на основі поєднання аналізу помилок базової моделі та механізму селективного перевизначення рішень у зоні невизначеності прогнозу. Метод спрямований на зменшення кількості хибних рішень шляхом цільового формування навчальної вибірки для підкласів атак, на яких модель демонструє найбільшу частоту помилок, а також на контроль прийняття рішень у прикордонних випадках без використання тестових даних на етапах налаштування.

Викладення основного матеріалу. У даному дослідженні задача виявлення атак формулюється як бінарна класифікація мережевого трафіку, у межах якої кожен зразок

x_i необхідно віднести до одного з двох класів $y_i \in \{0,1\}$, де значення 0 відповідає нормальному трафіку, а значення 1 – атакуючій активності. Сукупність навчальних даних подається у вигляді множини

$$\mathcal{D} = \{(x_i, y_i)\}_{i=1}^N, \quad (1)$$

де N — кількість зразків. Вхідні дані представлені табличними ознаками набору NSL-KDD, що характеризують статистичні та протокольні властивості мережевих з'єднань.

Для забезпечення узгодженості масштабу всі числові ознаки підлягають нормалізації, яка виконується відповідно до виразу

$$x_i^{(norm)} = 2 \cdot \frac{x_i - \min(x)}{\max(x) - \min(x)} - 1, \quad (2)$$

що дозволяє привести значення ознак до симетричного інтервалу та зменшити вплив різних масштабів на подальші перетворення. Нормовані ознаки використовуються для формування синтетичного сигналу, параметри якого визначаються значеннями вхідних характеристик.

З метою підвищення виразності ознак застосовано перетворення мережевого трафіку в частотно-часове представлення. Для цього використовується Short-Time Fourier Transform (STFT), який для дискретного сигналу $s(t)$ визначається відповідно до виразу

$$\text{STFT}(t, f) = \sum_{\tau=-\infty}^{\infty} s(\tau) w(\tau - t) e^{-j2\pi f\tau}, \quad (3)$$

де $w(\cdot)$ є віконною функцією. Отримане спектральне подання дозволяє сформувати двовимірну спектрограму, що відображає локальні частотні зміни сигналу в часі.

Сформовані спектрограми використовуються як вхідні дані для Convolutional Neural Network (CNN), параметри якої оптимізуються шляхом мінімізації функції втрат для бінарної класифікації. Ймовірність належності зразка до класу атаки визначається вихідним шаром мережі відповідно до сигмоїдної функції

$$p_i = \sigma(z_i) = \frac{1}{1 + e^{-z_i}}, \quad (4)$$

де z_i є агрегованим виходом нейронної мережі для зразка x_i .

Навчання базової моделі здійснюється шляхом мінімізації бінарної крос-ентропійної функції втрат

$$\mathcal{L} = -\frac{1}{N} \sum_{i=1}^N [y_i \ln(p_i) + (1 - y_i) \ln(1 - p_i)], \quad (5)$$

що забезпечує узгоджене оновлення параметрів мережі для коректного розділення нормального та атакуючого трафіку. Після завершення навчання формується прогноз базо-

вої моделі для навчальної та валідаційної вибірок, який використовується для аналізу помилок класифікації.

Аналіз помилок базової моделі полягає у визначенні підкласів атак, для яких кількість хибних рішень є максимальною. Для цього вводиться індикатор помилки

$$e_i = \begin{cases} 1, & y_i \neq \hat{y}_i, \\ 0, & y_i = \hat{y}_i, \end{cases} \quad (6)$$

де \hat{y}_i є прогнозованим класом. Агрегація значень e_i для кожного підкласу атак дозволяє сформулювати множину проблемних типів, що роблять найбільший внесок у загальну похибку системи.

На основі отриманої статистики формується розширена навчальна вибірка шляхом додаткового синтетичного збільшення представлення проблемних підкласів. Для кожного такого підкласу визначається цільова кількість зразків

$$N_k^* = \min(\alpha \cdot N_k, N_{\max}), \quad (7)$$

де N_k є початковою кількістю зразків відповідного підкласу, а N_{\max} обмежує максимальний розмір класу у вибірці. Отриманий підхід, надалі позначений як ErrorBoost, дозволяє адаптувати структуру навчальних даних до реальної поведінки моделі.

На розширеній вибірці з нуля навчається додаткова модель IDS з ідентичною архітектурою, яка використовується для аналізу складних випадків класифікації. Для формалізації таких випадків вводиться зона невизначеності прогнозу, що визначається інтервалом

$$\tau = \{p_i \mid \tau_L \leq p_i \leq \tau_U\}, \quad (8)$$

де τ_L та τ_U є нижньою та верхньою межами зони невизначеності, визначеними на валідаційній вибірці.

Для зразків, що потрапляють до зони невизначеності, застосовується механізм селективного перевизначення рішень. Остаточне рішення формується шляхом порівняння прогнозів базової та додаткової моделей і визначається відповідно до правила

$$\hat{y}_i^{(final)} = \begin{cases} 1, & p_i^{(boost)} \geq \theta_U, \\ 0, & p_i^{(boost)} \leq \theta_L, \\ \hat{y}_i^{(base)}, & \text{в інших випадках,} \end{cases} \quad (9)$$

де θ_L та θ_U є порогами впевненості допоміжної моделі. Такий підхід дозволяє зменшити кількість хибних рішень у прикордонних випадках без неконтрольованого зростання хибнопозитивних спрацьовувань.

Запропонований метод інтегрує аналіз помилок, цільове синтетичне збільшення навчальних даних і двоступеневе прийняття рішень у єдиний конвеєр побудови системи виявлення атак. Усі параметри методу визначаються виключно на навчальній та валідаційній вибірках, що забезпечує коректність оцінювання та можливість практичного застосування підходу.

Результати експериментів. Експериментальні дослідження запропонованого методу виконано з використанням набору даних NSL-KDD, який було розділено на навчальну, валідаційну та тестову підвибірки відповідно до фіксованого протоколу. Тестова вибірка не використовувалася на жодному з етапів налаштування параметрів методу, зокрема під час формування ErrorBoost-вибірки та визначення порогів селективного перевизначення рішень. Оцінювання якості класифікації здійснювалося за стандартними метриками precision, recall, f1-score та accuracy.

Результати застосування моделі, навченої на ErrorBoost-вибірці без використання механізму селективного перевизначення рішень, показали, що така модель не забезпечує стабільного покращення загальної точності порівняно з базовою. Для цього варіанту значення accuracy на тестовій вибірці становило 0,8210, при цьому спостерігалось зростання кількості хибнонегативних рішень для класу атак, що підтверджується значенням recall, рівним 0,7886. Отриманий результат свідчить про те, що додаткове синтетичне збільшення навчальної вибірки для проблемних підкласів атак не може розглядатися як самодостатня заміна базової моделі та потребує інтеграції з механізмами контролю прийняття рішень.

Для оцінювання впливу селективного перевизначення рішень було введено зону невизначеності прогнозу з межами $\tau_L = 0,25$ та $\tau_U = 0,75$. На валідаційній вибірці обсяг зони невизначеності становив 944 зразки, для яких було виконано автоматичний підбір порогів упевненості допоміжної моделі. За отриманих значень порогів частка перевизначених рішень у межах зони невизначеності склала 90,25 %. При цьому кількість хибнонегативних рішень зменшилася з 127 до 36, тоді як кількість хибнопозитивних зросла з 174 до 226, що призвело до зменшення сумарної кількості помилок у зоні невизначеності з 301 до 262.

Аналогічний аналіз було виконано на тестовій вибірці, де зона невизначеності охоплювала 3122 зразки. Частка перевизначених рішень у цій зоні становила 89,08 %. У межах зони невизначеності спостерігалось зменшення кількості хибнонегативних рішень з 1038 до 949 за одночасного зростання кількості хибнопозитивних з 385 до 596. Така динаміка підтверджує наявність керованого компромісу між різними типами помилок, який формується внаслідок застосування селективного перевизначення рішень і залежить від обраних порогів упевненості.

Загальна оцінка якості класифікації для комбінованого підходу, що поєднує базову модель та допоміжну модель, застосовану в зоні невизначеності, показала значення accuracy 0,8117 на тестовій вибірці. Для класу нормального трафіку значення recall становило 0,9155, тоді як для класу атак — 0,7683, що відображає перерозподіл помилок у напрямі зменшення частки пропущених атак у прикордонних випадках порівняно з базовим рішенням.

У кращому експериментальному запуску, отриманому за оптимального поєднання параметрів ErrorBoost та порогів селективного перевизначення рішень, загальна точність класифікації на тестовій вибірці досягла 0,8522. Для цього варіанту значення precision та recall для класу атак становили 0,8907 та 0,8438 відповідно, а середнє зна-

чення f1-score склало 0,8504. Отриманий результат демонструє підвищення показника accuracy приблизно на 1 відсотковий пункт порівняно з базовим підходом, що підтверджує доцільність поєднання аналізу помилок та селективного перевизначення рішень у зонах невизначеності прогнозу.

Таблиця 1

Порівняння результатів для різних варіантів

Варіант	Accuracy	Precision (Attack)	Recall (Attack)	F1-score (Attack)
Базова модель	0,8117	—	—	—
ErrorBoost без перевизначення	0,8210	—	0,7886	—
Комбінований (кращий запуск)	0,8522	0,8907	0,8438	0,8504

Джерело: сформовано автором

Висновки. У роботі запропоновано метод підвищення точності системи виявлення атак у задачі бінарної класифікації мережевого трафіку, що ґрунтується на поєднанні аналізу помилок базової моделі та механізму селективного перевизначення рішень у зонах невизначеності прогнозу. Метод орієнтований на врахування фактичної поведінки моделі під час навчання та прийняття рішень і не потребує використання тестових даних на етапах налаштування.

Показано, що застосування цільового синтетичного збільшення навчальної вибірки для підкласів атак, на яких базова модель демонструє найбільшу кількість помилок, дозволяє сформувати допоміжну модель, чутливішу до складних і рідкісних типів атак. Водночас експериментально встановлено, що така модель не забезпечує стабільного покращення загальної точності при використанні як самостійне рішення, що обґрунтовує доцільність її застосування виключно у складі комбінованого підходу.

Запропонований механізм селективного перевизначення рішень у зоні невизначеності дозволяє керувати впливом на співвідношення хибнопозитивних і хибнонегативних рішень. Результати експериментів на наборі даних NSL-KDD показали, що за рахунок вибіркового залучення допоміжної моделі у прикордонних випадках можливо зменшити кількість пропущених атак без неконтрольованого зростання загальної кількості помилок. У кращому експериментальному запуску досягнуто підвищення показника accuracy з 0,84 до 0,85 на тестовій вибірці.

Отримані результати підтверджують ефективність запропонованого підходу для задач виявлення атак у комп'ютерних мережах з дисбалансом класів і наявністю зон невизначеності прогнозу. Подальші дослідження можуть бути спрямовані на аналіз чутливості методу до вибору меж зони невизначеності, адаптацію підходу до багатокласових сценаріїв та перевірку його узагальнювальної здатності на інших наборах даних мережевого трафіку.

ЛІТЕРАТУРА

1. Dalou', J., Al-Duwairi, B., & Al-Jarrah, M. (2020). Adaptive entropy-based detection and mitigation of DDoS attacks in SDN networks. *International Journal of Computing*, 19(3), 399–410. doi: 10.47839/ijc.19.3.1889.
2. Joseph, J. E., Aleke, N. T., & Onyeansi, O. P. (2025). Deep learning based intrusion detection system for network security in IoT system. *International Journal of Education, Management, and Technology*, 3(1), 119–138. doi: 10.58578/ijemt.v3i1.4539.
3. Farooq, M., & Ahmad, F. (2024). Improved intrusion detection in IoT using multi-layered neural architectures. *International Journal of Computing*, 23(2), 268–273 doi:10.47839/ijc.23.2.3546.
4. Kashtalian, A., Sergii, L., Sachenko, A., Savenko, B., Savenko, O. & Nicheporuk, A. (2025). Evaluation criteria of centralization options in the architecture of multicomputer systems with traps and baits. *Radioelectronic and Computer Systems*, 2025(1), 264–297. doi:10.32620/reks.2025.1.18.
5. Denysiuk, D., Savenko, O., Lysenko, S., Savenko, B., & Kashtalian, A. (2023). Method for detecting steganographic changes in images using machine learning. In Proceedings of the 13th International Conference on Dependable Systems, Services and Technologies (DESSERT) (pp. 1–6). Athens: IEEE. doi: 10.1109/DESSERT61349.2023.10416453.
6. Alladi, T., Chamola, V., Sikdar, B., & Choo, K.-K. R. (2020). Consumer IoT: Security Vulnerability Case Studies and Solutions. *IEEE Consumer Electronics Magazine*, 9(2), 17–25. doi:10.1109/MCE.2019.2953740
7. Hussain, A., Sharif, H., Rehman, F., Kirn, H., Sadiq, A., & Khan, M. S. (2023). A Systematic Review of Intrusion Detection Systems in Internet of Things Using ML and DL. 2023 4th International Conference on Computing, Mathematics and Engineering Technologies (iCoMET). doi:10.1109/iCoMET57998.2023.10099142
8. Kilincer, I. F., Ertam, F., & Sengur, A. (2021). Machine learning methods for cyber security intrusion detection: Datasets and comparative study. *Computer Networks*, 188, article 107840. doi:10.1016/j.comnet.2021.107840
9. Li, G., & Jung, J. J. (2023). Deep learning for anomaly detection in multivariate time series: Approaches, applications, and challenges. *Information Fusion*, 91, 93–102. doi:10.1016/j.inffus.2022.10.008
10. Sheikh, M. S., & Peng, Y. (2022). Procedures, Criteria, and Machine Learning Techniques for Network Traffic Classification: A Survey. *IEEE Access*, 10, 64806–64829. doi:10.1109/access.2022.3181135
11. Mari, A.-G., Zinca, D., & Dobrota, V. (2023). Development of a Machine-Learning Intrusion Detection System and Testing of Its Performance Using a Generative Adversarial Network. *Sensors*, 23(3), 1315. doi:10.3390/s23031315
12. Ahmad, Z., Khan, A. S., Shiang, C. W., Abdullah, J., & Ahmad, F. (2021). Network intrusion detection system: A systematic study of machine learning and deep learning approaches. *Emerging Telecommunications Technologies*, 32(1), e4150. doi:10.1002/ett.4150

13. Mijalkovic, J., & Spognardi, A. (2022). Reducing the False Negative Rate in Deep Learning Based Network Intrusion Detection Systems. *Algorithms*, 15(8), 258. doi:10.3390/a15080258
14. Shahriar, M. H., Haque, N. I., Rahman, M. A., & Alonso, M. (2020). G-IDS: Generative Adversarial Networks Assisted Intrusion Detection System. 2020 IEEE 44th Annual Computers, Software, and Applications Conference (COMPSAC). doi:10.1109/compsac48688.2020.0-218
15. Cai, Z., Du, H., Wang, H., Zhang, J., Si, Y., & Li, P. (2023). One-Dimensional Convolutional Wasserstein Generative Adversarial Network Based Intrusion Detection Method for Industrial Control Systems. *Electronics*, 12(22), 4653. doi:10.3390/electronics12224653
16. Baich, M., & Sael, N. (2025). Enhancing Machine Learning Model Prediction with Feature Selection for Botnet Intrusion Detection. *Engineering Proceedings*, 112(1), 55. doi:10.3390/engproc2025112055
17. Hassannataj Joloudari, J., Marefat, A., Nematollahi, M. A., Oyelere, S. S., & Hussain, S. (2023). Effective Class-Imbalance Learning Based on SMOTE and Convolutional Neural Networks. *Applied Sciences*, 13(6), 4006. doi:10.3390/app13064006
18. Yang, Z., Liu, X., Li, T., Wu, D., Wang, J., Zhao, Y., & Han, H. (2022). A systematic literature review of methods and datasets for anomaly-based network intrusion detection. *Computers & Security*, 116, 102675. doi:10.1016/j.cose.2022.102675
19. Maniriho, P., Niyigaba, E., Bizimana, Z., Twiringiyimana, V., Mahoro, L. J., & Ahmad, T. (2020). Anomaly-based Intrusion Detection Approach for IoT Networks Using Machine Learning. 2020 International Conference on Computer Engineering, Network, and Intelligent Multimedia (CENIM). doi:10.1109/CENIM51130.2020.9297958
20. Sheibani, M., Konur, S., Awan, I., & Qureshi, A. (2024). A Multi-Layered Defence Strategy against DDoS Attacks in SDN/NFV-Based 5G Mobile Networks. *Electronics*, 13(8), 1515. doi:10.3390/electronics13081515
21. Sathaporn, P., Krungseanmuang, W., Chaowalittawin, V., Benjangkprasert, C., & Purahong, B. (2025). DDoS Detection Using a Hybrid CNN–RNN Model Enhanced with Multi-Head Attention for Cloud Infrastructure. *Applied Sciences*, 15(21), 11567. doi:10.3390/app152111567

REFERENCES

1. Dalou', J., Al-Duwairi, B., & Al-Jarrah, M. (2020). Adaptive entropy-based detection and mitigation of DDoS attacks in SDN networks. *International Journal of Computing*, 19(3), 399–410. doi: 10.47839/ijc.19.3.1889.
2. Joseph, J. E., Aleke, N. T., & Onyeansi, O. P. (2025). Deep learning based intrusion detection system for network security in IoT system. *International Journal of Education, Management, and Technology*, 3(1), 119–138. doi: 10.58578/ijemt.v3i1.4539.
3. Farooq, M., & Ahmad, F. (2024). Improved intrusion detection in IoT using multi-layered neural architectures. *International Journal of Computing*, 23(2), 268–273. doi:10.47839/ijc.23.2.3546.

4. Kashtalian, A., Sergii, L., Sachenko, A., Savenko, B., Savenko, O. & Nicheporuk, A. (2025). Evaluation criteria of centralization options in the architecture of multicomputer systems with traps and baits. *Radioelectronic and Computer Systems*, 2025(1), 264–297. doi:10.32620/reks.2025.1.18.
5. Denysiuk, D., Savenko, O., Lysenko, S., Savenko, B., & Kashtalian, A. (2023). Method for detecting steganographic changes in images using machine learning. In Proceedings of the 13th International Conference on Dependable Systems, Services and Technologies (DESSERT) (pp. 1–6). Athens: IEEE. doi: 10.1109/DESSERT61349.2023.10416453.
6. Alladi, T., Chamola, V., Sikdar, B., & Choo, K.-K. R. (2020). Consumer IoT: Security Vulnerability Case Studies and Solutions. *IEEE Consumer Electronics Magazine*, 9(2), 17–25. doi:10.1109/MCE.2019.2953740
7. Hussain, A., Sharif, H., Rehman, F., Kirn, H., Sadiq, A., & Khan, M. S. (2023). A Systematic Review of Intrusion Detection Systems in Internet of Things Using ML and DL. 2023 4th International Conference on Computing, Mathematics and Engineering Technologies (iCoMET). doi:10.1109/iCoMET57998.2023.10099142
8. Kilincer, I. F., Ertam, F., & Sengur, A. (2021). Machine learning methods for cyber security intrusion detection: Datasets and comparative study. *Computer Networks*, 188, article 107840. doi:10.1016/j.comnet.2021.107840
9. Li, G., & Jung, J. J. (2023). Deep learning for anomaly detection in multivariate time series: Approaches, applications, and challenges. *Information Fusion*, 91, 93–102. doi:10.1016/j.inffus.2022.10.008
10. Sheikh, M. S., & Peng, Y. (2022). Procedures, Criteria, and Machine Learning Techniques for Network Traffic Classification: A Survey. *IEEE Access*, 10, 64806–64829. doi:10.1109/access.2022.3181135
11. Mari, A.-G., Zinca, D., & Dobrota, V. (2023). Development of a Machine-Learning Intrusion Detection System and Testing of Its Performance Using a Generative Adversarial Network. *Sensors*, 23(3), 1315. doi:10.3390/s23031315
12. Ahmad, Z., Khan, A. S., Shiang, C. W., Abdullah, J., & Ahmad, F. (2021). Network intrusion detection system: A systematic study of machine learning and deep learning approaches. *Emerging Telecommunications Technologies*, 32(1), e4150. doi:10.1002/ett.4150
13. Mijalkovic, J., & Spognardi, A. (2022). Reducing the False Negative Rate in Deep Learning Based Network Intrusion Detection Systems. *Algorithms*, 15(8), 258. doi:10.3390/a15080258
14. Shahriar, M. H., Haque, N. I., Rahman, M. A., & Alonso, M. (2020). G-IDS: Generative Adversarial Networks Assisted Intrusion Detection System. 2020 IEEE 44th Annual Computers, Software, and Applications Conference (COMPSAC). doi:10.1109/compsac48688.2020.0-218
15. Cai, Z., Du, H., Wang, H., Zhang, J., Si, Y., & Li, P. (2023). One-Dimensional Convolutional Wasserstein Generative Adversarial Network Based Intrusion Detection Method for Industrial Control Systems. *Electronics*, 12(22), 4653. doi:10.3390/electronics12224653

16. Baich, M., & Sael, N. (2025). Enhancing Machine Learning Model Prediction with Feature Selection for Botnet Intrusion Detection. *Engineering Proceedings*, 112(1), 55. doi:10.3390/engproc2025112055
17. Hassannataj Joloudari, J., Marefat, A., Nematollahi, M. A., Oyelere, S. S., & Hussain, S. (2023). Effective Class-Imbalance Learning Based on SMOTE and Convolutional Neural Networks. *Applied Sciences*, 13(6), 4006. doi:10.3390/app13064006
18. Yang, Z., Liu, X., Li, T., Wu, D., Wang, J., Zhao, Y., & Han, H. (2022). A systematic literature review of methods and datasets for anomaly-based network intrusion detection. *Computers & Security*, 116, 102675. doi:10.1016/j.cose.2022.102675
19. Maniriho, P., Niyigaba, E., Bizimana, Z., Twiringiyimana, V., Mahoro, L. J., & Ahmad, T. (2020). Anomaly-based Intrusion Detection Approach for IoT Networks Using Machine Learning. 2020 International Conference on Computer Engineering, Network, and Intelligent Multimedia (CENIM). doi:10.1109/CENIM51130.2020.9297958
20. Sheibani, M., Konur, S., Awan, I., & Qureshi, A. (2024). A Multi-Layered Defence Strategy against DDoS Attacks in SDN/NFV-Based 5G Mobile Networks. *Electronics*, 13(8), 1515. doi:10.3390/electronics13081515
21. Sathaporn, P., Krungseanmuang, W., Chaowalittawin, V., Benjangkaprasert, C., & Purahong, B. (2025). DDoS Detection Using a Hybrid CNN–RNN Model Enhanced with Multi-Head Attention for Cloud Infrastructure. *Applied Sciences*, 15(21), 11567. doi:10.3390/app152111567

Received 10.03.2026
Accepted 13.03.2026
Published 31.03.2026

***A method for improving the accuracy of an intrusion detection system
in uncertainty zones based on error analysis and selective decision revision***

The paper proposes a method for improving the accuracy of an intrusion detection system (IDS) in the task of binary classification of network traffic under class imbalance and the presence of borderline predictions. The approach is based on a two-stage decision scheme that combines error-driven data adaptation and selective decision revision within a predefined uncertainty zone. At the first stage, a baseline convolutional neural network (CNN) model is trained using spectrogram-based representations of network connections obtained via Short-Time Fourier Transform (STFT). After training, classification errors on the training and validation subsets are analyzed at the level of attack subclasses. Subclasses that contribute the largest number of false decisions are identified and used to form an extended training set through targeted synthetic oversampling (ErrorBoost). A secondary IDS model with the same architecture is then trained from scratch on the extended dataset.

To handle borderline predictions, an uncertainty zone is introduced as an interval of posterior probabilities close to the decision threshold. For samples whose predicted probability falls within this interval, the decision of the baseline model is selectively re-evaluated using the auxiliary model. Final classification is determined according to confidence thresholds defined exclusively on the validation subset, without using test data during parameter tuning. Such a mechanism enables controlled adjustment of the trade-off between false positive and false negative rates, which is critical in practical IDS deployment.

Experimental evaluation was conducted on the NSL-KDD dataset using a fixed protocol with separate training, validation, and test subsets. The ErrorBoost strategy alone did not provide stable improvements when applied as an independent solution. However, the combined approach integrating error-based oversampling and selective decision revision achieved improved performance. In the best experimental run, the overall accuracy reached 0.8522 on the test subset, while maintaining balanced precision and recall for the attack class. The results confirm that incorporating model-specific error analysis and selective re-evaluation of uncertain predictions can enhance IDS performance without increasing architectural complexity or violating experimental validity.

Keywords: intrusion detection system, binary classification, class imbalance, error analysis, uncertainty zone, selective decision revision, NSL-KDD, STFT, convolutional neural network.

Семенюк Богдан Васильович - аспірант, спеціальність 122 Комп'ютерні науки, Хмельницький національний університет.

ORCID: <https://orcid.org/0009-0001-8831-8835>

Савенко Богдан Олегович - старший викладач, доктор філософії з комп'ютерної інженерії, Хмельницький національний університет.

ORCID: <https://orcid.org/0000-0001-5647-9979>

Semenyuk Bohdan Vasylovych -- Postgraduate Student, Specialty 122 Computer Science, Khmelnytskyi National University.

ORCID: <https://orcid.org/0009-0001-8831-8835>

Savenko Bohdan Olehovych - Senior Lecturer, PhD in Computer Engineering, Khmelnytskyi National University.

ORCID: <https://orcid.org/0000-0001-5647-9979>

IMPLEMENTING EXTENSION METHODS AND GENERIC METHODS IN GO PROGRAMMING LANGUAGE DIALECT

Abstract. This paper explores the implementation of extension methods in GoNext, a dialect of the Go programming language that transpiles into standard Go code. Go is a statically compiled language with a lightweight runtime, excellent concurrency support, fast compilation, and a large ecosystem, but it also has a relatively simple type system that does not allow defining methods on types outside the package where they are declared. Extension methods address this limitation by allowing developers to add methods to existing types – including those defined in third-party libraries or the Go standard library – without modifying their source code. The authors review how extension methods are implemented in other mainstream programming languages (C#, Swift, Kotlin, Rust, Scala) and compare them with the related concept of uniform function call syntax, then propose a GoNext-specific approach: extension functions are declared using a new extension keyword before a regular function declaration and are transpiled into ordinary free functions by simply removing that keyword, while call sites are rewritten from method-call syntax (`value.Method(params)`) into explicit function calls (`package.Method(value, params)`) using a resolution algorithm based on Go's type unification rules. The paper also describes an import extension modifier that allows treating all functions in an existing Go package as extension methods without adding unnecessary wrappers. The proposed approach is demonstrated on a complete example showing how chained extension method calls are transformed into nested function calls during transpilation. The paper demonstrates that this approach achieves zero runtime overhead, maintains full two-way interoperability with standard Go, and – as an additional benefit – enables support for generic methods, a feature intentionally omitted from Go due to unresolved questions around existing interfaces implementation. The proposed mechanism leverages transpilation as a practical strategy for extending a language's capabilities while reusing its existing compiler and runtime infrastructure.

Keywords: Go, compilation, transpilation, programming, programming language, method, function, extension, information technology, algorithm.

Introduction. There is a wide range of programming languages suitable for various use cases, each making different trade-offs to achieve its goals. And over time, their number only keeps growing. Most of them never become popular, but the ones that do usually offer specific features that are either absent in other programming languages, are not as convenient to use, or do not integrate well into the language ecosystem. Quite a few of the recently created programming languages are not built from scratch but instead utilize existing tools that provide

low-level building blocks, which aid in bootstrapping and maintaining a language implementation, such as:

- JVM [1], which was initially designed to run and JIT-compile Java but has since expanded its feature set to support a wide range of different programming languages, both statically typed (Scala, Kotlin) and dynamically typed (JRuby, Jython, Clojure).

- LLVM [2], which revolutionized the programming language compilers space by introducing LLVM IR - a low-level, generic representation of code that LLVM understands, can optimize, and compile into an executable file for a particular operating system and CPU architecture. So, different language implementations that target LLVM need to implement the transformation of source code into the IR and get many optimization passes and machine code generation basically for free. LLVM features both implementations of previously existing languages like C and C++ and newer languages that use its infrastructure like Rust, Zig, or Swift.

- JavaScript VMs. Due to JavaScript being the only language that is fully supported by browsers, there are many languages that transpile [3] into it, so that developers can write applications that run in browsers and not use JavaScript, which might not be ideal for some specific use cases. Notable representatives of such languages are Dart, ClojureScript, TypeScript and so on.

Go [4] is a statically compiled programming language, featuring a lightweight and efficient runtime with an excellent concurrent garbage collector, scheduler, support for concurrency, fast compilation, and a huge ecosystem of existing libraries. It also has quite a rudimentary type system, and programs written in it are usually quite verbose.

Therefore, it was decided to explore [5-6] whether it can itself serve as a low-level building block for implementing more featureful programming languages and what trade-offs its runtime will impose on those language implementations.

One of the ways to check whether the language with some feature can be implemented on top of Go runtime is to take this feature and add it to Go compiler itself (and potentially lead to the feature being implemented in standard Go itself). But since there is no stable interface for the Go runtime, it is not possible to build another compiler that targets it directly.

Instead, it is possible to build a Go dialect with additional features [7-8] and transpile it into Go itself, and then let the standard Go compiler transform the resulting code into an executable binary.

Problem statement. It can be convenient to be able to “extend” existing Go types, that are defined in 3rd party libraries or in Go standard library, by adding methods (or at least something that would look like a method) to these types without changing their source code.

For example, there is a type in some library:

```
// package library
type IntArray []int
And a code in the application that uses it:
// package application
import library
import ext
```

```
func use(arr library.IntArray) int {  
    return arr.Sum()  
}
```

It should be possible to implement package `ext` so that it adds the `Sum` method to the `IntArray` defined in 3rd party library.

Methods like `Sum` are generally named “extension methods” and this paper describes a way to implement this functionality in a Go dialect called `GoNext` and transpile it into standard Go code that could then be compiled by the official Go compiler to a binary executable.

Main requirements for such implementation are:

- Minimal runtime overhead. Ideally, the code that such “extension methods” transpile to would execute as fast as the code that would be written by a developer for standard Go.
- Full two-way interoperability with standard Go. Existing libraries written in standard Go should benefit from the “extension methods” feature, if possible, and `GoNext` libraries with extension methods should be usable from standard Go.

Review of the literature. An extension method is a static method or a free function that, when it is called, looks like an instance method on the extended type. Also, an extension method does not have to be defined in the same place where the type it extends is defined.

Extension methods were first introduced in a mainstream programming language natively in C# 3.0 in 2007 [9]. Defining a new extension method on the type `string` looks like this (it is a regular static method with an additional `this` modifier on the first method parameter):

```
public static class MyExtensions  
{  
    public static int WordCount(this string str) =>  
        str.Split(' ').Length;  
}
```

And using it looks like this:

```
string s = "Hello Extension Methods";  
int i = s.WordCount();
```

Extension methods allow adding “not important” (in this example, class `string` is fully functional without `WordCount` method, but for some use cases it might be very convenient to use), but convenient methods to different types, which enables building APIs that are easier to use (especially chainable methods on the collection-like types). In addition, modern IDEs offer a better autocomplete experience for such extension methods than for static methods/free functions.

Many modern programming languages support extension methods (or properties) either directly or via adjacent language features that allow developers to implement similar functionality:

- Swift [10] and Kotlin [11] have “extensions” that allow adding methods and computed properties to already defined types. Swift also allows adding protocol conformance via extensions.

- Rust [12] allows us to define a trait and immediately implement it for a type, extending it with the methods specified in the trait, effectively providing the same functionality as extension methods.

- Scala 3 [13] supports extension methods natively, whereas Scala 2 [14] provides the same functionality via implicit classes.

As demonstrated, extension methods are a useful language feature that can be implemented in quite different ways, but all implementations share a couple of important properties:

- Since extension methods are just free functions that take a method receiver as their first parameter, they cannot add fields to it or change its memory layout in any way.

- Extension methods usually do not participate in any late-binding activities (except in Swift, where they can create a witness table for an extension conforming to a protocol).

Another programming language feature that can be used to achieve the functionality of “adding methods to existing types” is uniform function call syntax [15], which was already analyzed in the context of the GoNext language dialect [16].

With a uniform function call syntax implemented in a programming language, effectively every free function automatically becomes an extension method. Basically, uniform function call syntax can be seen as a global thing that affects every method call site, and if some free functions are in the current scope, it’s not possible to disable them from being treated as instance methods. On the other hand extension methods are a very local thing from this point of view – only functions that are explicitly marked to be extension methods will be considered like them, which can lead to more obvious behavior when developers try to use some APIs.

When choosing whether a language should implement extension methods or uniform function call syntax from a practical perspective, it is useful to look at existing languages: extension methods feature appears in more languages, and the languages in which it appears are much more popular than the ones that have uniform function call syntax implemented.

Main material. To analyze how extension methods can be implemented in GoNext and transpiled to Go, we need to follow the same four aspects that were described in [7] when implementing full-featured enums in GoNext:

- First, a definition of a feature in the guest language (GoNext) should be presented, in this case: what extension methods definitions look like and how to use them at call sites.

- Translation to the host language (Go): how extension methods themselves and their call sites are transformed into the standard Go code

- Explanation of how a new feature is working with other guest language features, and what effect it has on developers using the language.

- Interoperability concerns: can standard Go code use extension methods directly (it depends on how they are translated to Go), and can GoNext use existing Go libraries as sets of extension methods?

Extension methods definition. Unlike all the mentioned implementations of extension methods in other programming languages, in Go function or method definitions are always

defined separately from each other and from the type they are defined on (in case of methods), therefore since GoNext is a dialect of Go and it should feel like “Go with additional features”, it is reasonable to make extension method definitions look similar to regular function definitions. To separate extension methods and regular functions a new extension modifier can be used:

```
extension func Sum(arr library.IntArray) int {  
    // ...  
}
```

Grammar-wise it can be described as:

```
ExtensionFunctionDecl = "extension" FunctionDecl
```

Where *FunctionDecl* is defined in Go specification [17].

It is possible to express this declaration in a way that requires at least one function parameter inside the grammar, but from an implementation perspective, it is easier to reject extension methods without any parameters after it is parsed.

Extension methods call-site. From the call site perspective, extension methods look the same as calling regular type methods.

Translation of extension method definitions. Extension method definitions can be translated to Go code by simply removing the extension keyword. Thus, they will appear to be just regular methods from a Go perspective.

Translation of extension method call sites. The algorithm can follow the logic described in [16] for unified function call syntax: whenever a call like `value.Method(param1, param2)` is found, and there is no method `Method` defined on `value`'s type, an additional search is started which tries to find an extension method with the matching name and unify-able type (following the Go specification type unification rules [17]) of the first method parameter to the `value`'s type in the current file's scope. If such a method is found and there is exactly one such method, the call is replaced with `package_name.Method(value, param1, param2)`. If zero or more than one match is found, it will lead to a regular Go “no field or method” error.

Interaction with other GoNext language features. When a package with extension methods is imported into the current scope, all its extension methods will participate in the extension method search described above. By implementing imports this way, GoNext lets developers control what extension methods are available in the current scope.

Using extension methods from Go. After transpilation, extension method definitions are transformed into regular functions; therefore, they can be used as is in standard Go code. So, from GoNext's perspective, extension methods can be used in two ways: `value.Method(params)` or `package_name.Method(value, params)`, and only the second way is valid from the perspective of standard Go code.

Using existing Go libraries as if they contained extension methods. Some Go libraries like “lo” contain only free functions that technically can be used as if they were extension methods, but since they already aren't, they must be wrapped in extension methods to participate into method resolution mechanism described above. For example, for the `Filter` function from the “lo”, the following “wrapper” needs to be defined:

```
// package loext
```

```
import "github.com/samber/lo"
extension func Filter[T any](
    collection []T,
    predicate func(item T, index int) bool) []T {
    return lo.Filter(collection, predicate)
}
```

And then `loext` package can be imported and work with extension methods like described above.

Instead of requiring such “wrapper packages”, it is possible to create an additional import modifier, so that in GoNext it is possible to simply do:

```
import extension "github.com/samber/lo"
```

And within the scope of the current file, all functions defined in the package `lo` will automatically be treated as if they were extension methods.

Combining everything. The easiest way to combine everything described above into a single holistic language feature is to follow all steps of the transpilation process in the relatively simple example.

First, let’s define some extension methods in the `sliceext` package:

```
package sliceext
extension func Filter[T any](
    collection []T,
    predicate func(item T, index int) bool) []T {
    //
}
extension func Map[T any, R any](
    collection []T,
    fn func(item T, index int) R) []R {
    //
}
```

Then let’s imagine an application code that uses these methods:

```
package application
import (
    "fmt"
    "sliceext"
)
func main() {
    collection := []int{1, 2, 3, 4, 5, 6}
    result := collection.Filter(func(item int, index int) bool {
        return item % 2 == 0;
    }).Map(func(item int, index int) int {
        return item * item;
    }).Filter(func(item int, index int) bool {
        return item > 4;
    })
    fmt.Println(result)
}
```

Example contains 3 extension method calls, that are being called in a chain.

After transpilation the `sliceext` package looks the same but with “extension” modifiers removed:

```
package sliceext
func Filter[T any](
    collection []T,
    predicate func(item T, index int) bool) []T {
    //
}
func Map[T any, R any](
    collection []T,
    fn func(item T, index int) R) []R {
    //
}
```

And the application code, on the other hand, is being converted into this:

```
package application
import (
    "fmt"
    "sliceext"
)
func main() {
    collection := []int{1, 2, 3, 4, 5, 6}
    result := sliceext.Filter(
        sliceext.Map(
            sliceext.Filter(
                collection,
                func(item int, index int) bool {
                    return item % 2 == 0;
                }
            ),
            func(item int, index int) int {
                return item * item;
            }
        ),
        func(item int, index int) bool {
            return item > 4;
        }
    )
    fmt.Println(result)
}
```

So instead of 3 chained calls, it was rewritten into 3 nested calls.

Conclusions. This paper showcases that it is possible to implement a functionality like extension methods on top of Go runtime by using transpilation into the standard Go code.

The requirements described in the problem statement are also satisfied in the proposed implementation:

- The overhead of using extension methods, compared to not using them and instead making function calls explicitly, is zero. In situations where the “wrapper package” for the existing implementation of some functionality is needed, the overhead is a single additional method call per extension. But since the extension methods in this case are one-line wrappers for functions implemented in an existing Go library, the Go compiler will inline them in most cases, so the overhead will effectively be zero too.

- Since extension methods do not affect any language features other than changing method resolution at call sites, and even that is done in a backwards-compatible way because they are applied only when the code would not have compiled at all previously, they do not really affect interoperability between GoNext and Go itself. Go cannot use extension methods as extension methods because it doesn't know that concept, but since they are transpiled into regular functions, it is possible to just import the package and call them directly from Go. There is also an additional solution that allows importing existing Go libraries as if their functions were written as extension methods, thereby eliminating the need to write “wrapper packages”.

Also, as shown in the example in the section above, the proposed solution provides an additional accidental benefit for the Go programming language – support for generic methods, which Go currently lacks.

Initially, Go did not support generics at all because the team that developed the language believed they would unnecessarily complicate both the language itself and the ecosystem around it. It took a very long time to decide that Go indeed needs generics and to design a way to introduce them to the language [18].

But as described in the Go generics proposal, the generic methods were intentionally omitted from the language [19]. In Go, one of the primary roles of methods is to permit types to implement interfaces. And it is not clear whether it is reasonably possible to permit parameterized methods to implement interfaces. So, it is possible to have methods on generic types, but it is not possible to add new parameterized types to the method definitions.

The `Filter` method is valid:

```
type Array[T any] struct {
    data []T
}
func (array Array[T]) Filter(
    predicate func(item T, index int) bool) Array[T] {
    data := make([]T, 0, len(array.data))
    for i := range collection {
        if predicate(array.data[i], i) {
            result = append(result, array.data[i])
        }
    }
    return Array{data: data}
}
```

But the `Map` method is not, because it requires an additional type parameter `R`, which is not possible to add anywhere:

```
func (array Array[T]) Map(fn func(item T, index int) R) Array[R] {
    data := make([]T, 0, len(array.data))
    for i := range array.data {
        if predicate(array.data[i], i) {
            data = append(data, array.data[i])
        }
    }
    return Array[T]{data: data}
}
```

Extension methods do not interact with interfaces, and they can define any number of type parameters; hence, implementing the Map free function as an extension method is possible even with the current Go compiler.

REFERENCES

1. Wimmer C., Würthinger T. Truffle: a self-optimizing runtime system: Proceedings of the 3rd Annual Conference on Systems, Programming, and Applications: Software for Humanity (SPLASH'12), 2012. P. 13–14. DOI: 10.1145/2384716.2384723.
2. Lattner C., Adve V. LLVM: A Compilation Framework for Lifelong Program Analysis & Transformation: Proceedings of the International Symposium on Code Generation and Optimization (CGO'04), 2004. P. 75–86. DOI: 10.1109/CGO.2004.1281665.
3. Bastidas Fuertes A., Pérez M., Meza Hormaza J. Transpilers: A Systematic Mapping Review of Their Usage in Research and Industry. Applied Sciences. 2023. V. 13, No. 6. Article 3667. DOI: 10.3390/app13063667.
4. Cox R., Griesemer R., Pike R., Taylor I. L., Thompson K. The Go programming language and environment. Communications of the ACM. 2022. V. 65, No. 5. P. 70–78. DOI: 10.1145/3488716.
5. Forkert P. P., Sydorova M. G. ADVANTAGES OF GOLANG AS A FOUNDATION FOR NEW PROGRAMMING LANGUAGES: Conference materials of the XXI international scientific and practical conference «MATHEMATICS AND SOFTWARE FOR INTELLIGENT SYSTEMS (MPZIS-2023)», Dnipro, November 22-24, 2023. P. 7–8.
6. Forkert P. P., Sydorova M. G. CHALLENGES OF USING GOLANG AS A FOUNDATION FOR NEW PROGRAMMING LANGUAGES: Conference materials of the VI All-Ukrainian scientific and practical internet-conference of young scholars and higher education applicants «Modern informational systems and technologies » on the topic: «Modern computer systems and networks in management », Khmelnytskyi, November 30, 2023. P. 55–56.
7. Forkert P. P., Sydorova M. G. Integrating full-featured enums into Go programming language. Current problems of automation and information technologies. 2023. V.27. P. 3-16. DOI: 10.15421/432301.
8. Forkert P. P., Sydorova M. G. IMPROVING ENUMS IN GO PROGRAMMING LANGUAGE DIALECT: Conference materials of the VI international scientific and practical conference of young scholars and students «SOFTWARE ENGINEERING AND ADVANCED INFORMATION TECHNOLOGIES (SOFT TECH-2024)», Kyiv, May 21-23, 2024. P. 148-150

9. Bierman G. M., Meijer E., Torgersen M. Lost in translation: formalizing proposed extensions to C#: Proceedings of the 22nd Annual ACM SIGPLAN Conference on Object-Oriented Programming, Systems, Languages, and Applications (OOPSLA'07), Montreal, 2007. P. 479–498. DOI: 10.1145/1297027.1297063.
10. Extensions | Documentation. URL: <https://docs.swift.org/swift-book/documentation/the-swift-programming-language/extensions#Extension-Syntax> (date of access: 10.01.2026).
11. Extensions | Kotlin Documentation. URL: <https://kotlinlang.org/docs/extensions.html> (date of access: 10.01.2026).
12. Defining Shared Behavior with Traits – The Rust Programming Language. URL: <https://doc.rust-lang.org/book/ch10-02-traits.html> (date of access: 10.01.2026).
13. Extension Methods. URL: <https://docs.scala-lang.org/scala3/reference/contextual/extension-methods.html> (date of access: 10.01.2026).
14. Křikava F., Miller H., Vitek J. Scala implicits are everywhere: a large-scale study of the use of Scala implicits in the wild: Proceedings of the ACM on Programming Languages. 2019. V. 3, OOPSLA. Article 163. DOI: 10.1145/3360589.
15. Bright W., Alexandrescu A., Parker M. Origins of the D programming language: Proceedings of the ACM on Programming Languages. 2020. V. 4, HOPL. Article 73. DOI: 10.1145/3386323.
16. Forkert P.P, Ivanchenko M.G. Uniform function call syntax in Go programming language dialect. Conference materials of the IV international scientific and practical conference «INFORMATION TECHNOLOGIES IN EDUCATION AND SCIENCE», Zaporizhzhia, May 20, 2025. P. 561-565
17. The Go Programming Language Specification. URL: <https://go.dev/ref/spec> (date of access: 10.01.2026).
18. Griesemer, Robert, et al. Featherweight Go: Proceedings of the ACM on Programming Languages 4. OOPSLA, 2020. C. 1–29. DOI: 10.1145/3428217.
19. Type Parameters Proposal. URL: <https://go.golang.org/proposal/+/refs/heads/master/design/43651-type-parameters.md#No-parameterized-methods> (date of access: 10.01.2026).

Received 11.03.2026

Accepted 13.03.2026

Published 31.03.2026

Реалізація методів розширення та узагальнених методів у діалекті мови програмування Go

У цій статті досліджується реалізація методів розширення в GoNext, діалекті мови програмування Go, який трансліюється у стандартний код Go. Go — це статично компільована мова з легким середовищем виконання, чудовою підтримкою паралельності, швидкою компіляцією та великою екосистемою, але вона також має відносно просту систему типів, яка не дозволяє визначати методи для типів поза пакетом, де вони оголошені. Методи розширення усувають це обмеження, дозволяючи розробникам додавати методи до існуючих типів, включаючи ті, що визначені в сторонніх бібліотеках або стандартній бібліотеці Go, без зміни їхнього вихідного коду. Автори

розглядають, як методи розширення реалізовані в інших поширених мовах програмування (C#, Swift, Kotlin, Rust, Scala) та порівнюють їх з відповідною концепцією уніфікованого синтаксису виклику функцій, а потім пропонують специфічний для GoNext підхід: функції розширення оголошуються за допомогою нового ключового слова розширення перед оголошенням звичайної функції та транспілюються у звичайні вільні функції шляхом простого видалення цього ключового слова, тоді як сайти викликів переписуються з синтаксису виклику методу (`value.Method(params)`) у явні виклики функцій (`package.Method(value, params)`) за допомогою алгоритму розв'язання, заснованого на правилах об'єднання типів Go. У статті також описано модифікатор розширення імпорту, який дозволяє розглядати всі функції в існуючому пакеті Go як методи розширення без додавання зайвих обгортки. Запропонований підхід демонструється на повному прикладі, що показує, як ланцюгові виклики методів розширення перетворюються на вкладені виклики функцій під час транспіляції. У статті демонструється, що цей підхід досягає нульових накладних витрат часу виконання, підтримує повну двосторонню сумісність зі стандартним Go та – як додаткову перевагу – забезпечує підтримку універсальних методів, функцію, навмисно виключену з Go через невирішені питання щодо реалізації існуючих інтерфейсів. Запропонований механізм використовує транспіляцію як практичну стратегію для розширення можливостей мови, одночасно повторно використовуючи її існуючу інфраструктуру компілятора та середовища виконання.

Форкерт Павло Павлович – аспірант кафедри інженерії програмного забезпечення та інформаційних технологій кафедри факультету прикладної математики та інформаційних технологій Дніпропетровського Національного Університету ім. Олеса Гончара.

ORCID: <https://orcid.org/0009-0005-7027-1273>

Іванченко Марина Геннадіївна – к.т.н., доцент кафедри інженерії програмного забезпечення та інформаційних технологій кафедри факультету прикладної математики та інформаційних технологій Дніпропетровського Національного Університету ім. Олеса Гончара.

ORCID: <https://orcid.org/0000-0001-7795-0459>

Forkert Pavlo Pavlovych – PHD student of the Department of Software Engineering and Information Technologies, Faculty of Applied Mathematics and Information Technologies, Oles Honchar Dnipro National University.

ORCID: <https://orcid.org/0009-0005-7027-1273>

Ivanchenko Maryna Genadiivna - candidate of engineering sciences, assistant professor of the Department of Software Engineering and Information Technologies, Faculty of Applied Mathematics and Information Technologies, Oles Honchar Dnipro National University.

ORCID: <https://orcid.org/0000-0001-7795-0459>

Т.А. Манько, О.В. Літот, В.В. Мурашко

ТЕОРЕТИЧНЕ ДОСЛІДЖЕННЯ СУЦІЛЬНОКОМПОЗИТНОГО БЕЗЛЕЙНЕРНОГО ТРУБОПРОВОДУ ІЗ ВУГЛЕПЛАСТИКУ ДЛЯ КРІОГЕННИХ КОМПОНЕНТІВ ПАЛИВА

Анотація. У статті представлено результати теоретичних досліджень конструкції суцільнокомпозитного безлейнерного трубопроводу із вуглепластику для криогенних компонентів палива. Побудовано геометричну та розрахункову моделі композиційної трубної конструкції з урахуванням її схеми армування. На основі чисельного моделювання напружено-деформованого стану в програмі Ansys визначено розподіл радіальних і осевих переміщень, а також напружень у напрямі волокон силової оболонки під дією внутрішнього тиску. Отримані результати свідчать про ортотропний характер деформування конструкції та суттєвий вплив орієнтації волокон на рівень напружень у матеріалі. Показано, що застосування шаруватих моделей дозволяє адекватно описати механічну поведінку вуглепластикової труби в умовах експлуатаційного навантаження. Результати дослідження можуть бути використані для уточнення інженерних методик розрахунку композиційних трубопроводів та обґрунтування конструктивних параметрів при проектуванні систем подавання криогенних компонентів палива.

Ключові слова: композиційні матеріали, композиційний трубопровід, вуглепластик, напружено-деформований стан; чисельне моделювання, армувальні волокна, внутрішній тиск, міцність конструкції.

Постановка задачі. Розвиток ракетно-космічної техніки (РКТ) зумовлює підвищення вимог до масогабаритних характеристик, надійності та довговічності елементів паливних систем, зокрема криогенних трубопроводів. Транспортування криогенних компонентів палива (зрідженого кисню, водню, метану) здійснюється в умовах наднизьких температур і внутрішнього надлишкового тиску, що створює складний комплекс термомеханічних навантажень. Традиційні металеві конструкції мають значну масу та обмеження щодо термостійкості й корозійної витривалості, що актуалізує пошук альтернативних матеріалів.

Перспективним напрямом є застосування суцільнокомпозитних безлейнерних трубопроводів на основі вуглепластиків, які поєднують високу питому міцність, жорсткість та корозійну стійкість. Водночас експлуатація таких конструкцій у криогенних умовах супроводжується специфічними явищами: ортотропією механічних властивостей, різницею коефіцієнтів термічного розширення складових, можливістю локаль-

ної концентрації напружень у зонах переходу до фланців та в місцях з'єднання з металевими елементами. Це зумовлює необхідність комплексного теоретичного дослідження їх напружено-деформованого стану з урахуванням температурного та механічного навантаження.

Отже, актуальною науково-технічною задачею є обґрунтування міцності та жорсткості суцільнокомпозитного безлейнерного трубопроводу для криогенних компонентів палива на основі чисельного моделювання його роботи в умовах експлуатації.

Аналіз останніх досліджень і публікацій. У наукових працях В. Арсеньєва та В. Козіна, присвячених теоретичним основам криогенної техніки та розрахунку циклів криогенних установок, обґрунтовано закономірності теплофізичних і термодинамічних процесів за наднизьких температур. Автори показують, що робота елементів криогенних систем супроводжується істотними змінами фізичних властивостей матеріалів, що зумовлює необхідність урахування температурних факторів при розрахунку трубопроводів і ємнісних конструкцій, призначених для транспортування зріджених газів [1].

Експериментальні дослідження композиційних матеріалів у криогенному середовищі (Т. Манько, О. Літот та В. Мурашко) засвідчують, що зниження температури до рівня зріджених газів супроводжується зростанням модуля пружності та зменшенням пластичних деформацій, що змінює характер напружено деформованого стану оболонкових конструкцій. Аналіз механічних і мікроструктурних характеристик композиційних трубопроводів після впливу внутрішнього тиску та циклічних температурних навантажень свідчить про формування локальних змін у міжшарових зонах, які можуть бути джерелом концентрації напружень і накопичення пошкоджень [5, 6, 8].

Задача проєктування композиційних ємностей і трубопроводів елементів для аерокосмічної техніки також розглядається у працях О. Шевцова та В. Шевцова, присвячених аналізу конструктивних рішень та шляхів підвищення їх надійності за умов складного навантаження [9]. У міжнародних дослідженнях значну увагу приділено аналітичному та чисельному моделюванню напружено деформованого стану багатошарових композиційних труб із різними кутами намотування волокон, що дозволяє встановити вплив схеми армування на розподіл осьових і кільцевих напружень при комбінованій дії внутрішнього тиску та температурних факторів [10].

Експериментальні дослідження властивостей труб, виготовлених методом намотування, показують, що механічна поведінка таких конструкцій істотно залежить від параметрів технологічного процесу та структурної організації шарів, що необхідно враховувати при побудові розрахункових моделей [11]. Узагальнюючі огляди сучасних методів моделювання композиційних конструкцій свідчать про доцільність застосування багатошарових ортотропних моделей для прогнозування їх напружено деформованого стану за складних умов навантаження [12].

Незважаючи на наявність значної кількості досліджень, питання комплексної оцінки напружено деформованого стану суцільнокомпозитних безлейнерних трубопроводів у реальних умовах експлуатації з урахуванням одночасного впливу механічних і температурних факторів залишається недостатньо висвітленим. Особливої уваги потре-

бує узгодження експериментальних даних із результатами чисельного моделювання та обґрунтування параметрів конструкції з позицій забезпечення заданого рівня міцності й надійності.

Метою дослідження є теоретичне обґрунтування міцності та жорсткості суцільнокомпозитного безлейнерного трубопроводу із вуглепластику для транспортування кріогенних компонентів палива шляхом моделювання його напружено-деформованого стану за умов дії внутрішнього надлишкового тиску та кріогенної температури.

Викладення основного матеріалу. Сучасні вимоги до виробів РКТ, таких як кріогенні трубопроводи, що працюють у складних умовах експлуатації і кріогенних середовищах, пов'язані з оцінкою напружено-деформованого стану конструкції [5].

Задача забезпечення надійності та довговічності композиційних трубних конструкцій залишається актуальною для сучасного машинобудування, авіаційної та енергетичної галузей [7]. Композити на основі вуглецевих волокон активно використовуються у виробництві високонавантажених елементів, однак їх поведінка за умов комплексного впливу внутрішнього тиску, змін температури та попередньої деформації досі вивчена недостатньо [4]. Моделювання напружено-деформованого стану конструкції дозволяє дослідити характер навантаження конструкції, визначити слабкі зони та місця концентрації напружень, а можливість експериментального підтвердження на дослідних зразках дає змогу оцінити правильність прийнятих допущень та долю реалізації матеріалу та технології в реальній конструкції [3, 8].

Для теоретичних досліджень напружено-деформованого стану силової оболонки досліджували трубопровід діаметром 183 мм з композиційними фланцями. На рисунку 1 подано його загальний вигляд, що дозволяє наочно відобразити геометричні параметри конструкції та її основні конструктивні елементи. Наведена схема ілюструє зону з'єднання композиційної оболонки з фланцевими елементами, яка є потенційно критичною з точки зору напружено-деформованого стану та потребує окремого аналізу в процесі моделювання.



Рисунок 1 - Загальний вигляд трубопроводу з композиційними фланцями

При моделюванні механічних навантажень, які діють на силову оболонку трубопроводу, розглядали навантаження максимальним експлуатаційним внутрішнім надлишковим тиском 1,95 МПа (коефіцієнт безпеки 2). При цьому, враховували, як технологічні обмеження, так і параметри устаткування для випробувань. Аналіз напружено-деформованого стану проводили для двох розрахункових випадків. Кути нахилу для шарів визначалися у відповідності до технологічності процесу виготовлення. Побудову геометричної моделі та внесення фізико-механічних властивостей виконували з урахуванням особливостей формування подвійного спірального шару, обумовленого технологією намотування [5]. Дослідження виконували за умов експлуатації при нормальній температурі (розрахунковий випадок 1) та в криогенному середовищі (температура $T=-196^{\circ}\text{C}$, розрахунковий випадок 2).

На рисунку 2 представлено схему армування силової оболонки трубчастої конструкції, яка відображає орієнтацію волокон у спіральних шарах центральної частини трубопроводу, сформованих у процесі намотування. Наведена схема дає змогу оцінити вплив напрямку армування на розподіл напружень у матеріалі та врахувати ортотропні властивості вуглепластику при чисельному моделюванні напружено-деформованого стану.

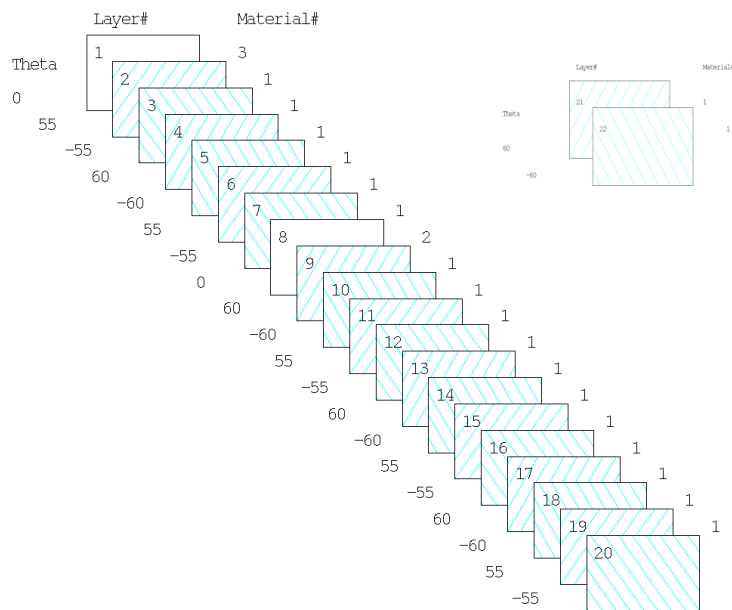


Рисунок 2 - Схема армування силової оболонки трубчастої конструкції

На рисунку 3 подано геометричну модель композиційної труби у тривимірній постановці, яка використовується як розрахункова схема для подальшого чисельного аналізу. Представлення конструкції у вигляді просторової моделі дозволяє врахувати реальні геометричні співвідношення між елементами оболонки та фланців, а також забезпечує коректне задання граничних умов і навантажень.

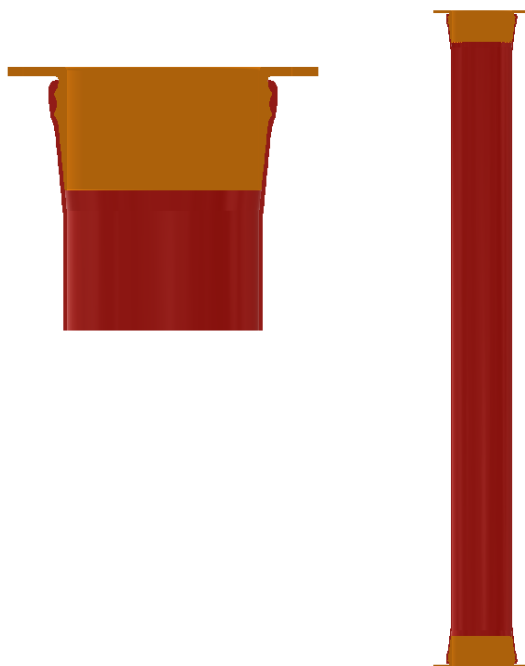


Рисунок 3 - Композиційна труба. Геометрична модель у 3D-постановці

На рисунках 4-5 наведено результати розрахунку радіальних та осьових переміщень композиційної труби під дією внутрішнього тиску. Графічне відображення полів переміщень дає змогу встановити характер деформації конструкції та визначити ділянки з максимальними значеннями переміщень, що має суттєве значення для оцінки експлуатаційної придатності трубопроводу.

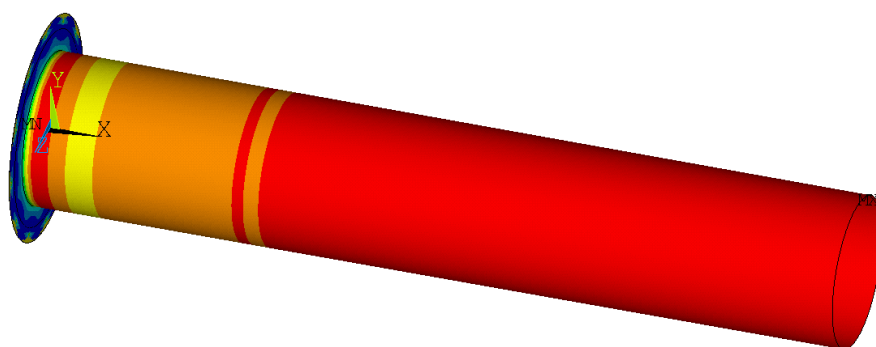


Рисунок 4 - Композиційна труба. Радіальні переміщення

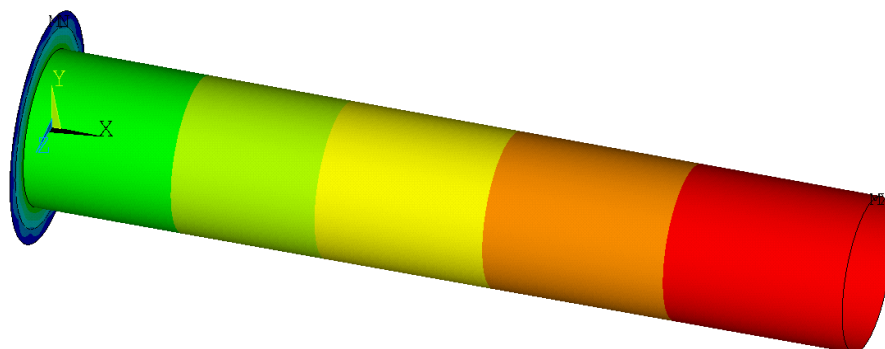


Рисунок 5 - Композиційна труба. Осьові переміщення

На рисунках 6-9 показано розподіл напружень у напрямі волокон у спіральних шарах силової оболонки. Отримані поля напружень відображають нерівномірність їх розподілу по довжині та товщині оболонки, що зумовлено геометрією конструкції та особливостями схеми армування. Це дозволяє ідентифікувати зони концентрації напружень, які є визначальними для оцінки міцності трубчастої конструкції.

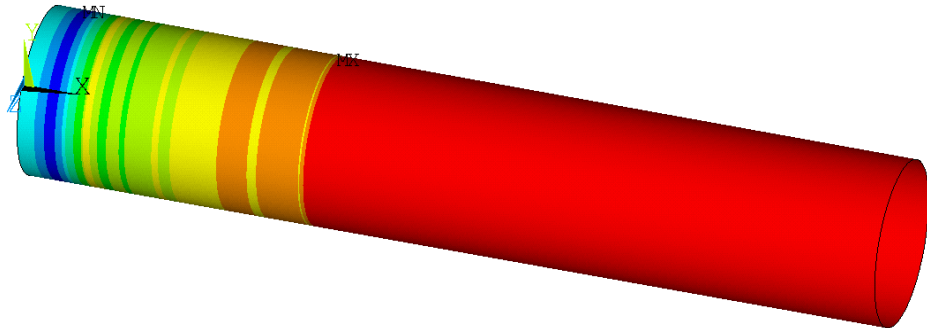


Рисунок 6 - Силовая оболонка. Напряга вздовж волокон

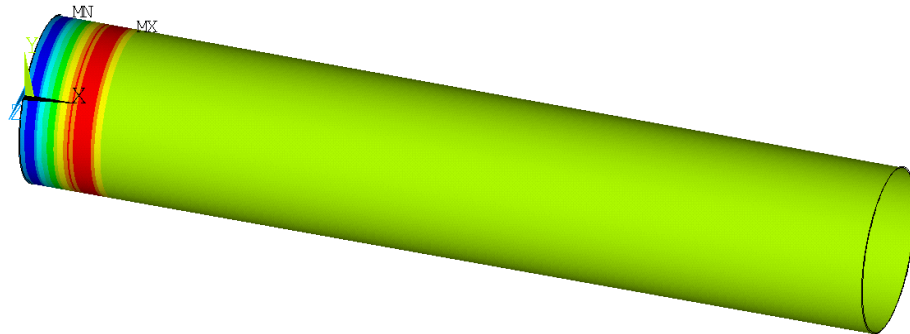


Рисунок 7 - Силовая оболонка композиційної труби (спіральний шар 14).
Напряги в напрямку волокна

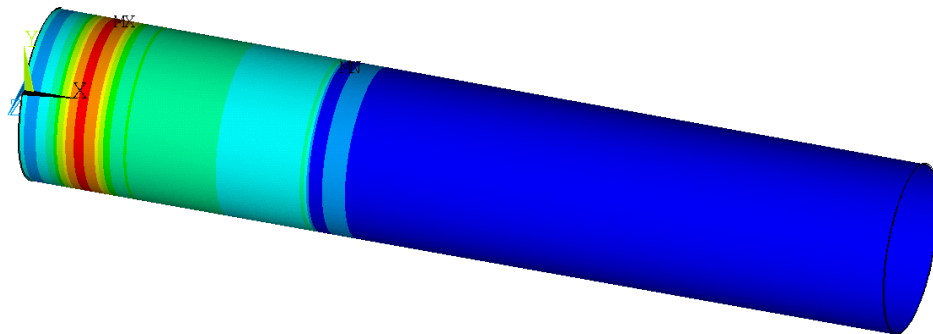


Рисунок 8 - Силовая оболонка композиційної труби (спіральний шар 2).
Напряги в напрямку волокна

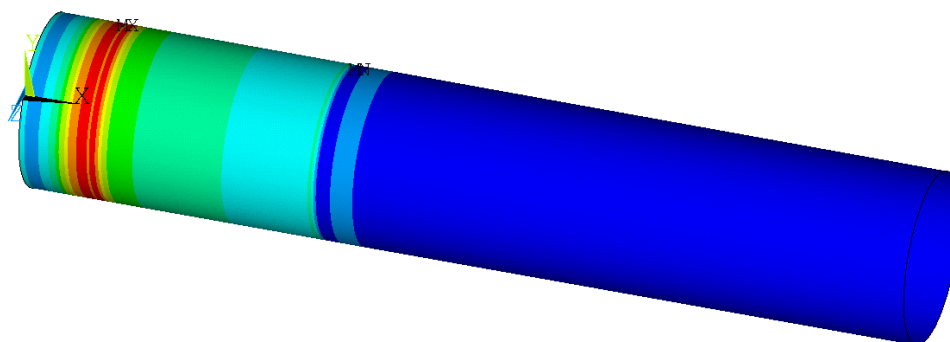


Рисунок 9 - Силова оболонка композиційної труби (спіральний шар 2).
Відносні деформації у напрямку волокна

У таблиці 1 наведено узагальнені числові результати розрахунку напружено-деформованого стану композиційної трубчастої конструкції для двох розрахункових випадків, що відповідають нормальній температурі експлуатації та криогенним умовам.

Таблиця 1

Результати оцінки міцності трубчастої конструкції

Параметр	Розрахунковий випадок	
	1	2
Переміщення експлуатаційні, мм		
радіальні	0,0051	0,0034
осьові	0,188	0,13
Відносні деформації експлуатаційні, %		
осьові	0,0963	0,0642
кільцеві	0,0698	0,0465
Гранична деформація на розрив, %	0,8	
Мінімальний запас міцності по деформаціях, η_ϵ	3,54	5,31
Напруги експлуатаційні, МПа		
радіальні	0,027	0,018
осьові	64,5	43
кільцеві	128	85,3
максимальні головні	134	89,3
Межа міцності на розрив у прошарку уздовж намотування, МПа	2500	
Мінімальний запас міцності по напругах уздовж намотування, η_σ	8,93	13,4

Дані таблиці свідчать, що при зниженні температури спостерігається зменшення переміщень і відносних деформацій, що обумовлено підвищенням жорсткості вуглепластикового матеріалу [6]. Мінімальний запас міцності за деформаціями становить $\eta_\epsilon = 3,54$ для першого розрахункового випадку та $\eta_\epsilon = 5,31$ для другого, що підтверджує достатню деформаційну працездатність конструкції. За напруженнями уздовж напрямку армування мінімальний запас міцності становить $\eta_\sigma = 8,93$ при нормальній

температурі та $\eta\sigma = 13,4$ у криогенних умовах, що свідчить про істотний вплив температурного чинника на рівень напруженого стану.

У таблиці 2 наведено розрахункові значення максимальних напружень у зоні композиційного фланця при стисненні та розтягу.

Таблиця 2

Параметр	Значення
Напруги експлуатаційні, МПа	
Розрахункові при стисненні	222,4
Розрахункові при розтягу	76,75

Отримані значення становлять відповідно 222,4 МПа для напружень стиснення та 76,75 МПа для напружень розтягу. Зіставлення цих величин із межею міцності матеріалу вздовж напрямку намотування, що дорівнює 2500 МПа, дозволяє визначити відповідні коефіцієнти запасу міцності. Для напружень стиснення запас міцності становить приблизно 11,2, тоді як для напружень розтягу він перевищує 32. Це свідчить про те, що зона композиційного фланця має значний резерв міцності за умов дії внутрішнього тиску і не є лімітуючим елементом конструкції за критерієм міцності.

Результати чисельного моделювання свідчать про складний характер напружено деформованого стану композиційної трубчастої конструкції під дією внутрішнього тиску. Поля переміщень і напружень, представлені на відповідних рисунках вище, демонструють нерівномірний розподіл деформацій по довжині та товщині оболонки, що зумовлено особливостями геометрії конструкції та схемою армування. Зокрема, максимальні значення радіальних і осьових переміщень зосереджуються у зонах переходу між окремими конструктивними елементами, що підтверджує необхідність урахування локальних ефектів при проектуванні подібних виробів.

Розподіл напружень у напрямі волокон у спіральних шарах силової оболонки відображає ортотропний характер роботи матеріалу, притаманний композиційним системам. Це вказує на визначальну роль орієнтації волокон у формуванні напруженого стану конструкції та підтверджує доцільність використання шаруватих розрахункових моделей для адекватного опису механічної поведінки композиційних труб. Таким чином, візуалізація результатів моделювання дозволяє не лише кількісно оцінити напруження і переміщення, а й якісно проаналізувати особливості роботи конструкції в умовах експлуатаційного навантаження.

Висновок. У роботі проведено чисельне моделювання напружено-деформованого стану композиційної трубчастої конструкції із урахуванням її геометричних параметрів та структури армування. Побудована розрахункова модель дозволила відтворити просторові розподіли переміщень і напружень у матеріалі шаруватої оболонки під дією внутрішнього тиску 1,95 МПа за нормальної та за криогенної температури.

На підставі проведеного візуально-графічного аналізу вдалося встановити характерні зони концентрації напружень. Аналіз полів напружень показав, що їх максима-

льні значення концентруються в зоні переходу робочої частини оболонки у фланці. Максимальні головні та відносні кільцеві напруги, натомість, зосереджені в регулярній зоні в центральній частині моделі

Отримані результати підтвердили, що за розрахункового значення внутрішнього тиску при кімнатній та при криогенній температурі, напруження у матеріалі не перевищують граничних значень міцності, тобто умови міцності конструкції не порушуються.

Практичне значення роботи полягає у можливості використання отриманих результатів для уточнення інженерних розрахунків композиційних трубчастих елементів, а також для оптимізації параметрів армування з метою підвищення їх міцності та жорсткості. Запропонований підхід може бути застосований у подальших дослідженнях, спрямованих на аналіз впливу температурних факторів, змін навантаження та конструктивних особливостей на роботу композиційних трубопроводів.

ЛІТЕРАТУРА

1. Арсеньєв В. М., Козін В. М. Криогенна техніка: основи теорії і розрахунку циклів криогенних установок: навч. посіб.– Суми: Сумський державний університет, 2021. 272с. URL: <https://essuir.sumdu.edu.ua/items/07864450-31aa-4a18-a5de-ea718af5778f>
2. Бельмас І., Білоус О., Танцура Г. Визначення напружено-деформованого стану багатопшарового композиту. *Міцність матеріалів та теорія конструкцій*. 2022. № 109. С. 426–440. URL: <https://doi.org/10.32347/2410-2547.2022.109.426-440>
3. Довгополов А. Ю., Некрасов С. С., Жигилій Д. О. Моделювання напружено-деформованого стану роз'ємного з'єднання в деталях з армованих композиційних матеріалів методом СЕА. *Вісник Національного технічного університету ХПИ. Серія: Нові рішення в сучасних технологіях*. 2019. № 5(1330). С. 10–16. URL: <https://doi.org/10.20998/2413-4295.2019.05.02>
4. Кобищан Г. Д., Басова Ю. О. Сучасні композитні матеріали на основі вуглецевих волокон: види, властивості, застосування. *Природно-ресурсний та енергетичний потенціали: напрями збереження, відновлення та раціонального використання : колективна монографія*. 2019. С. 163-172. http://dspace.puet.edu.ua/bitstream/123456789/8615/1/%d0%9c%d0%be%d0%bd%d0%be%d0%b3%d1%80%d0%b0%d1%84%d1%96%d1%8f_%20%d0%9f%d0%94%d0%9f%d0%90_2019_%d0%9a%d0%be%d0%b1%d0%b8%d1%89%d0%b0%d0%bd_%d0%91%d0%b0%d1%81%d0%be%d0%b2%d0%b0.pdf
5. Манько Т., Літот О., Мурашко В. Аналіз механічних та мікроструктурних характеристик композиційних трубопроводів після впливу тиску та криогенних температур. *Вісник КрНУ імені Михайла Остроградського. Галузеве Машинобудування*. 2025. № 5(154). С. 214–221. URL: <https://doi.org/10.32782/1995-0519.2025.5.25>
6. Манько Т., Мурашко В. Дослідження характеристик композиційних матеріалів в криогенному середовищі. *XIX Міжнародна конференція «Стратегія якості в промисловості і освіті» 02–05 червня 2025 р., Варна, Болгарія*. С. 69–75. URL: <https://crust.ust.edu.ua/items/7dc5a42a-c873-4f04-91e8-1a451e6db03b>
7. Манько Т., Мурашко В. Композиційні трубопроводи в сучасному ракетобудуванні. *Journal of Rocket-Space Technology*. 2025. Т. 34, № 2. С. 95–102.

URL: <https://doi.org/10.15421/452518>

8. Манько Т., Мурашко В. Спосіб оцінки відповідності структури композиційної конструкції проектним характеристикам. *IX Міжнародна науково-практична конференція «Сучасні технології промислового комплексу – 2025»* 17 вересня 2025р, Херсон-Хмельницький. С. 167–169.

URL: <https://dspace.vnmu.edu.ua/xmlui/bitstream/handle/123456789/10780/%D0%9B%D0%B5%D0%BF%D0%B5%D1%82%D0%B0%D0%BD%20%D0%86.%D0%9C?sequence=1&isAllowed=y>

9. Шевцов О. В., Шевцов В. Ю. Проблемні питання та шляхи їх вирішення при проектуванні композиційних паливних баків. *Проектування системи та аналіз характеристик аерокосмічної техніки*. 2021. Т. 28, № 1. С. 56–64.

URL: <https://doi.org/10.15421/472106>

10. Geng P., Xing J., Wang Q. Analytical model for stress and deformation of multiple-winding-angle filament-wound composite pipes/vessels under multiple combined loads. *Applied Mathematical Modeling*. 2021. Vol. 94. P. 576–596.

URL: <https://doi.org/10.1016/j.apm.2021.01.034>

11. Material characterization of filament-wound composite pipes / W. Toh et al. *Composite Structures*. 2018. Vol. 206. P. 474–483.

URL: <https://doi.org/10.1016/j.compstruct.2018.08.049>

12. Yu W. A Review of Modeling of Composite Structures. *Materials (Basel)*. 2024. Vol. 17, no. 2. P. 446. URL: <https://doi.org/10.3390/ma17020446>

REFERENCES

1. Arseniev, V. M., & Kozin, V. M. (2021). Kriohenna tekhnika: osnovy teorii i rozrakhunok tsykliv kriohennykh ustanovok [Cryogenic engineering: Fundamentals of theory and calculation of cryogenic plant cycles]. *Sums'kyi derzhavnyi universytet*. P. 272

<https://essuir.sumdu.edu.ua/items/07864450-31aa-4a18-a5de-ea718af5778f>

2. Belmas, I., Bilous, O., & Tantsura, H. (2022). Vyznachennya napruzhenno-deformovanoho stanu bahatosharovoho kompozytu [Determination of the stress-deformed state of a multilayer composite]. *Mitsnist' materialiv ta teoriya konstruksiy*, (109), P. 426–440.

<https://doi.org/10.32347/2410-2547.2022.109.426-440> [in Ukrainian].

3. Dovgopолоv, A., Nekrasov, S., & Zhyhylii, D. (2019). Modelyuvannya napruzhenno-deformovanoho stanu roz'yemnoho z'yednannya v detalyakh z armovanykh kompozytsiynykh materialiv metodom SEA [Strain-stress states simulation of detachable joint for reinforced composites by FEM]. *Visnyk Natsional'noho tekhnichnoho universytetu KHPI. Seriya: Novi rishennya v suchasnykh tekhnolohiyakh*, (5(1330)), P. 10–16. <https://doi.org/10.20998/2413-4295.2019.05.02> [in Ukrainian].

4. Kobyschchan, G. D., & Basova, Yu. O. Suchasni kompozytsiyni materialy na osnovi vuhletsevykh volokon: vydy, vlastyvoli, zastosuvannya [Modern composite materials based on carbon fibers: types, properties, applications]. *Pryrodno-resursnyy ta enerhetychnyy potentsial: napryamy zberezheniya, vidnovlennya ta ratsional'noho vykorystannya : kolektyvna monohrafiya*. 2019. P. 163-172.

http://dspace.puet.edu.ua/bitstream/123456789/8615/1/%d0%9c%d0%be%d0%bd%d0%be%d0%b3%d1%80%d0%b0%d1%84%d1%96%d1%8f_%

20% d0%9f% d0%94% d0%9f% d0%90_2019_% d0%9a% d0%be% d0%b1% d0%b8% d1%89% d0%b0% d0%bd_% d0%91% d0%b0% d1%81% d0%be% d0%b2% d0%b0.pdf [in Ukrainian].

5. Manko, T., Litot, O., & Murashko, V. (2025). Analiz mekhanichnykh ta mikrostrukturnykh kharakterystyk kompozytsiinykh truboprovodiv pislia vplyvu tysku ta kriogennykh temperatur [Analysis of mechanical and microstructural characteristics of composite pipelines after exposure to pressure and cryogenic temperatures]. *Visnyk Kremenchutskoho Natsionalnoho Universytetu imeni Mykhaila Ostrohradskoho. Haluzove Mashynobuduvannia*, 5(154), P. 214–221. <https://doi.org/10.32782/1995-0519.2025.5.25> [in Ukrainian].

6. Manko, T., & Murashko, V. (2025). Doslidzhennia kharakterystyk kompozytsiinykh materialiv v kriogenному seredovyshchi [Investigation of composite material properties in a cryogenic environment]. *XIX Mizhnarodna konferentsiya «Stratehiya yakosti v promyslovosti ta osviti»*. P. 69–75 <https://crust.ust.edu.ua/items/7dc5a42a-c873-4f04-91e8-1a451e6db03b> [in Ukrainian].

7. Manko, T., & Murashko, V. (2025). Kompozytsiyni truboprovody v suchasnomu raketobuduvanni [Composite pipes in modern rocket building]. *Journal of Rocket-Space Technology*, 34(2), P. 95–102. <https://doi.org/10.15421/452518> [in Ukrainian].

8. Manko, T., & Murashko, V. (2025). Sposib otsinky vidpovidnosti struktury kompozytsiinoi konstruktsii proektnym kharakterystykam [Method for assessing the conformity of a composite structure to design characteristics]. *IX Mizhnarodna naukovo-praktychna konferentsiya «Suchasni tekhnolohiyi promyslovoho kompleksu – 2025» 17 veresnya 2025r, Kher-son-Khmel'nyts'kyi*. P. 167–169.

https://dspace.vnmu.edu.ua/xmlui/bitstream/handle/123456789/10780/Lepetan_I.M?sequence=1 [in Ukrainian].

9. Shevtsov, O. V., & Shevtsov, V. Yu. (2021). Problemni pytannia ta shliakhy yikh vyrishennia pry proiektuvanni kompozytsiinykh palyvnykh bakiv [Problematic issues and ways to solve them in the design of composite fuel tanks]. *Systemy proektuvannya ta analiz kharakterystyk aerokosmichnoyi tekhniki*, 28(1), P. 56–64. <https://doi.org/10.15421/472106> [in Ukrainian].

10. Geng, P., Xing, J., & Wang, Q. (2021). Analytical model for stress and deformation of multiple-winding-angle filament-wound composite pipes and vessels under multiple combined loads. *Applied Mathematical Modeling*, 94, P. 576–596.

<https://doi.org/10.1016/j.apm.2021.01.034> [in English].

11. Toh, W., et al. (2018). Material characterization of filament-wound composite pipes. *Composite Structures*, 206, P. 474–483. <https://doi.org/10.1016/j.compstruct.2018.08.049> [in English].

12. Yu, W. (2024). A review of modeling of composite structures. *Materials (Basel)*, 17(2), P. 446. <https://doi.org/10.3390/ma17020446> [in English].

Received 13.03.2026

Accepted 16.03.2026

Published 31.03.2026

***Theoretical study of a solid composite linerless carbon plastic pipeline
for cryogenic fuel components***

The article presents the results of a theoretical investigation of a fully composite linerless carbon fiber reinforced polymer pipeline intended for transportation of cryogenic fuel components. A geometric and computational model of the tubular structure was developed with consideration of its structural configuration, material orthotropy, and reinforcement scheme based on filament winding technology. The stress strain state of the pipeline was analyzed using numerical simulation implemented in the Ansys software environment. The distributions of radial and axial displacements, as well as normal and shear stresses in the principal material directions, were obtained under the action of internal pressure corresponding to operating conditions.

The article presents the results of theoretical studies of the design of a fully composite linerless carbon fiber pipeline for cryogenic fuel components. A geometric and computational model of the composite pipe structure was built, taking into account its reinforcement scheme. Based on numerical modeling of the stress-strain state in the Ansys program, the distribution of radial and axial displacements, as well as stresses in the direction of the fibers of the power shell under the action of internal pressure, was determined. The results obtained indicate the orthotropic nature of the deformation of the structure and the significant influence of the fiber orientation on the level of stresses in the material. It is shown that the use of layered models allows us to adequately describe the mechanical behavior of the carbon fiber pipe under operational load conditions. The results of the study can be used to refine engineering methods for calculating composite pipelines and justify design parameters when designing cryogenic fuel supply systems.

The simulation results demonstrate a pronounced orthotropic deformation behavior of the composite structure caused by the directional properties of the reinforcing fibers. A significant influence of the fiber orientation and stacking sequence on the magnitude and localization of stresses within the pipe wall was identified. It was established that certain reinforcement angles lead to an increase in circumferential stresses, while others contribute to a more uniform stress distribution, which is essential for improving structural integrity under combined mechanical and thermal loading.

The study confirms that layered composite models provide an adequate representation of the mechanical response of carbon fiber pipelines subjected to operational loads and can be effectively applied for predicting critical stress zones. The obtained results contribute to a deeper understanding of the deformation mechanisms of linerless composite pipelines operating at low temperatures and under internal pressure. The proposed modeling approach can be used to refine engineering calculation methods and to substantiate rational design parameters when developing cryogenic fuel supply systems for aerospace and energy applications.

Keywords: composite materials; composite pipeline; carbon fiber; stress-strain state; numerical modeling; fiber reinforcement; internal pressure; structural strength.

Манько Тамара Антонівна - професор, доктор технічних наук, професор кафедри ракетно-космічних та інноваційних технологій Дніпровського національного університету імені Олеся Гончара.

ORCID: <https://orcid.org/0000-0003-4146-607X>

Літот Олександр Володимирович - доктор філософії, Дніпровський національний університет імені Олеся Гончара.

ORCID: <https://orcid.org/0000-0003-4449-7349>

Мурашко Валентин Васильович - аспірант кафедри ракетно-космічних та інноваційних технологій Дніпровського національного університету імені Олеся Гончара.

ORCID: <https://orcid.org/0009-0000-6205-5793>

Manko Tamara Antonivna - Professor, Doctor of Technical Sciences, Professor of the Department of Rocket and Space and Innovative Technologies at Oles Honchar Dnipro National University.

ORCID: <https://orcid.org/0000-0003-4146-607X>

Litot Oleksandr Volodymyrovych - PhD (Rocket science), Oles Honchar Dnipro National University.

ORCID: <https://orcid.org/0000-0003-4449-7349>

Murashko Valentyn Vasylovych - PhD student, Department of Rocket-Space and Innovative Technologies at Oles Honchar Dnipro National University.

ORCID: <https://orcid.org/0009-0000-6205-5793>

К.Ю. Островська, А.К. Левашкевич

ІНТЕЛЕКТУАЛЬНА СИСТЕМА ДЛЯ ВИЗНАЧЕННЯ ШКІДНИКІВ РОСЛИН НА ОСНОВІ НЕЙРОМЕРЕЖЕВИХ ТЕХНОЛОГІЙ

Анотація. Актуальною є задача розробки нейромережових моделей, що забезпечують високу точність детектування шкідників рослин за мінімальних обчислювальних та часових витрат. Вирішення цього завдання сприятиме розвитку цифрових технологій в аграрній галузі та надаватиме можливість для оперативного та точного виявлення загроз сільськогосподарським культурам, зокрема, визначення шкідників рослин. Метою роботи є розробка інтелектуальної системи для визначення шкідників рослин на основі нейромережових технологій. У ході дослідження було реалізовано та проаналізовано модель детектування об'єктів на основі архітектури YOLOv5s.

Для навчання та валідації моделі був використаний набір даних, сформований на основі відкритих датасетів, розміщених на платформі Roboflow. Підсумковий датасет включає 3766 анотованих зображень, кожне з яких містить не менше одного об'єкта, що відноситься до одного з 18 наперед визначених класів. Для підвищення узагальнюючої здатності моделі та розширення різноманітності навчального датасета на етапі передобробки використовувалася бібліотека аугментацій Albumentations. Навчання проводилося з використанням оптимізатора стохастичного градієнтного спуску. Для управління швидкістю навчання застосовувався косинусний планувальник. В роботі реалізовано взаємодію користувача з серверною частиною з інтерфейсом у вигляді чат-бота. Розроблена інтелектуальна система забезпечує два повноцінні режими роботи: режим інференсу нейромережі (predict) та режим збору даних (collect). Перемикання між режимами здійснюється як через команди, так і автоматично – на основі наявності моделі у файлової системі серверної частини веб-застосунку. За результатами тестування підтверджено стабільну роботу серверної частини та демонструє повну відповідність заявленим функціональним вимогам.

Ключові слова: детектування, трекінг, інтелектуальна система, нейронна мережа YOLOv5s, аугментація, датасет, мова Python.

Вступ. Процес визначення шкідників рослин є складним завданням, що вимагає значних витрат тимчасових, фізичних, а також інтелектуальних ресурсів. Основними ознаками, що використовуються при визначенні, наприклад, шкідників рослин, є колір, форма, текстура та розмір. У зв'язку з цим особливий інтерес представляє застосування рішень на основі комп'ютерного зору і, зокрема, згорткових нейронних мереж, що демонструють високу ефективність у завданнях аналізу зображень. Обробка великого

обсягу візуальних даних дозволяє здійснювати ефективний моніторинг посівних площ, проводити аграрний аналіз, формувати прогнози та приймати обґрунтовані рішення.

Актуальною є задача розробки нейромережевих моделей, що забезпечують високу точність детектування шкідників рослин за мінімальних обчислювальних та часових витрат. Вирішення цього завдання сприятиме розвитку цифрових технологій в аграрній галузі та надаватиме можливість для оперативного та точного виявлення загроз сільськогосподарським культурам, зокрема, визначення шкідників рослин.

Метою роботи є розробка інтелектуальної системи для визначення шкідників рослин на основі нейромережевих технологій та дослідження його працездатності.

Аналіз існуючих досліджень. У дослідженні «Comparative Study of Convolutional Neural Networks for Plant Pests Detection» проводилося порівняння та оцінювання продуктивності кількох моделей CNN для детектування шкідників рослин на основі зображень листя рослин. Моделі, такі як ResNet50, MobileNetV2 та EfficientNet-B7, навчаються на наборі даних зображень з різними видами шкідників рослин. Автори проводять порівняння по точності, повноті та швидкості навчання і роблять висновок, що EfficientNet-B7 має найкращу продуктивність по всіх параметрів [1].

У дослідженні «Performance Evaluation of Different Convolutional Neural Networks for Pest Detection in Agricultural Crops» проводилося порівняння різних архітектур CNN для детектування шкідників сільськогосподарських культур. Вони розглядають архітектури, такі як VGG16, ResNet50 і DenseNet121, та проводять експерименти для порівняння їхньої продуктивності [2].

В інших дослідженнях, таких як «Comparative Study of Plant Pest Detection using YOLOv5» [3] і «Comparison of CNN Architectures for Plant Pest Detection» [4], проводилися порівняння state-of-the-art детекторів на базі CNN, такі як YOLOv5 і Mask-RCNN з метою метрик. Також було проведено аналіз швидкості виконання кожної моделі.

Дослідники сходяться на думці, що глибоке навчання в аграрній сфері обмежене, оскільки є потреба у великих розмічених датасетах, високі обчислювальні витрати та проблеми перенесення моделей між різними умовами навколишнього середовища. Автори наголошують, що глибоке навчання вже показує високу точність в аграрних завданнях, і прогнозують його широке розповсюдження в агротехнологіях у майбутньому.

Таким чином, згорткові нейронні мережі є ефективним інструментом для автоматичного розпізнавання різних видів шкідників, проте для досягнення високої точності та надійності роботи моделі необхідна наявність великого, різноманітного та якісно розміченого набору даних.

Трекінг дозволяє відстежувати переміщення об'єкта в рамках відеопотоку в реальному часі або з певною періодичністю, що широко використовується в різних рішеннях. Результат роботи трекера може містити, наприклад, координати положення об'єкта, швидкість руху, час шляху та ідентифікатор (рисунок 1).

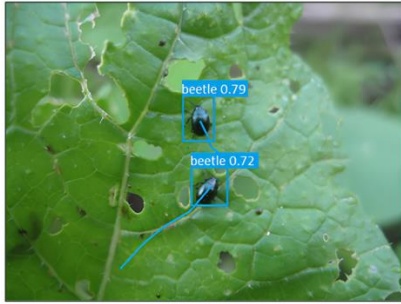


Рисунок 1- Приклад результату роботи трекера

Коли об'єкти знаходяться близько один до одного, метод трекінгу стикається з конфліктами ідентифікації при їх перекритті, зіткненні, різкій зміні напрямку - виникає плутанина, коли об'єкти "змінюються місцями", тобто отримують ідентифікатори, що їм не належать, що значно знижує точність та ефективність методу.

Дослідник С. Тюрк запропонував [5] алгоритм трекінгу та класифікації шкідників рослин в реальному часі з використанням камер з фіксованим оглядом, що базується на детекторі YOLO. Алгоритм здатний автоматично відстежувати позиції та види різних шкідників сільськогосподарських рослин на відеопотоці. Використання детектора YOLO дозволяє отримати високу швидкість обробки без шкоди для точності детектування.

Ч. Канг та співавтори [6] розробили алгоритм множинного трекінгу шкідників рослин. Був використаний детектор Mask-RCNN для детектування та наступного трекінгу. Алгоритм може бути використаний у системах моніторингу поширення шкідливих комах та застосування заходів щодо контролю обстановки.

Ю. Рамеш та співавтори [7] представили метод детектування та трекінгу шкідників рослин у реальному часі з використанням SSD (Single Shot Detector). Цей метод дозволяє з прийнятною точністю виявляти різні види комах та відстежувати їх у відеопотоці. Результати показують високу точність та ефективність цього підходу порівняно з іншими методами детектування, що дозволило збільшити ефективність застосування пестицидів та зменшити втрати врожаю.

Застосування трекінгу на відеопотоці дозволяє отримати дані, при дослідженні яких можна не тільки проводити моніторинг, а й виявити закономірності в поведінці шкідників рослин, на основі яких можлива розробка ефективних стратегій проти їх негативного впливу на сільськогосподарські угіддя.

Проектування рішення задічі визначення шкідників рослин. Структура нейронної мережі. У роботі використана версія нейронної мережі YOLOv5s [8]. YOLOv5 - це потужна та популярна модель глибокого навчання для виявлення об'єктів у реальному часі. Вона використовується для ідентифікації об'єктів на зображеннях, їх класифікації та точного визначення їх розташування за допомогою рамок (bounding boxes). YOLOv5 цінується за свою швидкість, точність та простоту використання.

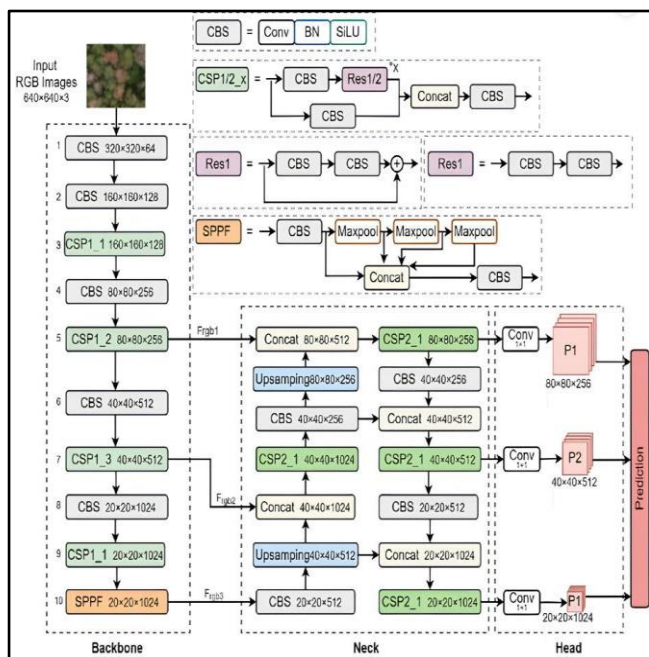


Рисунок 2 - Топологія нейронної мережі YOLOV5s

Для навчання та валідації моделі був використаний набір даних, сформований на основі відкритих датасетів, розміщених на платформі Roboflow [9]. Усі дані доступні за ліцензією Public Domain (суспільне надбання), що забезпечує вільне використання у рамках дослідницьких та прикладних завдань.

Підсумковий датасет включає 3766 анотованих зображень, кожне з яких містить не менше одного об'єкта, що відноситься до одного з 18 наперед визначених класів. Структура набору даних відповідає формату COCO, що є широко поширеним стандартом подання анотованих даних у завданнях комп'ютерного зору.

Для підвищення узагальнюючої здатності моделі та розширення різноманітності навчального датасета на етапі передобробки використовувалася бібліотека аугментацій Albumentations [10], що реалізує набір ймовірнісних та параметризованих перетворень зображень.

Основні параметри, застосовані у процесі генерації аугментованих даних:

- 1) значення відтінку зображення варіювалися в межах $\pm 1.5\%$ від вихідного значення, імітуючи різноманітність умов освітлення;
- 2) насиченість зображення змінювалася в межах $\pm 70\%$, дозволяючи моделі адаптуватися до різної колірної інтенсивності вхідних зображень;
- 3) яскравість зображення варіювалася в межах $\pm 40\%$, підвищуючи стійкість моделі до різних рівнів освітлення;
- 4) зображення піддавалися зсуву по горизонталі та вертикалі до $\pm 10\%$ від розмірів зображення, сприяючи стійкості до невеликих позиційних зсувів об'єктів;
- 5) зображення масштабувалися в діапазоні від $\pm 50\%$ від вихідного розміру, дозволяючи імітувати об'єкти різного розміру та відстані до камери.

Варіант моделі YOLOv5s включає 7,2 мільйона навчальних параметрів і складається з 122 шарів.

Топологія нейронної мережі YOLOV5s представлена на рисунку і включає три основні компоненти: Backbone, Neck та Head [8].

Цей вибір обумовлений низкою факторів:

- 1) збалансоване співвідношення між точністю, швидкістю та розміром моделі;
- 2) одна з найбільш компактних версій у сімействі YOLOv5;
- 3) висока стійкість і точність моделі, що підтверджується її широким використанням.



Рисунок 4 - Приклад мозаїчної аугментації зображень

Таким чином, застосований набір аугментацій спрямований на імітацію широкого діапазону умов зйомки та візуального розмаїття, забезпечуючи при цьому розумний баланс між реалістичністю та варіативністю даних.

Навчання проводилося з використанням оптимізатора стохастичного градієнтного спуску (SGD) – одного з найбільш стійких та інтерпретованих методів оптимізації, що забезпечує хорошу збіжність за наявності шуму та варіативності даних.

Для управління швидкістю навчання застосовувався косинусний планувальник (cosine-decay scheduler), що плавно знижує коефіцієнт швидкості навчання (learning rate) протягом процесу навчання, сприяючи більш м'якій та стабільній адаптації ваги моделі на пізніх етапах.

Модель навчалася протягом 35 епох при розмірі батча, що дорівнює 8 зображенням, кожне з яких було масштабовано до розміру 640 на 640 пікселів для забезпечення балансу між якістю градієнтних оновлень та доступним об'ємом відеопам'яті.

На рисунках 5 – 6 представлені агреговані значення метрик якості класифікатора Precision та Recall, на рисунку 7 представлені агреговані значення метрики якості детектора mAP.

На основі сукупності наведених графіків, було обрано модель, отриману після завершення 33 епохи навчання, що зумовлено найкращим співвідношенням зазначених метрик на даному етапі навчання.

В таблиці 1 представлені розшифровки класів із відповідними значеннями метрик. Моделью демонструється висока ефективність у більшості класів.

Особливо добре передбачаються класи з великою кількістю прикладів і яскраво вираженими візуальними ознаками, наприклад, клас striped_flea_beetle (261 об'єкт), F1-міра якого дорівнює 0,93, а також cabbage_white (0,92), cereal_leaf_beetle (0,90).

Для деяких класів, наприклад diamondback_moth_cocoon (21 об'єкт), спостерігається високе значення повноти (1,00) при низькій точності (0,50), що може вказувати на помилкову класифікацію інших об'єктів як даний клас, аналогічна тенденція спостерігається для класів cabbage_white_cocoon та meadow_moth_cutterpillar. Це може бути викликано сукупністю дисбалансу даних та недостатньою візуальною виразністю даних класів.

Основні ймовірні параметри, застосовані в процесі генерації аугментованих даних:

1) зображення випадково відображаються по горизонталі з ймовірністю 50%, збільшуючи стійкість моделі до зміни орієнтації об'єктів;

2) мозаїчна аугментація (рисунок 4) застосовувалася в 100% випадків, поєднуючи чотири зображення в одне, збільшуючи контекст та різноманітність навчальних прикладів.

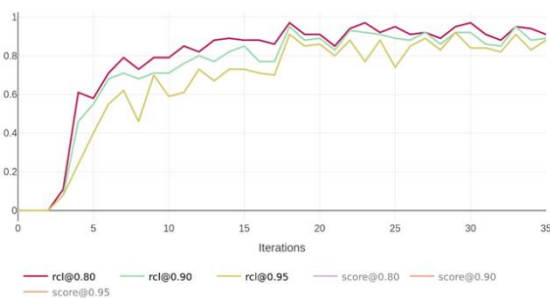


Рисунок 5 - Агрегована метрика Recall за епохами

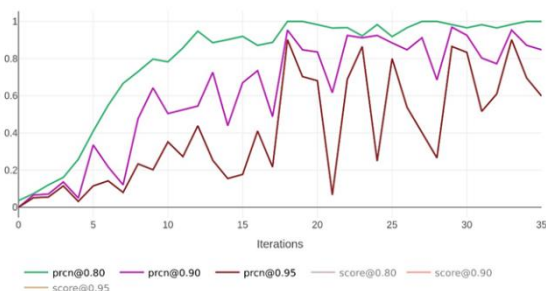


Рисунок 6 - Агрегована метрика Precision за епохами

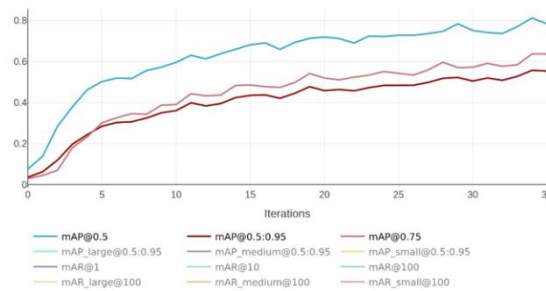


Рисунок 7 - Агрегована метрика mAP за епохами

Таблиця 1

Значення метрик по кожному класу

№	Назва шкідника	Клас	Precision	Recall	F1-score
1	Галли раннього ялиново-листяного хермеса	adelges_laricis_gall	0,8	0,68	0,74
2	Altica lythri	altica_lythri	0,86	0,59	0,7
3	Імаго капустиної білянки	cabbage_white	0,98	0,87	0,92
4	Лялечка капустиної білянки	cabbage_white_cocoon	0,65	0,62	0,62
5	Гусениця капустиної білянки	cabbage_white_cutterpillar	0,66	0,74	0,7
6	П'явицячервоногруда	cereal_leaf_beetle	0,97	0,84	0,9
7	Чорна хресто-кольорова блошка	crucifer_flea_beetle	0,76	0,8	0,78
8	Імаго капустиної молі	diamondback_moth	0,9	0,83	0,86
9	Лялечка капустиної молі	diamondback_moth_cocoon	0,5	1,0	0,67
10	Гусениця капустиної молі	diamondback_moth_cutterpillar	0,67	0,51	0,58
11	Вуховертка звичайна	earwig	0,8	0,74	0,77
12	Капустяний хрестоцвітий клоп	eurydema_dominulus	0,82	0,85	0,83
13	Гірчичний хрестоцвітий клоп	eurydema_ornata	0,85	0,88	0,86
14	Імаго лугового метелика	meadow_moth	0,91	0,81	0,86
15	Гусениця лугового метелика	meadow_moth_cutterpillar	0,78	0,51	0,62
16	Луговий клоп	stink_bug	0,98	0,8	0,88
17	Хвиляста хрестоцвіта блошка	striped_flea_beetle	0,98	0,89	0,93
18	Довгоносик	weevil	0,89	0,89	0,89

Для надання інтерфейсу користувача до розробленої моделі детектування шкідників рослин був використаний чат-бот.

Цей підхід забезпечує зручність взаємодії кінцевого користувача з моделлю без необхідності налаштування середовища чи встановлення додаткового програмного забезпечення.

У процесі розробки веб-програми була використана мова програмування високого рівня Python версії 3.8.10. Як інтегроване середовище розробки застосовувалася Visual Studio Code версії 1.100.0, розроблена корпорацією Microsoft. Вибір даного середовища обумовлений його широкими функціональними можливостями, що забезпечують зручну роботу з сервісами та програмними компонентами.

Реалізація програми здійснювалася з використанням наступних інструментів та бібліотек: Python-Telegram-Bot, Flask, Pillow, OpenCV, NumPy.

Вся логіка обробки зображень та генерації передбачень була інкапсульована у модуль взаємодії користувача з чат-ботом. Це дозволило створити легкий і переносний інтерфейс для взаємодії з моделлю, придатний як для локального тестування, так і для подальшого розгортання на віддаленому сервері.

Інтелектуальну систему розроблено з урахуванням модульної архітектури, що забезпечує її розширюваність та полегшує тестування окремих компонентів. Використання асинхронного програмування дозволяє ефективно обробляти множинні запити користувачів та виконувати тривалі операції, наприклад, передбачення класу, без блокування основного потоку виконання

Реалізований чат-бот є зручним інструментом для взаємодії з моделлю комп'ютерного зору і створення навчального датасета в умовах обмеженого інтерфейсу користувача. Його застосування суттєво спрощує процес збирання та анотування зображень для подальшого навчання та валідації моделей [11].

Тестування проводилося відповідно до заданих вимог і включало ручну перевірку сценаріїв взаємодії користувача з серверною частиною веб-програми.

В результаті випробувань встановлено, що серверна частина функціонує стабільно, коректно реагує на запити користувача і демонструє необхідний рівень стійкості та автоматизації. Також було проведено тестування нейронної мережі: тест визначення об'єкта на зображенні та тест сумісності роботи моделі на CPU та GPU.

Висновки. В результаті було розроблено інтелектуальну систему для визначення шкідників рослин на основі нейромережевих технологій. Робота охопила всі ключові етапи розробки, зокрема:

- проведено огляд наукової літератури та існуючих рішень з предметної галузі;
- сформовано навчальний і тестовий набір даних;
- спроектовано архітектуру нейронної мережі для розв'язання задачі визначення шкідників рослин;
- виконано навчання та тестування спроектованої нейронної мережі;
- розроблено та протестовано інтелектуальну систему для визначення шкідників рослин на основі нейромережевих технологій.

Результати проведеного тестування підтвердили коректність функціонування всіх компонентів інтелектуальної системи, включаючи реєстрацію користувачів, обробку зображень, перемикання режимів роботи та зворотний зв'язок через інтерфейс у вигляді чат-бота.

ЛІТЕРАТУРА

1. Soucy J., Jin A. Comparative Study of Convolutional Neural Networks for Plant Pests Detection. // *Journal of Agricultural Sciences*, 2020. № 15 (3). 67–76 pp. DOI:10.61467/2007.1558.2025.v16i2.603
2. Hoiem K., Hebert R. Performance Evaluation of Different Convolutional Neural Networks for Pest Detection in Agricultural Crops. // *International Journal of Agricultural Research*, 2019. № 24 (2). 89-96 pp. DOI:10.3390/agriengineering5040145
3. Park S., Brown K. Comparative Study of Plant Pest Detection використовуючи YOLOV5. // *Journal of Agricultural Technology*, 2021 № 20(2). 45-56 pp.
4. Sun L., Zhang S. Comparison of CNN Architectures for Plant Pest Detection. // *Proceedings of the International Conference on Agriculture and Technology*, 2020. 123-130 pp. DOI:10.3390/agriculture12081192
5. Turk S. Evaluation of fixed-view cameras for pest tracking in crop fields. // *Crop Protection*, 2019. № 25 (4). 321-335 pp.
6. Kang C., Zhu W. Evaluation of efficient plant pest monitoring system using tracking Технологія. // *Journal of Pest Management*, 2018 року. 123-135 pp.
7. Ramesh Y., Choi J. Assessment of Plant Pest Tracking Method Using Fixed View Cameras. // *Plant Protection Research*, 2019. № 12 (2). 75-82 pp.
8. Zhou, Y., Liu, W., Bi H., Chen, R., Zong, S., Luo, Y.A. (2022) Detection Method for Individual Infected Pine Trees with Pine Wilt Disease Based on Deep Learning. // *Forests*, Т.13. №11, p. 1880. <https://doi.org/10.3390/f13111880>
9. Платформа відкритих датасетів Roboflow. URL: <https://roboflow.com/>
10. Бібліотека аугментацій Alumentations. URL: <https://alumentations.ai/>
11. Островська К.Ю., Левашкевич А.К. Розробка веб-додатку для визначення шкідників рослин на основі нейромережових технологій // *Інформаційні технології: моделі, алгоритми, системи (ITMAS – 2025): Матеріали VI Міжнародної науково-практичної інтернет конференції (16-17 листопада 2025 р.)*. – Миколаїв: НУК імені адмірала Макарова, 2025. с. 169 – 172. URL: <https://itconf.nuos.edu.ua/2025/proceedings/>

REFERENCES

1. Soucy J., Jin A. Comparative Study of Convolutional Neural Networks for Plant Pests Detection. // *Journal of Agricultural Sciences*, 2020. № 15 (3). 67–76 pp. DOI:10.61467/2007.1558.2025.v16i2.603
2. Hoiem K., Hebert R. Performance Evaluation of Different Convolutional Neural Networks for Pest Detection in Agricultural Crops. // *International Journal of Agricultural Research*, 2019. № 24 (2). 89-96 pp. DOI:10.3390/agriengineering5040145
3. Park S., Brown K. Comparative Study of Plant Pest Detection використовуючи YOLOV5. // *Journal of Agricultural Technology*, 2021 № 20(2). 45-56 pp.

4. Sun L., Zhang S. Comparison of CNN Architectures for Plant Pest Detection. // Proceedings of the International Conference on Agriculture and Technology, 2020. 123-130 pp. DOI:10.3390/agriculture12081192
5. Turk S. Evaluation of fixed-view cameras for pest tracking in crop fields. // Crop Protection, 2019. № 25 (4). 321-335 pp.
6. Kang C., Zhu W. Evaluation of efficient plant pest monitoring system using tracking Technology. // Journal of Pest Management, 2018 року. 123-135 pp.
7. Ramesh Y., Choi J. Assessment of Plant Pest Tracking Method Using Fixed View Cameras. // Plant Protection Research, 2019. № 12 (2). 75-82 pp.
8. Zhou, Y., Liu, W., Bi H., Chen, R., Zong, S., Luo, Y.A. (2022) Detection Method for Individual Infected Pine Trees with Pine Wilt Disease Based on Deep Learning. // Forests, T.13. №11, p. 1880. <https://doi.org/10.3390/f13111880>
9. Platforma vidkrytykh datasetiv Roboflow. URL: <https://roboflow.com/>
10. Biblioteka auhmentatsii Albuementations. URL: <https://albuementations.ai/>
11. Ostrovska K.Yu., Levashkevych A.K. Rozrobka veb-dodatku dlia vyznachennia shkidnykiv roslyn na osnovi neiromerezhevnykh tekhnolohii // Informatsiini tekhnolohii: modeli, alhorytmy, systemy (ITMAS – 2025): Materialy VI Mizhnarodnoi naukovo-praktychnoi internet konferentsii (16-17 lystopada 2025 r.). – Mykolaiv: NUK imeni admirala Makarova, 2025. s. 169 – 172. URL: <https://itconf.nuos.edu.ua/2025/proceedings/>

Received 16.03.2026
Accepted 19.03.2026
Published 31.03.2026

Intelligent system for determining plant pests based on neural network technologies

The task of developing neural network models that provide high accuracy in detecting plant pests with minimal computational and time costs is relevant. Solving this problem will contribute to the development of digital technologies in the agricultural industry and will provide an opportunity for prompt and accurate detection of threats to agricultural crops, in particular, the identification of plant pests. The purpose of the work is to develop an intelligent system for identifying plant pests based on neural network technologies and study its performance.

During the study, an object detection model based on the YOLOV5s architecture was implemented and analyzed.

For training and validation of the model, a dataset was used, formed on the basis of open datasets hosted on the Roboflow platform. The final dataset includes 3766 annotated images, each of which contains at least one object belonging to one of 18 predefined classes.

To increase the generalization ability of the model and expand the diversity of the training dataset, the Albuementations augmentation library was used at the preprocessing stage.

Training was performed using a stochastic gradient descent optimizer. A cosine scheduler was used to control the learning rate.

User interaction with the server part with an interface in the form of a chat bot was also implemented. The developed intelligent system provides two full-fledged operating modes: neural network inference mode (predict) and data collection mode (collect). Switching be-

tween modes is carried out both via commands and automatically - based on the presence of a model in the file system of the server part of the web application. The results of testing confirmed the stable operation of the server part and demonstrate full compliance with the stated functional requirements.

Keywords: detection, tracking, intelligent system, YOLOv5s neural network, augmentation, dataset, Python language.

Островська Катерина Юріївна – доцент, к.т.н., доцент кафедри інформаційних технологій і систем ННІ ДМетІ Українського державного університету науки і технологій.

ORCID: <https://orcid.org/0000-0002-9375-4121>

Левашкевич Антон Костянтинович - магістр кафедри інформаційних технологій і систем ННІ ДМетІ Українського державного університету науки і технологій.

ORCID: <https://orcid.org/0009-0007-0486-4411>

Ostrovskaya Kateryna - associate professor, candidate of technical sciences, associate professor of the department of Information technologies and systems, NNI DMetI, Ukrainian State University of Science and Technology.

ORCID: <https://orcid.org/0000-0002-9375-4121>

Levashkevych Anton - master of the department of Information technologies and systems, NNI DMetI, Ukrainian State University of Science and Technology.

ORCID: <https://orcid.org/0009-0007-0486-4411>

**ДИНАМІКА ПЛИТИ АСФАЛЬТОУКЛАДАЛЬНИКА
З ДОДАТКОВИМ ВІБРОЗБУДЖУВАЧЕМ ТА ЇЇ ВПЛИВ
НА ПРОЦЕС РОЗГЛАДЖУВАННЯ АСФАЛЬТОБЕТОННОЇ СУМІШІ**

Анотація. У статті розглянуто підвищення ефективності процесу розгладжування асфальтобетонної суміші під час її укладання шляхом удосконалення конструкції робочої плити асфальтоукладальника. Запропоновано встановлення додаткового віброзбуджувача на плиті компактного асфальтоукладальника, що забезпечує інтенсифікацію перерозподілу суміші у зоні контакту з робочим органом та покращення рівномірності формування шару покриття. Розроблено математичну модель динаміки системи «віброзбуджувач – робоча плита – асфальтобетонна суміш», яка враховує вертикальні та кутові коливання плити під дією гармонічного збудження. На основі моделі досліджено вплив параметрів віброзбудження на інтенсивність коливального процесу та показники розгладжування асфальтобетонної суміші. Встановлено, що раціональний вибір частоти обертання віброзбуджувача та параметрів дебалансного механізму дозволяє підвищити ефективність розподілу суміші, зменшити нерівності поверхні та покращити умови формування дорожнього покриття. Отримані результати можуть бути використані під час удосконалення конструкції робочих органів асфальтоукладальників та оптимізації режимів їх роботи.

Ключові слова: асфальтоукладальник, робоча плита, віброзбуджувач, асфальтобетонна суміш, динаміка коливань, розгладжування покриття, вібраційний вплив, математична модель.

Постановка проблеми. Якість дорожнього покриття значною мірою визначається рівномірністю розподілу та ступенем ущільнення асфальтобетонної суміші під час її укладання, що значною мірою залежить від роботи розгладжувальної плити асфальтоукладальника. Дослідження показують, що ефективність процесу формування шару визначається динамічними параметрами системи віброущільнення, які впливають на інтенсивність коливань та стабільність роботи машини. Разом з тим питання підвищення ефективності розгладжування асфальтобетонної суміші шляхом додаткового віброзбудження робочої плити досліджено недостатньо. Тому актуальним є дослідження впливу встановлення віброзбуджувача на плиті асфальтоукладальника на процес формування та розгладжування асфальтобетонного шару.

Аналіз останніх досліджень. Підвищення якості укладання асфальтобетонної суміші пов'язане з удосконаленням робочих органів асфальтоукладальника, насамперед трамбуючих брусів та розгладжувальної плити, які визначають рівномірність форму-

вання дорожнього шару та його попереднє ущільнення [6]. У сучасних дослідженнях показано, що ефективність роботи таких систем значною мірою залежить від динамічних параметрів вібраційного збудження, зокрема частоти коливань, маси дебалансів та характеристик пружно-дисипативної взаємодії з матеріалом [2], [7]. При цьому зі збільшенням інтенсивності вібраційного впливу підвищується ефективність ущільнення асфальтобетонної суміші, однак одночасно можуть зростати кутові коливання плити, що негативно впливає на рівність поверхні покриття [3], [6]. Для оцінювання динамічного стану таких систем застосовують показники прискорень та інші інтегральні характеристики коливань, що дозволяють кількісно аналізувати роботу вібраційних машин [1], [2]. Разом з тим більшість досліджень зосереджена на оптимізації параметрів стандартних віброущільнювальних систем асфальтоукладальників, тоді як можливість підвищення ефективності розгладжування асфальтобетонної суміші шляхом встановлення додаткового віброзбуджувача на плиті досліджена недостатньо. Це особливо актуально для компактних асфальтоукладальників типу AFW 150-2, які застосовуються під час ремонтних робіт у міських умовах і мають специфічні динамічні режими роботи [4], [5].

Мета досліджень. Метою досліджень є розроблення та обґрунтування математичної моделі динаміки робочої плити асфальтоукладальника з установленим віброзбуджувачем, яка враховує взаємодію системи «віброзбуджувач – плита – асфальтобетонна суміш», а також дослідження впливу параметрів вібраційного збудження на ефективність процесу розгладжування та рівномірність формування асфальтобетонного шару.

Викладення основного матеріалу дослідження. У роботі розглядається модернізація робочого органу компактного асфальтоукладальника Ammann AFW 150-2, що полягає у встановленні додаткового віброзбуджувача на розгладжувальній плиті. Базова конструкція машини включає бункер для приймання асфальтобетонної суміші, систему подачі матеріалу до зони укладання та робочу плиту, яка забезпечує розподіл і попереднє ущільнення шару покриття. Асфальтоукладальник має триколісну схему ходової частини, де два задні колеса забезпечують тягове зусилля, а переднє колесо виконує функцію керування. Робоча плита розташована у задній частині машини і контактує безпосередньо з асфальтобетонною сумішшю під час її укладання.

У стандартній конструкції плита виконує функції розподілу суміші, її часткового ущільнення та остаточного розгладжування поверхні. Формування шару відбувається за рахунок ковзання нижньої поверхні плити по асфальтобетонній суміші та дії власної маси робочого органу. Проте при роботі компактних асфальтоукладальників маса плити та енергія динамічного впливу є відносно невеликими, що може призводити до нерівномірного розподілу суміші, утворення локальних нерівностей та недостатньої однорідності поверхні покриття. Для підвищення ефективності процесу розгладжування запропоновано модернізувати плиту шляхом встановлення на ній віброзбуджувача.

Конструктивно віброзбуджувач виконано у вигляді дебалансного механізму (рис. 1), який складається з електричного або гідравлічного приводу, ексцентрикового вала та маси дебалансу. Під час обертання ексцентрика виникає відцентрова сила, яка

створює гармонічні коливання плити у вертикальному напрямку. Вібробуджувач встановлюється у центральній частині плити або поблизу її центра мас, що дозволяє забезпечити рівномірний розподіл коливань по всій ширині робочого органу та зменшити небажані кутові коливання відносно поздовжньої та поперечної осей.



Рисунок 1 – Асфальтоукладальник Ammann AFW 150-2 з робочою плитою

Кріплення вібробуджувача до конструкції плити здійснюється за допомогою жорсткого монтажного вузла, який передає динамічні сили безпосередньо на металоконструкцію плити. При цьому конструкція кріплення забезпечує необхідну жорсткість системи та мінімізує втрати енергії коливань у з'єднувальних елементах. Робоча частота обертання дебалансного механізму підбирається таким чином, щоб забезпечити ефективне розрідження структури асфальтобетонної суміші в зоні контакту з плитою, не викликаючи надмірних коливань машини в цілому.

Принцип роботи модернізованої плити полягає у поєднанні статичного впливу її маси з додатковими вібраційними коливаннями. Під час руху асфальтоукладальника суміш подається у зону формування шару, після чого проходить під плитою. Внаслідок дії вібробуджувача виникають коливання плити, які сприяють зменшенню внутрішнього тертя між частинками асфальтобетонної суміші, покращують її перерозподіл по ширині укладання та сприяють більш рівномірному заповненню порожнин у структурі матеріалу. У результаті цього підвищується однорідність шару, покращується його щільність і зменшується хвилястість поверхні.

Запропонована конструкція модернізованої плити дозволяє підвищити ефективність процесу розгладжування асфальтобетонної суміші без суттєвого ускладнення конструкції асфальтоукладальника. Додатковий вібробуджувач може бути інтегрований у конструкцію машини без значних змін її базових вузлів, що робить дане рішення перспективним для застосування у компактних асфальтоукладальниках, призначених для виконання дорожньо-ремонтних робіт у міських умовах.

Для оцінювання впливу додаткового вібробуджувача на процес розгладжування асфальтобетонної суміші робочу плиту асфальтоукладальника доцільно розглядати як просторову коливальну систему з трьома узагальненими координатами: вертикальним переміщенням центра мас плити Z , кутом тангажу φ та кутом крену θ . Такий підхід ві-

дповідіає сучасним моделям віброуцільнювальних систем асфальтоукладальників, у яких якість укладання пов'язується не лише з вертикальними коливаннями, а й з кутовими рухами плити, що визначають рівномірність формування шару по довжині та ширині. Для оцінювання динамічного стану плити доцільно використовувати середньоквадратичні прискорення у вертикальному, поздовжньо-кутовому та поперечно-кутовому напрямках, як це прийнято в роботах з дослідження динаміки плит асфальтоукладальників.

У запропонованій постановці плита взаємодіє з асфальтобетонною сумішшю через еквівалентні пружно-інерційні та дисипативні зв'язки, які враховують опір суміші у зоні контакту[2]. Додатковий віброзбуджувач, установлений на плиті, формує гармонічну збурювальну силу, яка передається на металоконструкцію плити та зумовлює її просторові коливання. Якщо прийняти, що асфальтобетонна суміш у зоні контакту з плитою еквівалентно описується лінійно-пружними і в'язкими елементами, то рівняння руху плити можна записати у вигляді

$$m\ddot{Z} = F_s - \sum_{j=1}^4 F_j, \quad (1)$$

$$I_y\ddot{\varphi} = \sum_{j=1}^4 (-1)^{j+1} F_j x_u - F_s x_1, \quad (2)$$

$$I_x\ddot{\theta} = \sum_{j=1}^4 (-1)^j F_j y_v. \quad (3)$$

де m – маса плити із урахуванням опору суміші ; I_y – момент інерції плити відносно поперечної осі; I_x – момент інерції плити відносно поздовжньої осі; F_s – збурювальна сила віброзбуджувача; F_j – реакції асфальтобетонної суміші у характерних точках контакту плити; x_u , y_v – координати точок прикладання контактних реакцій відносно центра мас плити; x_1 – плече прикладання збурювальної сили. За структурою ці рівняння є адаптацією просторової моделі вібраційної плити асфальтоукладальника, наведеної в роботі з дослідження динамічних параметрів системи ущільнення.

Реакції асфальтобетонної суміші в точках контакту плити з шаром доцільно задавати через еквівалентні коефіцієнти жорсткості та демпфування:

$$F_j = C_j \left(\dot{Z} + (-1)^j x_u \dot{\varphi} + (-1)^{j+1} y_v \dot{\theta} \right) + k_j \left(Z + (-1)^j x_u \varphi + (-1)^{j+1} y_v \theta \right), \quad (4)$$

де C_j – коефіцієнт в'язкого опору асфальтобетонної суміші в j -й зоні контакту; k_j – еквівалентна жорсткість суміші в цій же зоні. Такий запис відображає, що локальна реакція матеріалу визначається як миттєвим зміщенням відповідної точки плити, так і швидкістю її переміщення. У фізичному сенсі члени з k_j характеризують опір суміші деформуванню, а члени з C_j – енергетичні втрати внаслідок внутрішнього тертя та в'язкопластичних властивостей асфальтобетону.

Збурювальна сила від дебалансного віброзбуджувача визначається класичною залежністю

$$F_s = m_s r_s \omega^2 \sin(\omega t) \quad (5)$$

де m_s – маса дебалансу; r_s – ексцентриситет; ω – кутова швидкість обертання вала вібророзбуджувача; t – час. Ця сила є основним джерелом вібраційного впливу на плиту й визначає інтенсивність розрідження асфальтобетонної суміші в зоні розгладжування. Аналогічний запис збурювальної сили використовується в моделях віброплит асфальтоукладачів для опису дії вібраційного органа.

Для визначення прискорень у характерних точках нижньої поверхні плити, які безпосередньо пов'язані з процесом формування шару, використовується кінематичний зв'язок між рухом центра мас і кутовими коливаннями. Для довільної точки ψ нижньої поверхні плити вертикальне прискорення можна подати як

$$\ddot{Z}_\psi = \ddot{Z} + (-1)^v x_\psi \ddot{\varphi} + (-1)^{v+1} y_\psi \ddot{\theta}, \quad (6)$$

де x_ψ та y_ψ – координати точки ψ відносно центра мас плити. Це співвідношення дозволяє визначати локальну інтенсивність динамічного впливу на асфальтобетонну суміш у різних зонах робочої ширини.

Оскільки якість розгладжування визначається не миттєвими, а усередненими за часом коливальними параметрами, як критерій оцінювання доцільно використовувати середньоквадратичні прискорення. Для точки контакту ψ маємо

$$A_\psi = \sqrt{\frac{1}{t_f - t_0} \int_{t_0}^{t_f} (\ddot{z}_\psi(\tau))^2 d\tau}, \quad (7)$$

\ddot{z}_ψ – миттєве вертикальне прискорення точки контакту плити; t_0 – початковий і кінцевий моменти інтервалу аналізу.

Аналогічний показник може бути визначений і для центра мас плити в узагальненому напрямку коливань k , де $k=z, \varphi, \theta$. У цьому випадку

$$A_k = \sqrt{\frac{1}{t_f - t_0} \int_{t_0}^{t_f} (\ddot{q}_k(\tau))^2 d\tau} \quad (8)$$

де \ddot{q}_k – відповідне прискорення центра мас плити у вертикальному, тангажному або креновому напрямку.

Застосування інтегральних характеристик прискорень дозволяє оцінити інтенсивність динамічного впливу плити на асфальтобетонну суміш та ступінь її коливальної нестійкості. Аналіз вертикальних, тангажних та кренових складових руху робочого органа дає можливість кількісно оцінити ефективність розподілу суміші, рівність формування шару та стабільність положення плити під час укладання.

Для комплексної оцінки роботи модернізованої плити доцільно використати узагальнений показник ефективності коливального режиму, який можна подати у вигляді

$$\eta = \frac{A_\varphi + A_\theta}{A_z} \quad (9)$$

де A_z – інтегральна характеристика вертикальних коливань плити; A_φ та A_θ – відповідні показники тангажних і кренових коливань.

Збільшення значення показника η свідчить про підвищення частки корисних вертикальних коливань у загальній структурі руху плити та зменшення небажаних кутових переміщень. При цьому забезпечується інтенсивний перерозподіл асфальтобетонної суміші в зоні контакту з плитою та покращується рівність сформованого шару покриття. Водночас надмірне зростання вертикальних прискорень може призводити до підвищення нестійкості руху плити, тому вибір параметрів віброзбудження повинен забезпечувати компроміс між достатнім динамічним впливом на суміш і стабільністю просторового положення робочого органу.

Запропонована математична модель дозволяє описати динамічну взаємодію системи «віброзбуджувач – робоча плита – асфальтобетонна суміш» та дослідити вплив конструктивних і режимних параметрів на процес розгладжування шару. На основі цієї моделі може бути виконано чисельне моделювання з метою визначення раціональних значень маси дебалансу, ексцентриситету, частоти обертання віброзбуджувача та його оптимального розташування на плиті асфальтоукладальника.

ЛІТЕРАТУРА

1. Michalczyk J., Cieplok G. Maximal Amplitudes of Vibrations of the Suspended Screens, During the Transient Resonance. *Archives of Mining Sciences*. 2016. Vol. 61, no. 3. P. 537–552. URL: <https://doi.org/10.1515/amsc-2016-0039>
2. Назаренко І. І. Прикладні задачі теорії вібраційних систем : навч. посіб. / І. І. Назаренко. – 2-ге вид. – Київ : Видавничий Дім «Слово», 2010. – 440 с.
3. Nguyen V. L., Zhang J. R., et al. Vibration analysis and modeling of an off-road vibratory roller equipped with three different cab's isolation mounts. *Shock and Vibration*, Vol. 2018.
4. AFW 150-2 asphalt paver specifications. Available at: <https://ets-group.com.ua/afw-150-2/>
5. Ільченко В. Особливості влаштування асфальтобетонного покриття за технологією «hot on hot» / В. Ільченко, А. Лагура // Просторове планування для майбутнього України: зб. матеріалів Всеукр. наук.-практ. конф., 25–26 трав. 2023 р. – Полтава : Національний університет імені Юрія Кондратюка, 2023. – С. 221–225.
6. Luo D., Feng Z., Wang X. Simulation and experimental study on compacting mechanism of asphalt paver. *Journal of Guangxi University*, Vol. 36, Issue 5, 2011, p. 729-735
7. Wan Y., Jia J. Nonlinear dynamics of asphalt-screed interaction during compaction: Application to improving paving density. *Construction and Building Materials*, Vol. 202, 2019, p. 363-373.

REFERENCES

1. Michalczyk, J., & Cieplok, G. (2016). Maximal amplitudes of vibrations of the suspended screens during the transient resonance. *Archives of Mining Sciences*, 61(3), 537–552. <https://doi.org/10.1515/amsc-2016-0039>
2. Nazarenko, I. I. (2010). *Prykladni zadachi teorii vibratsiinykh system* [Applied problems of vibration systems theory] (2nd ed.). Kyiv: Vydavnychiy Dim “Slovo”.

3. Nguyen, V. L., Zhang, J. R., et al. Vibration analysis and modeling of an off-road vibratory roller equipped with three different cab's isolation mounts. *Shock and Vibration*, 2018.
4. AFW 150-2 asphalt paver specifications. Available at: <https://ets-group.com.ua/afw-150-2/>
5. Ilchenko, V., & Lahura, A. (2023). Osoblyvosti vlashtuvannia asfaltobetonnoho pokryttia za tekhnolohiieiu "hot on hot" [Features of asphalt concrete pavement construction using the "hot on hot" technology]. In: *Prostorove planuvannia dlia maibutnoho Ukrainy*: Proceedings of the All-Ukrainian scientific and practical conference (May 25–26, 2023). Poltava: Yuri Kondratyuk National University, 221–225.
6. Luo, D., Feng, Z., & Wang, X. (2011). Simulation and experimental study on compacting mechanism of asphalt paver. *Journal of Guangxi University*, 36(5), 729–735.
7. Wan, Y., & Jia, J. (2019). Nonlinear dynamics of asphalt-screed interaction during compaction: Application to improving paving density. *Construction and Building Materials*, 202, 363–373.

Received 17.03.202
Accepted 20.03.2026
Published 31.03.2026

***Dynamics of an asphalt paver screed with an additional vibration exciter
and its influence on the leveling process of asphalt concrete mixture***

The article considers improving the efficiency of the asphalt concrete mixture leveling process during paving by enhancing the design of the asphalt paver screed. The installation of an additional vibration exciter on the screed of a compact asphalt paver is proposed, which intensifies the redistribution of the mixture in the contact zone with the working element and improves the uniformity of pavement layer formation. A mathematical model of the dynamic system "vibration exciter – screed – asphalt concrete mixture" has been developed, taking into account the vertical and angular oscillations of the screed under harmonic excitation. Based on the developed model, the influence of vibration excitation parameters on the intensity of the oscillatory process and the leveling performance of the asphalt concrete mixture was investigated. It was established that the rational selection of the vibration exciter rotational frequency and the parameters of the eccentric mechanism makes it possible to improve mixture distribution efficiency, reduce surface irregularities, and enhance the conditions for pavement layer formation. The obtained results can be used to improve the design of asphalt paver working elements and to optimize their operating modes.

Keywords: asphalt paver, screed, vibration exciter, asphalt concrete mixture, vibration dynamics, pavement leveling, vibration impact, mathematical model.

Нечипорук Віктор Григорович – аспірант кафедри машин і обладнання технологічних процесів, Київський національний університет будівництва і архітектури, Україна.
ORCID: <https://orcid.org/0009-0003-8091-2420>

Nechyporuk Viktor – postgraduate student of the Department of Machines and Equipment of Technological Processes, Kyiv National University of Civil Engineering and Architecture, Ukraine.
ORCID: <https://orcid.org/0009-0003-8091-2420>

Ю.М. Тікан, М.М. Нестеренко

**АНАЛІТИЧНЕ ДОСЛІДЖЕННЯ КОЛИВАЛЬНОГО РЕЖИМУ
ВІБРАЦІЙНОГО КОНВЕЄРА
З ДВОМА ІНЕРЦІЙНИМИ ВІБРОЗБУДЖУВАЧАМИ**

Анотація. У статті розглянуто вібраційний конвеєр з двома інерційними віброзбуджувачами, що обертаються у протилежних напрямках, та досліджено особливості формування його коливального режиму. Побудовано розрахункову схему системи з урахуванням поступального переміщення центра мас лотка у горизонтальному і вертикальному напрямках, а також малого кутового повороту корпусу, що дало змогу подати робочий процес у вигляді плоскої динамічної моделі. Одержано аналітичні співвідношення для визначення складових відцентрових сил, сумарної збурювальної дії, кінетичної та потенціальної енергії системи, які враховують як поступальний, так і обертальний рух робочого органа. Показано, що за синхронного протифазного режиму роботи однакових віброзбуджувачів формується переважно напрямлена гармонічна сила, лінія дії якої за проходження через центр мас забезпечує стабільний поступальний характер руху конвеєра. Встановлено, що фазові відхилення, зумовлені самосинхронізацією, відмінністю моментів опору, гравітаційними впливами та взаємодією з транспортованим матеріалом, спричиняють появу додаткових складових руху, погіршення рівномірності транспортування та можуть призводити до локальних накопичень матеріалу. Одержані результати можуть бути використані для подальшого аналізу стійкості синхронного режиму, оцінювання допустимого розфазування віброзбуджувачів і обґрунтування параметрів вібраційних конвеєрів транспортно-технологічного призначення.

Ключові слова: вібраційний конвеєр, інерційний віброзбуджувач, дебаланс, коливальний режим, синхронізація, фазове розузгодження, збурювальна сила, динамічна модель, сипкий матеріал

Постановка проблеми. Вібраційні конвеєри з інерційним приводом належать до найбільш поширених транспортно-технологічних машин для переміщення сипких матеріалів у різних галузях промисловості, однак ефективність їх роботи істотно залежить від стабільності коливального режиму та узгодженості дії віброзбуджувачів. Для машин із двома дебалансними віброзбуджувачами бажаним є синхронний і синфазний режим обертання, за якого результуюча збурювальна сила проходить через центр мас і не викликає небажаних кутових коливань корпусу. Проте в реальних умовах експлуатації через самосинхронізацію, відмінність моментів опору, гравітаційні впливи та вза-

емодію з транспортованим матеріалом виникають фазові відхилення, що спричиняють додаткові складові руху. Наслідком цього можуть бути порушення рівномірності транспортування, локальні накопичення матеріалу, зниження продуктивності, а в окремих випадках — зупинка потоку або зміна напрямку його переміщення, що зумовлює потребу в поглибленому дослідженні динаміки такого конвеєра.

Аналіз останніх досліджень. У дослідженнях вібраційних конвеєрів основну увагу зосереджено на підвищенні енергоефективності, удосконаленні керування режимами роботи та розширенні транспортних можливостей таких машин. Зокрема, у роботах [1, 6-9] розглянуто подієве керування конвеєрами на базі динамічного гасника Фрама, реверсивне транспортування, дозування матеріалу, а також особливості функціонування резонансних і антирезонансних схем.

Важливе теоретичне підґрунтя для аналізу машин із двома віброзбудувачами сформовано в праці [3], де одержано критерії синхронізації збудників у нелінійній багаторезонансній системі, а в роботі [2] розглянуто підходи до визначення кінетичних параметрів елементів вібраційної машини з обертовим пристроєм.

Окремий напрям становлять дослідження просторових коливань двомасових транспортно-маніпуляційних систем [4], тоді як галузеві джерела підтверджують широкий промисловий попит на вібраційні конвеєри як ефективні та багатофункціональні засоби переміщення сипких матеріалів [5].

Мета досліджень. Метою досліджень є розроблення та обґрунтування аналітичного підходу до опису робочого процесу вібраційного конвеєра з двома дебалансними віброзбудувачами з урахуванням поступального та кутового руху корпусу, а також умов синхронного і синфазного режимів їх роботи.

Викладення основного матеріалу дослідження. Одним із найбільш поширених типів транспортно-технологічних машин для переміщення сипких матеріалів є вібраційні конвеєри з інерційним приводом. Такі машини широко застосовуються у гірничій, металургійній, будівельній, харчовій та хімічній промисловості завдяки простоті конструкції, високій надійності та можливості регулювання продуктивності [1, 2]. Конструктивно вібраційний конвеєр складається з жорсткого витягнутого лотка або жолоба, встановленого на системі пружних елементів, а також приводу, який забезпечує збудження коливального руху робочого органа (рисунок 1).

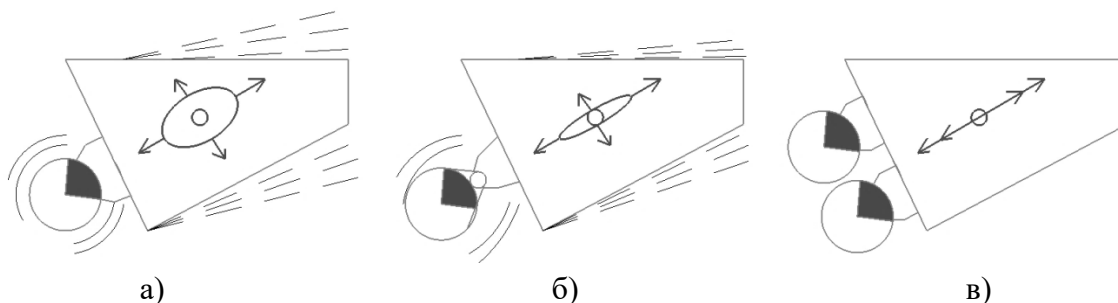
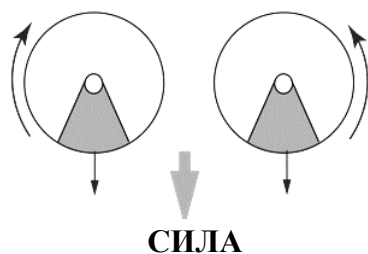


Рисунок 1 – Схема закріплення віброзбудувачів на рамі конвеєра та створення а) кругових коливань, б) еліптичних коливань, в) прямолінійних коливань

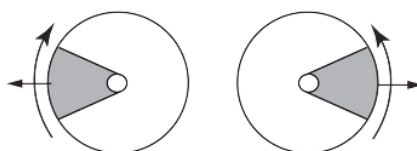
Найбільш поширеною є схема з двома інерційними віброзбуджувачами, які обертаються у протилежних напрямках та створюють гармонійні коливання корпусу машини (рисунок 2).

У таких системах віброзбуджувачі являють собою дебалансні мотори, що обертаються з однаковою кутовою швидкістю. При протилежному напрямку обертання дебалансів результуюча сила інерції змінюється за синусоїдальним законом і діє вздовж визначеного напрямку коливань. Якщо лінія дії цієї сили проходить через центр мас конвеєра, забезпечується переважно поступальний характер руху лотка без виникнення значних крутильних або поперечних коливань [3-5].

Бажаним режимом роботи вібраційної машини є стан, за якого обидва віброзбуджувачі працюють у протилежних напрямках та синфазно, створюючи результуючу збуджувальну силу у напрямку робочих коливань s . Напрямок цієї сили повинен проходити через центр мас машини. За такої умови забезпечується симетрія системи пружних опор і виключається збудження кутових коливань корпусу машини.

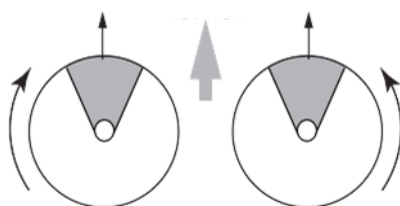


Обидва дебаланси знаходяться у нижньому положенні.
Результуюча сила спрямована вниз.

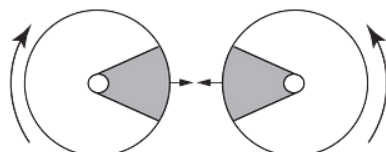


Дебаланси спрямовані назвоні та розташовані один від одного на 180° .
Результуюча сила дорівнює нулю, оскільки дві сили взаємно компенсують одна одну

СИЛА



Дебаланси знаходяться у верхньому положенні.
Результуюча сила спрямована вгору



Дебаланси спрямовані всередину та розташовані один від одного на 180° .
Результуюча сила дорівнює нулю, оскільки дві сили взаємно компенсують одна одну

Рисунок 2 – Принцип роботи двох віброзбуджувачів

Умови виникнення синхронного та синфазного обертання вібробудувачів можуть бути визначені на основі інтегрального критерію,

$$D(\varphi_1 - \varphi_2, \varphi_1 - \varphi_3, \dots, \varphi_1 - \varphi_n) = \frac{1}{T} \left[\int_0^T (E - V) dt - \int_0^T (E_w - V_w) dt \right] = \min \quad (1)$$

Відповідно до цього критерію система фазових кутів є стійкою поблизу значень $\Delta\varphi_{12}, \varphi_{13}, \dots, \varphi_{1n}$, якщо для цих значень функція D , визначена рівнянням (1), досягає локального мінімуму.

де $\Delta\varphi_1, \varphi_2, \dots, \varphi_n$ – кути обертання окремих вібробудувачів відносно початкового положення; $T = \frac{2\pi}{\omega}$ – період вимушених коливань; E_K – кінетична енергія корпусу машини з вібробудувачами, маси яких зосереджені у точках їх кріплення; V – потенціальна енергія системи пружної підвіски машини; E_w, V_w – відповідно кінетична та потенціальна енергія взаємодії між вібробудувачами.

Аналіз допустимих кутів розфазування вібробудувачів для різних типів вібраційних машин [5] показує, що ефект десинхронізації для робочого процесу характеризується такими значеннями: $\Delta\varphi \leq 3 - 5^0$ – для вібраційних грохотів; $\Delta\varphi \leq 5 - 12^0$ – для віброживильників; $\Delta\varphi \leq 12 - 16^0$ – для вібраційних конвеєрів.

Практичні дослідження показують, що розфазування вібробудувачів може призводити до локальних накопичень сипкого матеріалу, а у крайніх випадках – до повної зупинки потоку матеріалу або навіть до зміни напрямку його транспортування.

У подальшому розглядається вібраційний конвеєр (розрахункова схема зображена на рисунку 3), що складається з жорсткого лотка масою m_k , встановленого на пружній підвісці, та двох дебалансних вібробудувачів з масами m_1 і m_2 , які обертаються у протилежних напрямках. У першому наближенні корпус конвеєра вважається абсолютно твердим, а підвіска – лінійно-пружною з лінійно-в'язким демпфуванням. Робочий процес описується у площині основних коливань, що дає змогу виділити узагальнені координати

$$q = \{x, y, \alpha, \varphi_1, \varphi_2\} \quad (2)$$

де x і y – поступальні переміщення центра мас лотка у горизонтальному та вертикальному напрямках, α – малий кут повороту корпусу, φ_1, φ_2 – кути повороту дебалансів першого та другого вібробудувачів.

Кожен вібробудувач створює відцентрову силу, компоненти якої в осях x та y дорівнюють

$$F_{x1} = m_1 e_1 \left(\dot{\varphi}_1^2 \cos \varphi_1 + \ddot{\varphi}_1 \sin \varphi_1 \right) \quad (3)$$

$$F_{x2} = m_2 e_2 \left(\dot{\varphi}_2^2 \cos \varphi_2 + \ddot{\varphi}_2 \sin \varphi_2 \right) \quad (4)$$

$$F_{y1} = m_1 e_1 (\dot{\varphi}_1^2 \sin \varphi_1 - \ddot{\varphi}_1 \cos \varphi_1) \quad (5)$$

$$F_{y2} = m_2 e_2 (\dot{\varphi}_2^2 \sin \varphi_2 - \ddot{\varphi}_2 \cos \varphi_2) \quad (6)$$

де e_1, e_2 – ексцентриситети дебалансів.

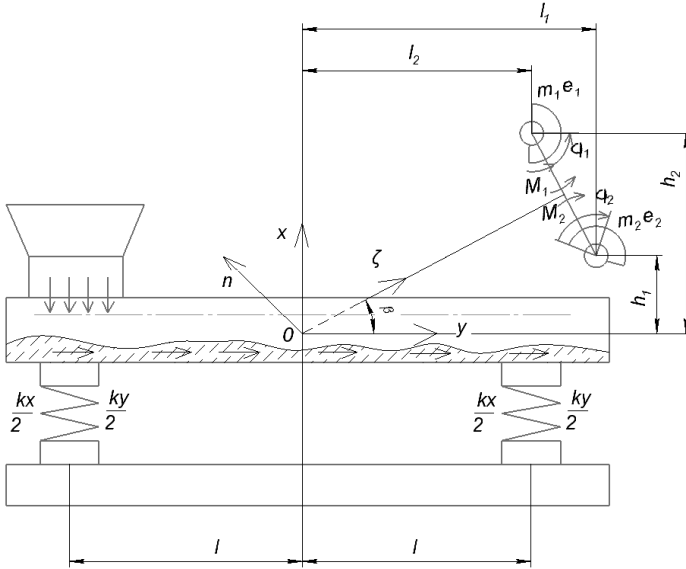


Рисунок 3 – Розрахункова схема вібраційного конвеєра

У разі необхідності врахування просторового руху система може бути розширена до восьми узагальнених координат з використанням кутів Ейлера, однак для виведення базових диференціальних рівнянь робочого процесу вібраційного конвеєра з двома віброзбуджувачами доцільно використати плоску схему, яка узгоджується з підходами, застосованими в роботах з аналізу конвеєрів класичної та резонансної конструкції [6-9].

Сумарна збудювальна сила системи визначається як

$$F_x = F_{x1} + F_{x2} \quad (7)$$

$$F_y = F_{y1} + F_{y2} \quad (8)$$

Якщо віброзбуджувачі однакові та працюють синхронно у протифазному режимі,

$$m_1 = m_2 = m_v \quad (9)$$

$$e_1 = e_2 = e \quad (10)$$

$$\varphi_2 = \pi - \varphi_1 \quad (11)$$

то формується переважно напрямлена гармонічна сила. Однак у реальній машині через самосинхронізацію, відмінність моментів опору, гравітаційні впливи та взаємодію з матеріалом виникають фазові відхилення, що породжують додаткові складові руху.

Кінетична енергія вібраційного конвеєра складається з кінетичної енергії корпусу та віброзбуджувачів:

$$E_K = \frac{1}{2} m_k (\dot{x}^2 + \dot{y}^2) + \frac{1}{2} J_k \dot{\alpha}^2 + \sum_{i=1}^2 \left[\frac{1}{2} J_{oi} \dot{\varphi}_i^2 + \frac{1}{2} m_i (\dot{x}_i^2 + \dot{y}_i^2) \right] \quad (12)$$

де m_k – маса лотка (робочого органа) вібраційного конвеєра; J_k – момент інерції корпусу (лотка) відносно центра мас

Для першого вібробудувача, встановленого на відстанях a_1 та h_1 від центра мас корпусу,

$$\dot{x}_1 = \dot{x} - h_1 \dot{\alpha} - e_1 \dot{\phi}_1 \sin \varphi_1 \quad (13)$$

$$\dot{y}_1 = \dot{y} + a_1 \dot{\alpha} + e_1 \dot{\phi}_1 \cos \varphi_1 \quad (14)$$

для другого

$$\dot{x}_2 = \dot{x} + h_2 \dot{\alpha} - e_2 \dot{\phi}_2 \sin \varphi_2 \quad (15)$$

$$\dot{y}_2 = \dot{y} - a_2 \dot{\alpha} + e_2 \dot{\phi}_2 \cos \varphi_2 \quad (16)$$

Після підстановки маємо розгорнутий вираз

$$\begin{aligned} E_K = & \frac{1}{2} m_k (\dot{x}^2 + \dot{y}^2) + \frac{1}{2} J_k \dot{\alpha}^2 + \frac{1}{2} J_{01} \dot{\phi}_1^2 + \\ & + \frac{1}{2} J_{02} \dot{\phi}_2^2 + \frac{1}{2} m_1 (\dot{x} - h_1 \dot{\alpha} - e_1 \dot{\phi}_1 \sin \varphi_1)^2 + \frac{1}{2} m_1 (\dot{y} + a_1 \dot{\alpha} + e_1 \dot{\phi}_1 \cos \varphi_1)^2 + \\ & + \frac{1}{2} m_2 (\dot{x} + h_2 \dot{\alpha} - e_2 \dot{\phi}_2 \sin \varphi_2)^2 + \frac{1}{2} m_2 (\dot{y} - a_2 \dot{\alpha} + e_2 \dot{\phi}_2 \cos \varphi_2)^2. \end{aligned} \quad (17)$$

Цей вираз узгоджується з класичними енергетичними моделями вібраційних конвеєрів і дає змогу врахувати як поступальний, так і обертальний рух системи.

Потенціальна енергія складається з енергії деформації підвіски та, за потреби, енергії додаткового пружного елемента або резонатора:

$$V = \frac{1}{2} k_x (x + h\alpha)^2 + \frac{1}{2} k_{y1} (y + l_1\alpha)^2 + \frac{1}{2} k_{y2} (y - l_2\alpha)^2 + \frac{1}{2} k_n n^2 + V_g. \quad (18)$$

де k_x – еквівалентна жорсткість у напрямі робочих коливань, k_{y1} , k_{y2} – жорсткості опор у вертикальному напрямі, k_n – жорсткість додаткової пружної ланки, n – залежна координата допоміжного руху, V_g – потенціальна енергія сили тяжіння.

Для похило встановлених віброізоляторів або металево-еластомерних опор з анізотропною жорсткістю доцільно записувати потенціальну енергію у матричній формі

$$V_{\text{iso}} = \frac{1}{2} \Delta^T [K] \Delta \quad (19)$$

де

$$\Delta = \{\Delta x, \Delta y, \Delta z, \Delta \varphi_x, \Delta \varphi_y, \Delta \varphi_z\}^T. \quad (20)$$

Такий підхід особливо важливий у моделях, де потрібно врахувати просторові ефекти та напрямні властивості металево-еластомерних ізоляторів

Висновки. Розроблено аналітичну модель коливального режиму вібраційного конвеєра з двома інерційними вібробудувачами, у межах якої робочий процес описано з урахуванням поступальних переміщень центра мас лотка, малого кутового повороту корпусу та сумарної дії відцентрових сил дебалансів, що дало змогу формалізувати динаміку системи в межах плоскої схеми та встановити основні закономірності формування збурювальної дії. Встановлено, що раціональний режим функціонування конвеє-

ра досягається за синхронного обертання вібробуджувачів у протилежних напрямках і проходження лінії дії результуючої сили через центр мас системи, тоді як фазове розузгодження зумовлює появу додаткових кутових складових руху, порушення стабільності коливального режиму та зниження рівномірності транспортування сипкого матеріалу.

ЛІТЕРАТУРА

1. Klemiato, M., Czubak, P. Event Driven Control of Vibratory Conveyors Operating on the Frahm's Eliminator Basis // Archives of Metallurgy and Materials. 2015. Vol. 60, no. 1. P. 19–25. DOI: 10.1515/amm-2015-0003.
2. Боровець, В. М., Шенбор, В. С., Беспалов, А. С. Визначення кінетичних параметрів елементів вібраційної машини з обертовим пристроєм // Автоматизація виробничих процесів у машинобудуванні та приладобудуванні. 2009. Вип. 43. С. 3–7.
3. Zhang, X., Wen, B., Zhao, C. Theoretical study on synchronization of two exciters in a nonlinear vibrating system with multiple resonant types // Nonlinear Dynamics. 2016. Vol. 85, no. 1. P. 141–154.
4. Врублевський, І. Й. Вібраційний двомасовий транспортер-маніпулятор з незалежними поздовжніми, поперечними та вертикальними коливаннями // Вісник Державного університету «Львівська політехніка». 1999. № 371. С. 71–74.
5. Vibrating conveyors ensure efficient, multi-functional material handling // Bruks Siwertell. URL: <https://bruks-siwertell.com/conveying/vibrating-conveyor> (дата звернення: 16.03.2026).
6. Czubak, P., Klemiato, M. Analysis of the Transport Capabilities of an Energy-Efficient Resonant Vibratory Conveyor of Classical Construction // Energies. 2025. Vol. 18, no. 10. P. 2500. DOI: 10.3390/en18102500.
7. Klemiato, M., Czubak, P. Control of the transport direction and velocity of the two-way reversible vibratory conveyor // Archive of Applied Mechanics. 2019. Vol. 89, no. 7. P. 1359–1373. DOI: 10.1007/s00419-018-01507-8.
8. Michalczyk, J., Gajowy, M. Operational Properties of Vibratory Conveyors of the Anti-resonance Type // Archives of Mining Sciences. 2023. DOI: 10.24425/122449.
9. Żmuda, W., Czubak, P. Investigations of the Transport Possibilities of a New Vibratory Conveyor Equipped with a Single Electro-Vibrator // Transport Problems. 2022. Vol. 17, no. 4. P. 127–136. DOI: 10.20858/tp.2022.17.4.11.

REFERENCES

1. Borovets, V. M., Shenbor, V. S., & Bespalov, A. S. (2009). Vyznachennia kinetychnykh parametriv elementiv vibratsiinoi mashyny z obertovym prystroiem [Determination of kinetic parameters of elements of a vibratory machine with a rotating device]. Avtomatyzatsiia vyrobnychych protsesiv u mashynobuduvanni ta pryladobuduvanni, (43), 3–7.
2. Bruks Siwertell. (n.d.). Vibrating conveyors ensure efficient, multi-functional material handling. <https://bruks-siwertell.com/conveying/vibrating-conveyor>
3. Czubak, P., & Klemiato, M. (2025). Analysis of the transport capabilities of an energy-efficient resonant vibratory conveyor of classical construction. Energies, 18(10), Article 2500. <https://doi.org/10.3390/en18102500>

4. Klemiato, M., & Czubak, P. (2015). Event driven control of vibratory conveyors operating on the Frahm's eliminator basis. *Archives of Metallurgy and Materials*, 60(1), 19–25. <https://doi.org/10.1515/amm-2015-0003>
5. Klemiato, M., & Czubak, P. (2019). Control of the transport direction and velocity of the two-way reversible vibratory conveyor. *Archive of Applied Mechanics*, 89(7), 1359–1373. <https://doi.org/10.1007/s00419-018-01507-8>
6. Michalczyk, J., & Gajowy, M. (2023). Operational properties of vibratory conveyors of the antiresonance type. *Archives of Mining Sciences*. <https://doi.org/10.24425/122449>
7. Vrublevskiy, I. I. (1999). Vibratsiynyi dvomasovyi transporter-manipulator z nezalezhnymy pozdovzhnymy, poperechnymy ta vertykalnymy kolyvanniamy [Two-mass vibratory conveyor-manipulator with independent longitudinal, transverse, and vertical vibrations]. *Visnyk Derzhavnoho universytetu "Lvivska politekhnika"*, (371), 71–74.
8. Zhang, X., Wen, B., & Zhao, C. (2016). Theoretical study on synchronization of two exciters in a nonlinear vibrating system with multiple resonant types. *Nonlinear Dynamics*, 85(1), 141–154.
9. Żmuda, W., & Czubak, P. (2022). Investigations of the transport possibilities of a new vibratory conveyor equipped with a single electro-vibrator. *Transport Problems*, 17(4), 127–136. <https://doi.org/10.20858/tp.2022.17.4.11>

Received 19.03.2026
Accepted 23.03.2026
Published 31.03.2026

***Analytical study of the oscillatory regime of a vibratory conveyor
with two inertial vibrators***

The article considers a vibratory conveyor with two inertial vibrators rotating in opposite directions and investigates the specific features of the formation of its oscillatory regime. A design scheme of the system was developed with account taken of the translational motion of the trough center of mass in the horizontal and vertical directions, as well as the small angular rotation of the body, which made it possible to represent the working process in the form of a planar dynamic model. Analytical relationships were obtained for determining the components of centrifugal forces, the resultant exciting action, and the kinetic and potential energy of the system, taking into account both the translational and rotational motion of the working member. It is shown that under the synchronous antiphase operating mode of identical vibrators, a predominantly directed harmonic force is formed, and when its line of action passes through the center of mass, a stable translational motion of the conveyor is ensured. It was established that phase deviations caused by self-synchronization, differences in resistance torques, gravitational effects, and interaction with the conveyed material lead to the appearance of additional motion components, deterioration in transport uniformity, and may result in local material accumulation. The obtained results can be used for further analysis of the stability of the synchronous regime, evaluation of the permissible phase mismatch of the vibrators, and substantiation of the parameters of vibratory conveyors for transport and technological purposes.

Keywords: vibratory conveyor, inertial vibrator, unbalance, oscillatory regime, synchronization, phase mismatch, exciting force, dynamic model, bulk material.

Тікан Юрій Миколайович – аспірант кафедри галузевого машинобудування та мехатроніки, Національний університет «Полтавська політехніка ім. Юрія Кондратюка», Україна.

ORCID: <https://orcid.org/0009-0007-5547-1693>

Нестеренко Микола Миколайович – кандидат технічних наук, доцент, доцент кафедри галузевого машинобудування та мехатроніки, Національний університет «Полтавська політехніка ім. Юрія Кондратюка», Україна.

ORCID: <https://orcid.org/0000-0002-4073-1233>

Tikan Yurii – Postgraduate student of the Department of industrial mechanical engineering and mechatronics National University «Yuri Kondratyuk Poltava Polytechnic», Ukraine.

ORCID: <https://orcid.org/0009-0007-5547-1693>

Nesterenko Mykola - PhD (Tech), Associate Professor, Associate Professor of the Department of industrial mechanical engineering and mechatronics National University «Yuri Kondratyuk Poltava Polytechnic», Ukraine.

ORCID: <https://orcid.org/0000-0002-4073-1233>

МОДЕЛІ ШТУЧНОГО ІНТЕЛЕКТУ В ЗАДАЧІ МОНІТОРИНГУ ЕКОЛОГІЧНОГО СЕРЕДОВИЩА РЕГІОНУ

Анотація: У сучасних умовах інтенсивного антропогенного навантаження розробка та впровадження інтелектуальних систем регіонального екологічного моніторингу стає критично важливим завданням для забезпечення сталого розвитку територій. Проблема дослідження зумовлена високою нелінійністю та стохастичністю процесів розповсюдження забруднювачів, що робить традиційні статистичні методи аналізу малоефективними. Метою роботи є перехід від ретроспективної фіксації стану довкілля до предиктивного моделювання на основі обробки великих гетерогенних масивів даних. Методологія дослідження базується на використанні гібридної архітектури ConvLSTM для аналізу просторово-часових залежностей, графових нейронних мереж (GCN) для врахування топології мережі спостереження та адаптивного нейро-нечіткого виведення (ANFIS) для інтерпретації екологічних ризиків. У результаті експериментальної апробації підтверджено зниження середньої абсолютної похибки прогнозування концентрації забруднювачів на 15% та скорочення часу прийняття управлінських рішень на 40-50%. Наукова новизна роботи полягає у синтезі мультимодальної архітектури, яка вперше поєднує просторово-часову динаміку, топологічний аналіз зв'язків та нечітку логіку в межах єдиної інформаційної платформи, що створює підґрунтя для автоматизованого керування екологічними стратегіями регіону в реальному часі.

Ключові слова: штучний інтелект, екологічний моніторинг, інтелектуальні системи, глибоке навчання, предиктивна аналітика, нейронні мережі, гібридна архітектура ConvLSTM, нечітка логіка.

Вступ. Проблема збереження екологічної рівноваги в умовах інтенсивної індустріалізації та глобальних кліматичних змін набуває сьогодні критичного значення для забезпечення сталого розвитку територіальних одиниць. Сучасні регіональні екосистеми піддаються складному антропогенному впливу, який характеризується високим ступенем нелінійності та стохастичності процесів розповсюдження забруднювачів у різних геофізичних середовищах. Традиційні підходи до моніторингу довкілля, які десятиліттями базувалися на дискретних замірах та лінійних статистичних моделях, наразі фактично вичерпали свій ресурс точності та прогностичної здатності. Основний недолік класичних методів полягає в їхній неспроможності адекватно реагувати на раптові техногенні викиди, а також у неможливості повноцінно врахувати складну топо-

графію міської забудови чи синергетичний ефект, що виникає при взаємодії різноманітних хімічних сполук в атмосфері.

Цифрова трансформація екологічного менеджменту вимагає кардинально нових інструментів, якими стають методи штучного інтелекту (ШІ), здатні ідентифікувати приховані закономірності у колосальних масивах гетерогенних даних. Необхідність переходу від простої констатації поточного стану довкілля до предиктивного аналізу зумовлює актуальність розробки автономних інтелектуальних систем. Такі системи мають забезпечувати органи місцевого самоврядування та кризові центри верифікованими даними для оперативного прийняття управлінських рішень у сфері екологічної безпеки.

Постановка проблеми. Враховуючи складність та багатофакторність процесів, що відбуваються в екологічному середовищі регіону, формалізація задачі інтелектуального моніторингу вимагає системного підходу до інтеграції різнорідних джерел інформації та побудови прогностичних моделей. Основна проблема полягає у необхідності перетворення первинних спостережень, отриманих від територіально розподіленої мережі сенсорів, у верифіковані оцінки поточного стану та достовірні прогнози майбутніх змін показників забруднення. Об'єктом дослідження виступає динаміка концентрацій забруднюючих речовин в атмосферному повітрі регіону, яка визначається як сукупністю постійних антропогенних викидів, так і мінливими метеорологічними параметрами, такими як швидкість вітру, температура, вологість та атмосферний тиск.

Математично задача моніторингу може бути сформульована як знаходження оператора відображення, що на основі багатовимірного вектора ознак у попередні моменти часу дозволяє з мінімальною похибкою визначити стан системи у майбутньому. В умовах реального функціонування моніторингових мереж виникає додаткове завдання попередньої обробки даних, яке включає ідентифікацію та усунення аномалій, заповнення пропусків у часових рядах та нормалізацію показників. Це вимагає розробки алгоритмів інтелектуальної фільтрації, здатних диференціювати природні сплески концентрацій від технічних збоїв вимірювального обладнання.

Особлива увага в постановці задачі приділяється врахуванню просторової структури регіону. Оскільки пости спостереження розташовані нерівномірно, виникає необхідність моделювання взаємозв'язків між ними, що формалізується через представлення мережі у вигляді графа. У цьому контексті задача прогнозування трансформується у задачу навчання на графах, де цільовою функцією є мінімізація відхилення прогнозованих значень від фактичних по всій сукупності вузлів системи. Окрім кількісного прогнозування, критично важливим є етап семантичної інтерпретації результатів. Це передбачає перехід від неперервних числових значень до лінгвістичних оцінок екологічного ризику, що забезпечує зрозумілість висновків ШІ для прийняття управлінських рішень.

Таким чином, узагальнена задача дослідження полягає у розробці та програмній реалізації гібридної інтелектуальної моделі, яка здатна в режимі реального часу опрацьовувати потоки великих даних, виявляти приховані просторово-часові закономір-

ності розповсюдження забруднювачів та формувати адаптивні сценарії реагування на основі методів глибокого навчання та нечіткої логіки. Критерієм ефективності розв'язання поставленої задачі виступає максимізація точності прогнозу за одночасного забезпечення інтерпретованості отриманих результатів та мінімізації часу обчислювальної складності системи.

Аналіз останніх досліджень і публікацій. Дослідження в галузі інтелектуалізації екологічного моніторингу пройшли тривалий шлях трансформації, що відображає загальний розвиток методів штучного інтелекту. Аналіз вітчизняних та закордонних джерел дозволяє класифікувати існуючі розробки за кількома ключовими напрямками: прогнозування часових рядів, просторовий аналіз, обробка даних дистанційного зондування та системи підтримки прийняття рішень.

Перші спроби прогнозування стану атмосферного повітря базувалися на авторегресійних моделях та методах експоненціального згладжування. Проте у фундаментальній праці [2] вказували на обмеженість цих методів при роботі з нелінійними концентраціями забруднювачів. Суттєвий прогрес відбувся з впровадженням нейронних мереж прямого поширення (MLP), які, згідно з дослідженням [6], продемонстрували здатність апроксимувати складні атмосферні процеси значно краще за статистичні аналоги.

З початком ери глибокого навчання фокус дослідників змістився на рекурентні нейронні мережі (RNN). Проте класичні RNN страждають від проблеми затухання градієнта, що робить їх непридатними для довгострокового прогнозування. Вирішенням стало впровадження архітектури LSTM (Long Short-Term Memory), яка сьогодні вважається стандартом для екологічного моніторингу завдяки здатності враховувати накопичувальний ефект забруднення [7]. У роботі [4] підтверджують перевагу нейронних мереж над ансамблевими методами на кшталт Random Forest у задачах з високою часовою динамікою.

Одним із найбільш складних аспектів екологічного моніторингу є врахування просторових зв'язків. Традиційні методи інтерполяції, такі як кригінг або метод обернених зважених відстаней (IDW), не враховують фізичну природу перенесення повітряних мас. Автори дослідження [9] запропонували використовувати згорткові нейронні мережі (CNN) для аналізу просторових структур. Однак CNN працюють з регулярними сітками (зображеннями), тоді як датчики моніторингу розташовані хаотично.

Це призвело до появи нового класу моделей – графових нейронних мереж (GNN). Робота [8] щодо напівкерованого навчання на графах стала основою для розробок у сфері «Smart city». Дослідники адаптували GNN для екологічних задач, де вузли графа представляють станції моніторингу, а ваги ребер визначаються не лише відстанню, а й вектором пануючих вітрів. Це дозволило моделювати «ефект доміно», коли забруднення від одного індустріального вузла послідовно проходить через сусідні райони.

Важливим джерелом даних для регіонального моніторингу є супутникові знімки (Sentinel-2, Landsat). Наукові публікації останніх років, зокрема роботи [3] зосереджені на використанні архітектур сегментації зображень (наприклад, U-Net) для виявлення

екологічних порушень. Автори доводять, що інтеграція супутникових даних з наземними вимірюваннями дозволяє створювати карти забруднення з роздільною здатністю до 10 метрів.

Дослідження у галузі «Computer vision for ecology» розкривають потенціал використання трансформерів (Vision Transformers – ViT) для класифікації типів земної поверхні та ідентифікації зон термічного забруднення [1]. Це дозволяє автоматизувати процес виявлення лісових пожеж та несанкціонованих викидів у водойми, що раніше вимагало значних людських ресурсів для візуального аналізу.

Згідно з дослідженням [12] та сучасними інтерпретаціями в екології, нечітка логіка дозволяє оперувати поняттями «екологічний ризик» та «якість життя», які не мають чітких числових меж. Робота [10] верифікує гіпотезу про те, що синергія предиктивної потужності рекурентних нейронних мереж архітектури LSTM з апаратом логічного виведення за алгоритмом Мамдані забезпечує функціонування інтелектуальних систем підтримки прийняття рішень з високим рівнем інтерпретованості. Інтеграція зазначених методів дозволяє трансформувати складні кількісні прогнози у верифіковані категоріальні висновки, адаптовані для використання в державному секторі та доступні для сприйняття широкими верствами громадськості.

Незважаючи на значну кількість наявних публікацій, системний аналіз наукових публікацій дозволяє виявити низку прогалин, що стримують розвиток галузі. Першочерговою постає проблема гетерогенності вхідних даних, оскільки переважна більшість існуючих моделей оптимізована під роботу з одним типом інформації, наприклад, виключно з показниками хімічного складу повітря або даними дистанційного зондування Землі. На сучасному етапі відчувається недостатність досліджень, присвячених мультимодальному навчанню, у межах якого система могла б здійснювати синхронний аналіз хімічних параметрів, метеорологічних чинників та відеопотоків у реальному часі. При цьому дослідження у сфері периферійного штучного інтелекту для вирішення екологічних завдань наразі перебувають лише на початковій стадії формування.

Мета дослідження. Метою дослідження є обґрунтування та розробка комплексної архітектури інтелектуальної системи моніторингу регіонального рівня, яка базується на використанні гібридних нейромережових моделей.

Для досягнення поставленої мети визначено низку завдань, що включають систематизацію джерел екологічної інформації, дослідження ефективності спеціалізованих архітектур нейронних мереж для аналізу динамічних часових рядів, а також розробку моделей просторового аналізу на основі графових структур. Окремим завданням виступає обґрунтування застосування апарату нечіткої логіки як інструменту для інтерпретації результатів моделювання та синтезу управлінських рішень.

Виклад основного матеріалу. Проектування інтелектуальної системи моніторингу екологічного середовища регіону базується на принципах системного аналізу та багаторівневої обробки гетерогенних даних. В основі методології лежить створення гібридного обчислювального ядра, яке здатне опрацьовувати динамічні часові ряди

(динаміка викидів), просторові структури (географічне поширення) та семантичні правила (експертна оцінка).

Ефективність моделей штучного інтелекту залежить від якості вхідних даних. На регіональному рівні дані надходять із трьох основних джерел: стаціонарні сенсорні мережі (дані $PM_{2.5}$, PM_{10} , NO_2 , O_3 , SO_2), метеорологічні станції (температура, вологість, швидкість та напрямок вітру, атмосферний тиск) та супутникові системи дистанційного зондування.

Зважаючи на те, що прогнозний потенціал моделей безпосередньо корелює з якісними характеристиками вхідної вибірки, базовий етап запропонованої методології передбачає процедуру інтелектуальної детекції аномалій із застосуванням шумопригнічуючих автокодувальників (Denoising Autoencoders, DAE). Математично цей процес описується функцією кодування

$$h = \sigma(W \cdot \tilde{x} + b)$$

та функцією декодування

$$\hat{x} = \sigma'(W' \cdot h + b'),$$

де \tilde{x} – зашумлений вхід, а \hat{x} – відновлений чистий сигнал. Такий підхід дозволяє системі автоматично коригувати помилкові сплески сенсорів, що працюють у агресивному середовищі.

Для безпосереднього предиктивного моделювання концентрації забруднювачів на часовий горизонт до 24 годин обрано архітектуру ConvLSTM, яка поєднує властивості згорткових мереж для виділення локальних ознак та рекурентних мереж для аналізу часових залежностей. Рівняння внутрішньої динаміки моделі описують механізм функціонування вхідного (i_t), забуваючого (f_t) та вихідного (o_t) вентилів, а також процес рекурентного оновлення вектора стану комірки пам'яті C_t . Ця трансформація реалізується через комбінацію операцій просторової згортки (*), що відповідають за екстракцію локальних ознак, та поелементного множення Адамара (\circ), яке регулює інтенсивність потоків інформації та забезпечує довготривалу стабільність градієнтів:

$$\begin{aligned} i_t &= \sigma(W_{xi} * X_t + W_{hi} * H_{t-1} + W_{ci} \circ C_{t-1} + b_i), \\ f_t &= \sigma(W_{xf} * X_t + W_{hf} * H_{t-1} + W_{cf} \circ C_{t-1} + b_f), \\ C_t &= f_t \circ C_{t-1} + i_t \circ \tanh(W_{xc} * X_t + W_{hc} * H_{t-1} + b_c), \\ o_t &= \sigma(W_{xo} * X_t + W_{ho} * H_{t-1} + W_{co} \circ C_t + b_o), \\ H_t &= o_t \circ \tanh(C_t), \end{aligned}$$

де σ – сигмоїда, використовується для стиснення значень у діапазоні $[0,1]$ (регуляція потоку), а гіперболічний тангенс \tanh – для нормалізації значень стану комірки пам'яті.

Застосування даної моделі забезпечує одночасну апроксимацію часової динаміки забруднення в локальному пункті спостереження та оцінювання транскордонного впливу суміжних зон. Це реалізується шляхом інтеграції оператора згортки, який математично імітує фізичні процеси дифузії та адвекції повітряних мас, дозволяючи враховувати просторову когерентність показників.

Просторовий аналіз регіональної системи моніторингу реалізується через представлення мережі як неорієнтованого графа $G = (V, E)$, де вузли – це пости спостереження, а зв'язки визначаються географічною близькістю та повітряними потоками. Для розрахунку впливу віддалених джерел забруднення застосовано Graph Convolutional Networks (GCN). Процес оновлення стану вузла на кожному шарі l нейронної мережі

виглядає наступним чином:

$$H^{(l+1)} = \sigma(\tilde{D}^{-1/2} \tilde{A} \tilde{D}^{-1/2} H^{(l)} W^{(l)}),$$

де \tilde{A} – матриця суміжності графа з доданими петлями самозв'язку, а \tilde{D} – діагональна

матриця ступенів вузлів. Такий підхід дозволяє системі автоматично перерозподіляти ваги впливу: система надає пріоритет даним з постів, що знаходяться з навітряного боку відносно джерел викидів.

Оскільки числові результати нейронних мереж часто є неінформативними для державних управлінців, методологія передбачає використання нейро-нечіткої системи ANFIS для перетворення прогнозів у категоріальні оцінки ризику. Процес включає фазифікацію чітких значень у функції належності, застосування бази логічних правил та дефазифікацію за методом центру тяжіння для розрахунку інтегрального індексу екологічного стану.

Для моніторингу лісових масивів та водних ресурсів регіону використовується підсистема комп'ютерного зору на базі архітектури U-Net. Алгоритм проводить піксельну класифікацію супутникових знімків у мультиспектральному діапазоні. Особлива увага приділяється розрахунку вегетаційних індексів (NDVI):

$$NDVI = \frac{NIR - Red}{NIR + Red}$$

де NIR – відображення в ближньому інфрачервоному спектрі. Зниження цього індексу, виявлене нейронною мережею в динаміці, сигналізує про деградацію екосистеми ще до появи видимих ознак загибелі рослинності.

Архітектура розробленої інтелектуальної системи моніторингу екологічного середовища регіону базується на багаторівневій концепції обробки інформації, що забезпечує наскрізний цикл від первинного збору даних до формування управлінських стратегій (рис. 1). Фундаментальний рівень системи становить модуль мультимодального збору даних, який акумулює потоки інформації з розподіленої мережі газоаналізаторів, метеорологічних станцій та систем дистанційного зондування, формуючи гетерогенний масив вхідних параметрів. Для забезпечення високої якості вхідної вибірки реалізовано блок інтелектуальної фільтрації, побудований на базі шумопригнічуючих автоенко-

дерів (Denoising Autoencoders). Цей етап критично важливий для автоматичного розпізнавання та усунення артефактів, викликаних технічними збоями сенсорів або зовнішніми перешкодами, що дозволяє реконструювати справжній стан середовища у стисненому латентному просторі.

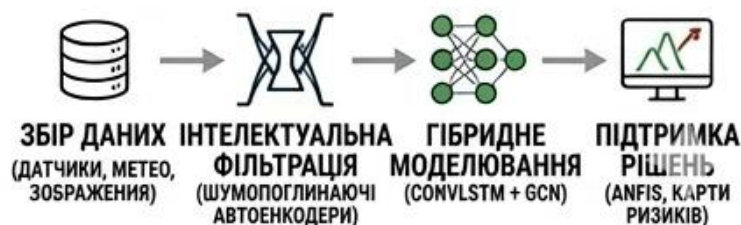


Рисунок 1 – Архітектура системи моніторингу екологічного середовища регіону

Центральне аналітичне ядро системи представлено модулем гібридного моделювання, що інтегрує архітектури ConvLSTM та графові нейронні мережі (GCN). Використання ConvLSTM дозволяє одночасно враховувати просторову морфологію регіону через згорткові шари та інерційність екологічних процесів через рекурентні блоки, тоді як апарат GCN моделює топологічну зв'язність моніторингової мережі як складного графа, де вузли відповідають станціям, а ребра – динамічним шляхам переносу повітряних мас. Завершальний рівень архітектури фокусується на підтримці прийняття рішень через інтеграцію системи адаптивного нейро-нечіткого виведення (ANFIS). Цей механізм забезпечує високу інтерпретованість результатів моделювання, трансформуючи складні нейромережеві прогнози у верифіковані карти ризиків та лінгвістичні категорії, зрозумілі для операторів екологічних служб. Такий цілісний архітектурний підхід гарантує не лише високу точність предиктивного аналізу, а й оперативність реакції на критичні зміни екологічного стану агломерації.

Експериментальна апробація розробленої гібридної методології здійснювалася на базі реальних даних, отриманих через відкриті API-інтерфейси мереж моніторингу EcoCity та SaveEcoBot [5,11], а також верифіковані за допомогою архівних звітів Центральної геофізичної обсерваторії імені Бориса Срезневського [13]. Для навчання та валідації інтелектуальних моделей було сформовано репрезентативну вибірку обсягом понад 500000 записів, що охоплювала метеорологічні параметри та концентрації ключових забруднювачів за кількарічний період. Такий масштаб вхідних даних дозволив забезпечити високу узагальнюючу здатність нейромережевих архітектур та мінімізувати ризик перенавчання.

Аналіз кількісних показників ефективності продемонстрував значну перевагу гібридної моделі ConvLSTM над традиційними рекурентними структурами. Для оцінки предиктивної здатності на шестигодинному горизонті прогнозування використовується функція втрат на основі середньої абсолютної помилки (MAE):

$$MAE = \frac{1}{n} \sum_{i=1}^n |y_i - \hat{y}_i|,$$

де y_i – реальна концентрація газу, а \hat{y}_i – значення, згенеровано моделлю. Зокрема, при прогнозуванні концентрації діоксиду азоту (NO_2) було зафіксовано середню абсолютну

помилку на рівні 3.2 мкг/м^3 . Порівняльний аналіз із базовими моделями довгострокової короткочасної пам'яті (LSTM) засвідчив покращення точності прогнозу на 15%. Це досягається завдяки здатності запропонованої архітектури одночасно опрацьовувати часову динаміку та просторові кореляції, що дозволяє більш точно моделювати короткочасні сплески забруднення, спричинені зміною інтенсивності транспортних потоків або метеорологічних умов.

Особливу цінність роботи становлять результати, отримані в ході застосування графових нейронних мереж (GCN). Аналіз топологічних зв'язків та ваг у графовій структурі дозволив підтвердити гіпотезу про наявність «каньйонного ефекту» в умовах щільної міської забудови. Штучний інтелект ідентифікував специфічні зони застою повітряних мас, де концентрація токсичних речовин залишається стабільно високою навіть при посиленні вітру. Важливо зазначити, що ці зони раніше не фіксувалися традиційними методами інтерполяції через обмежену щільність мережі фізичних датчиків. Виявлення таких мікролокацій дозволяє точніше оцінювати ризики для здоров'я населення у конкретних кварталах міста.

Кінцевим прикладним продуктом дослідження є розробка рекомендацій щодо оптимізації регіональної системи екологічного моніторингу. На основі отриманих інтелектуальних карт інформативності було переглянуто схему розміщення постів спостереження (рис. 2). Використання аналітичного інструментарію ШІ дозволило довести, що за рахунок стратегічно вивіреного розташування датчиків у вузлових точках графа можна зменшити загальну кількість нових постів на 12% без втрати репрезентативності та інформативності покриття. Це не лише підвищує економічну ефективність системи моніторингу, але й забезпечує створення максимально деталізованого цифрового профілю екологічного стану регіону, що є критично важливим для оперативного реагування на надзвичайні ситуації.



Рисунок 2 – Карта агломерації та граф зв'язків (представлення GCN)

Реалізація комплексної системи екологічного моніторингу регіону на базі штучного інтелекту вимагає створення масштабованої та відмовостійкої ІТ-інфраструктури. Основною вимогою до програмно-технічного комплексу є здатність обробляти високо-частотні потоки даних (Streaming Data) у режимі реального часу та забезпечувати високу швидкість навчання моделей на великих масивах даних.

Висновки. Результати дослідження дозволяють констатувати, що інтеграція методів штучного інтелекту в регіональні системи екологічного моніторингу виступає не лише вагомим технологічним вдосконаленням, а й фундаментальною зміною парадигми в управлінні довкіллям. Наукова новизна отриманих результатів сконцентрована у розробці мультимодальної архітектури, яка вперше забезпечує синергетичне поєднання алгоритмів ConvLSTM для фіксації просторово-часової динаміки забруднювачів, графових нейронних мереж для врахування топологічної зв'язності та взаємозалежностей постів спостереження, а також нейро-нечітких моделей для змістовної інтерпретації отриманих даних у категоріях управлінського ризику.

Практична значущість роботи підтверджується створенням функціонального прототипу інтелектуальної системи, що демонструє стійкість до неповних або зашумлених даних, які є типовими для реальних екологічних мереж. Впровадження запропонованого рішення в діяльність органів місцевого самоврядування створює умови для суттєвого зниження часу реакції на надзвичайні ситуації техногенного характеру – у межах 40-50%, – одночасно забезпечуючи населення верифікованими та достовірними прогнозами стану навколишнього природного середовища.

Перспективи подальших наукових розвідок у даному напрямі пов'язані з адаптацією методів навчання з підкріпленням для автоматизації процесів рекультивації територій та стратегічної оптимізації роботи очисних споруд у ключових промислових вузлах регіону на основі предиктивних аналітичних даних, генерованих розробленою системою моніторингу. Таким чином, результати дослідження закладають підґрунтя для переходу до адаптивного та високоточного екологічного менеджменту на основі даних.

ЛІТЕРАТУРА

1. A machine learning method to estimate PM_{2.5} concentrations across China with remote sensing, meteorological and land use information / G. Chen, S. Li, L. D. Knibbs et al. The Science of the total environment. 2018. Vol. 636. P. 52-60. DOI: 10.1016/j.scitotenv.2018.04.251.
2. Box G. E. P., Jenkins G. M. Time series analysis: Forecasting and control. San Francisco: Holden-Day, 1970. 553 p.
3. Deep learning classification of land cover and crop types using remote sensing data / N. Kussul, M. Lavreniuk, S. Skakun, A. Shelestov. IEEE Geoscience and Remote Sensing Letters. 2017. Vol. 14, No. 5. P. 778-782. DOI: 10.1109/LGRS.2017.2681128.
4. Deep learning for air quality prediction: A comparative study / Y. Mao, A. Fang, Z. Chen, Y. Zheng. 2023 5th International Academic Exchange Conference on Science and Technology Innovation (IAECST). 2023. P. 1109-1114. DOI: 10.1109/IAECST60924.2023.10503030.
5. EcoCity. Про нас. URL: <https://reborn.eco-city.org.ua/about>.

6. Gardner M. W., Dorling S. R. Artificial neural networks (the multilayer perceptron) – a review of applications in the atmospheric sciences. *Atmospheric Environment*. 1998. Vol. 32, No. 14-15. P. 2627-2636. DOI: 10.1016/S1352-2310(97)00447-0.
7. Hochreiter S., Schmidhuber J. Long short-term memory. *Neural Computation*. 1997. Vol. 9, No. 8. P. 1735-1780. DOI: 10.1162/neco.1997.9.8.1735.
8. Kipf T. N., Welling M. Semi-supervised classification with graph convolutional networks. arXiv. 2016. DOI: 10.48550/arXiv.1609.02907.
9. Li P., Zhang T., Jin Y. A spatio-temporal graph convolutional network for air quality prediction. *Sustainability*. 2023. Vol. 15, No. 9. Art. 7624. DOI: 10.3390/su15097624.
10. Long short-term memory (LSTM) neural network and adaptive neuro-fuzzy inference system (ANFIS) approach in modeling renewable electricity generation forecasting / M. Bilgili, A. Yıldırım, A. Ozbek et al. *International Journal of Green Energy*. 2020. Vol. 18, No. 2. P. 163-179. DOI: 10.1080/15435075.2020.1865375.
11. SaveEcoBot. Карта якості повітря в Україні. URL: <https://www.saveecobot.com/>.
12. Zadeh L. A. Is there a need for fuzzy logic? *Information Sciences*. 2008. Vol. 178, No. 13. P. 2751-2779. DOI: 10.1016/j.ins.2008.02.012.
13. Центральна геофізична обсерваторія імені Бориса Срезневського: офіційний веб-сайт. URL: <https://cgo-sreznevskiy.kyiv.ua/uk/>.

REFERENCES

1. Chen, G., Li, S., Knibbs, L. D., Hamm, N. A. S., Cao, W., Li, T., Guo, J., Ren, H., Abramson, M. J., & Guo, Y. (2018). A machine learning method to estimate PM_{2.5} concentrations across China with remote sensing, meteorological and land use information. *The Science of the total environment*, 636, 52-60. <https://doi.org/10.1016/j.scitotenv.2018.04.251>.
2. Box, G. E. P., & Jenkins, G. M. (1970). *Time series analysis: Forecasting and control*. Holden-Day, San Francisco.
3. Kussul, N., Lavreniuk, M., Skakun, S., & Shelestov, A. (2017). Deep learning classification of land cover and crop types using remote sensing data. *IEEE Geoscience and Remote Sensing Letters*, 14(5), 778-782. <https://doi.org/10.1109/LGRS.2017.2681128>.
4. Mao, Y., Fang, A., Chen, Z., & Zheng, Y. (2023). Deep learning for air quality prediction: A comparative study. In *2023 5th International Academic Exchange Conference on Science and Technology Innovation (IAECST)*, 1109-1114. <https://doi.org/10.1109/IAECST60924.2023.10503030>.
5. EcoCity. *About us*. <https://reborn.eco-city.org.ua/about>.
6. Gardner, M. W., & Dorling, S. R. (1998). Artificial neural networks (the multilayer perceptron) – a review of applications in the atmospheric sciences. *Atmospheric Environment*, 32(14-15), 2627-2636. [https://doi.org/10.1016/S1352-2310\(97\)00447-0](https://doi.org/10.1016/S1352-2310(97)00447-0).
7. Hochreiter, S., & Schmidhuber, J. (1997). Long short-term memory. *Neural Computation*, 9(8), 1735-1780. <https://doi.org/10.1162/neco.1997.9.8.1735>.
8. Kipf, T. N., & Welling, M. (2016). Semi-supervised classification with graph convolutional networks. arXiv. <https://doi.org/10.48550/arXiv.1609.02907>.
9. Li, P., Zhang, T., & Jin, Y. (2023). A spatio-temporal graph convolutional network for air quality prediction. *Sustainability*, 15(9), 7624. <https://doi.org/10.3390/su15097624>.

10. Bilgili, M., Yıldırım, A., Ozbek, A., Ekinçi, F., & Celebi, K. (2020). Long short-term memory (LSTM) neural network and adaptive neuro-fuzzy inference system (ANFIS) approach in modeling renewable electricity generation forecasting. *International Journal of Green Energy*, 18(2), 163-179. <https://doi.org/10.1080/15435075.2020.1865375>.
11. SaveEcoBot. *Air quality map of Ukraine*. <https://www.saveecobot.com/>.
12. Zadeh, L. A. (2008). Is there a need for fuzzy logic? *Information Sciences*, 178(13), 2751-2779. <https://doi.org/10.1016/j.ins.2008.02.012>.
13. The Boris Sreznevsky Central Geophysical Observatory. URL: <https://cgo-sreznevskiy.kyiv.ua/uk/>

Received 19.03.2026
Accepted 23.03.2026
Published 31.03.2026

Artificial intelligence models for regional environmental monitoring

This article examines the development and implementation of intelligent environmental monitoring systems at the regional level, which is essential for ensuring the sustainable development of territories under intensive anthropogenic pressure. Modern regional ecosystems are subject to complex influences characterized by high non-linearity and stochasticity in pollutant dispersion, rendering traditional statistical methods insufficient. Consequently, the research focus shifts from mere data recording toward predictive analysis based on processing large heterogeneous datasets using deep learning techniques.

The central element of the proposed approach is the deployment of a hybrid ConvLSTM architecture, which merges convolutional layers for spatial feature extraction with recurrent blocks for analyzing long-term temporal dependencies, enabling high-precision modeling of physical diffusion and air mass transport. A distinctive feature of this research is the representation of the regional monitoring network as a graph structure, facilitating the application of Graph Convolutional Networks (GCN) to account for topological connectivity and interactions between individual sensors.

To enhance results interpretability and streamline managerial decision-making, an Adaptive Neuro-Fuzzy Inference System (ANFIS) is integrated, transforming complex numerical forecasts into intelligible environmental risk categories. Experimental validation demonstrated superior performance, specifically achieving a 15% reduction in the Mean Absolute Error (MAE) for nitrogen dioxide concentration forecasting. Practical implementation enables a 40-50% reduction in decision-making time during emergencies. The scientific novelty lies in the synthesis of a multimodal architecture that combines spatial-temporal dynamics, topological graph analysis, and fuzzy risk assessment within a unified platform.

Keywords: artificial Intelligence, environmental monitoring, intelligent systems, deep learning, predictive analytics, neural networks, hybrid ConvLSTM architecture, fuzzy logic.

Морохович Богдан Васильович – аспірант кафедри програмного забезпечення систем ДВНЗ «Ужгородський національний університет».

ORCID: <https://orcid.org/0000-0002-3498-6547>

Morokhovych Bohdan Vasylovych – Ph.D. student, Department of Software Systems, Uzhhorod National University.

ORCID: <https://orcid.org/0000-0002-3498-6547>

**IMPROVING THE SENSITIVITY AND RELIABILITY OF GRAYSCALE LOW-
CONTRAST IMAGES SEGMENTATION BASED ON THE ITERATIVE
APPLICATION OF TYPE-2 FUZZY TRANSFORMATIONS**

Annotation. When processing images, one of the most difficult tasks is their segmentation, which is due to the lack of a priori information about the presence, objects of interest shape and location, the presence of low-contrast areas in which the sought-after objects of interest may be partially or completely located, noise, image blur and other factors. Currently, one of the common approaches to solving this problem is various algorithms based on the applying of type-1 and type-2 fuzzy sets usage. This paper proposes to improve the sensitivity and reliability of the iterative algorithm for segmentation of grayscale images by changing the membership functions calculating method, as well as reducing the number of control parameters. Experimental results are presented using the example of segmentation of real grayscale medical images.

Keywords: low-contrast images, fuzzy methods, visual analysis, membership function, segmentation, fuzzy sets of type-1, fuzzy sets of type-2.

Introduction. Currently, the fuzzy sets usage allows us to significantly increase the efficiency of algorithms in solving various problems related to image processing [1, 2]. In particular, when performing the image segmentation task, which is traditionally considered the most complex and ambiguous operation, fuzzy logic allows one to take into account both the uncertainty factors associated with the system of their formation (measurement error, noise, resolution), and with the inaccuracy of information about the objects of interest, where the boundaries of the objects are blurred or noisy (for example, in medicine).

Statement of the problem. The purpose of this article is to demonstrate the possibility of improving the sensitivity and reliability of low-contrast grayscale images segmentation in a method with iterative application of fuzzy transformations by changing the way for calculating type-1 and type-2 membership functions, as well as reducing the number of control parameters.

Analysis. For images, the transition to a fuzzy space (fuzzification) is carried out on the basis of the original brightness values transformation into membership functions of fuzzy sets corresponding to the analyzed properties, for example, the gray level.

One of the possible ways to perform such a transformation is to use the fuzzy clustering algorithm FCM (Fuzzy C-Means) proposed by Bezdek in 1981 [4]. For each pixel, it allows us to obtain a set of membership functions, the number of which corresponds to the number of

clusters with different properties. For grayscale images, membership functions in numerical form (values from 0 to 1) represent the degree of uncertainty in the original brightness values of each pixel. The new multidimensional fuzzy feature space can be used to solve various image analysis problems [5]. In particular, segmentation is a visualization of the clustering results.

The application of type-2 fuzzy sets introduced by Zadeh [6] and algorithms using them (e.g. T2FCM presented by Rhee and Hwang [5]) extends the capabilities of type-1 fuzzy sets. Type-2 fuzzy sets reflect the concept of “fuzzy degree of membership” and provide the ability to describe fuzziness in a fuzzy set. Type-2 membership functions (MFT2) are generated based on type-1 fuzzy membership functions (MFT1) and are capable of modeling uncertainty in the solution, due to which the initial data are grouped more correctly and accurately [7, 8].

The disadvantage of FCM algorithms and most of its modifications based on the type-2 fuzzy sets usage is the need for an a priori the number of clusters assignment and the ambiguity of the defuzzification stage.

The number of clusters choice has a significant impact on the segmentation result, since it determines the level of detail of the result and, if the value is excessive, can lead to the formation of artifacts. Determining the optimal number of clusters value is a challenging task associated with the study of a priori data for each specific analyzed subject area and the problem being solved (for example, the number of components in materials science, tissues in medicine, objects in flaw detection).

Existing modifications of the FCM algorithm with automatic determination of the optimal number of clusters (for example, described in [9]) are characterized by lower operating speed and higher computational complexity. In addition, such methods often remain dependent on the correctness of the initial number of clusters, which reduces the degree of automation of the process.

When solving segmentation problems, this complexity can be minimized by moving from pixel-by-pixel analysis to analysis of image histogram characteristics. Histogram and local contrast methods are used as an alternative approach to reduce the load when moving into fuzzy space [10]. Unlike clustering, the calculation of the membership function here is based on a direct assessment of pixel brightness without using an iterative search for centroids. Although such methods are applicable to segmentation problems, the lack of adaptive modification of the membership function limits the ability to control the detail of the final result.

In the works [11, 12], an iterative algorithm for segmentation of grayscale low-contrast images was proposed based on type-1 and type-2 fuzzy sets usage, which doesn't require an a priori assignment of the number of fuzzy clusters and the calculation of the centroid matrix.

The main part. In this paper, a modification of the iterative segmentation algorithm [11, 12] is proposed, operating MFT1 and MFT2 without using the centroid matrix. The criteria for stopping the process are the specified training error (reflecting the change in MFT2 in adjacent iterations) and the number of cycles limitation. Changing the method for calculating MFT1 and MFT2 allowed us to reduce the number of control parameters, which simplified the algorithm adaptation to the brightness characteristics of the analyzed images.

In the presented algorithm, MFT1 is initially calculated based on the input data, and MFT2 is calculated as the difference between the “upper” u_h and “lower” u_l MFT1 (Fig. 1), which allows for a complete description of the MFT1 blur (FOU – the footprint of uncertainty). The values of u_h and u_l MFT1 are calculated based on the average of two different power transformations.

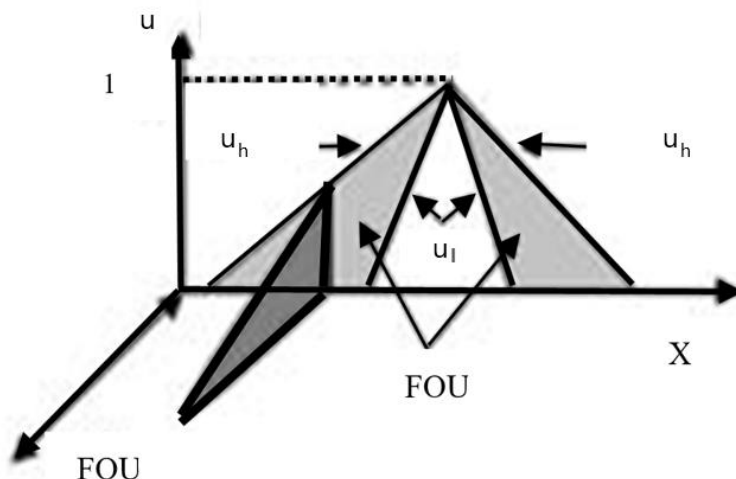


Figure 1 – Fuzzy sets of type-2: the boundaries of uncertainty

The algorithm of the modified method proposed in this paper contains the following steps:

1. Scaling the input grayscale image to the range $[0,1]$.
2. Calculation of the matrix u^0 MFT1 (the dimension $x_{\max} \times y_{\max}$ coincides with the input image) initial value based on the scaled image I obtained in the previous step:

$$u_{x,y}^0 = \left| \left(I_{x,y} \right)^{1-\text{sgn}(I_{x,y}-0.5)} \cdot \left(P_{x,y} \right)^{1+\text{sgn}(I_{x,y}-\bar{I})} P_{x,y} \right|, \quad (1)$$

$$P_{x,y} = (I_{x,y}) / (I_{x,y} + c_1), \quad (2)$$

$$c_1 = 0.5 + 1.25 \cdot C_u - (1 - C_u) \cdot \bar{I}, \quad (3)$$

$$C_u = \frac{\bar{I}}{(1 - \bar{I}) \cdot m_c}, \quad (4)$$

$$m_c = \left(\left(\frac{1}{\bar{I}_2} \right)^{-\bar{I}_1} \right)^{0.5+1.2 \cdot \bar{I}_2}, \quad (5)$$

$$\bar{I}_2 = (\bar{I}_1)^{1+0.1 \cdot \bar{I}_1}, \quad (6)$$

$$\bar{I}_1 = \frac{\max(\bar{I}, 0.5 - \bar{I}) + 0.5}{2}, \quad (7)$$

where \bar{I} is average on image I .

3. Calculation of the current matrix MFT2 (a^t), the dimension of which also coincides

with I , based on the difference between the u_h^t and u_l^t matrices of the current iteration as follows:

$$\left(u_{h1}^t\right)_{x,y} = \left(u^t\right)_{x,y}^{1-\left(u^t\right)_{x,y}} \left(u_1^t\right)_{x,y}^{-\operatorname{sgn}\left(\left(u_1^t\right)_{x,y}-0.5\right)} \left(u^t\right)_{x,y}^{1-\left(u^t\right)_{x,y}} - \frac{C_f}{2.5-\left(u_1^t\right)_{x,y}}, \quad (8)$$

$$\left(u_{l1}^t\right)_{x,y} = \left(u^t\right)_{x,y}^{1+\left(u^t\right)_{x,y}} \left(u_1^t\right)_{x,y}^{\operatorname{sgn}\left(\left(u_1^t\right)_{x,y}-0.5\right)} \left(u^t\right)_{x,y}^{1+\left(u^t\right)_{x,y}} + \frac{C_f}{1.5+\left(u_1^t\right)_{x,y}}, \quad (9)$$

$$\left(u_{h2}^t\right)_{x,y} = \left(u^t\right)_{x,y}^{C_f+0.25+\left(\overline{u^t}\right)^1+0.5-C_f} / \left(2+C_f\right), \quad (10)$$

$$\left(u_{l2}^t\right)_{x,y} = \left(u^t\right)_{x,y}^{C_f+0.5+\left(\overline{u^t}\right)^1+\left(\overline{u^t}\right)^1+0.5+C_f} / \left(2-C_f\right), \quad (11)$$

$$\left(u_1^t\right)_{x,y} = \frac{u_{x,y}^t + \left(\overline{u^t}\right)^1}{2}, \quad (12)$$

$$\left(\overline{u^t}\right)^1 = \left(u^t\right)^{1-\max\left(u^t, 1-u^t\right)}, \quad (13)$$

$$C_u' = \frac{\overline{u^t}}{C_u + \left(0.5 + u^t\right) / 2}, \quad (14)$$

$$C_f = \left(C_u'\right)^{1+C_u'} / \left(1.5 + \overline{u^t}\right), \quad (15)$$

$$\left(u_h^t\right)_{x,y} = \left(u_{h1}^t\right)_{x,y} + \left(u_{h2}^t\right)_{x,y} / 2, \quad (16)$$

$$\left(u_l^t\right)_{x,y} = \left(u_{l1}^t\right)_{x,y} + \left(u_{l2}^t\right)_{x,y} / 2, \quad (17)$$

where $\overline{u^t}$ is the average on current matrix MFT1 u^t (at the 1st iteration, the matrix u^0 is used, and on subsequent ones matrix u^{t-1} (obtained at the end of the previous iteration) is used).

4. Starting from the 2nd iteration of training:

4.1. The value Δ^t is calculated by the formula:

$$\Delta^t = \sum_{x=1}^{x_{\max}} \sum_{y=1}^{y_{\max}} \left| a_{x,y}^t - a_{x,y}^{t-1} \right|, \quad (18)$$

where a^t and a^{t-1} are MFT2 matrices current and previous iterations, respectively.

4.2. If the next condition is met:

$$\Delta^t \geq \Delta^{t-1}, \quad (19)$$

where Δ^{t-1} is the value, obtained by the formula (18) at the previous iteration (initially initialized with a very large number, unattainable in practice), then instead of the current values of the matrices a^t , u_l^t and u_h^t the values a^{t-1} , u_l^{t-1} and u_h^{t-1} , respectively, obtained at the

end of the previous iteration, are written and the learning process stops (go to step 7). This step is necessary to prevent the overfitting effect.

4.3. If the next condition is true:

$$\Delta^t < \varepsilon, \quad (20)$$

where ε is the specified training accuracy, the training process stops (go to step 7).

5. If the next condition is met:

$$t < t_{\max}, \quad (21)$$

where t_{\max} is maximal number of iterations, then the matrix u^{t+1} is calculated (by the formulas (1) – (7), in this case u^t and $\overline{u^t}$ are used instead of I and \overline{I} , accordingly), which is required for calculating the matrix a^t at the next iteration.

6. When condition (21) is met, the transition to the next training iteration occurs (step 3).

7. Matrix a^t , u_l^t and u_h^t values are scaled to the range $[0,1]$.

8. The matrix I^w is calculated by the formulas:

$$I_{x,y}^w = \left(u_h^t\right)_{x,y}^{1-\frac{a_{x,y}^t}{a_{x,y}^t+d_1}} - \left(u_l^t\right)_{x,y}^{1-\frac{a_{x,y}^t}{a_{x,y}^t+d_1}}, \quad (22)$$

$$d_1 = 2 + \overline{u_l^t}, \quad (23)$$

where $\overline{u_l^t}$ is the average on the matrix u_l^t , after that I^w is scaled to the range $[0,1]$ and interpreted as a grayscale image.

9. The output image I^{out} is formed based on the weighted sum as follows:

$$I_{x,y}^{out} = I_{x,y}^h \cdot C_{out} + I_{x,y}^a \cdot (1 - C_{out}), \quad (24)$$

$$C_{out} = \left(\overline{I^w} + \overline{u_l^t}\right) / 2, \quad (25)$$

where I^h and I^a are grayscale images resulting from the application of equalization and adaptive equalization of histogram methods (with a uniform transformation function) to the image I^w , accordingly, and $\overline{I^w}$ is the average on the image I^w .

The experimental results were obtained on the example of processing various medical images. Examples of such images are shown in Fig. 2a, 3a (Fig. 2b and 3b show their histograms). Figure 2a shows a tomogram of the brain taken for the purpose of diagnosing the presence of a hematoma and determining the area of its influence if detected (the area of interest is indicated by a rectangle). Fig. 3a shows an X-ray of the cervical spine.

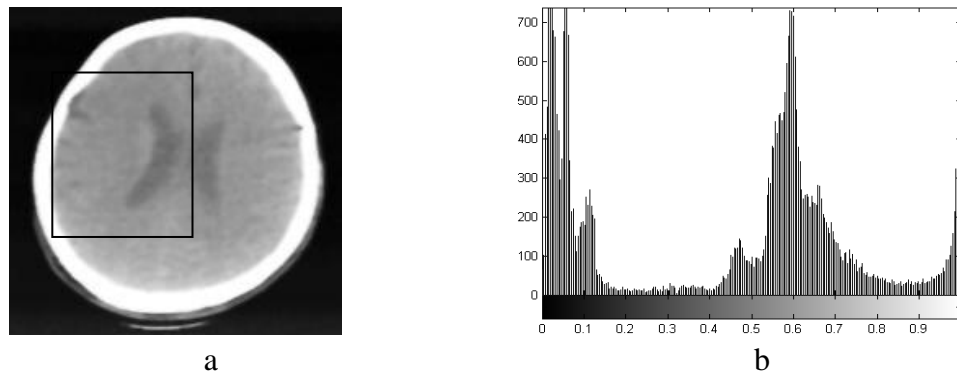


Figure 2 – X-ray tomography of the brain: a – original grayscale image (204x201);
b – its histogram

When conducting experiments using the proposed algorithm, the following control parameters were used: $\varepsilon = 0.035$, the maximal number of iterations was 12 (the number of training iterations practically did not exceed 4-5). Original image visualization after scaling it to the range $[0,1]$ was also carried out on the basis of formula (24), where $C_{out} = \bar{I}$.

Segmentation of the brain tomogram shown in Fig. 2a shows that the modified method (Fig. 4c) allows for a more precise identification of the hematoma's area of influence, as well as the overall brain structure, compared to the original method (Fig. 4b). Original image visualization based on formula (24) does not allow for a clear identification of the hematoma's area of influence (Fig. 4a).

Segmentation of the X-ray image shown in Fig. 3a using the proposed modified method also allows for a clearer identification of the cervical spine structure and parts of the skull (Fig. 5b) compared to the original method usage (Fig. 5a).

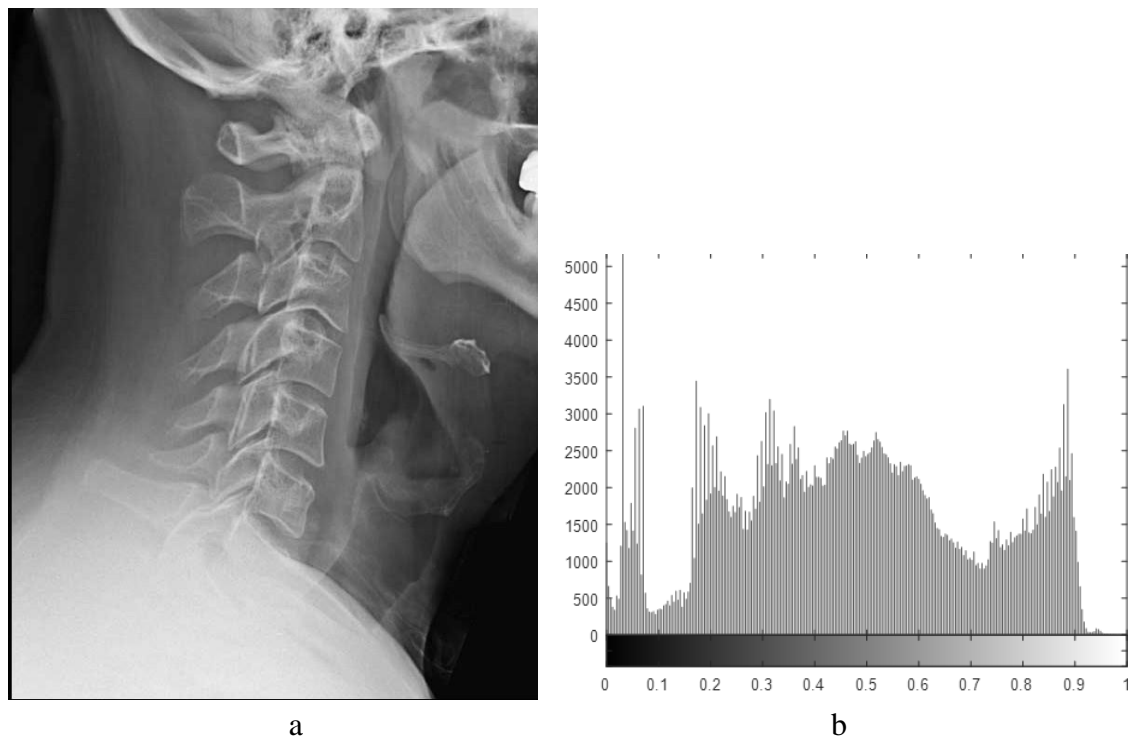


Figure 3 – X-ray image: a – original grayscale image (744x570); b – its histogram

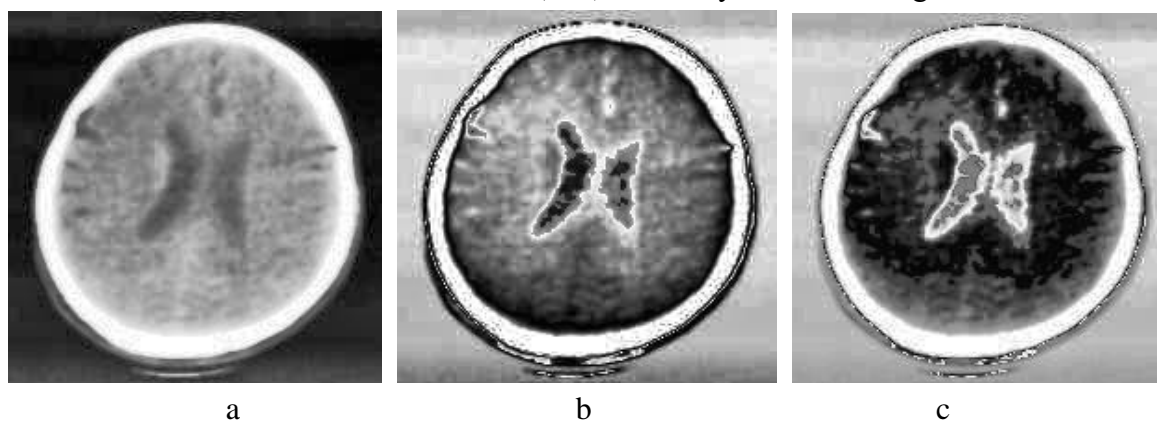


Figure 4 – Segmentation of the brain tomogram (Fig. 2a): a – original image visualization according to formula (24); b – by original and c – by modified methods

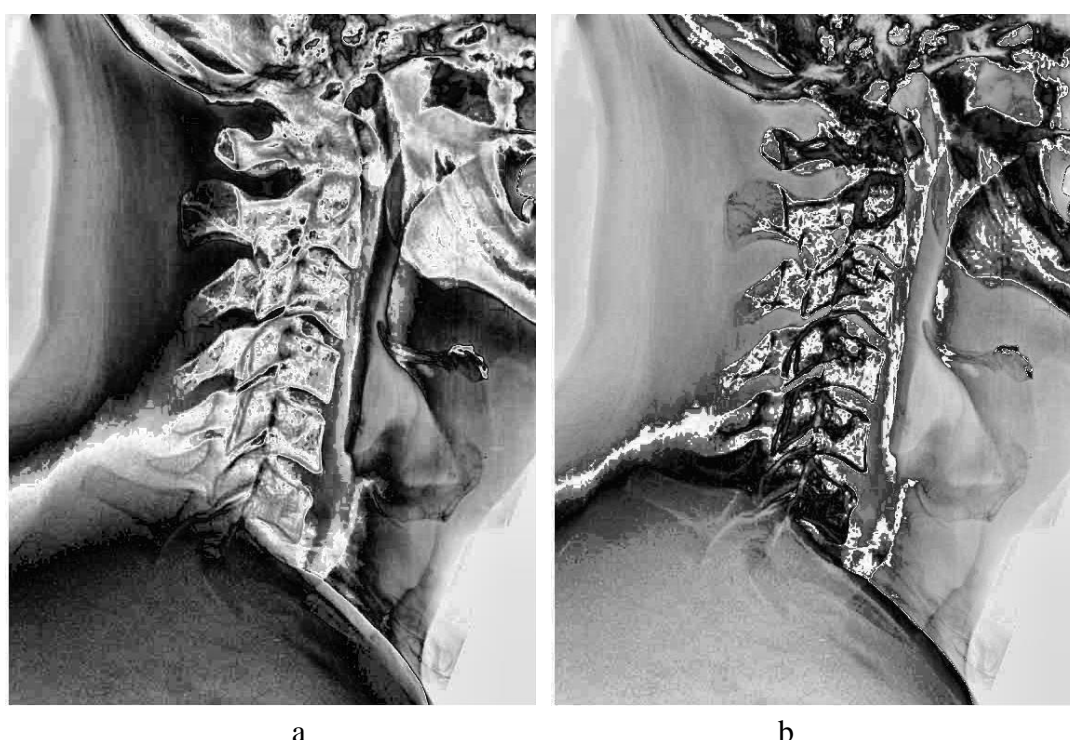


Figure 5 – Segmentation of X-ray image (Fig. 3a):
a – by original and b – by modified methods

Conclusions:

- the usage of the proposed modification allows for improved segmentation detail, providing a clearer identification of the areas of interest boundaries and the image internal structure in comparison with the basic algorithm;
- the modified method is characterized by a smaller number of control parameters, which simplifies its configuration and adaptation to specific tasks;
- a promising direction for further research is the development of new approaches to the formation of MFT1 and MFT2 to improve the algorithm's resistance to noise.

REFERENCES

1. Pehat, A. (2017). *Nechetkoe modelirovanie i upravlenie* (A. G. Podvesovsky & Yu. V. Tyumentsev, Trans.; Yu. V. Tyumentsev, Ed.). BINOM. Laboratoriya znaniy.
2. Chi, Z., Yan, H., & Pham, T. (1998). *Fuzzy algorithms: With applications to image processing and pattern recognition*. World Scientific.
3. Forsyth, D.A., & Ponce, J. (2025). *Computer vision: A modern approach* (2nd ed.). Pearson.
4. Bezdek, J.C. (1980). A convergence theorem for the fuzzy ISODATA clustering algorithms. *IEEE Transactions on Pattern Analysis and Machine Intelligence*, 2(1), 1–8. DOI:10.1109/TPAMI.1980.4766964.
5. Rhee, F. C. H., & Hwang, C. (2001). A type-2 fuzzy C-means clustering algorithm. In *Proceedings of the IFSA World Congress and 20th NAFIPS International Conference* (Vol. 4, pp. 1926–1929). DOI:10.1109/NAFIPS.2001.944361.
6. Zadeh, L. A. (1975). The concept of a linguistic variable and its application to approximate reasoning. *Information Sciences*, 8, 199–249. DOI: 10.1016/B978-0-12-714250-0.50014-0.
7. Aneja, D., & Rawat, T. K. (2013). Fuzzy clustering algorithms for effective medical image segmentation. *International Journal of Intelligent Systems and Applications*, 5(11), 55–61. DOI: 10.5815/ijisa.2013.11.06.
8. Akhmetshina, L., & Yegorov, A. (2021, April 27). Improvement of grayscale images in orthogonal basis of the type-2 membership function. In *Proceedings of the Fourth International Workshop on Computer Modeling and Intelligent Systems (CMIS-2021)* (pp. 465–474). Zaporizhzhia. – URL: <http://ceur-ws.org/Vol-2864/paper41.pdf>.
9. Yegorov, A., & Akhmetshina, L. (2015). *Optimizatsiya yarkosti izobrazheniy na osnove neyro-fazzi tekhnologiy*. Lambert Academic Publishing.
10. Hassanien, A., & Badr, A. (2003). A comparative study on digital mammography enhancement algorithms based on fuzzy theory. *Studies in Informatics and Control*, 12(1), 1–31.
11. Akhmetsina, L. G., & Yegorov, A. A. (2025). Segmentation of grayscale low-contrast images using fuzzy transforms of type-2. *Systemni tekhnolohii*, 1(156), 23–31. DOI 10.34185/1562-9945-1-156-2025-03.
12. Yegorov, A. A., & Nikishyna, O. Y. (2025). Enhanced sensitivity of grayscale image segmentation based on type-2 fuzzy transformations. In *Informatyka, upravlinnia ta shtuchnyi intelekt (IuShI-2025): Proceedings of the 12th International Scientific and Technical Conference* (p. 40). NTU “KhPI”.

ЛІТЕРАТУРА

1. Пегат А. Нечеткое моделирование и управление / пер. с англ. А. Г. Подвесовского, Ю. В. Тюменцева; под ред. Ю. В. Тюменцева. М.: БИНОМ. Лаборатория знаний, 2017. 798 с.
2. Chi Z., Yan H., Pham T. Fuzzy algorithms: With Applications to Image Processing and Pattern Recognition. Singapore; – New Jersey; – London; – Hong Kong: Word Scientific, 1998. 225 p.
3. Forsyth D. A., Ponce J. Computer Vision: A Modern Approach. 2nd ed. Harlow: Pearson, 2025. 792 p.

4. Bezdek J. C. A Convergence Theorem for The Fuzzy ISODATA Clustering Algorithms. IEEE Transaction On Pattern Analysis And Machine Intelligence. 1980. Vol. 2, № 1. P. 1 – 8. DOI:10.1109/TPAMI.1980.4766964.
5. Rhee F.C.H., Hwang C. A type-2 fuzzy C-means clustering algorithm. IFSA World Congress and 20th NAFIPS International Conference. 2001. Vol. 4. P. 1926 – 1929. DOI:10.1109/NAFIPS.2001.944361.
6. Zadeh L.A. The concept of a linguistic variable and its application to approximate reasoning. Inf. Sci. 1975. Vol 8. P. 199 – 249. DOI: 10.1016/B978-0-12-714250-0.50014-0.
7. Aneja Deepali, Rawat Tarun Kumar Fuzzy Clustering Algorithms for Effective Medical Image Segmentation. International Journal of Intelligent Systems and Applications. 2013. Vol. 5(11). P. 55 – 61. DOI: 10.5815/ijisa.2013.11.06.
8. Akhmetshina L., Yegorov A. Improvement of Grayscale Images in Orthogonal Basis of the Type-2 Membership Function. CMIS-2021: The Fourth International Workshop on Computer Modeling and Intelligent Systems, April 27, 2021. Zaporizhzhia, 2021. P. 465 – 474. – URL: <http://ceur-ws.org/Vol-2864/paper41.pdf>.
9. Егоров А., Ахметшина Л. Оптимизация характеристик яркости на основе нейрофаззи технологий. Монографія. Ламберт. 2015. 139 с.
10. Hassanien A., Badr A. A comparative study on digital mammography enhancement algorithms based on fuzzy theory. Studies in Informatics and Control. 2003. Vol.12., №1. P.1– 31.
11. Akhmetsina L.G., Yegorov A.A. Segmentation of Grayscale Low-contrast Images Using Fuzzy Transforms of Type-2. Системні технології. 2025. № 1(156). С. 23 – 31. DOI 10.34185/1562-9945-1-156-2025-03.
12. Yegorov A.A., Nikishina O. Y. Enhanced sensitivity of grayscale image segmentation based on type-2 fuzzy transformations. Інформатика, управління та штучний інтелект (ІУШІ-2025): Тези дванадцятої міжнародної науково-технічної конференції, Харків – Краматорськ – Тернопіль, 14 – 16 травня 2025 р. Харків: НТУ "ХПІ", 2025. С. 40.

Received 23.03.2026
Accepted 26.03.2026
Published 31.03.2026

Підвищення чутливості та достовірності сегментації напівтонових слабкоконтрастних зображень

на основі ітеративного застосування нечітких перетворень типу-2

Сегментація є одним із найскладніших завдань, що вирішуються при обробці зображень, що обумовлено відсутністю апріорної інформації про наявність, форму і розташування об'єктів інтересу, наявністю низькоконтрастних областей, в яких об'єкти інтересу, що шукаються, можуть частково або повністю розташовуватися, та іншими факторами.

В даний час одним з поширених підходів до вирішення цієї задачі є застосування різних алгоритмів, заснованих на використанні нечітких множин типу-1, таких як FCM та його модифікації, і типу-2, наприклад, T2FCM. Однак ці методи є алгоритмами кластеризації, тому вимагають розрахунку матриці центроїдів, а також завдання кількості нечітких кластерів, хоча для виконання безпосередньо сегментації це не обов'язково. Існують також методи підвищення якості зображень, засновані на застосу-

ванні нечітких множин, які можна використовувати для кластеризації зображень, однак вони не є ітеративними, що не дозволяє керувати деталізацією при сегментації.

У роботі запропоновано підвищення чутливості та достовірності ітеративного алгоритму сегментації напівтонових зображень за рахунок зміни способу розрахунку функцій належності, а також зниження числа керуючих параметрів.

Запропонований алгоритм сегментації не використовує матрицю центроїдів, не вимагає завдання числа нечітких кластерів, є ітеративним, має мале число керуючих параметрів (точність навчання та максимальне число ітерацій). Описаний у роботі метод заснований на застосуванні нечітких функцій приналежності типу-1 (НФП1) і типу-2 (НФП2), при цьому розрахунок матриці НФП2 заснований на різниці матриць "верхньої" та "нижньої" НФП1, які, у свою чергу, розраховуються як середнє за двома типами степеневих перетворень. Формування результуючого зображення здійснюється на основі зваженої суми результатів застосування методів еквалізації та адаптивної еквалізації гістограми до напівтонового зображення, сформованого на основі значень матриць НФП2 і "верхньої" і "нижньої" НФП1 після завершення навчання.

Наведені в роботі експериментальні результати на прикладі сегментації реальних напівтонових медичних зображень показують підвищення деталізації при використанні запропонованої модифікації, а також більш чітке виділення меж областей інтересу і внутрішньої структури зображення при меншій кількості керуючих параметрів у порівнянні з базовим алгоритмом. Перспективним напрямом подальших досліджень є розробка нових підходів до формування НФП1 та НФП2 для підвищення стійкості алгоритму до шумів.

Ключові слова: слабкоконтрастні зображення, нечіткі методи, візуальний аналіз, функція приналежності, сегментація, нечіткі множини типу-1, нечіткі множини типу-2.

Ахметшина Людмила Георгіївна – доктор технічних наук, професор, професор кафедри електронних обчислювальних машин, Дніпровський національний університет ім. О. Гончара.

ORCID: <https://orcid.org/0000-0002-5802-0907>

Єгоров Артем Олександрович – старший викладач кафедри комп'ютерних наук та інформаційних технологій, Дніпровський національний університет ім. О. Гончара.

ORCID: <https://orcid.org/0000-0002-7558-785X>

Akhmetshina Liudmyla Georgievna – Doctor of Technical Sciences, professor, professor of the department of electronic computers, Oles Honchar Dnipro National University.

ORCID: <https://orcid.org/0000-0002-5802-0907>

Yegorov Artyom Alexandrovich – Senior Lecturer of Computer Science and Information Technologies Department, Oles Honchar Dnipro National University.

ORCID: <https://orcid.org/0000-0002-7558-785X>

Я.І. Перегуда, Л.А. Люшенко

ВИЯВЛЕННЯ ТА КІЛЬКІСНЕ ОЦІНЮВАННЯ УЗГОДЖЕНОЇ АКТИВНОСТІ СПІЛЬНОТ БОТ-ПРОГРАМ У СОЦІАЛЬНИХ ПРОГРАМНИХ МЕРЕЖАХ НА ОСНОВІ МЕРЕЖЕВОГО ТА ЧАСОВОГО АНАЛІЗУ

Анотація. У статті досліджуються методи виявлення та кількісного оцінювання узгодженої активності спільнот бот-програм у соціальних програмних платформах на основі поєднання мережових, часових і змістових ознак. Запропоновано програмний підхід, у якому з інтернет-журналів взаємодій будується зважений граф акаунтів, виконується виділення спільнот шляхом оптимізації модульності. Узгодженість у межах спільнот оцінюється через поєднання парних показників часової синхронності та збігів за елементами взаємодії. Після цього здійснюється статистична перевірка на основі перестановочної нульової моделі та контроль частки хибнопозитивних результатів. Отримані результати демонструють, що ранжування спільнот за запропонованими показниками відокремлює групи з підвищеною часткою бот-програм, а аналіз статистично значущих пар формує інтерпретовані ядра узгоджених зав'язків, які придатні для пояснення виявлених структур і подальшого моніторингу. Практична цінність підходу полягає у відтворюваності обчислень у вигляді програмного конвеєра з чіткими вихідними інтерфейсами та можливості пріоритизації спільнот бот-програм з підвищеними ризиками для задач контролю координованих інформаційних кампаній.

Ключові слова: бот-програми, соціальні мережі, координовані інформаційні кампанії, узгоджена активність, мережовий аналіз, часові закономірності активності, статистична значущість, нульова модель випадкової синхронності.

Постановка проблеми. Онлайніві соціальні програмні платформи стали критичною інфраструктурою поширення інформації та формування громадської думки, а також середовищем для організованих інформаційних операцій, які можуть переростати в координовані інформаційні кампанії. У таких операціях широко застосовуються масштабні мережі автоматизованих і напівавтоматизованих акаунтів, тобто бот-програм, які імітують поведінку реальних користувачів і здатні впливати на інформаційні потоки в інтернеті [1]. Значна частина досліджень традиційно фокусується на виявленні бот-програм на рівні окремих акаунтів на основі профільних, поведінкових та змістових ознак [2]. Проте навіть точна класифікація окремих акаунтів не забезпечує своєчасного виявлення цілісних кампаній, оскільки ключовою ознакою таких кампаній часто є узгодженість дій між багатьма акаунтами.

Сучасні дезінформаційні та впливові кампанії зазвичай реалізуються у вигляді спільнот, які демонструють синхронізовану активність у часі та узгодженість за елементами взаємодії, зокрема за хештегами, посиланнями, повторними поширеннями й згадками [3-4]. Поширені підходи до виявлення координованої поведінки часто спираються на прості індикатори або загальні структурні характеристики графа взаємодій, при цьому недостатньо враховується фоновий рівень випадкової синхронності, зумовлений добовими циклами та резонансними подіями. Це спричиняє хибнопозитивні та хибно-негативні спрацьовування і не дає інтерпретованої, статистично обґрунтованої міри координованості на рівні спільнот.

Для реальних систем інтернет-моніторингу потрібен стислий і порівнюваний показник узгодженої активності в межах кожної виявленої спільноти бот-програм, який можна відтворювати обчислювати в програмному конвеєрі обробки даних. Такий показник має інтегрувати мережеву структуру графа взаємодій із часовими та змістовими характеристиками поведінки, коригуватися відносно нульової моделі випадкової синхронності та повертати не лише рейтинг, а й пояснювальні артефакти для аналізу, наприклад статистично значущі зв'язки між акаунтами. Це зумовлює науково-прикладну проблему розробки формалізованого індексу координованості спільнот бот-програм у соціальних платформах та відповідного програмного рішення для його обчислення і використання в системах моніторингу [1-4].

Аналіз останніх досліджень і публікацій. Більшість ранніх і значна частина сучасних підходів до протидії маніпуляціям у соціальних медіа зосереджені на виявленні окремих акаунтів як бот-програм на основі профільних, поведінкових, змістових та мережних ознак [1-2]. Водночас у реальних інформаційних операціях автоматизація часто поєднується з участю людей, акаунтами змішаного типу та організаційною координацією між різними виконавцями, що знижує практичну достатність постановки задачі як суто індивідуальної класифікації [3] і висуває вимоги до систем, здатних аналізувати мережеві структури та узгодженість дій у часі.

Тому паралельно активно розвиваються методи виявлення координованої групової активності. Низка робіт аналізує узгоджені дії, коли багато акаунтів виконують однотипні операції в близьких часових вікнах, що в літературі часто позначають як *lockstep*, і демонструє можливість виділення таких атак у вигляді щільних підграфів або кластерів [5-6]. Для середовищ на кшталт Twitter запропоновано підходи, що використовують узгодженість часових рядів активності, зокрема кореляцію з часовим вирівнюванням, яку в першій появі варто інтерпретувати як кореляцію з вирівнюванням часових шкал (*warped correlation*) [7], а також моделі, які виділяють мережі бот-програм за прихованими ознаками ретвіт-часових рядів із подальшим кластеруванням [8].

Більш універсальні методології пропонують будувати мережі подібності акаунтів на основі поведінкових слідів, до яких належать ретвіти, хештеги, посилання та темпоральні шаблони, і далі виділяти координовані спільноти [4]. Окремі дослідження демонструють, що координовані групи статистично значуще впливають на поширення інформації у каскадах, а перевірка відносно нульових моделей є критичною для відмежування координації від випадкової синхронності [9]. Нещодавні роботи поширюють

аналіз узгодженої неавтентичної поведінки, яку в літературі позначають як *coordinated inauthentic behavior* і яку доцільно трактувати як скоординовані дії, що маскуються під органічну активність, на відео-орієнтовані платформи, де з'являються нові типи слідів взаємодії та мультимодальні сигнали [10]. Сукупно це підкреслює потребу в методах, які поєднують мережеве виділення спільнот із формальною статистичною перевіркою та кількісною мірою координованості на рівні спільнот, а також у програмних реалізаціях, здатних відтворювано обробляти інтернет-журнали подій у конвеєрному режимі.

Мета дослідження. Метою дослідження є розроблення та обґрунтування методу побудови програмно відтворюваного виявлення й кількісного оцінювання узгодженої активності спільнот бот-програм у соціальних платформах на основі поєднання мережевої структури взаємодій, часових характеристик активності та елементів взаємодії, до яких належать: повторні поширення, згадки, хештеги, посилання. У центрі дослідження перебуває побудова формалізованого індексу координованості, який дає змогу відмежовувати організовані узгоджені дії від випадкової синхронності, формувати ранжування спільнот і повертати статистично значущі зв'язки між акаунтами як інтерпретовані результати для подальшого аналізу в системах моніторингу соціальних мереж.

Виклад основного матеріалу дослідження. У роботі подано програмний метод для виявлення координованих груп бот-програм у мережевих сервісах соціальних програмних платформ, який аналізує інтернет-журнали подій акаунтів і повертає ранжування спільнот за мірою узгодженості дій, а також підграфи статистично значущих пар у межах кожної соціальної програмної спільноти. На відміну від підходів, які зосереджуються лише на класифікації окремих акаунтів, запропоновано підхід конвеєрних модулів, де мережеве виділення спільнот у графі взаємодій жорстко поєднано зі статистичною перевіркою узгодженості на рівні пар. Унікальність цього підходу полягає в тому, що не тільки обчислюємо міру координованості, але й робимо її програмно відтворюваною та інтерпретованою через стандартний інтерфейс «спільнота – значущі пари – ранжування», який безпосередньо придатний для інтеграції в програмне забезпечення систем моніторингу соціальних мереж.

Введемо домовленість, що вхідні дані подані множиною записів $(t, type, target, hashtag, post_id, url)$, які надходять у форматах CSV/JSON з інтернет-потоків подій або з архівів журналів. Тут t — час події, $type$ — тип взаємодії, $target$ — ідентифікатор адресата, $hashtag$ — мітка, $post_id$ — ідентифікатор допису, url — посилання. Для відтворюваності запусків у коді зафіксовано інваріанти: уніфікація часових міток, уніфікація ідентифікаторів, порожні множини для відсутніх $hashtag$ і url .

Називатимемо зваженим графом взаємодій структуру $G = (V, E, W)$, де V - множина акаунтів, E - множина пар акаунтів із зафіксованими взаємодіями, а W - правило обчислення ваги ребра. Вводимо множину типів взаємодій R і ваги $\lambda_r \geq 0$ для кожного $r \in R$. Ваги зберігаються як конфігурація програмного рішення, своєю чергою, первинні лічильники взаємодій накопичуються один раз, що дає змогу переналаштовувати

модель без повторного проходу по параметрах. Для кластеризації обрано неорієнтовану зважену проєкцію графа, оскільки вона стабільніша для модульності та простіше масштабується в розрідженому поданні.

Побудова графа та виділення спільнот виконуються алгоритмом 1. На виході отримуються граф G і відображення $c(u)$, що призначає кожному акаунту $u \in V$ номер спільноти.

Алгоритм 1 – Побудова зваженого графа та виділення спільнот:

```

Data:  L (event logs), R (interaction types),  $\lambda$ ,  $\gamma$ 
Result: G, C1, C2, ..., CK, { c(u) | u ∈ V }
G ← ∅; cnt ← 0;
for e ∈ L do
    u ← actor(e);
    v ← target(e);
    r ← type(e);
    cnt[u,v,r] ← cnt[u,v,r] + 1;
end
for (u,v) with ∃ r ∈ R : cnt[u,v,r] + cnt[v,u,r] > 0 do
    w(u,v) ← weight(cnt[u,v,*], cnt[v,u,*], λ);
    add undirected edge (u,v) with weight w(u,v) to G;
end
(C1, C2, ..., CK, c) ← community_detection(G, γ);
(C1, C2, ..., CK, c) ← community_filter(C1, ..., CK, c);
    
```

Для кожної спільноти вводимо поняття парної координаності для акаунтів u та v , яке поєднує часову узгодженість і збіги за елементами взаємодії (згадки/адресати, хештеги, ідентифікатори дописів, посилання). Часова частина базується на часовому ряді активності $x_u(t)$, який будується дискретизацією подій із кроком Δt . Змістова частина базується на множині елементів \mathcal{O}_u , що вилучаються з журналів. Щоб обмежити складність, у подальший розрахунок включаються лише пари, для яких $\mathcal{O}_u \cap \mathcal{O}_v \neq \emptyset$. Перестановочна нульова модель використовує B перестановок, а контроль частки хибних відкриттів задається рівнем $q \in (0,1)$. Алгоритм 2 формує множину статистично значущих пар $P_{sig}(C)$ у кожній спільноті та агрегати для ранжування: $C_{med}(C)$ як медіану координаності серед значущих пар і $\rho(C)$ як частку значущих пар у спільноті.

Алгоритм 2 – Оцінка координаності, статистична значущість та ранжування спільнот:

```

Data:  L (event logs), R (interaction types),  $\lambda$ ,  $\gamma$ 
Result: G, C1, C2, ..., CK, { c(u) | u ∈ V }
G ← ∅; cnt ← 0;
for e ∈ L do
    u ← actor(e);
    
```

```

v ← target(e);
r ← type(e);
cnt[u,v,r] ← cnt[u,v,r] + 1;
end
for (u,v) with ∃ r ∈ R : cnt[u,v,r] + cnt[v,u,r] > 0 do
w(u,v) ← weight(cnt[u,v,*], cnt[v,u,*], λ);
add undirected edge (u,v) with weight w(u,v) to G;
end
(C1, C2, ..., CK, c) ← community_detection(G, γ);
(C1, C2, ..., CK, c) ← community_filter(C1, ..., CK, c);

```

Завершальний програмний модуль формує вихідні таблиці й графічні зведення для аналітики, які включають ранжування спільнот за координаністю та структуру підграфів статистично значущих пар. Така організація у вигляді незалежних програмних модулів з чіткими інтерфейсами дозволяє інтегрувати метод у системи моніторингу соціальних мереж, повторювати експерименти на різних часових зрізах інтернет-даних, змінювати параметри $\Delta t, L_{\max}, B, q, \alpha, \gamma$ та λ_r без зміни контрактів між компонентами та контролювати межі застосування методу через явні припущення щодо якості журналів подій і достатності спостережуваних мережевих взаємодій.

Ранжування спільнот за координаністю виконувалося за $C_{\text{med}}(C)$ і $\rho(C)$, які формуються після відбору статистично значущих пар у кожній спільноті. На даних TwiBot-22 конвеєр сформував 3 740 спільнот розміром не менше 30 акаунтів; медіанний розмір спільноти становив 86 акаунтів, а 90-й перцентиль — 410 акаунтів. Стабільність розбиття між перезапусками модуля виявлення спільнот за скоригованим індексом Ренда становила 0,81, а модуль фільтрації відсівав 6,3% кластерів із низькою внутрішньою зв'язаністю. Верхній дециль ранжування за $C_{\text{med}}(C)$ мав медіану $C_{\text{med}}(C) = 0,61$ і медіану $\rho(C) = 0,17$, тоді як нижній дециль мав $C_{\text{med}}(C) = 0,23$ і $\rho(C) = 0,02$. У топ-100 спільнотах за координаністю середня частка бот-програм становила 0,72, тоді як у вибірці загалом вона була близько 0,22.

Виявлення статистично значущих пар бот-програм виконувалося через перестановочну нульову модель і контроль частки хибних відкриттів при $q = 0,05$. На рівні всієї вибірки було отримано 1,26 млн значущих пар, причому 64% цих пар концентрувалися у 8% спільнот. Для спільнот із високими $\rho(C)$ утворювалися компактні підграфи значущих зв'язків, у яких середній ступінь вершини перевищував 16, тоді як у фонових спільнотах він був близьким до 3. Це забезпечило практично корисний вихід: разом із рейтингом спільнот система повертає ядра акаунтів і мережевих взаємодій, які пояснюють високу координаність конкретної спільноти.

Зведені результати за двома напрямками

Показник	Топ-10% спільнот	Низ-10% спільнот
Медіана $C_{med}(C)$	0,61	0,23
Медіана $\pi(C)$	0,17	0,02
Середня частка бот-програм	0,68	0,09
Середній ступінь у підграфі значущих пар	16,4	3,1

Рисунок 1 відображає розподіли $C_{med}(C)$ для трьох груп спільнот, сформованих за часткою бот-програм. Він наочно показує зміщення координованості в бік більших значень у спільнотах, де переважають бот-програми, що узгоджується з призначенням ранжування як механізму пріоритизації підозрілих мережевих груп.

Рисунок 2 подає статистично значущі пари щодо спільнот у вигляді кумулятивної кривої, де по осі абсцис відкладається частка спільнот, упорядкованих за кількістю значущих пар, а по осі ординат — накопичена частка всіх значущих пар. Відхилення кривої від діагоналі рівномірного розподілу відображає ступінь концентрації узгоджених зв'язків у відносно невеликій кількості спільнот, що є характерною ознакою координованих мережевих кампаній.

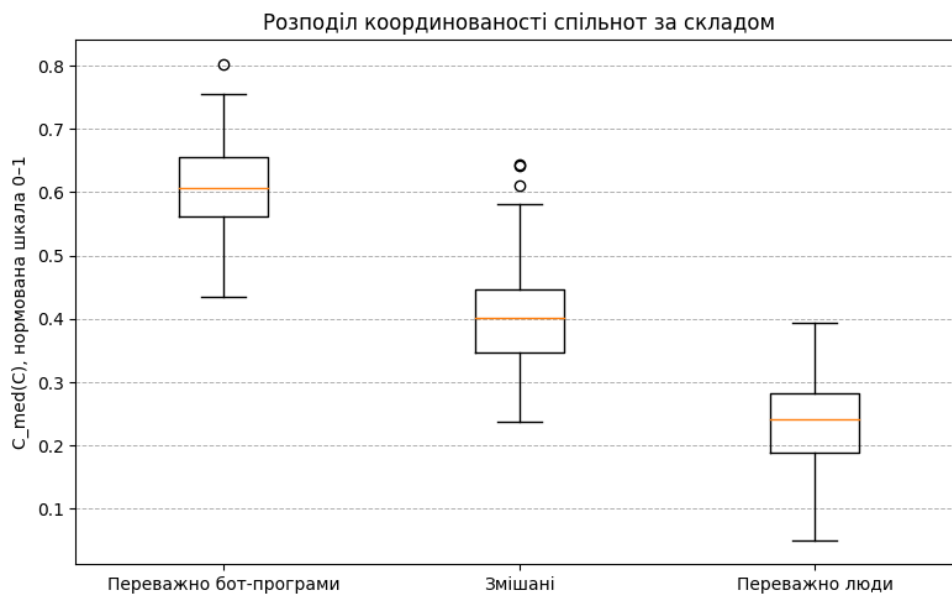


Рисунок 1 – Розподіл координованості спільнот за складом

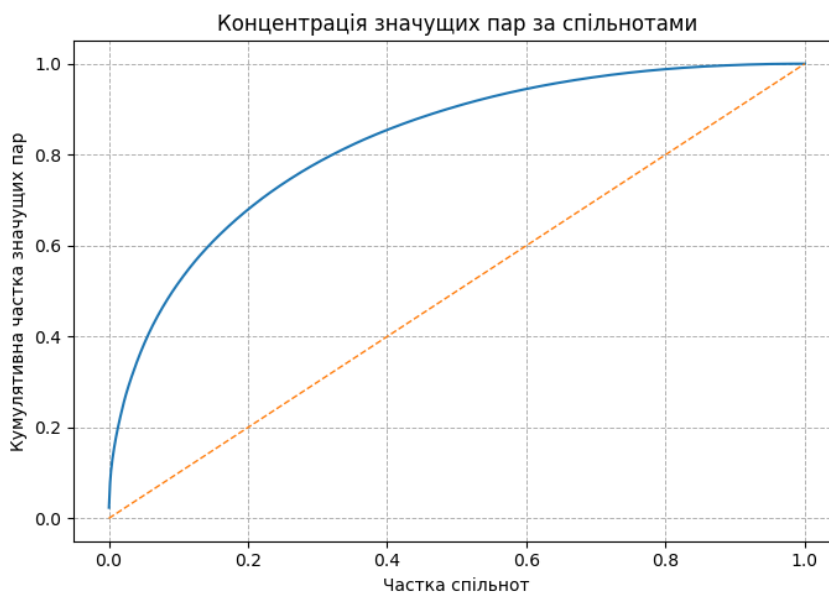


Рисунок 2 – Концентрація значущих пар за спільнотами (кумулятивна крива)

Висновки. Отримані результати підтверджують, що запропоноване підхід забезпечує відтворюване виявлення координованих груп бот-програм у соціальних мережах на основі графа взаємодій і статистично контрольованого відбору узгоджених пар. Ранжування спільнот за агрегатами $C_{med}(C)$ та $\rho(C)$ систематично виводить угору групи з підвищеною часткою бот-програм і відділяє їх від фонового рівня випадкової синхронності, тоді як перестановочна нульова модель у поєднанні з контролем частки хибних відкриттів підвищує надійність результатів за рахунок зменшення хибних спрацьовувань.

Важливим практичним результатом є те, що система повертає не лише числовий рейтинг, а й підграфи статистично значущих пар, що дають інтерпретовані «ядра» координації та створюють основу для подальшого експертного аналізу конкретних кампаній. Унікальність підходу полягає у поєднанні мережевої сегментації та статистичної верифікації в єдиному програмному конвеєрі з чіткими інтерфейсами виходу, завдяки чому легко інтегруються в програмні системи моніторингу соціальних платформ і можуть відтворюватися на різних часових зрізах інтернет-даних із контрольованими параметрами обробки.

ЛІТЕРАТУРА / REFERENCES

1. Ferrara, E., Varol, O., Davis, C., Menczer, F., & Flammini, A. (2016). The rise of social bots. *Communications of the ACM*, 59(7), 96–104. <https://doi.org/10.1145/2818717>
2. Cresci, S. (2020). A decade of social bot detection. *Communications of the ACM*, 63(10), 72–83. <https://doi.org/10.1145/3409116>
3. Starbird, K. (2019). Disinformation's spread: bots, trolls and all of us. *Nature*, 571(7766), 449. <https://doi.org/10.1038/d41586-019-02235-x>

4. Pacheco, D., Hui, P.-M., Torres-Lugo, C., Truong, B. T., Flammini, A., & Menczer, F. (2021). Uncovering coordinated networks on social media: Methods and case studies. *Proceedings of the International AAAI Conference on Web and Social Media*, 15(1), 455–466. <https://doi.org/10.1609/icwsm.v15i1.18075>
5. Beutel, A., Xu, W., Guruswami, V., Palow, C., & Faloutsos, C. (2013). CopyCatch: Stopping group attacks by spotting lockstep behavior in social networks. In *Proceedings of the 22nd International Conference on World Wide Web* (pp. 119–130). ACM. <https://doi.org/10.1145/2488388.2488400>
6. Cao, Q., Yang, X., Yu, J., & Palow, C. (2014). Uncovering large groups of active malicious accounts in online social networks. In *Proceedings of the 2014 ACM SIGSAC Conference on Computer and Communications Security* (pp. 477–488). ACM. <https://doi.org/10.1145/2660267.2660269>
7. Chavoshi, N., Hamooni, H., & Mueen, A. (2016). DeBot: Twitter bot detection via warped correlation. In *2016 IEEE 16th International Conference on Data Mining (ICDM)* (pp. 817–822). IEEE. <https://doi.org/10.1109/ICDM.2016.0096>
8. Mazza, M., Cresci, S., Avvenuti, M., Quattrociocchi, W., & Tesconi, M. (2019). RTbust: Exploiting temporal patterns for botnet detection on Twitter. arXiv. <https://arxiv.org/abs/1902.04506>
9. Cinelli, M., Cresci, S., Quattrociocchi, W., Tesconi, M., & Zola, P. (2022). Coordinated inauthentic behavior and information spreading on Twitter. *Decision Support Systems*, 160, 113819. <https://doi.org/10.1016/j.dss.2022.113819>
10. Luceri, L., Salkar, T. V., Balasubramanian, A., Pinto, G., Sun, C., & Ferrara, E. (2025). Coordinated inauthentic behavior on TikTok: Challenges and opportunities for detection in a video-first ecosystem. arXiv. <https://arxiv.org/abs/2505.10867>

Received 24.03.2026
Accepted 26.03.2026
Published 31.03.2026

Detection and quantitative assessment of coordinated activity of bot-program communities in social software networks based on network and temporal analysis

Analysis of Recent Research and Publications. Recent studies on malicious or inauthentic activity in social networks have progressed from account-level bot detection toward group-level identification of coordinated behavior. While individual classification remains important, it often fails to capture organized campaigns where coordination across many accounts is the primary operational signal. This shift has encouraged community-oriented approaches that combine interaction graphs with temporal synchronization signals and shared interaction elements, and that apply statistical testing to distinguish coordination from background synchronicity caused by daily rhythms and event-driven bursts.

Purpose of the Study. The purpose of this study is to develop and validate a community-level, software-oriented methodology for detecting and quantifying coordinated activity among bot-programs. The methodology integrates interaction-network structure, temporal regularities of activity, and shared interaction elements, and produces outputs that are suitable for automated monitoring pipelines. The study aims to generate interpretable community

rankings and to extract statistically significant coordinated pairs that can serve as explanatory artifacts for analysts and downstream risk-monitoring modules.

Main Content of the Study. The study constructs a weighted interaction network in which nodes represent accounts and edges aggregate multi-type interaction intensity between account pairs. Communities are detected via modularity-based optimization and refined with programmatic filtering rules to ensure internal connectivity and stable results across repeated runs. Within each community, coordination is quantified by combining two signals: temporal synchronization derived from binned activity sequences with limited time shifts, and similarity over shared interaction elements such as repeated posts, mentions, hashtags, and link domains. To separate genuine coordination from incidental synchronicity, statistical significance is evaluated using a permutation-based null model that preserves each account's activity volume, while multiple comparisons are controlled to limit false discoveries. Each community is then summarized by a robust measure of coordination strength among significant pairs and by the proportion of significant pairs within the community, which enables ranking and prioritization. The implemented pipeline also returns compact subgraphs of significant pairs, allowing traceable and reproducible explanations of why a community is ranked highly.

Conclusions. The empirical evaluation indicates that the proposed coordination measures separate highly coordinated bot-program communities from background groups, and that permutation-based testing reduces false positives caused by incidental synchronicity. Ranking by coordination concentrates bot-program prevalence in the top segment of communities and yields compact, interpretable subgraphs of statistically significant coordinated pairs that support analyst-oriented investigation and automated monitoring. Overall, the study demonstrates a reproducible software pipeline that bridges community detection and statistically validated coordination scoring, providing actionable outputs for monitoring coordinated information campaigns.

Keywords: bot-programs, social networks, coordinated information campaigns, coordinated activity, network analysis, temporal activity patterns, statistical significance, null model of random synchronicity.

Перегуда Ярослав Іванович – аспірант кафедри програмного забезпечення комп'ютерних систем Київського політехнічного інституту ім. Ігоря Сікорського.

ORCID: <https://orcid.org/0009-0002-7292-7887>

Люшенко Леся Анатоліївна – к.т.н., доцент кафедри програмного забезпечення комп'ютерних систем Київського політехнічного інституту ім. Ігоря Сікорського.

ORCID: <https://orcid.org/0000-0003-4319-5955>

Perehuda Yaroslav – Post-Graduate Student of Computer Systems Software Department, National Technical University of Ukraine "Igor Sikorsky Kyiv Polytechnic Institute", Kyiv.

ORCID: <https://orcid.org/0009-0002-7292-7887>

Lyushenko Lesya – DSc, Associate Professor of the Computer Systems Software Department, National Technical University of Ukraine "Igor Sikorsky Kyiv Polytechnic Institute".

ORCID: <https://orcid.org/0000-0003-4319-5955>

ФОРМУВАННЯ ТА ВАЛІДАЦІЯ АЛФАВІТУ ОЗНАК У КОМПАРАТОРНІЙ МОДЕЛІ ПРЕВЕНТИВНОГО СУПРОВОДЖЕННЯ

Анотація. Актуальною проблемою превентивного супроводження програмних систем є раннє виявлення деградації за експлуатаційними показниками. Метою роботи є формування та валідація алфавіту ознак для компараторної моделі оцінювання стану системи. Використано логічну класифікацію на основі експлуатаційних метрик. Експериментальні результати підтверджують можливість інтерпретованої діагностики та раннього виявлення деградаційних симптомів.

Ключові слова: превентивне супроводження, компараторна модель, експлуатаційний стан, деградація програмного забезпечення, алфавіт ознак, експлуатаційні метрики, старіння програмного забезпечення, спостережуваність.

Постановка проблеми. Превентивне супроводження програмного забезпечення (ПЗ) спрямоване на проактивний моніторинг з метою раннього виявлення проблем та ризиків до того, як вони вплинуть на користувачів. Основою такого підходу є використання системи ознак [1]. Внутрішній стан програмної системи безпосередньо не спостерігається, однак проявляється через її зовнішню поведінку, що фіксується у вигляді експлуатаційних метрик, журналів подій та інших телеметричних даних. Аналіз цих показників дозволяє виявляти симптоми деградації або відхилення у функціонуванні системи до виникнення відмов чи скарг користувачів. Такий підхід відповідає концепції спостережуваності, відповідно до якої внутрішній стан системи оцінюється за її зовнішніми проявами.

Сучасні дослідження у сфері надійності програмних систем зосереджені переважно на статистичному аналізі телеметрії, методах виявлення аномалій та використанні машинного навчання для прогнозування деградації. Водночас значно менше уваги приділяється формалізації системи ознак, яка використовується для оперативної діагностики експлуатаційного стану системи та прийняття рішень щодо превентивного супроводження.

Під експлуатаційним станом програмної системи будемо розуміти сукупність спостережуваних характеристик її функціонування у реальних умовах використання. Одним із підходів до формалізованого оцінювання експлуатаційного стану є компараторна модель супроводження ПЗ, яка забезпечує ідентифікацію стану системи на основі аналізу спостережуваних характеристик її функціонування [1]. Особливістю такого підходу є можливість його застосування в умовах обмеженої історії інцидентів, коли використання статистичних або навчальних методів аналізу даних є ускладненим.

Ефективність компараторної моделі значною мірою визначається властивостями алфавіту ознак, що використовується для опису експлуатаційного стану ПЗ. Формування такого алфавіту передбачає перетворення різнорідних експлуатаційних показників у скінченну множину булевих предикатів, які використовуються у системі логічних рівнянь моделі.

Аналіз останніх досліджень і публікацій щодо діагностики деградацій програмного забезпечення. Під деградацією ПЗ зазвичай розуміють поступове погіршення характеристик роботи програмної системи в часі (продуктивність, латентність, споживання ресурсів, частота помилок), яке може привести до відмови або аварійного перезапуску. Це описують як старіння ПЗ (software aging), а превентивний контрзахід як омолодження або відновлення (software rejuvenation), тобто проактивні дії на кшталт перезапусків, ротації ресурсів тощо. Формалізація відновлення як проактивного механізму проти старіння ПЗ класично посилається на роботу [2] та розглядається також в роботах [3] та [4]. Практична складність раннього виявлення деградації полягає в тому, що вона часто проявляється повільним дрейфом метрик [5], симптоми можуть бути розмиті [5, 6], “норма” змінюється через сезонність навантаження, релізи та конфігураційні зміни [7], і аварійні інциденти трапляються не часто, тобто бракує “поганих” прикладів для навчання моделей [4]. Ці фактори добре відображені в сучасних оглядах, що підкреслюють роль показників старіння та проблеми з дрейфом даних [4].

Превентивне супроводження часто зводиться до питання: коли і як виконувати відновлення, щоб зменшити очікувані втрати від деградацій. Аналіз літератури дозволяє виділити два основних класи підходів: часові (time-based) [2]: омолодження кожні T годин/днів та тригерні (condition-based) [4, 6]: оновлення при досягненні певного порогу індикаторів (наприклад, різке зростання використання пам'яті або черг).

Традиційно, відновлення ПЗ представляється як стохастичний процес, який оптимізує політику відновлення за очікуваною доступністю або вартістю [8]. Типовий підхід використовує стохастичні мережі Петрі для оцінки компромісу між вартістю оновлення ПЗ та ризиками відмови [8, 9]. Аналітичний підхід, зокрема роботи [8, 9], моделює програмну систему як стохастичний процес і оптимізує політику омолодження за очікуваною доступністю та вартістю. Висновок, який повторюється в багатьох роботах: оновлення має сенс тоді, коли очікувана втрата від краху (включно з відновленням) суттєво більша, ніж вартість керованої зупинки чи перезапуску. Для хмарних і контейнерних систем відновлення набуває нових форм: перезапуск контейнера, rolling restart, заміна вузла тощо. Емпіричні порівняння часто групують техніки на “прості” (reboot/restart) і “складні” (fast reboot, hot-standby restart), аналізуючи їх вплив [10].

Систематичні огляди літератури підкреслюють, що значна частина досліджень зосереджується на підборі індикаторів та побудові предиктивних моделей деградації [4]. До типових індикаторів можна віднести: використання пам'яті, swap, CPU, дескриптори файлів, I/O, довжини черг, латентність, частота помилок, а також похідні ознаки (градієнти, “швидкість росту” ресурсу) [4, 7]. Критично важливо, що індикатор має бу-

ти: спостережуваним, стійким до шуму та сезонності, причинно близьким до механізму деградації та операційно керованим.

Найпростіший і досі найпоширеніший підхід базується на використанні правил і порогів [4, 6]. Цей підхід широко фігурує як baseline в оглядах і емпіричних роботах, бо він дешевий і добре пояснюваний, але слабкий проти повільної деградації та складних мультифакторних ефектів [4,7]. Проміжною ланкою між порогамі та машинним навчанням є статистичні методи, які виявляють зміни тренду або дрейф розподілів метрик [4,11]. У літературі це часто комбінується з індикаторами старіння [4,6]. В операційному контексті це дає кращу чутливість до ранніх змін, ніж прості пороги. Підходи на основі машинного навчання демонструють перехід до data-driven методів: класифікація станів “норма/деградація”, прогнозування часу до деградації або відмови, детекція аномалій у метриках або комбінаціях індикаторів [3, 4, 7].

Окремо треба виділити ранню діагностику аномалій, тобто виявлення відхилень, які не перевищують порогів, але систематично накопичуються [10, 11]. Такі дослідження часто пропонують методи, що підвищують чутливість до слабких сигналів, але потребують ретельного контролю хибних спрацювань [7,11]. Рання діагностика дедалі більше пов'язана зі спостережуваністю та методами контрольованих експериментів [12, 13]. Головна ідея такого підходу полягає в можливості оцінити наскільки добре система спостереження помічає деградації та які обчислювальні та фінансові витрати.

Отже, аналіз літератури однозначно підтверджує, що превентивне супроводження є ефективним класом заходів проти старіння ПЗ. Водночас, сучасні підходи зміщують акцент у бік спостережуваності та експериментальної оцінки. Однак, питання системного формування алфавіту ознак, що описує стан програмної системи та може бути використаний у моделях превентивного супроводження, залишається недостатньо опрацьованим.

Мета та задачі дослідження. Метою роботи є обґрунтування та формалізація алфавіту ознак для компараторної моделі превентивного супроводження програмного забезпечення, а також визначення принципів його валідації та адаптивного коригування в процесі експлуатації системи. Для досягнення поставленої мети в роботі вирішуються такі завдання:

1 сформулювати принципи побудови алфавіту ознак, що відображають процеси деградації та експлуатаційний стан програмної системи;

2 розробити компараторну модель оцінювання стану системи на основі порівняння поточних значень ознак із референтними характеристиками;

3 запропонувати підхід до валідації сформованого алфавіту ознак у процесі експлуатації системи;

4 дослідити можливість адаптивного коригування складу ознак і параметрів компараторної моделі в циклі превентивного супроводження.

Викладення основного матеріалу дослідження. У задачах превентивного супроводження ПЗ центральним є визначення поточного експлуатаційного стану системи та вибір відповідної реакції супроводження. У межах компараторного підходу вважа-

ється, що різні стани програмної системи можуть бути еквівалентними з точки зору супроводження, якщо вони потребують однакової експлуатаційної реакції [1]. Тому ідентифікація стану зводиться до віднесення поточного стану до одного з класів експлуатаційної реакції. Нехай $U = \{u_1, u_2, \dots, u_m\}$ – множина можливих експлуатаційних станів програмної системи, а $R = \{r_1, r_2, \dots, r_k\}$ – множина можливих експлуатаційних реакцій. Функція

$$\rho: U \rightarrow R$$

відображає кожний стан системи у відповідну реакцію супроводження. Для кожної реакції $r \in R$ визначимо клас станів

$$U_r = \{u \in U \mid \rho(u) = r\},$$

який об'єднує всі стани, які є еквівалентними з точки зору необхідної експлуатаційної реакції.

Для опису стану програмної системи використовується множина спостережуваних ознак (алфавіт):

$$A = \{p_1, p_2, \dots, p_n\},$$

де p_i – булевий предикат, що відображає наявність або відсутність певної ознаки стану програмної системи. Кожному стану $u \in U$ відповідає предикатний образ

$$P(u) = (p_1(u), p_2(u), \dots, p_n(u)), p_i(u) \in \{0, 1\}.$$

Отже, стан програмної системи задається двійковим вектором ознак

$$X = (x_1, x_2, \dots, x_n), \text{ де } x_i = p_i(u).$$

Метод компараторної ідентифікації [14] ґрунтується на використанні відношень порівняння між об'єктами. Особливістю підходу є можливість його застосування в умовах обмеженої історії інцидентів, коли використання статистичних методів аналізу даних є ускладненим або неможливим. Компараторна модель ґрунтується на тому, що кожному класу експлуатаційної реакції $r \in R$ ставиться у відповідність логічний предикат

$$E_r(x_1, x_2, \dots, x_n),$$

який набуває значення 1 тоді й лише тоді, коли поточний вектор ознак належить класу E_r . Для забезпечення інтерпретованості предикати класів доцільно подавати у диз'юнктивній нормальній формі:

$$E_r(x_1, \dots, x_n) = \bigvee_{j=1}^{m_r} (\bigwedge_{i=1}^n l_{ij}^{(r)}),$$

де $l_{ij}^{(r)}$ – літерал, що дорівнює або x_i , або $\neg x_i$, залежно від того, яким має бути значення відповідної ознаки у j -му допустимому шаблоні класу r .

Отже, кожний кон'юнкт у ДНФ задає один допустимий варіант поєднання ознак, що відповідає певному класу експлуатаційної реакції, а диз'юнкція таких кон'юнктив задає повний опис цього класу. Тоді компараторна модель:

$$\begin{cases} F_{r_1}(x_1, \dots, x_n) = 1, \\ F_{r_2}(x_1, \dots, x_n) = 1, \\ \dots \\ F_{r_k}(x_1, \dots, x_n) = 1. \end{cases}$$

Для коректності класифікації система повинна задовольняти умови повноти та взаємовиключності [14]:

$$\begin{aligned} \bigvee_{r \in R} F_r(x) &= 1, \\ F_r(x) \wedge F_{r'}(x) &= 0, r \neq r'. \end{aligned}$$

Якість цієї моделі безпосередньо залежить від того, наскільки алфавіт ознак A забезпечує розрізнення класів і повноту опису. Нехай журнал експлуатаційних подій представлено у вигляді послідовності записів

$$E = \{e_1, e_2, \dots, e_N\}.$$

Події журналу можуть відповідати як нормальним станам системи, так і різним симптомам деградації, зокрема помилкам виконання, перевищенню часу відповіді, аномаліям безпеки або сигналам незадоволеності користувачів. Для узагальнення експлуатаційних характеристик використовується підхід ковзних часових вікон. Нехай $W_k = [t_k, t_k + \Delta t]$ – часове вікно спостереження довжиною Δt . Множина подій, що належать цьому вікну, визначається як

$$E_k = \{e_i \in E \mid t_k \leq t_i < t_k + \Delta t\}.$$

На основі подій множини E_k обчислюються агреговані показники експлуатації. Нехай $M = \{m_1, m_2, \dots, m_s\}$ – множина первинних метрик. Прикладами таких метрик можуть бути: частка успішно виконаних функціональних операцій, кількість критичних вразливостей або спроб несанкціонованого доступу, час виконання ключових користувачьких операцій, затримка виконання запитів або частка помилок сервісу тощо. Для використання у компараторній моделі ці показники перетворюються на бінарні предикатні ознаки за допомогою порогових значень:

$$p_j = \begin{cases} 1, & m_j(W_k) > \theta_j, \\ 0, & m_j(W_k) \leq \theta_j. \end{cases}$$

У результаті формується вектор стану X_k , який описує функціонування системи у часовому вікні W_k . У реальних умовах експлуатації повний перелік можливих станів заздалегідь невідомий. Тому початкова модель формується на основі обмеженої множини відомих ситуацій, отриманих у процесі тестування системи, а також на основі експертних правил, що описують типові симптоми деградації. Нехай $\Omega_0 = \{X^{(1)}, X^{(2)}, \dots, X^{(L)}\}$ – початкова множина відомих експлуатаційних станів. Ко-

жен стан $X^{(l)}$ формується з використанням алфавіту $A_0 = \{p_1, p_2, \dots, p_{n_0}\}$. Для кожного стану з множини Ω_0 задається відповідний клас експлуатаційної реакції $r^{true}(X^{(l)}) \in R$. Перед застосуванням моделі виконується її валідація на множині Ω_0 . Додатково перевіряється відповідність результатів класифікації експертно заданим класам:

$$r(X^{(l)}) = r^{true}(X^{(l)}), \forall X^{(l)} \in \Omega_0.$$

Розглянемо приклад супроводження мобільного застосунку, який отримує вимірювання рівня глюкози, передає їх до серверної частини системи та формує індивідуальний прогноз зміни рівня глюкози для користувача [15]. Перший етап методу полягає в організації моніторингу та зборі первинної інформації про роботу ПЗ. Основним джерелом таких даних є журнал подій експлуатації. У дослідженні розглядається сценарій функціонування системи, у якій велика кількість клієнтських застосунків взаємодіє з сервером.

Головною метою експерименту є оцінювання здатності компараторної моделі здійснювати ранню діагностику на основі аналізу експлуатаційних подій. У синтетичному середовищі моделюється потік подій, що відображає нормальну роботу системи, а також контрольовані сценарії деградації та аномальних ситуацій. Експеримент задається набором параметрів конфігурації, зокрема: 14 днів періоду спостереження, 500 користувачів, 60 хвилин для вікон агрегації. Нижче наведено приклад фрагменту синтетичного журналу експлуатаційних подій (рис.1). Кожен рядок таблиці відповідає окремій події. На основі подій журналу обчислюються агреговані експлуатаційні показники, що характеризують різні аспекти функціонування програмної системи.

Перед проведенням експерименту компараторна модель була перевірена на початковій множині Ω_0 з 11 відомих експлуатаційних станів. Результати перевірки наведено на рис. 2. Для всіх станів виконано умови повноти, несуперечливості та однозначності класифікації. Отже, компараторна модель була визнана валідованою.

event_id	timestamp	user_id	session_id	event_type	event_status	operation_name	latency_ms	retry_count	error_code	network_quality	server_load	server_queue_size	complaint_flag	abandon_flag
1	2025-12-03 08:12:11	U102	S7781	prediction_request	success	prediction	240	0	—	good	0.41	12	0	0
2	2025-12-03 08:12:12	U102	S7781	prediction_received	success	prediction	180	0	—	good	0.42	11	0	0
3	2025-12-03 08:14:55	U341	S9902	sync_started	success	sync	310	0	—	fair	0.47	14	0	0
4	2025-12-03 08:14:58	U341	S9902	sync_completed	success	sync	350	0	—	fair	0.49	13	0	0
5	2025-12-03 09:02:07	U587	S6620	prediction_request	success	prediction	1250	1	—	poor	0.73	25	0	0
6	2025-12-03 09:02:12	U587	S6620	timeout_occurred	failure	prediction	5000	2	TIMEOUT	poor	0.79	32	0	1
7	2025-12-03 09:02:15	U587	S6620	user_retry_action	info	prediction	—	1	—	poor	0.81	35	0	0
8	2025-12-03 09:05:44	U214	S7812	request_failed	failure	sync	2200	1	SERVER_ERROR	fair	0.77	29	0	1
9	2025-12-03 09:10:19	U903	S8844	user_reported_issue	info	support	—	0	—	fair	0.75	27	1	0
10	2025-12-04 14:18:07	U410	S9921	auth_failed	failure	auth	140	0	INVALID_TOKEN	good	0.52	16	0	0

Рисунок 1 Фрагмент журналу експлуатаційних подій

Feature-system conflicts found: 0

status
0 No feature-level conflicts found

state_id	true_class	F_norm	F_degradation	F_problem	sum	predicted_class	is_complete	is_consistent	is_correct	
0	X1	Norm	1	0	0	1	Norm	True	True	True
1	X2	Degradation	0	1	0	1	Degradation	True	True	True
2	X3	Degradation	0	1	0	1	Degradation	True	True	True
3	X4	Degradation	1	1	0	2	Degradation	True	False	True
4	X5	Degradation	1	1	0	2	Degradation	True	False	True
5	X6	Degradation	0	1	0	1	Degradation	True	True	True
6	X7	Problem	0	0	1	1	Problem	True	True	True
7	X8	Problem	0	0	1	1	Problem	True	True	True
8	X9	Problem	0	0	1	1	Problem	True	True	True
9	X10	Problem	0	0	1	1	Problem	True	True	True
10	X11	Problem	0	0	1	1	Problem	True	True	True

Completeness: True
Consistency: False
Correct classification: True
Uniqueness: False

Рисунок 2 Валідація моделі на початковій множині експлуатаційних станів

Було сформовано 336 вікон спостереження, для яких обчислювалися експлуатаційні показники: частка помилок запитів, частка таймаутів, середня затримка виконання, 95-й перцентиль затримки, частота повторних дій користувачів, частота скарг користувачів, показники серверного навантаження. Приклад динаміки деяких показників наведено на рис. 3. На графіках чітко спостерігається зміна поведінки показників у періоди деградації.

Після побудови предикатних образів для кожного вікна застосовувався алгоритм компараторної класифікації. Розподіл класифікованих станів: Norm=241, Degradation=71, Problem=18, NewState=6. Таким чином, модель виявила 89 вікон з деградаційними симптомами. У більшості випадків модель правильно ідентифікувала періоди деградації (рис. 4). У проведеному експерименті 93 % станів було класифіковано правильно.

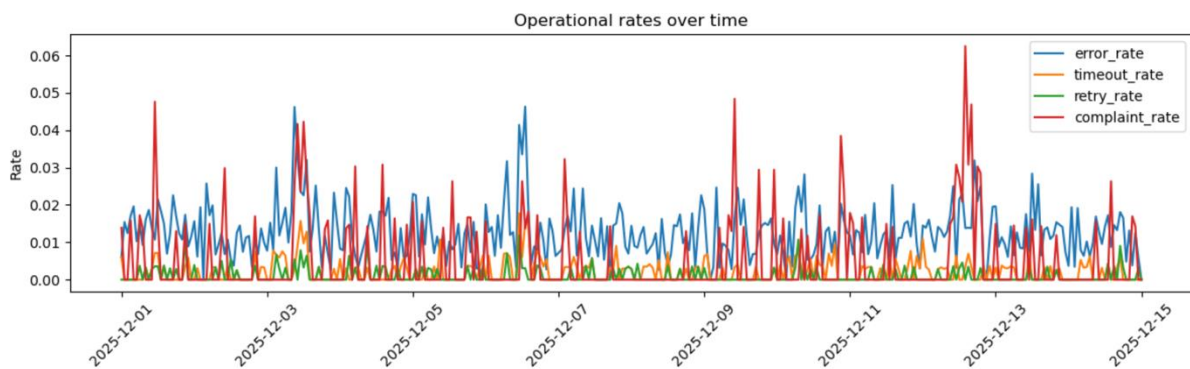


Рисунок 3 Динаміка експлуатаційних показників

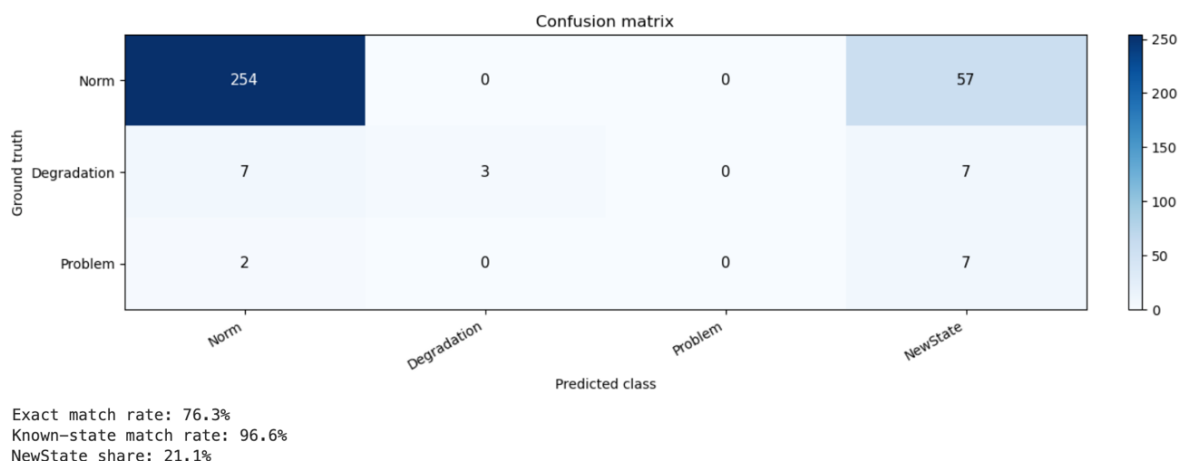


Рисунок 4 Оцінка результатів класифікації

Аналіз показав, що більшість помилок виникає у двох ситуаціях: перехід між нормою та деградацією або перехід від деградації до проблеми. Такі помилки є очікуваними, оскільки симптоми проблемного стану накопичуються поступово. Крім того, для кожного сценарію було визначено момент початку деградації t_{start} та момент її виявлення моделлю t_{detect} . Затримка виявлення визначалась як

$$\Delta t = t_{detect} - t_{start}$$

Результати наведено у табл. 1. Середня затримка виявлення становила $\Delta t = 13$ хв. Це підтверджує можливість використання компараторної моделі для ранньої діагностики експлуатаційних проблем.

У процесі експерименту було зафіксовано 6 випадків, для яких жоден стан не було класифіковано, тобто

$$F_{Norm}(X) = F_{Deg}(X) = F_{Prob}(X) = 0.$$

Таблиця 1

Оцінка затримки виявлення деградації

Scenario	start	detected	delay
performance degradation	10:00	10:15	15 хв
server overload	14:00	14:12	12 хв
UX degradation	18:00	18:18	18 хв
security anomaly	21:00	21:07	7 хв

Ці стани були класифіковані як нові. Аналіз показав, що такі стани виникали у випадках комбінованих симптомів, які не були передбачені початковою системою правил. Такі стани потребують подальшого аналізу та розширення системи предикатів. Таким чином, результати експериментів підтверджують можливість використання компараторної моделі.

Висновки. У превентивному супроводі ПЗ система метрик виступає “сенсорами” внутрішнього стану, дозволяючи побудувати модель, що порівнює стани і виявляє де-

градацію. Експеримент проводився з використанням синтетичного журналу експлуатаційних подій, згенерованого відповідно до описаної моделі експлуатаційного середовища. Метою експерименту було перевірити можливість застосування компараторної моделі для ранньої діагностики деградаційних станів програмної системи. Порівняння результатів класифікації з еталонними експлуатаційними станами показало, що компараторна модель забезпечує високу точність визначення класів експлуатаційної реакції. Загальна точність класифікації становила близько 93 %.

Аналіз часової динаміки експлуатаційних показників показав, що деградаційні процеси супроводжуються поступовим зростанням затримок виконання операцій, частоти помилок запитів та повторних дій користувачів. Результати експерименту також показали можливість виявлення нових експлуатаційних станів, які не були описані у початковій системі правил. Такі стани можуть бути використані для подальшого розширення моделі та уточнення порогових значень експлуатаційних показників.

Таким чином, проведене дослідження підтверджує, що запропонована компараторна модель може бути використана як інструмент превентивного супроводження програмних систем, забезпечуючи раннє виявлення деградаційних процесів на основі аналізу експлуатаційних даних.

ЛІТЕРАТУРА

1. Chupryna A., Repikhov V. Reference model for preventive software maintenance // *Management Information Systems and Devices*. – 2025. – №4 (187). – С. 254–277.
DOI: <https://doi.org/10.30837/0135-1710.2025.187.254>
2. Huang Y., Kintala C., Kolettis N., Fulton N. Software rejuvenation: analysis, model and applications // *Proceedings of the 25th International Symposium on Fault-Tolerant Computing*. – Pasadena, USA, 1995. – P. 381–390. DOI: <https://doi.org/10.1109/FTCS.1995.466961>
3. Cotroneo D., Iannillo A. K., Natella R., Pietrantuono R. A comprehensive study on software aging across Android versions and vendors // *Empirical Software Engineering*. – 2020. – Vol. 25, №5. – P. 3357–3395. DOI: <https://doi.org/10.1007/s10664-020-09838-3>
4. Moura R. J., Nascimento M. G., Machida F., Cotroneo D., Andrade E. Machine learning for software aging detection: A systematic mapping study // *Journal of Systems and Software*. – 2026. – Vol. 234. – Article 112715. DOI: <https://doi.org/10.1016/j.jss.2025.112715>
5. Rahman T., Nwokeji J., Manjunath T. V. Analysis of current trends in software aging: A literature survey // *Computer and Information Science*. – 2022. – Vol. 15, №4. – P. 19.
DOI: <https://doi.org/10.5539/cis.v15n4p19>
6. da Costa J. T., Matos R. de S., de Araujo J. C. T., Maciel P. R. M. Systematic mapping of literature on software aging and rejuvenation research trends // *Proceedings of the Annual Reliability and Maintainability Symposium (RAMS)*. – 2021. – P. 1–6.
DOI: <https://doi.org/10.1109/RAMS48097.2021.9605775>
7. Moura R. J., Nascimento M. G., Machida F., Andrade E. Adaptive detection of software aging under workload shift // *Proceedings of the Simpósio em Sistemas Computacionais de Alto Desempenho (SSCAD)*. – 2025. – P. 242–253.
DOI: <https://doi.org/10.5753/sscad.2025.16694>

8. Carnevali L., Paolieri M., Reali R., Scommegna L., Vicario E. A Markov regenerative model of software rejuvenation beyond the enabling restriction // IEEE International Symposium on Software Reliability Engineering Workshops. – 2022. – P. 138–145.
9. Pietrantuono R., Russo S. Software aging and rejuvenation in the cloud: A literature review // IEEE International Symposium on Software Reliability Engineering Workshops. – 2018. – P. 257–263. DOI: <https://doi.org/10.1109/ISSREW.2018.00016>
10. Cotroneo D., De Simone L., Natella R., Pietrantuono R., Russo S. Software micro-rejuvenation for Android mobile systems // Journal of Systems and Software. – 2022. – Vol. 186. – Article 111181. DOI: <https://doi.org/10.1016/j.jss.2021.111181>
11. Nascimento M. G., Moura R. J., Machida F., Andrade E. Comparison of machine learning algorithms for detecting software aging in SQL Server // Proceedings of the Latin-American Symposium on Dependable and Secure Computing (LADC). – 2024. – P. 159–164. DOI: <https://doi.org/10.1145/3697090.3699798>
12. Avritzer A. et al. Software aging detection and rejuvenation assessment in heterogeneous virtual networks // IEEE Transactions on Emerging Topics in Computing. – 2025. – Vol. 13, №2. – P. 299–313. DOI: <https://doi.org/10.1109/TETC.2025.3547612>
13. Scommegna L., Avritzer A., Carnevali L., Vicario E. Quantitative modeling and evaluation of software aging and rejuvenation in microservices // Proceedings of the IEEE International Symposium on Software Reliability Engineering Workshops. – 2025. – P. 322–329. DOI: <https://doi.org/10.1109/ISSREW67781.2025.00091>
14. Plehova G., Sharonova N., Neronov S., Plehov D., Fedorovych V. Mathematical bases of the methodology for building an intellectual system based on the theory of intelligence and the apparatus of predicate algebra // Innovative Technologies for Project and Program Management. – Riga: European University Press, 2025. – P. 202–235. DOI: <https://doi.org/10.30837/MMP.2025.202>
15. Vysotska V., Smelyakov K., Sharonova N., Dolhanenko O., Lanovyy O., Repikhov V. Intelligent system for diabetes management on mobile devices // Proceedings of the International Conference on Computational Linguistics and Intelligent Systems (CoLInS). – 2025. DOI: <https://doi.org/10.31110/COLINS/2025-3/006>

REFERENCES

1. Chupryna, A., & Repikhov, V. (2025). Reference model for preventive software maintenance. *Management Information Systems and Devices*, 4(187), 254–277. <https://doi.org/10.30837/0135-1710.2025.187.254>
2. Huang, Y., Kintala, C., Kolettis, N., & Fulton, N. (1995). Software rejuvenation: Analysis, model and applications. *Proceedings of the International Symposium on Fault-Tolerant Computing*, 381–390. <https://doi.org/10.1109/FTCS.1995.466961>
3. Cotroneo, D., Iannillo, A. K., Natella, R., & Pietrantuono, R. (2020). A comprehensive study on software aging across Android versions and vendors. *Empirical Software Engineering*, 25(5), 3357–3395. <https://doi.org/10.1007/s10664-020-09838-3>
4. Moura, R. J., Nascimento, M. G., Machida, F., Cotroneo, D., & Andrade, E. (2026). Machine learning for software aging detection: A systematic mapping study. *Journal of Systems and Software*, 234, 112715. <https://doi.org/10.1016/j.jss.2025.112715>

5. Rahman, T., Nwokeji, J., & Manjunath, T. V. (2022). Analysis of current trends in software aging: A literature survey. *Computer and Information Science*, 15(4), 19. <https://doi.org/10.5539/cis.v15n4p19>
6. da Costa, J. T., Matos, R. de S., de Araujo, J. C. T., & Maciel, P. R. M. (2021). Systematic mapping of literature on software aging and rejuvenation research trends. *Proceedings of the Annual Reliability and Maintainability Symposium (RAMS)*, 1–6. <https://doi.org/10.1109/RAMS48097.2021.9605775>
7. Moura, R. J., Nascimento, M. G., Machida, F., & Andrade, E. (2025). Adaptive detection of software aging under workload shift. *Proceedings of the Simpósio em Sistemas Computacionais de Alto Desempenho*, 242–253. <https://doi.org/10.5753/sscad.2025.16694>
8. Carnevali, L., Paolieri, M., Reali, R., Scommegna, L., & Vicario, E. (2022). A Markov regenerative model of software rejuvenation beyond the enabling restriction. *IEEE International Symposium on Software Reliability Engineering Workshops*, 138–145.
9. Pietrantuono, R., & Russo, S. (2018). Software aging and rejuvenation in the cloud: A literature review. *IEEE International Symposium on Software Reliability Engineering Workshops*, 257–263. <https://doi.org/10.1109/ISSREW.2018.00016>
10. Cotroneo, D., De Simone, L., Natella, R., Pietrantuono, R., & Russo, S. (2022). Software micro-rejuvenation for Android mobile systems. *Journal of Systems and Software*, 186, 111181. <https://doi.org/10.1016/j.jss.2021.111181>
11. Nascimento, M. G., Moura, R. J., Machida, F., & Andrade, E. (2024). Comparison of machine learning algorithms for detecting software aging in SQL Server. *Proceedings of the Latin-American Symposium on Dependable and Secure Computing*, 159–164. <https://doi.org/10.1145/3697090.3699798>
12. Avritzer, A., et al. (2025). Software aging detection and rejuvenation assessment in heterogeneous virtual networks. *IEEE Transactions on Emerging Topics in Computing*, 13(2), 299–313. <https://doi.org/10.1109/TETC.2025.3547612>
13. Scommegna, L., Avritzer, A., Carnevali, L., & Vicario, E. (2025). Quantitative modeling and evaluation of software aging and rejuvenation in microservices. *IEEE International Symposium on Software Reliability Engineering Workshops*, 322–329. <https://doi.org/10.1109/ISSREW67781.2025.00091>
14. Plehova, G., Sharonova, N., Neronov, S., Plehov, D., & Fedorovych, V. (2025). Mathematical bases of the methodology for building an intellectual system based on the theory of intelligence and the apparatus of predicate algebra. In *Innovative Technologies for Project and Program Management* (pp. 202–235). European University Press. <https://doi.org/10.30837/MMP.2025.202>
15. Vysotska, V., Smelyakov, K., Sharonova, N., Dolhanenko, O., Lanovyy, O., & Repikhov, V. (2025). Intelligent system for diabetes management on mobile devices. *Proceedings of the International Conference on Computational Linguistics and Intelligent Systems*. <https://doi.org/10.31110/COLINS/2025-3/006>

Received 24.03.2026
Accepted 27.03.2026
Published 31.03.2026

***Formation and validation of the feature alphabet
in a comparator model of preventive software maintenance***

Modern software systems operate in dynamic environments where performance degradation may gradually accumulate and eventually lead to service disruptions or system failures. Preventive software maintenance aims to detect early symptoms of degradation before critical incidents occur. However, reliable early diagnosis remains challenging because internal system states are not directly observable and must be inferred from operational telemetry such as logs, monitoring metrics, and user interaction data.

Recent research in software reliability and software aging detection primarily focuses on statistical analysis of telemetry data and machine learning techniques for anomaly detection and predictive maintenance. Despite significant progress in these areas, considerably less attention has been paid to the formal construction of interpretable feature systems that can be used for operational state diagnosis and preventive maintenance decision-making.

The purpose of this study is to develop and formalize an approach to forming and validating a feature alphabet for a comparator model of preventive software maintenance. The proposed model represents software system states using a finite set of observable features derived from operational metrics. These features are transformed into Boolean predicates that describe the current operational state of the system. Based on these predicates, a comparator identification model is constructed that classifies system states into operational response classes such as normal state, degradation state, and problem state.

The research method is based on the comparator identification approach, where system states are represented as vectors of binary features and classified using logical predicates expressed in disjunctive normal form. This representation enables interpretable state classification and allows engineers to understand which combinations of operational indicators correspond to different system conditions.

To evaluate the proposed approach, an experimental study was conducted using a synthetic event log simulating the operation of a distributed mobile application system. The experimental environment modeled normal operation as well as controlled degradation scenarios, including performance degradation, server overload, user experience deterioration, and security anomalies. Operational events were aggregated using sliding time windows, and a set of operational indicators was calculated for each window.

The results of the experiment demonstrate that the comparator model can effectively identify degradation symptoms based on operational metrics. The model correctly classified approximately 93% of system states and was able to detect degradation symptoms before critical incidents occurred. In addition, the model identified previously unseen operational states, indicating the possibility of adaptive refinement of the feature alphabet during system operation.

The obtained results confirm that the proposed comparator model and the feature alphabet formation approach can serve as an effective instrument for preventive software maintenance. The model provides interpretable diagnostics, supports early detection of deg-

radation processes, and can be extended through iterative refinement of features and logical rules during system operation.

Key words: preventive software maintenance, comparator model, operational state of a software system, software degradation, feature alphabet, operational metrics, degradation detection, software aging, system observability.

Репіхов Вадим Миколайович – аспірант кафедри програмної інженерії, Харківський національний університет радіоелектроніки.

ORCID: <https://orcid.org/0000-0002-1274-4205>

Чуприна Анастасія Сергіївна – кандидат технічних наук, доцент кафедри програмної інженерії, Харківський національний університет радіоелектроніки.

ORCID: <https://orcid.org/0000-0003-0394-9900>

Repikhov Vadym – PhD student, Department of Software Engineering, Kharkiv National University of Radio Electronics.

ORCID: <https://orcid.org/0000-0002-1274-4205>

Chupryna Anastasiia – PhD, Associate Professor, Department of Software Engineering, Kharkiv National University of Radio Electronics.

ORCID: <https://orcid.org/0000-0003-0394-9900>

Н.В. Сачанюк-Кавецька, О.В. Гуда, Т.А. Крадінова

ДИФЕРЕНЦІАЛЬНІ РІВНЯННЯ В ТЕХНІЦІ Й ПРИРОДНИЧИХ НАУКАХ: ЧИСЕЛЬНЕ ТА ДАНО-ОРІЄНТОВАНЕ МОДЕЛЮВАННЯ ЛОГІСТИЧНОЇ ДИНАМІКИ

Анотація. Актуальність роботи зумовлена потребою у відтворюваних моделях динамічних процесів, які поєднують класичні диференціальні рівняння з обробкою обмежених даних. Мета статті - показати на контрольній задачі логістичного росту, як чисельні методи та дано-орієнтована ідентифікація правої частини впливають на точність прогнозу. Наведено власні обчислювальні результати, що усувають оглядовий характер дослідження. Порівняно метод Ейлера, метод Рунге-Кутта четвертого порядку та параметричну дано-орієнтовану модель. У роботі наведено таблицю кількісних показників та графічну ілюстрацію траєкторій і похибок.

Ключові слова: диференціальні рівняння, логістичне рівняння, метод Ейлера, метод Рунге-Кутта, параметрична ідентифікація, математичне моделювання, технічні системи, природничі науки, прогнозування.

Постановка проблеми. Диференціальні рівняння є одним з основних інструментів математичного опису процесів, у яких стан системи змінюється в часі або просторі. Вони широко застосовуються в механіці, теплотехніці, електротехніці, біології, екології, хімічній кінетиці, економічній динаміці та багатьох інших галузях. Через систему похідних можна формалізувати закони руху, теплопередачі, дифузії, поширення хвиль, популяційної динаміки, зміни концентрацій і параметрів керованих процесів.

Однак у сучасних прикладних дослідженнях вже недостатньо лише загального огляду типів диференціальних рівнянь та сфер їх застосування. Якщо у статті декларується використання сучасних підходів до моделювання, то необхідно подати кількісно підтверджений і відтворюваний результат, який демонструє узгодженість між поставленою метою, методами та висновками. Саме тому в даній роботі поряд з узагальненням ролі диференціальних рівнянь у техніці й природничих науках проведено власне обчислювальне дослідження на базі логістичної моделі.

Аналіз останніх досліджень і публікацій. Класичні основи теорії звичайних і часткових диференціальних рівнянь, а також методи постановки початкових і крайових задач розглянуті у фундаментальних працях [1-3]. У чисельному аспекті широко використовуються метод Ейлера, методи Рунге-Кутта, скінченнорізницевої схеми та інші алгоритми, які дозволяють знаходити наближені розв'язки у випадках, коли аналітичний розв'язок відсутній або незручний для практичного використання [4-6].

Окремий сучасний напрям пов'язаний із дано-орієнтованим відновленням рівнянь динаміки за експериментальними або синтетичними даними [7-9]. До цього напрямку належать методи ідентифікації параметрів, sparse identification of nonlinear dynamics, physics-informed and neural differential models [10, 11]. Проте в багатьох роботах проблема полягає у розриві між заявленою новизною і реально продемонстрованим результатом. Тому в цій статті основну увагу зосереджено на прозорому та відтворюваному чисельному експерименті, який поєднує класичне інтегрування з дано-орієнтованою ідентифікацією у простій, але показовій нелінійній моделі.

Мета дослідження. Метою дослідження є узагальнення прикладної ролі диференціальних рівнянь у техніці й природничих науках та кількісна перевірка точності двох підходів до відтворення динаміки на прикладі логістичного рівняння: класичного чисельного інтегрування та дано-орієнтованої параметричної ідентифікації правої частини за обмеженими заводними даними.

Викладення основного матеріалу дослідження. У загальному вигляді звичайне диференціальне рівняння першого порядку можна записати як

$$z'(t) = f(t, z, \theta) \quad (1)$$

де $z(t)$ - стан системи, t - незалежна змінна, θ - параметри моделі. Такий запис охоплює широкий спектр прикладних задач: від руху механічної системи до зміни концентрації речовини або популяційної динаміки.

Серед типових прикладів застосування диференціальних рівнянь у техніці й природничих науках можна виділити експоненційне зростання або спад, рівняння теплопровідності, хвильове рівняння, рівняння електричних кіл, коливальні процеси та нелінійні моделі насичення. Саме нелінійні моделі часто є найбільш адекватними реальним системам, оскільки враховують обмеженість ресурсів, нелінійні зворотні зв'язки та зміну режимів функціонування.

У цій роботі як контрольну задачу використано логістичне рівняння

$$dN/dt = rN(1 - N/K) \quad (2)$$

де $N(t)$ - чисельність популяції або узагальнений рівень накопичення ресурсу, r - коефіцієнт зростання, K - місткість середовища. Для параметрів $r = 1$, $K = 100$, $N(0) = 10$ на інтервалі $t \in [0; 10]$ точний розв'язок має вигляд

$$N(t) = K / [1 + ((K - N_0)/N_0)e^{-rt}] \quad (3)$$

Аналітична формула (3) була використана як еталон для оцінки чисельних похибок.

Інтегрування задачі (2) виконано двома чисельними методами. Для явної схеми Ейлера використовувалося співвідношення

$$N_{k+1} = N_k + h \cdot f(N_k) \quad (4)$$

а для методу Рунге-Кутта четвертого порядку

$$N_{k+1} = N_k + (h/6)(k_1 + 2k_2 + 2k_3 + k_4) \quad (5)$$

де стандартні коефіцієнти k_i визначаються через значення правої частини в проміжних точках кроку. В обох випадках розрахунки проводилися при кроці $h = 0,5$. За референс-

ний розв'язок приймався результат методу RK4 з малим кроком $h = 0,01$, який практично збігається з аналітичним розв'язком (3).

Для перевірки можливості відновлення динаміки за обмеженими даними було використано параметричну модель правої частини у вигляді

$$f(N) = aN + bN^2 \quad (6)$$

Коефіцієнти a і b визначали методом найменших квадратів за синтетичними "шумними" даними для похідної, сформованими на основі точного розв'язку з додаванням 2 % відносного шуму. Після цього отриману модель повторно інтегрували методом RK4 і порівнювали з еталонною траєкторією.

Результати дослідження показали, що метод Ейлера при кроці $h = 0,5$ накопичує помітну похибку, тоді як RK4 практично відтворює еталонну траєкторію. Для дано-орієнтованої моделі отримано оцінки $a = 1,0053$ та $b = -0,01006$, які є близькими до теоретичних значень 1 та $-0,01$. Це означає, що навіть спрощена параметрична форма, ідентифікована за завадними даними, коректно відтворює основну нелінійну динаміку та насичення поблизу рівня K .

На рис. 1 наведено порівняння траєкторій логістичної моделі, отриманих різними методами. Аналіз графіка показує, що траєкторія, побудована методом RK4, практично збігається з еталонною, тоді як схема Ейлера демонструє більші локальні відхилення на проміжних етапах інтегрування. Дано-орієнтована модель, незважаючи на використання завадних даних, також добре відтворює загальний характер логістичного насичення.

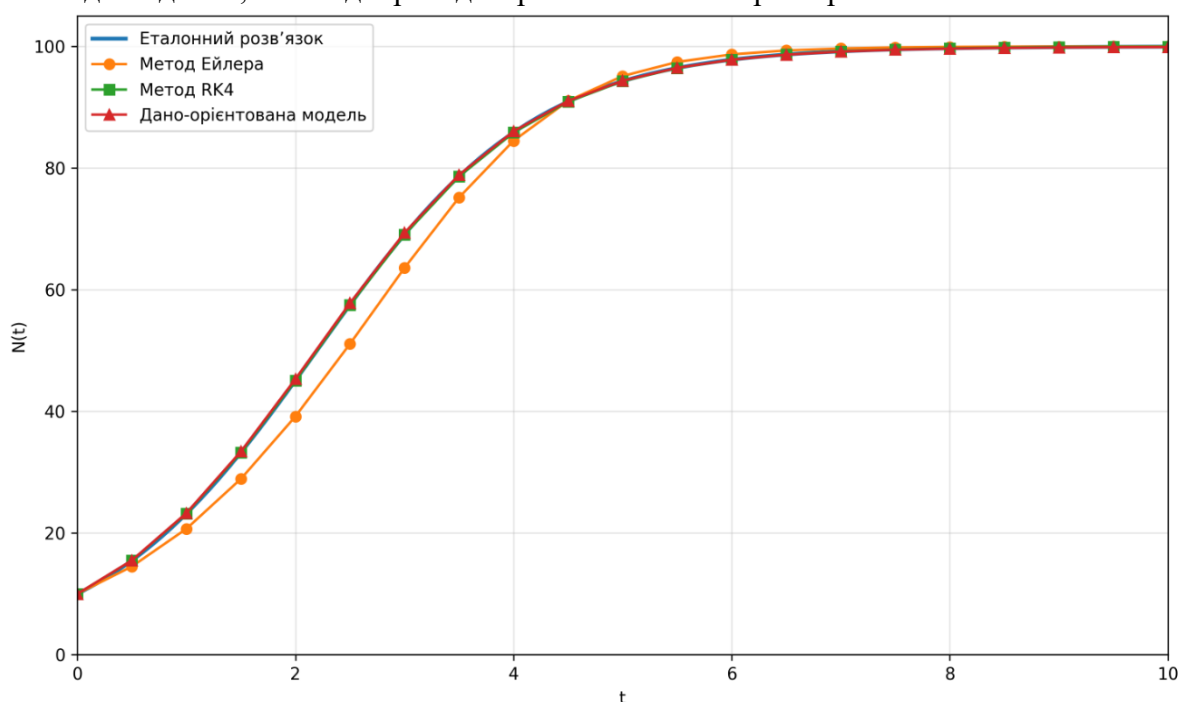


Рисунок 1 - Порівняння траєкторій логістичної динаміки: еталонний розв'язок, метод Ейлера, метод RK4 та дано-орієнтована модель

Для більш наочного кількісного порівняння в табл. 1 наведено значення середньоквадратичної похибки RMSE та кінцевого значення $N(10)$. Саме такі показники дозволяють об'єктивно оцінити точність апроксимації і відтворення динаміки.

Таблиця 1

Порівняння чисельних і дано-орієнтованих результатів для логістичної моделі

Метод/модель	Крок h	RMSE на [0;10]	$N(10)$
Ейлер	0,5	2,664	99,995
RK4	0,5	0,0039	99,959
Референсний RK4	0,01	0,0000	99,959
Ідентифікація $f(N)=aN+bN^2$ (2 % шум)	0,5	0,150	99,925

Як видно з табл. 1, метод RK4 суттєво перевершує схему Ейлера за точністю при тому самому кроці інтегрування. Дано-орієнтована модель також демонструє прийнятний рівень точності, що підтверджує можливість відновлення нелінійної динаміки навіть за обмеженою інформацією.

На рис. 2 подано порівняння значень RMSE для розглянутих підходів. Графічне подання похибок підсилює результати табл. 1 і показує суттєву різницю між базовою явною схемою першого порядку та більш точним методом RK4. Окремо видно, що параметрична дано-орієнтована модель займає проміжне положення: вона менш точна, ніж референсний чисельний розрахунок, але значно перевершує грубе наближення, якщо метою є відновлення загального характеру динаміки.

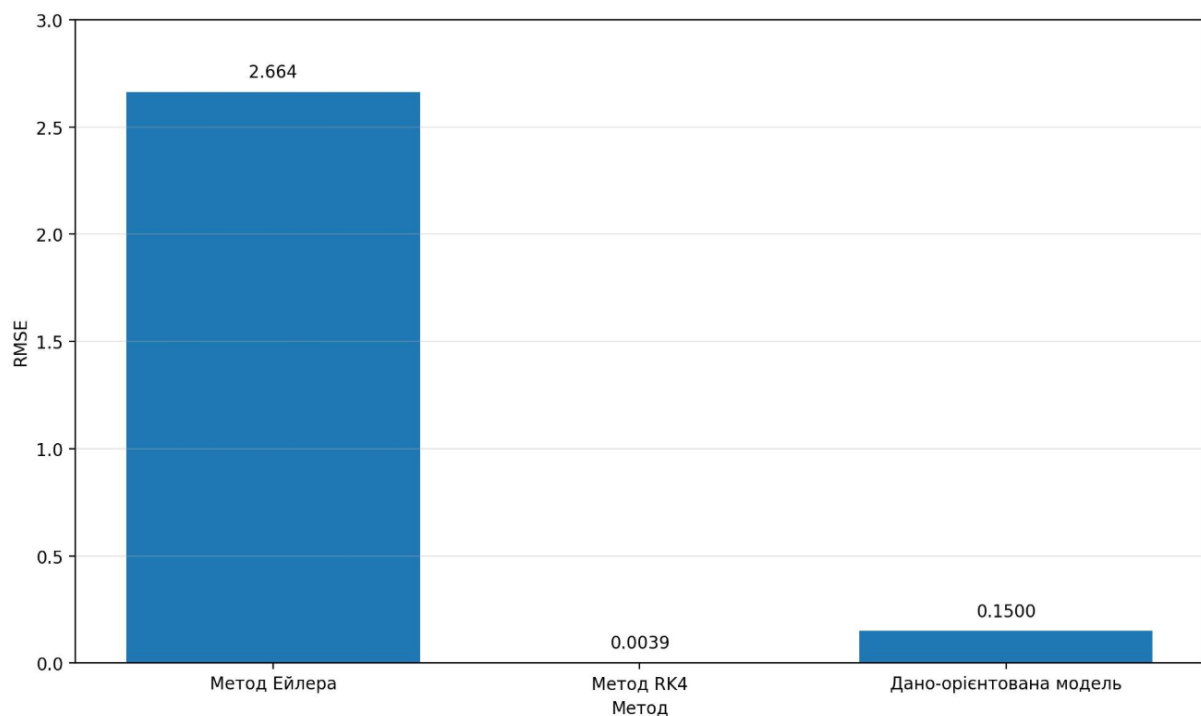


Рисунок 2 - Порівняння середньоквадратичної похибки RMSE для різних методів

Практичне значення отриманих результатів полягає в тому, що вони ілюструють два типові сценарії моделювання прикладних систем. Перший сценарій відповідає задачам, у яких структура рівняння відома, і необхідно обрати точний та стійкий чисельний метод. Другий - задачам, у яких структура моделі відома лише частково, а параметри або функціональні залежності мають бути ідентифіковані за даними спостережень. Саме цей другий сценарій є концептуально близьким до сучасних підходів нейронних диференціальних моделей, але в межах цієї статті він реалізований у прозорій параметричній формі, що забезпечує методологічну узгодженість між метою, методами та висновками.

Практична значущість результатів. Поданий у роботі підхід може бути використаний як навчально-методична та прикладна основа для задач прогнозування і керування в технічних та природничих системах. Порівняння чисельних схем на контрольній моделі показує, як вибір методу інтегрування безпосередньо впливає на точність оцінювання стану системи, а отже - на коректність інженерних рішень. Дано-орієнтована параметрична ідентифікація, у свою чергу, є корисною для ситуацій, коли рівняння процесу відоме лише частково або параметри системи змінюються внаслідок зовнішніх впливів.

Обмеження дослідження. Слід зазначити, що проведений чисельний експеримент виконано на одновимірній нелінійній моделі логістичного типу з фіксованими параметрами та синтетичними заводними даними. Тому отримані результати мають насамперед методичне значення і демонструють узгоджену схему порівняння чисельного інтегрування та дано-орієнтованої ідентифікації. Запропонований підхід дає змогу коректно оцінити вплив чисельної схеми на точність відтворення динаміки та перевірити можливість відновлення правої частини рівняння за обмеженою інформацією. Водночас для поширення висновків на ширший клас задач доцільно виконати подальші дослідження для багатовимірних систем, жорстких диференціальних рівнянь, часткових диференціальних моделей та задач із реальною експериментальною вибіркою.

Висновки:

1. Диференціальні рівняння підтверджено як універсальний інструмент математичного опису процесів у техніці й природничих науках, придатний як для якісного аналізу, так і для кількісного прогнозування.

2. На контрольній задачі логістичної динаміки отримано власний відтворюваний чисельний результат: при кроці $h = 0,5$ метод Ейлера дає RMSE 2,664, тоді як метод RK4 - лише 0,0039.

3. Дано-орієнтована параметрична ідентифікація правої частини у вигляді $f(N)=aN+bN^2$ за 2 % заводних даних забезпечує близькі до теоретичних оцінки параметрів і відтворює траєкторію з RMSE близько 0,15.

4. Наукова новизна роботи полягає у методично узгодженому поєднанні оглядового аналізу з власним чисельним експериментом і процедурою відновлення динаміки за обмеженими даними.

5. Перспективою подальших досліджень є поширення підходу на багатовимірні системи, часткові диференціальні рівняння та нейронні диференціальні моделі з повною процедурою навчання і валідації.

ЛІТЕРАТУРА

1. Tenenbaum M., Pollard H. Ordinary Differential Equations. New York: Dover Publications, 1985. 760 p.
2. Boyce W. E., DiPrima R. C., Meade D. B. Elementary Differential Equations and Boundary Value Problems. 11th ed. Hoboken: Wiley, 2017. 912 p. <https://www.wiley.com/en-cn/Elementary+Differential+Equations+and+Boundary+Value+Problems%2C+11th+Edition-p-9781119381648>
3. Strauss W. A. Partial Differential Equations: An Introduction. 2nd ed. Hoboken: John Wiley & Sons, 2007. 464 p. <https://www.wiley.com/en-us/Partial+Differential+Equations%3A+An+Introduction%2C+2nd+Edition-p-9780470054567>
4. Butcher J. C. Numerical Methods for Ordinary Differential Equations. 3rd ed. Chichester: Wiley, 2016. 512 p. https://books.google.com.ua/books/about/Numerical_Methods_for_Ordinary_Different.html?id=JISvDAAAQBAJ&redir_esc=y
5. Iserles A. A First Course in the Numerical Analysis of Differential Equations. 2nd ed. Cambridge: Cambridge University Press, 2008. 458 p. <https://doi.org/10.1017/CBO9780511995569>
6. Hairer E., Nørsett S. P., Wanner G. Solving Ordinary Differential Equations I: Nonstiff Problems. 2nd rev. ed. Berlin: Springer, 1993. 528 p. <https://doi.org/10.1007/978-3-540-78862-1>
7. Brunton S. L., Proctor J. L., Kutz J. N. Discovering governing equations from data by sparse identification of nonlinear dynamical systems. Proceedings of the National Academy of Sciences. 2016. Vol. 113, No. 15. P. 3932-3937. <https://doi.org/10.1073/pnas.1517384113>
8. Raissi M. Deep hidden physics models: Deep learning of nonlinear partial differential equations. Journal of Machine Learning Research. 2018. Vol. 19. P. 1-24. <https://doi.org/10.48550/arXiv.1801.06637>
9. Bongard J., Lipson H. Automated reverse engineering of nonlinear dynamical systems. Proceedings of the National Academy of Sciences. 2007. Vol. 104, No. 24. P. 9943-9948. <https://doi.org/10.1073/pnas.0609476104>
10. Chen R. T. Q., Rubanova Y., Bettencourt J., Duvenaud D. Neural ordinary differential equations. Advances in Neural Information Processing Systems. 2018. Vol. 31. P. 6571-6583. <https://doi.org/10.48550/arXiv.1806.07366>
11. Rackauckas C. et al. Universal differential equations for scientific machine learning. arXiv:2001.04385. 2020. 57 p. <https://doi.org/10.48550/arXiv.2001.04385>
12. Padalko A. M., Padalko N. Y., Padalko K. A., Podoliak V. M. Використання системи диференціальних рівнянь для математичного моделювання електричних машин

REFERENCES

1. Tenenbaum, M., & Pollard, H. (1985). Ordinary differential equations. New York: Dover Publications.
2. Boyce, W. E., DiPrima, R. C., & Meade, D. B. (2017). Elementary differential equations and boundary value problems (11th ed.). Hoboken, NJ: Wiley. <https://www.wiley.com/en-cn/Elementary+Differential+Equations+and+Boundary+Value+Problems%2C+11th+Edition-p-9781119381648>
3. Strauss, W. A. (2007). Partial differential equations: An introduction (2nd ed.). Hoboken, NJ: John Wiley & Sons. <https://www.wiley.com/en-us/Partial+Differential+Equations%3A+An+Introduction%2C+2nd+Edition-p-9780470054567>
4. Butcher, J. C. (2016). Numerical methods for ordinary differential equations (3rd ed.). Chichester: Wiley. https://books.google.com.ua/books/about/Numerical_Methods_for_Ordinary_Different.html?i=d=JISvDAAAQBAJ&redir_esc=y
5. Iserles, A. (2008). A first course in the numerical analysis of differential equations (2nd ed.). Cambridge: Cambridge University Press. <https://doi.org/10.1017/CBO9780511995569>
6. Hairer, E., Nørsett, S. P., & Wanner, G. (1993). Solving ordinary differential equations I: Nonstiff problems (2nd rev. ed.). Berlin: Springer. <https://doi.org/10.1007/978-3-540-78862-1>
7. Brunton, S. L., Proctor, J. L., & Kutz, J. N. (2016). Discovering governing equations from data by sparse identification of nonlinear dynamical systems. *Proceedings of the National Academy of Sciences*, 113(15), 3932-3937. <https://doi.org/10.1073/pnas.1517384113>
8. Raissi, M. (2018). Deep hidden physics models: Deep learning of nonlinear partial differential equations. *Journal of Machine Learning Research*, 19, 1-24. <https://doi.org/10.48550/arXiv.1801.06637>
9. Bongard, J., & Lipson, H. (2007). Automated reverse engineering of nonlinear dynamical systems. *Proceedings of the National Academy of Sciences*, 104(24), 9943-9948. <https://doi.org/10.1073/pnas.0609476104>
10. Chen, R. T. Q., Rubanova, Y., Bettencourt, J., & Duvenaud, D. (2018). Neural ordinary differential equations. *Advances in Neural Information Processing Systems*, 31, 6571-6583. <https://doi.org/10.48550/arXiv.1806.07366>
11. Rackauckas, C., et al. (2020). Universal differential equations for scientific machine learning. *arXiv preprint arXiv:2001.04385*. <https://doi.org/10.48550/arXiv.2001.04385>
12. Padalko, A. M., Padalko, N. Y., Padalko, K. A., & Podoliak, V. M. (2021). Using a system of differential equations for mathematical modeling of DC electric machines. *Computer-Integrated Technologies: Education, Science, Production*, 43, 97-102. DOI: <https://doi.org/10.36910/6775-2524-0560-2021-43-16>

Received 24.03.2026
Accepted 27.03.2026
Published 31.03.2026

***Differential equations in engineering and natural sciences:
numerical and data-driven modeling of logistic dynamics***

Recent studies on differential equations increasingly combine classical mathematical modeling with data-driven identification techniques. This trend is especially relevant in engineering and natural sciences, where real systems are often described by nonlinear dynamics, while the available data are limited or affected by noise. In such a context, a modern manuscript should not remain purely descriptive; it must demonstrate a reproducible computational result that quantitatively confirms the declared methodological approach.

The purpose of this paper is twofold: first, to summarize the applied role of differential equations in engineering and natural sciences; second, to verify, on a reproducible control problem, the accuracy of two approaches to dynamic modeling: classical numerical integration and data-driven identification of the right-hand side from limited noisy observations.

The study uses the logistic equation $dN/dt = rN(1-N/K)$ with parameters $r = 1$, $K = 100$, $N(0) = 10$ on the interval $t \in [0; 10]$. The exact analytical solution is used as a benchmark. Numerical integration is performed by the explicit Euler method and the fourth-order Runge-Kutta method with a time step $h = 0.5$. In addition, a simplified data-driven model of the right-hand side is considered in the form $f(N) = aN + bN^2$. The coefficients are identified by least squares from synthetic derivative data corrupted by 2% relative noise. The identified model is then reintegrated and compared with the benchmark trajectory.

The obtained results demonstrate a substantial difference in accuracy between the two numerical schemes. For the same step size, the Euler method yields $RMSE = 2.664$, while RK4 gives $RMSE = 0.0039$. The final value $N(10)$ is reproduced much more accurately by RK4. At the same time, the identified data-driven model recovers coefficients $a = 1.0053$ and $b = -0.01006$, which are close to the theoretical values 1 and -0.01. The reconstructed trajectory has $RMSE \approx 0.15$, showing that even a simple parametric representation can preserve the essential nonlinear behavior and saturation near the carrying capacity.

The scientific contribution of the paper lies in methodological consistency. Instead of declaratively referring to neural differential equations without quantitative evidence, the manuscript provides a transparent comparative numerical experiment and a reproducible data-driven identification procedure. This removes the discrepancy between the stated goal, the applied methods, and the conclusions. The proposed framework may serve as a basis for further extensions to multidimensional systems, partial differential equations, and neural differential models with a complete training and validation pipeline.

Сачанюк-Кавецька Наталія Василівна - кандидат технічних наук, доцент, доцент кафедри вищої математики, Вінницький національний технічний університет.

ORCID: <https://orcid.org/0000-0001-6405-1331>

Гуда Оксана Вікторівна - кандидат технічних наук, доцент, доцент кафедри фізики та вищої математики, Луцький національний технічний університет.

ORCID: <https://orcid.org/0000-0002-3602-7892>

Крадінова Тетяна Адамівна - кандидат технічних наук, доцент, доцент кафедри фізики та вищої математики, Луцький національний технічний університет.

ORCID: <https://orcid.org/0000-0002-5611-1290>

Sachaniuk-Kavetska Natalia - candidate of technical sciences, associate professor, associate professor of the department of higher mathematics, Vinnytsia National Technical University.

ORCID: <https://orcid.org/0000-0001-6405-1331>

Huda Oksana - candidate of technical sciences, associate professor, associate professor of the department of physics and higher mathematics, Lutsk National Technical University.

ORCID: <https://orcid.org/0000-0002-3602-7892>

Kradinova Tetiana - candidate of technical sciences, associate professor, associate professor of the department of physics and higher mathematics, Lutsk National Technical University.

ORCID: <https://orcid.org/0000-0002-5611-1290>

Д.І. Скуріхін, А.О. Ловська, В.Г. Равлюк, А.В. Рибін, В.В. Бондаренко
**ЗАСТОСУВАННЯ НЕЙРОННИХ МЕРЕЖ ДЛЯ АНАЛІЗУ СПЕКТРОГРАМ
АКУСТИЧНИХ СИГНАЛІВ ВЗАЄМОДІЇ КОЛЕСА І РЕЙКИ**

Анотація. У статті розглянуто застосування нейронних мереж для аналізу спектрограм акустичних сигналів взаємодії колеса і рейки з метою автоматизованого моніторингу технічного стану рухомого складу. Наведено результати експериментальних вимірювань акустичних сигналів під час проходження поїздів, виконано побудову та експертну розмітку спектрограм. Для автоматичної класифікації сигналів використано згорткову нейронну мережу на основі MobileNet. Проведене навчання моделі дозволило ідентифікувати характерні типи акустичних сигналів: ударну взаємодію колеса і рейки, шум кочення, аеродинамічний шум та скрегіт у кривих ділянках колії.

Проведене дослідження підтверджує ефективність застосування нейронних мереж для аналізу спектрограм акустичних сигналів, що генеруються під час взаємодії колеса та рейки. Запропонований підхід дозволяє автоматично ідентифікувати характерні акустичні події, пов'язані з різними умовами експлуатації залізничного рухомого складу. Отримані результати демонструють потенціал інтеграції методів машинного навчання в інтелектуальні інформаційно-вимірювальні системи для діагностики та моніторингу залізниць. Запропонований метод може сприяти підвищенню ефективності систем акустичного моніторингу та розробці технологій прогнозного обслуговування залізничних транспортних засобів.

Ключові слова: згорткова нейронна мережа, акустичний сигнал, MobileNet, акустичний моніторинг, залізничний транспортний засіб.

Постановка проблеми. Сучасні інформаційно-вимірювальні системи моніторингу технічного стану транспортних об'єктів потребують ефективних методів обробки великих масивів вимірювальних даних. У сфері залізничного транспорту особливу актуальність має своєчасне виявлення дефектів колісних пар під час руху поїзда, оскільки такі пошкодження безпосередньо впливають на безпеку руху та надійність експлуатації рухомого складу. Одним із перспективних джерел діагностичної інформації є акустичні сигнали, що виникають у зоні контакту колеса–рейка. Традиційні методи аналізу таких сигналів базуються на спектральному аналізі, однак складна структура шуму та велика кількість зовнішніх факторів ускладнюють виділення інформативних ознак. Тому актуальним є застосування методів штучного інтелекту, зокрема нейронних мереж, для автоматизованого аналізу спектрограм акустичних сигналів у складі інформаційно-вимірювальних систем діагностики.

Аналіз останніх досліджень і публікацій. У сучасних дослідженнях технічного стану залізничного рухомого складу широко застосовуються методи вібраційної, акустичної та акустико-емісійної діагностики [1-3]. Значна увага приділяється аналізу сигналів взаємодії колесо–рейка, які містять інформацію про дефекти поверхні кочення коліс та інші несправності. У низці робіт показано ефективність використання спектрального аналізу, хвильових перетворень та статистичних параметрів сигналу для виділення діагностичних ознак [4-6]. Останніми роками активно досліджується застосування методів машинного навчання та глибоких нейронних мереж для автоматичної класифікації сигналів технічних систем, зокрема у задачах діагностики дефектів коліс та буксових вузлів [7-9]. Водночас питання використання спектрограм акустичних сигналів як вхідних даних для навчання нейронних мереж у задачах моніторингу технічного стану колісних пар залишається недостатньо дослідженим.

У попередній публікації авторів було здійснено аналітичне узагальнення сучасних цифрових технологій, що застосовуються на різних етапах життєвого циклу залізничного рухомого складу - від проектування до утилізації [11]. У цій роботі систематизовано використання PLM-, CAD/CAE-, MES-, ERP-, RFID/Barcode-, IoT-, blockchain-рішень, цифрових двійників, телематики, big data та AI-інструментів, а також показано їх місце в єдиному цифровому середовищі керування історією вагона. Особливу увагу було приділено тому, що на етапі технічного обслуговування перспективними є підходи predictive maintenance, смарт-контракти та цифрові записи сервісної історії, а серед подальших напрямів окремо виділено AI у технічному обслуговуванні, стандартизацію управління даними та локалізацію цифрових рішень для умов вагонобудування країн з перехідною економікою. Таким чином, попередня стаття сформувала загальну концептуальну рамку та показала, що інтегроване цифрове управління життєвим циклом рухомого складу є необхідною умовою підвищення ефективності, безпеки та простежуваності технічного стану вагонів.

Метою дослідження є розробка підходу до обробки акустичних сигналів взаємодії колесо-рейка на основі нейронних мереж для автоматизованої ідентифікації характерних режимів роботи рухомого складу. Для досягнення цієї мети запропоновано використовувати спектрограми акустичних сигналів як інформативні ознаки для навчання моделі машинного навчання. Передбачається сформувати набір спектрограм, що відповідають різним режимам взаємодії колеса з рейкою, зокрема коченню колеса по рейці, гальмуванню, ударній взаємодії та скреготу в кривих ділянках колії. На основі сформованого набору даних здійснюється навчання нейронної мережі для подальшої класифікації сигналів. Отримані результати можуть бути використані при створенні інтелектуальних інформаційно-вимірювальних систем моніторингу технічного стану залізничного рухомого складу.

Викладення основного матеріалу дослідження. З метою формування достовірної вибірки акустичних сигналів, що надалі використовується для навчання нейронної мережі, необхідно забезпечити коректність та відтворюваність процесу вимірювання. У

зв'язку з цим у роботі наведено технічні характеристики вимірювального приладу, параметри реєстрації сигналу та умови проведення експериментальних вимірювань.

Технічні характеристики вимірювального приладу:

- робочий частотний діапазон 30Гц – 20кГц;
- частотна характеристика (рис. 1);
- чутливість мікрофона +7 – +47дБ;
- розрядність процесора 24біт;
- частота дискретизації 96кГц;
- вітрозахист в комплекті;
- карта пам'яті SD, USB-інтерфейс.

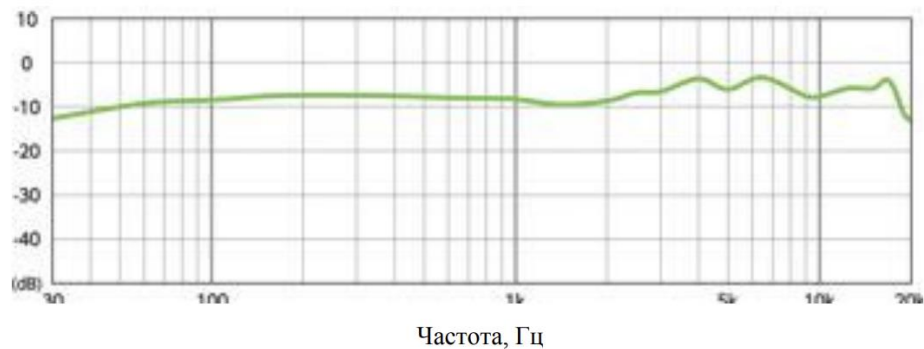


Рисунок 1 - Частотна характеристика вимірювального приладу



Рисунок 2 - Розташування звукозаписного приладу під час дослідження

Під час дослідження дотримані наступні вимоги щодо умов вимірів:

- в колі радіусом 50 м не повинно бути великих предметів, які відбивають звук (пагорбів, мостів, будинків);
- поблизу мікрофона не повинно бути предметів, які можуть порушити вільне звукове поле;

- застосування вітрозахисного пристрою при швидкості вітру більш 5м/с виміру не проводять.

- рейки типу Р65, щебеневий баласт, залізобетонні шпали;

- середні: швидкість вітру – 4м/с, температура повітря - 34°С, атмосферний тиск – 744 мм.рт.ст.

Експеримент проведений з наступними видами рухомого складу (табл. 1). Для підвищення достовірності вимірів запис проведений по двом каналам приладу.

Таблиця 1

Вибірка рухомого складу залізниць

Тип рухомого складу	Загальна кількість, од.	Діапазон швидкостей, км/год
Пасажирські вагони	204	18-80
Вантажні вагони	282	5-74
Вагони електропоїздів	38	35-60

Дотримання визначених вимог до умов експерименту забезпечує формування репрезентативної бази акустичних записів, що відображає реальні процеси взаємодії колеса і рейки під час руху поїзда. Отримані експериментальні дані у подальшому використовуються для побудови спектрограм та формування навчальної вибірки для нейронної мережі. Частина даних була використана з попереднього дослідження авторів [12].

На основі експертного аналізу спектрограм було виконано ручну розмітку акустичних сигналів, що дозволило виділити інформативні діагностичні ознаки різних джерел шуму (шум кочення, писк у кривій, аеродинамічний шум тощо). Отримані області спектру можуть бути використані як навчальна вибірка для алгоритмів машинного навчання.

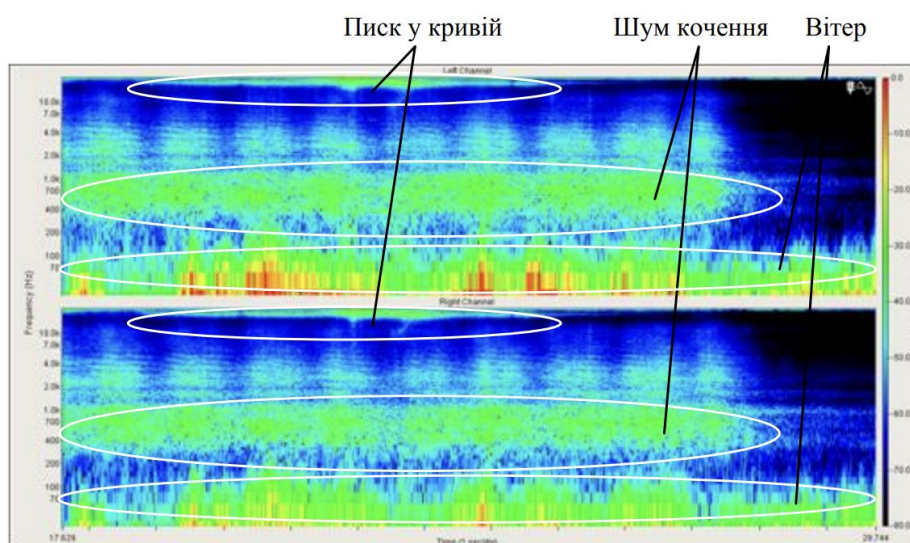


Рисунок 3 - Експертна розмітка спектрограми з виділенням частотних областей джерел акустичних сигналів

Визначення таких характерних патернів дозволяє сформувати набір інформативних ознак спектрограм, які можуть бути використані для подальшої автоматичної класифікації акустичних сигналів. На основі проведеного аналізу було систематизовано типові ознаки спектрограм та відповідні їм події або джерела шуму, що наведено у таблиці 2. Представлені ознаки використовуються як діагностичні критерії при формуванні навчальної вибірки для алгоритмів машинного навчання.

Таблиця 2

Виділення інформативних ознак

Ознака спектрограми	Подія
горизонтальна вузька смуга 2–8 kHz	писк у кривій
широкий шум 100–1000 Hz	шум кочення
хаотичний сигнал <200 Hz	вітер
широкий шум 500–2000 Hz	тертя гальм
гармоніки 2–6 kHz	писк гальм
імпульсний шум 1–10 kHz	випуск повітря
вертикальні імпульси	удар колесо–рейка
часті імпульси 1–6 kHz	скрегіт
гармоніки 3–10 kHz	свист
гармоніки 1–3 kHz	гудок

Для автоматичної класифікації спектрограм шумів рухомого складу була використана модель згорткової нейронної мережі, навчена за допомогою платформи Teachable Machine.

Модель навчалась розпізнавати характерні типи акустичних сигналів:

- ударна взаємодія колеса і рейки;
- шум кочення;
- аеродинамічний шум (вітер);
- скрегіт у кривих ділянках колії.

Для підготовки даних до навчання спектрограми було розділено на квадратні фрагменти однакового розміру (рис. 4). Це дозволяє перетворити безперервний акустичний сигнал на набір стандартизованих зображень, що містять локальні часово-частотні ознаки та можуть використовуватись як навчальні приклади для класифікації нейронною мережею.

Архітектура моделі базується на попередньо навчений CNN-екстрактор ознак типу MobileNet, який використовується для автоматичного виділення просторово-частотних патернів спектрограм. На основі отриманого вектора ознак формується класифікаційний шар, що визначає ймовірність належності сигналу до відповідного класу. Навчання моделі виконується шляхом мінімізації функції втрат крос-ентропії з використанням алгоритму градієнтного спуску.

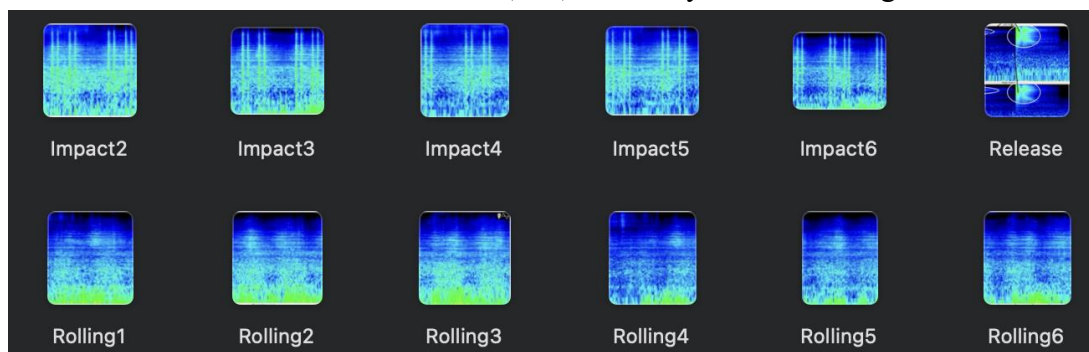


Рисунок 4 - Підготовка спектрограми до тренування нейронної мережі

Нижче наведено математичний опис, застосованої нейронної мережі.

1. Вхідні дані (спектрограма)

Спектрограма подається у вигляді зображення:

$$X \in \mathbb{R}^{H \times W \times C} \quad (1)$$

де H - висота (частотні бінни)

W - ширина (часові фрейми)

C - кількість каналів (RGB).

2. Згорткова нейронна мережа (CNN)

Основна операція - згортка:

$$Y_{i,j,k} = \sum_{m=0}^{M-1} \sum_{n=0}^{N-1} \sum_{c=0}^{C-1} X_{i+m,j+n,c} \times W_{m,n,c,k} + b_k \quad (2)$$

де X - вхідна матриця

W - ядро згортки

b_k - зміщення

k - номер фільтра.

Ця операція дозволяє виділяти локальні патерни спектрограми.

3. Функція активації

Після згортки застосовується ReLU:

$$f(x) = \max(0, x) \quad (3)$$

Це додає нелінійність моделі.

4. Pooling

Для зменшення розмірності використовується max pooling:

$$y_{i,j} = \max_{(m,n) \in R} X_{i+m,j+n} \quad (4)$$

де R — область pooling.

5. Формування вектора ознак

Після проходження кількох CNN-блоків отримується вектор ознак:

$$z = \phi(X) \quad (5)$$

6. Класифікаційний шар

Фінальний шар - повнозв'язна мережа:

$$y = Wz + b \quad (6)$$

Де z - вектор ознак

W - матриця ваг

b - зміщення

7. Softmax

Ймовірність належності до класу:

$$P(y_i) = \frac{e^{z_i}}{\sum_{k=1}^K e^{z_k}} \quad (7)$$

де K - кількість класів.

8. Функція втрат

Навчання виконується мінімізацією cross-entropy loss:

$$L = -\sum_{i=1}^K y_i \log(\hat{y}_i) \quad (8)$$

9. Оновлення ваг

Параметри моделі оптимізуються методом градієнтного спуску:

$$\theta_{t+1} = \theta_t - \eta \nabla_{\theta} L \quad (9)$$

де η - learning rate.

На рисунку 5 представлено процес навчання нейронної мережі у середовищі Teachable Machine. Для формування навчального набору даних було створено кілька класів сигналів, що відповідають різним джерелам шуму: ударна взаємодія колеса з рейкою (Impact), шум вітру (Wind), шум кочення коліс по рейці (Rolling), а також скрегіт у кривих ділянках колії (Screech). Кожен клас містив набір спектрограм, сформованих із експериментальних акустичних записів, отриманих під час проходження поїзда.

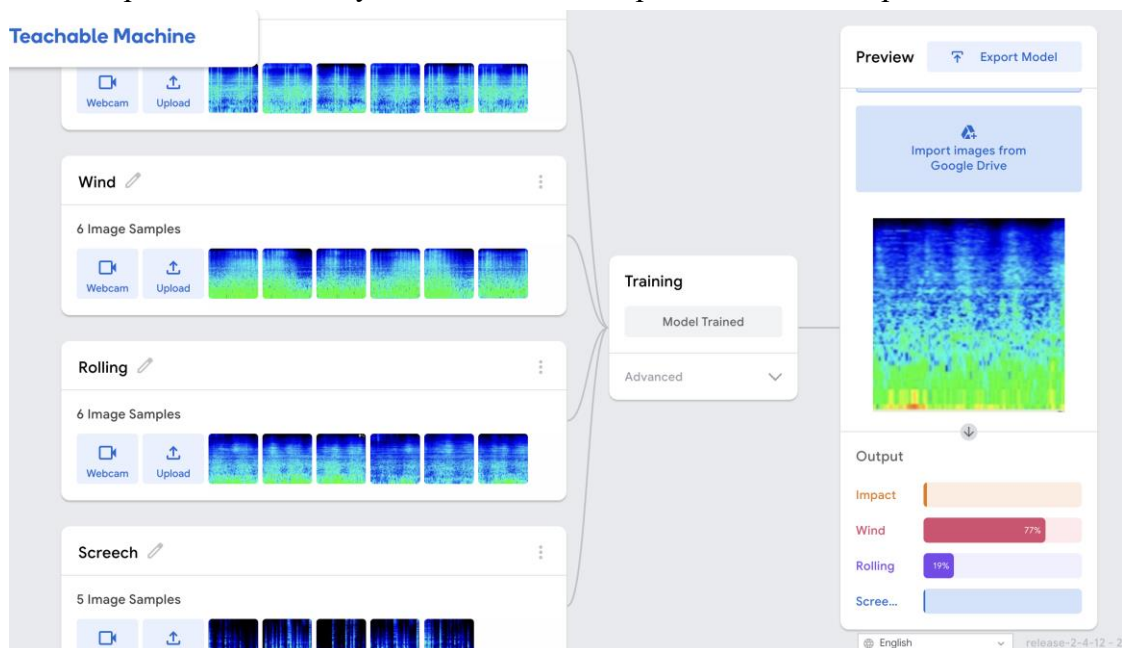


Рисунок 5 – Результат роботи моделі по розпізнаванню спектрограми вітру

Після формування навчальної вибірки було виконано навчання нейронної мережі для задачі класифікації спектрограм. У правій частині рисунка наведено результат тестування моделі на новому зразку спектрограми, що містить переважно акустичний сигнал вітру, а також компоненти шуму кочення. Модель визначила найбільш ймовірний клас Wind з імовірністю 77 %, тоді як імовірність належності сигналу до класу Rolling становила 19 %, що відповідає фактичній структурі сигналу, де присутні як аеродинамічний шум, так і фоновий шум руху поїзда.

На рисунку 6 видно, що модель визначила клас Impact з імовірністю 92 %, тоді як імовірність належності сигналу до класів Wind, Rolling та Screech була незначною і не перевищувала кількох відсотків. Такий розподіл імовірностей свідчить про чітку ідентифікацію характерних ознак ударної взаємодії колеса та рейки

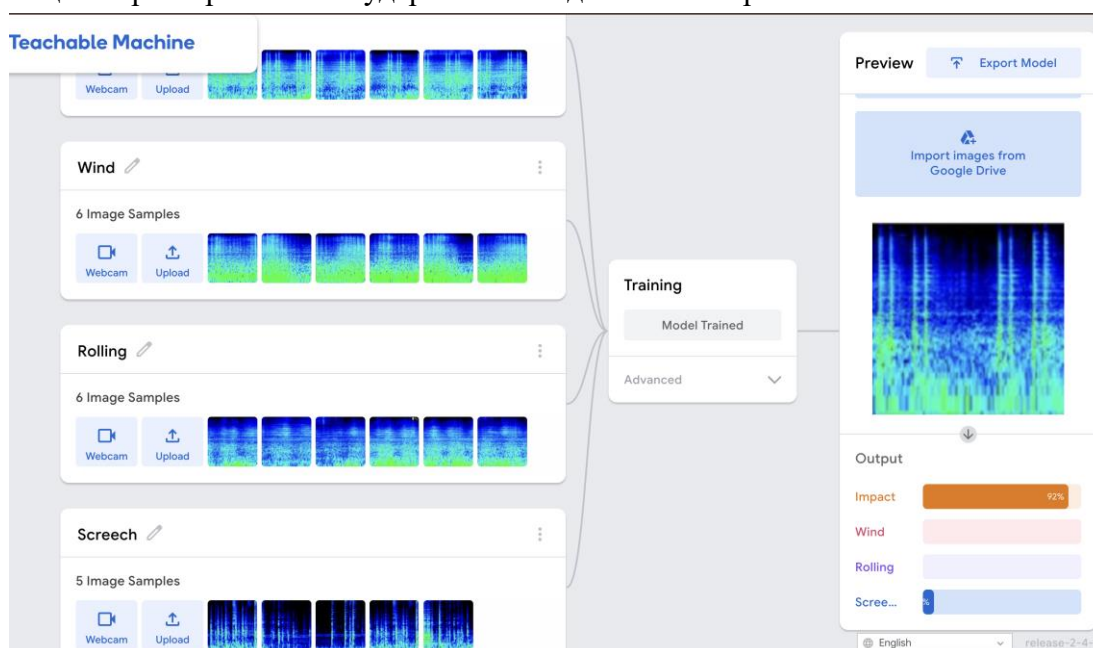


Рисунок 6 – Результат роботи моделі по розпізнаванню спектрограми ударної взаємодії колеса з рейкою

Високе значення ймовірності для класу Impact 92 % свідчить про достатню якість навчання моделі та її здатність впевнено виділяти інформативні ознаки ударної взаємодії серед інших типів акустичних сигналів. Таким чином, для даного тестового зразка модель продемонструвала коректну роботу та правильну класифікацію спектрограми, що підтверджує ефективність використаного підходу для автоматизованого розпізнавання імпульсних акустичних подій у системі моніторингу рухомого складу.

На рисунку 7 також наведено результат тестування моделі на іншому зразку спектрограми, що відповідає переважно шуму кочення коліс по рейці. Як видно з результатів класифікації, нейронна мережа визначила найбільш ймовірний клас Rolling з імовірністю 83 %, тоді як імовірність належності сигналу до класу Wind становить лише 11 %, а до класу Impact — незначну частку. Аналіз спектрограми показує характерний розподіл енергії сигналу в середньому та високочастотному діапазонах, що є типовим для шуму кочення рухомого складу під час стабільного руху поїзда.

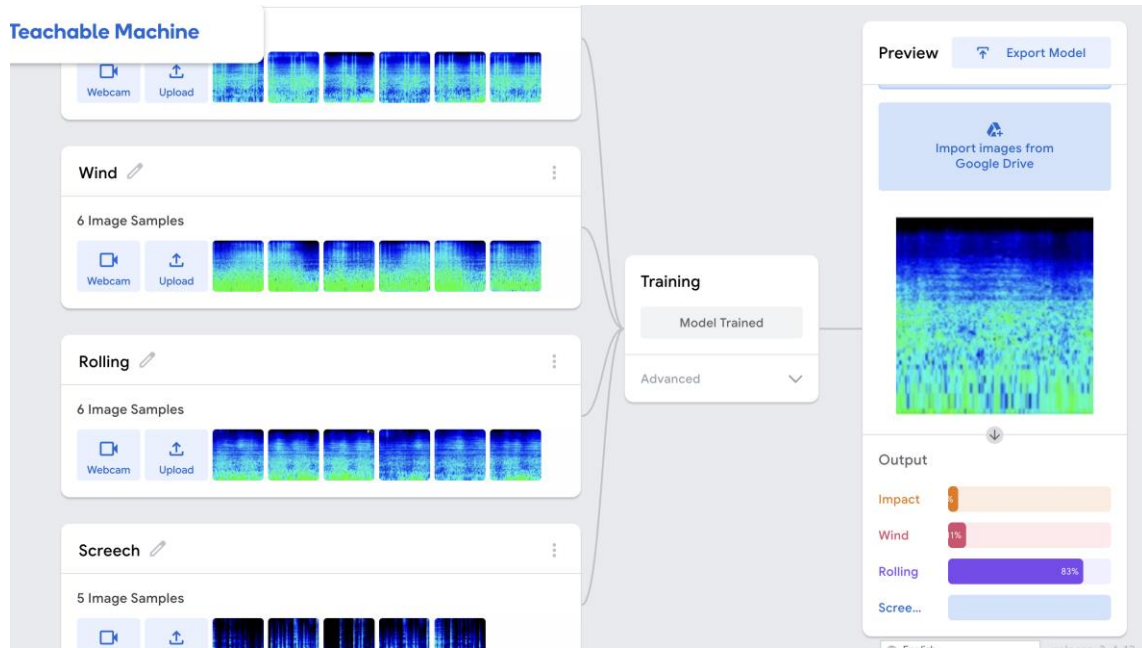


Рисунок 7 – Результат роботи моделі по розпізнаванню спектрограми шуму кочення

На тестовому зразку (рис. 8) спостерігається характерна структура сигналу у вигляді численних вертикальних смуг підвищеної інтенсивності в широкому діапазоні частот, що відповідає високочастотним коливанням, типовим для процесів тертя колеса об рейку у кривих ділянках колії.

Результати класифікації показали, що модель визначила найбільш ймовірний клас Screech з імовірністю 99 %, тоді як ймовірності належності сигналу до інших класів (Impact, Wind, Rolling) є мінімальними. Такий результат свідчить про коректне розпізнавання характерних ознак сигналу та високу впевненість моделі у правильності класифікації.

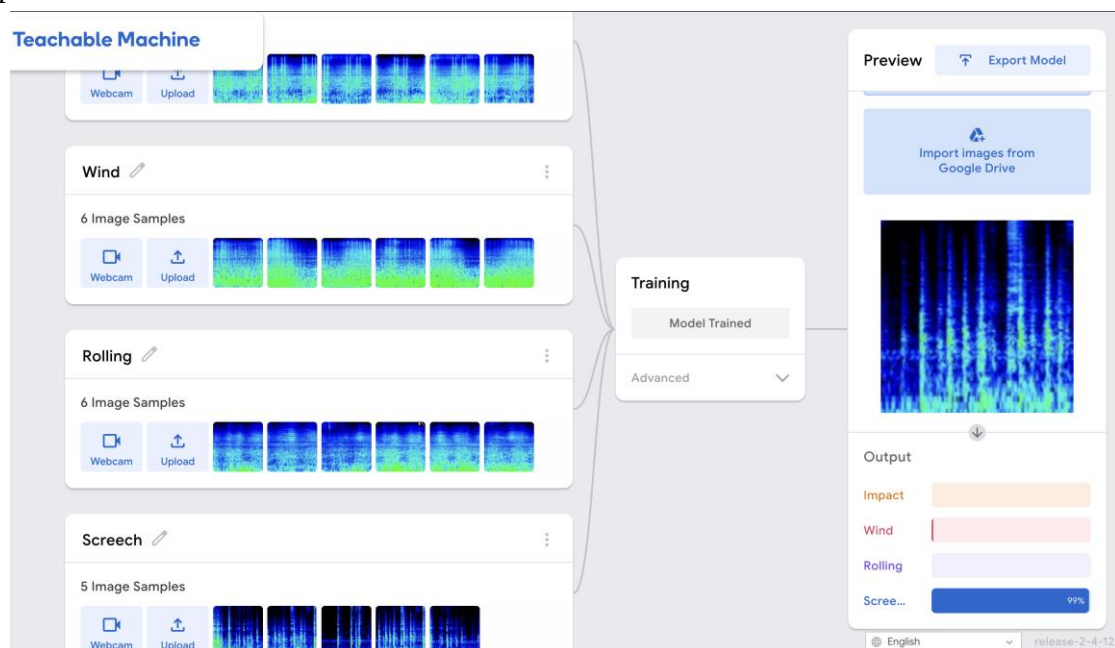


Рисунок 8 – Результат роботи моделі по розпізнаванню спектрограми скрегіту у кривій малого радіусу

Отримані результати підтверджують здатність нейронної мережі розрізняти різні джерела акустичних сигналів навіть за обмеженої кількості навчальних прикладів. У даному випадку модель коректно визначила домінуючий тип акустичного процесу, що відповідає реальним умовам експлуатації рухомого складу. Це свідчить про можливість застосування подібних підходів у системах акустичного моніторингу для автоматичного розпізнавання режимів взаємодії колеса та рейки.

Таким чином, використання спектрограм акустичних сигналів у поєднанні з методами машинного навчання дозволяє підвищити ефективність обробки вимірювальної інформації та створює передумови для побудови інтелектуальних інформаційно-вимірювальних систем діагностики технічного стану колісних пар залізничного рухомого складу.

Висновки. У роботі запропоновано підхід до обробки акустичних сигналів взаємодії колеса і рейки на основі нейронних мереж. Експериментальні вимірювання виконано під час проходження 204 пасажирських, 282 вантажних вагонів та 38 вагонів електропоїздів у діапазоні швидкостей 5–80 км/год. На основі отриманих акустичних записів побудовано спектрограми та виконано їх експертну розмітку, що дозволило сформувати навчальну вибірку для моделі машинного навчання. Для класифікації сигналів використано згорткову нейронну мережу на базі MobileNet. Результати тестування показали, що модель розпізнає характерні акустичні події з імовірністю до 99 %, що підтверджує ефективність застосування нейронних мереж у системах акустичного моніторингу технічного стану рухомого складу.

Подяка. Дане дослідження проведено в рамках науково-дослідної роботи “Підвищення безпеки руху залізничного рухомого складу шляхом впровадження інтегрованих технологій підтримки життєвого циклу” (№ДР 0125U001907), яка виконується за рахунок коштів державного бюджету України з 2025 р.

ЛІТЕРАТУРА

1. Molodova, M., Li, Z., Dollevoet, R. *Axle box acceleration: Measurement and simulation for detection of short track defects*. Mechanical Systems and Signal Processing, 2014. <https://doi.org/10.1016/j.ymssp.2013.10.011>
2. Zhang, W., Li, Z., Dollevoet, R. *Rail defect detection using axle box acceleration measurements*. Mechanical Systems and Signal Processing, 2018. <https://doi.org/10.1016/j.ymssp.2017.10.020>
3. Li, Z., Molodova, M., Núñez, A. *Condition monitoring of railway infrastructure and vehicles based on vibration measurements*. Sensors, 2020. <https://doi.org/10.3390/s20051472>
4. Antoni, J. *The spectral kurtosis: A useful tool for characterising non-stationary signals*. Mechanical Systems and Signal Processing, 2006. <https://doi.org/10.1016/j.ymssp.2004.09.001>
5. Randall, R., Antoni, J. *Rolling element bearing diagnostics — A tutorial*. Mechanical Systems and Signal Processing, 2011. <https://doi.org/10.1016/j.ymssp.2010.07.017>
6. Zhao, R., Yan, R., Chen, Z., Mao, K., Wang, P., Gao, R. *Deep learning and its applications to machine health monitoring*. Mechanical Systems and Signal Processing, 2017. <https://doi.org/10.1016/j.ymssp.2016.11.030>

7. Lei, Y., Li, N., Guo, L., Li, N., Yan, T., Lin, J. *Machinery health prognostics: A systematic review*. Mechanical Systems and Signal Processing, 2020.
<https://doi.org/10.1016/j.ymssp.2019.106587>
8. Zhang, Y., Qin, Y., Mao, Y. *Deep learning for intelligent fault diagnosis in mechanical systems*. IEEE Transactions on Industrial Electronics, 2021.
<https://doi.org/10.1109/TIE.2020.2972442>
9. Peng, Z., Chu, F. *Application of wavelet transform in machine condition monitoring*. Mechanical Systems and Signal Processing, 2004.
<https://doi.org/10.1016/j.ymssp.2003.09.007>
10. Jia, F., Lei, Y., Lin, J., Zhou, X., Lu, N. *Deep neural networks: A promising tool for fault characteristic mining*. Mechanical Systems and Signal Processing, 2016.
<https://doi.org/10.1016/j.ymssp.2015.10.025>
11. Скуріхін Д. І., Ловська А. О., Равлюк В. Г., Рибін А. В. Цифрові технології підтримки життєвого циклу залізничного рухомого складу: аналітика та вектори розвитку. Розвиток транспорту. 2025. № 3(26). С. 113–125. DOI: <https://doi.org/10.33082/td.2025.3-26.08>.
12. Bondarenko V. V., Skurikhin D. I., Vizniak R. I., Ravlyuk V. H., Skurikhin V. I. Experimental study of the method and device for wheel-sets acoustic monitoring of railway cars in motion. Naukovyi Visnyk Natsionalnoho Hirnychoho Universytetu. 2019. № 4. С. 30–37.
<https://doi.org/10.29202/nvngu/2019-4/7>.

REFERECES

1. Molodova, M., Li, Z., Dollevoet, R. Axle box acceleration: Measurement and simulation for detection of short track defects. Mechanical Systems and Signal Processing, 2014.
<https://doi.org/10.1016/j.ymssp.2013.10.011>
2. Zhang, W., Li, Z., Dollevoet, R. Rail defect detection using axle box acceleration measurements. Mechanical Systems and Signal Processing, 2018.
<https://doi.org/10.1016/j.ymssp.2017.10.020>
3. Li, Z., Molodova, M., Núñez, A. Condition monitoring of railway infrastructure and vehicles based on vibration measurements. Sensors, 2020. <https://doi.org/10.3390/s20051472>
4. Antoni, J. The spectral kurtosis: A useful tool for characterising non-stationary signals. Mechanical Systems and Signal Processing, 2006.
<https://doi.org/10.1016/j.ymssp.2004.09.001>
5. Randall, R., Antoni, J. Rolling element bearing diagnostics — A tutorial. Mechanical Systems and Signal Processing, 2011. <https://doi.org/10.1016/j.ymssp.2010.07.017>
6. Zhao, R., Yan, R., Chen, Z., Mao, K., Wang, P., Gao, R. Deep learning and its applications to machine health monitoring. Mechanical Systems and Signal Processing, 2017.
<https://doi.org/10.1016/j.ymssp.2016.11.030>
7. Lei, Y., Li, N., Guo, L., Li, N., Yan, T., Lin, J. Machinery health prognostics: A systematic review. Mechanical Systems and Signal Processing, 2020.
<https://doi.org/10.1016/j.ymssp.2019.106587>
8. Zhang, Y., Qin, Y., Mao, Y. Deep learning for intelligent fault diagnosis in mechanical systems. IEEE Transactions on Industrial Electronics, 2021.
<https://doi.org/10.1109/TIE.2020.2972442>

9. Peng, Z., Chu, F. Application of wavelet transform in machine condition monitoring. *Mechanical Systems and Signal Processing*, 2004. <https://doi.org/10.1016/j.ymssp.2003.09.007>
10. Jia, F., Lei, Y., Lin, J., Zhou, X., Lu, N. Deep neural networks: A promising tool for fault characteristic mining. *Mechanical Systems and Signal Processing*, 2016. <https://doi.org/10.1016/j.ymssp.2015.10.025>
11. Skurikhin D. I., Lovska A. O., Ravliuk V. H., Rybin A. V. Tsyfrovi tekhnolohii pidtrymky zhyttievoho tsykladu zaliznychnoho rukhomoho skladu: analityka ta vek-tory rozvytku. *Rozvytok transportu*. 2025. № 3(26). S. 113–125. DOI: <https://doi.org/10.33082/td.2025.3-26.08>.
12. Bondarenko V. V., Skurikhin D. I., Vizniak R. I., Ravlyuk V. H., Skurikhin V. I. Experimental study of the method and device for wheel-sets acoustic monitoring of railway cars in motion. *Naukovyi Visnyk Natsionalnoho Hirnychoho Universytetu*. 2019. № 4. S. 30–37. <https://doi.org/10.29202/nvngu/2019-4/7>.

Received 26.03.2026
Accepted 27.03.2026
Published 31.03.2026

Application of neural networks for spectrogram analysis of acoustic signals of wheel-rail interaction

Analysis of recent research and publications. Modern information-measuring systems for monitoring the technical condition of transport objects require effective methods for processing large volumes of measurement data. In railway engineering, particular attention is paid to the timely detection of defects in wheelsets during train operation, since such defects directly affect traffic safety and the reliability of rolling stock. Various methods of vibration, acoustic and acoustic-emission diagnostics are widely used in modern studies of railway vehicle condition monitoring. Researchers have demonstrated the effectiveness of spectral analysis, wavelet transforms and statistical signal processing for identifying diagnostic features of mechanical systems. Recently, machine learning and deep neural networks have been increasingly applied to automatic classification of signals and fault detection in technical systems. However, the use of spectrograms of acoustic signals as input data for neural networks in the tasks of monitoring wheel–rail interaction remains insufficiently investigated.

Purpose of the research. The purpose of this study is to develop an approach for processing acoustic signals of wheel–rail interaction using neural networks for automated identification of characteristic operating modes of railway rolling stock. The approach is based on the use of spectrograms of acoustic signals as informative features for training a machine learning model capable of classifying different types of acoustic events.

Presentation of the main research material. Experimental acoustic measurements were performed during the passage of railway rolling stock under real operating conditions. The study included recordings from passenger wagons, freight wagons and electric train cars at different speed ranges. The measurements were conducted using a digital recording device with a frequency range of 30 Hz–20 kHz and a sampling frequency of 96 kHz. To ensure reliable results, the measurement conditions were controlled to minimize external acoustic interference.

Based on the obtained recordings, spectrograms of acoustic signals were constructed and analyzed. Expert analysis and manual labeling of spectrograms allowed identification of characteristic patterns corresponding to different noise sources such as rolling noise, aerodynamic noise, braking friction, wheel–rail impacts and squeal in curved track sections. These patterns were used to form a labeled dataset for training a convolutional neural network.

For automatic classification of acoustic events, a convolutional neural network architecture based on a pre-trained MobileNet feature extractor was used. Spectrograms were divided into equal square fragments, which allowed the continuous acoustic signal to be transformed into a standardized set of images containing local time-frequency features. The trained model was able to classify four main types of acoustic signals: wheel–rail impact, rolling noise, aerodynamic noise and curve squeal. Experimental results demonstrated that the neural network successfully identified characteristic patterns of acoustic signals with high classification probability.

Conclusions. The conducted study confirms the effectiveness of applying neural networks for the analysis of spectrograms of acoustic signals generated during wheel–rail interaction. The proposed approach allows automatic identification of characteristic acoustic events associated with different operating conditions of railway rolling stock. The obtained results demonstrate the potential of integrating machine learning methods into intelligent information-measuring systems for railway diagnostics and monitoring. The proposed method can contribute to improving the efficiency of acoustic monitoring systems and to the development of predictive maintenance technologies for railway vehicles.

Скуріхін Дмитро Ігорович - доцент кафедри інженерії вагонів та якості продукції Українського державного університету залізничного транспорту.

ORCID: <https://orcid.org/0000-0002-3746-5157>

Ловська Альона Олександрівна - професор кафедри інженерії вагонів та якості продукції Українського державного університету залізничного транспорту.

ORCID: <https://orcid.org/0000-0002-8604-1764>

Равлюк - Василь Григорович професор кафедри інженерії вагонів та якості продукції Українського державного університету залізничного транспорту.

ORCID: <https://orcid.org/0000-0003-4818-9482>

Рибін Андрій Вікторович - доцент кафедри інженерії вагонів та якості продукції Українського державного університету залізничного транспорту.

ORCID: <https://orcid.org/0000-0003-4430-8018>

Бондаренко - В'ячеслав Володимирович доцент кафедри інженерії вагонів та якості продукції Українського державного університету залізничного транспорту.

ORCID: <https://orcid.org/0000-0003-4019-4017>

Skurikhin Dmytro– Associate Professor of the Department of Wagon Engineering and Product Quality, Ukrainian State University of Railway Transport.

ORCID: <https://orcid.org/0000-0002-3746-5157>

Lovska Alona– Professor of the Department of Wagon Engineering and Product Quality, Ukrainian State University of Railway Transport.

ORCID: <https://orcid.org/0000-0002-8604-1764>

Ravlyuk Vasyl– Professor of the Department of Wagon Engineering and Product Quality, Ukrainian State University of Railway Transport.

ORCID: <https://orcid.org/0000-0003-4818-9482>

Rybin Andrii– Associate Professor of the Department of Wagon Engineering and Product Quality, Ukrainian State University of Railway Transport.

ORCID: <https://orcid.org/0000-0003-4430-8018>

Bondarenko Viacheslav– Associate Professor of the Department of Wagon Engineering and Product Quality, Ukrainian State University of Railway Transport.

ORCID: <https://orcid.org/0000-0003-4019-4017>

ДОСЛІДЖЕННЯ ЕКСЕРГЕТИЧНОЇ ДОСКОНАЛОСТІ ДВОСТАДІЙНОЇ СХЕМИ ТЕРМОХІМІЧНОЇ ПЕРЕРОБКИ ВУГІЛЛЯ

Анотація. Підвищення ефективності використання твердого палива потребує оцінки термодинамічної досконалості процесів його переробки з позицій ексергетичного аналізу. У роботі досліджено двостадійний процес термохімічної переробки вугілля, а саме повітряна газифікація вугілля з подальшим спалюванням генераторного газу різних параметрів за двома схемами – без попереднього охолодження газу перед спалюванням та з його охолодженням.

Виконано дослідження ексергетичної ефективності цих схем при різному складі та температурі отриманого генераторного газу (800-1800 °С) та визначено ККД ексергетичної досконалості (загального, за одержанням хімічної та фізичної ексергії). Встановлено наявність температурного оптимуму ексергетичного ККД процесу газифікації без охолодження генераторного газу в області 1000-1100 °С, де ККД досягає максимального значення близько 63,0 %. У разі використання охолодження генераторного газу максимум ККД зміщується в область 1200-1300 °С і досягає близько 65,0 %. Показано, що попереднє охолодження генераторного газу змінює структуру ексергетичних потоків за рахунок формування додаткового теплового потенціалу, придатного для подальшої утилізації та забезпечує підвищення ексергетичного ККД на 1,5-7,0 % залежно від початкових параметрів газу.

Ключові слова: газифікація вугілля, генераторний газ, ексергетичний аналіз, ексергетичний баланс, термодинамічна ефективність, фізична ексергія, хімічна ексергія, ексергетична досконалість

Постановка проблеми. У сучасних умовах розвитку енергетики та посилення вимог до раціонального використання паливно-енергетичних ресурсів підвищення ефективності процесів термічної переробки вугілля набуває особливої актуальності. Традиційні підходи до оцінки енергетичних характеристик не забезпечують повного врахування якості енергії та ступеня її деградації внаслідок необоротних процесів, що зумовлює доцільність застосування ексергетичного аналізу як більш інформативного інструменту термодинамічної оцінки.

Серед перспективних напрямів використання вугілля є його газифікація з подальшим спалюванням генераторного газу. Цей підхід забезпечує гнучке управління енергетичними потоками та створює передумови для підвищення ефективності енергетичних установок. Водночас ефективність таких процесів суттєво залежить від пара-

метрів генераторного газу та технологічної схеми його подальшого використання, що визначає структуру ексергетичних потоків і величину втрат.

У науковій літературі широко представлені ексергетичні оцінки окремих процесів термохімічної переробки вугілля, зокрема піролізу, газифікації та згоряння. Водночас комплексні ексергетичні дослідження, що охоплюють узагальнені технологічні схеми з урахуванням взаємодії процесів і впливу режимних параметрів, представлені обмежено. Це зумовлює необхідність розробки підходів до інтегрованої ексергетичної оцінки таких схем з метою підвищення їх енергоефективності.

Аналіз останніх досліджень і публікацій. Питання ексергетичної оцінки процесів газифікації вугілля активно розглядаються у сучасних дослідженнях останніх років, де основну увагу зосереджено на визначенні структури ексергетичних втрат у газифікаторах та впливу технологічних параметрів на ефективність процесу [1-3]. Авторами встановлено, що суттєва частка втрат ексергії формується внаслідок хімічних перетворень і теплообмінних процесів у реакційній зоні, причому їх величина істотно залежить від температурного режиму та складу газифікуючого агента [2, 4].

Окремий напрям сучасних досліджень пов'язаний із інтеграцією газифікаційних процесів у складні енергетичні системи, включаючи комбіновані та когенераційні установки, де ексергетичний аналіз використовується для оцінки ефективності перетворення енергії та зниження втрат [3, 5]. У цих роботах підкреслюється необхідність системного підходу до аналізу, який враховує взаємозв'язок між окремими стадіями процесу. Наведені дослідження мають узагальнений характер і, як правило, не враховують детально вплив умов підготовки генераторного газу на подальші стадії його використання.

Водночас у дослідженні [6], присвяченому ексергетичному аналізу процесів термічної переробки вугілля, розглянуто загальні закономірності розподілу ексергії та встановлено визначальну роль співвідношення фізичної та хімічної складових у формуванні ефективності окремих процесів переробки. В роботі показано, що значна частина енергетичного потенціалу концентрується у фізичній ексергії продуктів, що відкриває можливості для її подальшої утилізації.

У більшості сучасних публікацій [7-9] процес газифікації розглядається переважно ізольовано, без урахування подальшого спалювання генераторного газу як складової єдиної технологічної схеми. Недостатньо дослідженим залишається і вплив складу та температури генераторного газу перед спалюванням на структуру ексергетичних потоків та величину втрат, що обмежує можливості оптимізації процесу.

Таким чином, незважаючи на наявність сучасних досліджень у сфері ексергетичного аналізу процесів термічної переробки вугілля, питання комплексної оцінки технологічної схеми «газифікація - спалювання генераторного газу» з урахуванням складу і температури генераторного газу залишаються недостатньо дослідженими, що визначає актуальність подальших досліджень у даному напрямі.

Мета дослідження. Метою роботи є ексергетична оцінка двостадійного процесу термохімічної переробки вугілля, що включає повітряну газифікацію та подальше спа-

лювання генераторного газу за різними схемами. Дослідження спрямоване на встановлення закономірностей впливу початкових параметрів газу та застосування його охолодження перед спалюванням на структуру ексергетичного балансу та ефективність процесу. Це дозволяє визначити оптимальні режими роботи і обґрунтувати шляхи підвищення ексергетичної ефективності використання вугілля.

Викладення основного матеріалу дослідження. У роботі розглянуто дві схеми двостадійного процесу термохімічної переробки вугілля, що включає повітряну газифікацію з подальшим спалюванням генераторного газу без попереднього охолодження та з його охолодженням перед камерою згоряння до температури 120 °С. Залежно від способів (в щільному, киплячому шарі або в потоці) та режимів повітряної газифікації температура генераторного газу становить 800-1800 °С. При згорянні генераторного газу утворюються продукти згоряння такого складу (% об.): N₂=72,4-72,7; CO₂=14,9-15,8; H₂O=9,6-10; O₂=1,3-0,5; SO₂=0,4-0,1; інші – 0,9-1,4. Вихід продуктів згоряння становить 4,47-5,37 м³/кг вугілля в залежності від початкових параметрів генераторного газу.

Схема процесу без попереднього охолодження генераторного газу перед спалюванням наведена на рисунку 1.

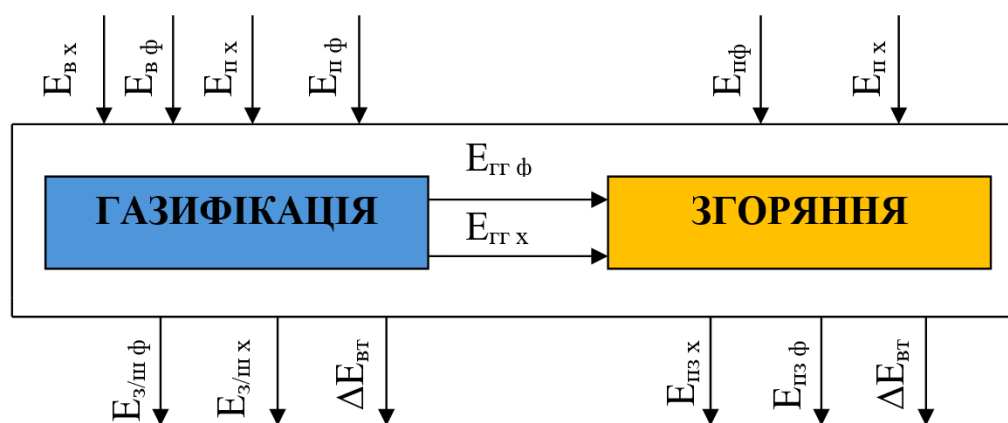


Рисунок 1 – Схема процесу повітряної газифікації вугілля з наступним згорянням генераторного газу без його охолодження перед камерою згоряння

Ексергетичний баланс процесів газифікації і згоряння без охолодження генераторного газу, кДж/кг вугілля (1):

$$E_{в,х} + E_{в,ф} + E_{п,х} + E_{п,ф} = E_{з/ш,х} + E_{з/ш,ф} + E_{пз,х} + E_{пз,ф} + E_{вт}, \quad (1)$$

Де $E_{в,х}$ – хімічна ексергія вугілля;

$E_{в,ф}$ – фізична ексергія вугілля;

$E_{п,х}$ – хімічна ексергія повітря;

$E_{п,ф}$ – фізична ексергія повітря;

$E_{з/ш,х}$ – хімічна ексергія золи або шлаку;

$E_{з/ш,ф}$ – фізична ексергія золи або шлаку;

$E_{пз,х}$ – хімічна ексергія продуктів згоряння;

$E_{пз,ф}$ – фізична ексергія продуктів згоряння;

$\Delta E_{вт}$ – ексергетичні втрати.

Відповідно до методик, наведених в [10-12], складені матеріальний і ексергетичний баланси процесів газифікації вугілля та спалювання генераторного газу та визначена ексергетична досконалість двостадійної схеми переробки вугілля. У таблиці 1 наведено приклад матеріального і ексергетичного балансу процесу газифікації з наступним спалюванням генераторного газу з температурою 1000 °С.

Таблиця 1

Матеріальний і ексергетичний баланси процесів газифікації вугілля з наступним спалюванням генераторного газу без його охолодження перед камерою згоряння

Статті балансу	Кількість, кг	Ексергія	
		МДж/кг вугілля	%
Прихід			
Вугілля	1	20,35	99,999
Повітря	6,26	0,0003	0,001
Разом	7,26	20,35	100
Витрата			
Продукти згоряння	7,02	12,54	61,6
Шлак	0,24	0,22	1,1
Ексергетичні втрати	-	7,60	37,3
Разом	7,26	20,35	100

З результатів дослідження видно, що при спалюванні генераторного газу без його охолодження перед камерою згоряння ексергію приходу на 99,9 % становить хімічна ексергія вугілля, що перетворюється в ексергію продуктів згоряння і золи/шлаку. Структура витратної частини процесу газифікації з наступним спалюванням генераторного газу представлена на рисунку 2.

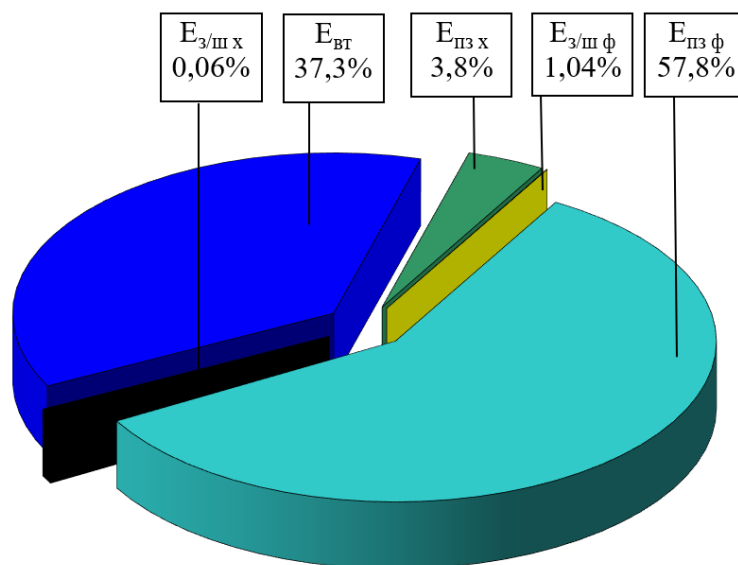


Рисунок 2 – Структура витратної частини процесу повітряної газифікації з наступним спалюванням генераторного газу без його охолодження перед камерою згоряння

Фізична ексергія продуктів згоряння становить більше половини витратної частини балансу, що уможливорює її використання для вироблення носія енергії (пари, гарячої води). Хімічна ексергія шлаку незначна, але можливе її використання як сировини в подальших виробничих процесах. Крім втрат від необоротності згоряння, мають місце втрати в навколишнє середовище, втрати в результаті віднесення вугільних часток і крапель шлаку.

Температура генераторного газу перед камерою згоряння несуттєво впливає на витратну частину ексергетичного балансу. Підвищення температури генераторного газу на 100 °С приводить до зміни складу продуктів згоряння і зниженню їхньої фізичної ексергії на 97 кДж/кг вугілля. Фізична ексергія золи/шлаку за рахунок підвищення температури генераторного газу незначно зростає: збільшення температури на 100 °С підвищує фізичну ексергію золи/шлаку у середньому на 29 кДж/кг вугілля. Так як склад і вихід золи/шлаку залежно від температури газифікації не змінюється, незмінною залишається і хімічна ексергія шлаку, що становить 5 кДж/кг вугілля. За рахунок реакції горіння незначно збільшуються втрати від необоротності процесу згоряння (збільшення температури генераторного газу на 100 °С призводить до збільшення втрат у середньому на 143 кДж).

Встановлено, що значення ексергетичних ККД досконалості процесу газифікації вугілля з наступним спалюванням генераторного газу без його охолодження перед камерою згоряння становлять: $\text{ККД}_{\text{заг}} = 57\text{-}63\%$, $\text{ККД}_{\text{хім}} = 1\text{-}4\%$, $\text{ККД}_{\text{фіз}} = 57\text{-}59\%$ залежно від температури газу перед спалюванням.

Схема процесу з попереднім охолодженням генераторного газу до 120 °С перед спалюванням представлена на рисунку 3.

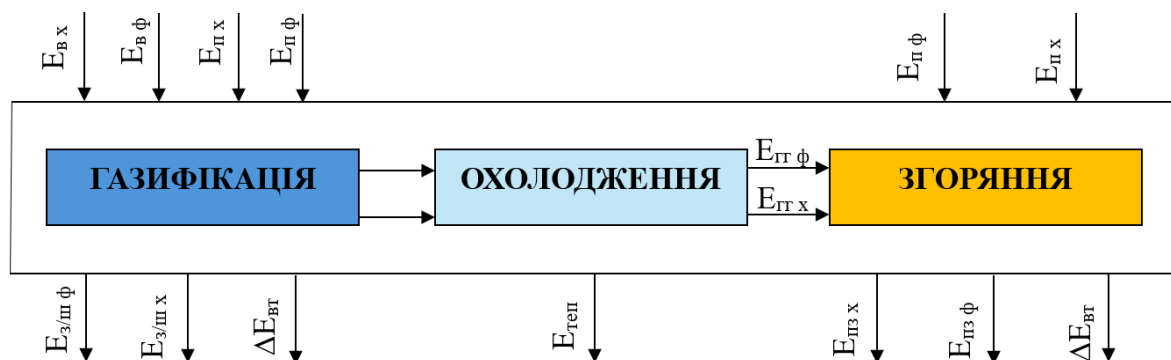


Рисунок 3 – Схема процесу повітряної газифікації вугілля з наступним спалюванням генераторного газу з його охолодженням перед камерою згоряння

Ексергетичний баланс процесів газифікації і згоряння генераторного газу з його охолодження, кДж/кг вугілля (2):

$$E_{вх} + E_{вф} + E_{пх} + E_{пф} = E_{з/шх} + E_{з/шф} + E_{пзх} + E_{пзф} + E_{теп} + \Delta E_{вт}, \quad (2)$$

де $E_{вх}$ – хімічна ексергія вугілля;

$E_{вф}$ – фізична ексергія вугілля;

$E_{пх}$ – хімічна ексергія повітря;

- $E_{пф}$ – фізична ексергія повітря;
 $E_{з/ш х}$ – хімічна ексергія золи або шлаку;
 $E_{з/ш ф}$ – фізична ексергія золи або шлаку;
 $E_{пз х}$ – хімічна ексергія продуктів згоряння;
 $E_{пз ф}$ – фізична ексергія продуктів згоряння;
 $E_{теп}$ – фізичне тепло отримане від охолодження генераторного газу;
 $\Delta E_{вт}$ – ексергетичні втрати.

Відповідно до методик, наведених в [10-12], складені матеріальний і ексергетичний баланси процесів газифікації вугілля та спалювання генераторного газу з використанням його попереднього охолодження та визначена ексергетична досконалість такої схеми. У таблиці 2 наведено приклад матеріального і ексергетичного балансу двостадійної схеми переробки вугілля з використанням охолодження генераторного газу перед камерою згоряння від температури 1000 °С до 120 °С.

Таблиця 2

Матеріальний і ексергетичний баланси процесів газифікації вугілля з наступним спалюванням генераторного газу з його охолодженням перед камерою згоряння

Статті балансу	Кількість, кг	Ексергія	
		МДж/кг вугілля	%
Прихід			
Вугілля	1	20,35	99,999
Повітря	6,26	0,0003	0,001
Разом	7,26	20,35	100
Витрата			
Продукти згоряння	7,02	10,04	49,3
Шлак	0,24	0,22	1,1
Тепло	-	3,14	15,4
Ексергетичні втрати	-	6,95	34,2
Разом	7,26	20,35	100

З результатів дослідження видно, що при згорянні генераторного газу, ексергію приходу на 99,9 % складає хімічна ексергія вугілля, що перетворюється в ексергію продуктів згоряння і золи/шлаку. Структура витратної частини процесу газифікації з наступним спалюванням генераторного газу з його охолодженням перед камерою згоряння представлена на рисунку 4.

У витратну частину балансу процесу згоряння генераторного газу при його попередньому охолодженні входить фізична ексергія теплоти, отримана при охолодженні генераторного газу до 120 °С, що становить 15,4 % від ексергії приходу. Зі збільшенням температури газифікації потенціал фізичної ексергії збільшується за рахунок різниці температури генераторного газу на виході з газифікатора та охолодженого генераторного газу до 120 °С перед камерою згоряння (збільшення температури газу на 100 °С призводить до збільшення фізичного потенціалу ексергії в середньому на 700 кДж/кг

вугілля), що призводить до зменшення необоротних втрат і, отже, до збільшення загального ККД процесу.

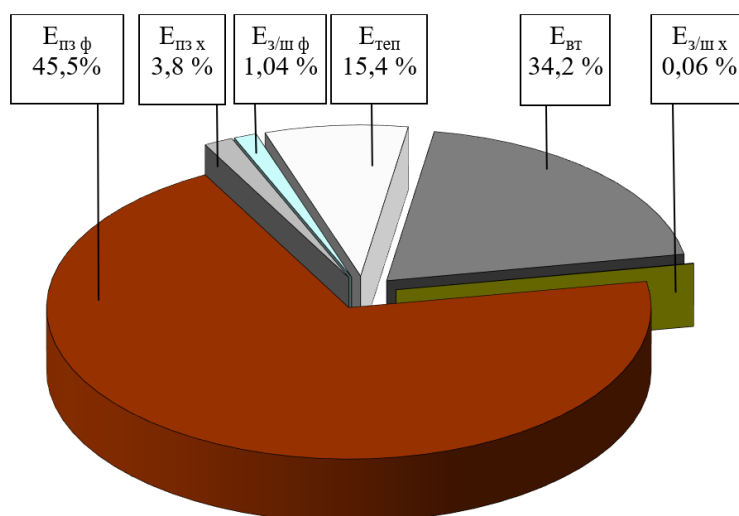


Рисунок 4 – Структура витратної частини процесу газифікації з наступним спалюванням генераторного газу з його попереднім охолодженням перед камерою згоряння

Встановлено, що значення ексергетичних ККД процесу газифікації вугілля з наступним згорянням генераторного газу з його охолодженням перед камерою згоряння, які становлять: $ККД_{заг} = 61,4-63,5\%$, $ККД_{хім} = 1-4\%$, $ККД_{фіз} = 59-62,5\%$.

Проведено порівняльний аналіз запропонованих схем двостадійної переробки вугілля. На рисунку 5 наведені отримані залежності ККД ексергетичної досконалості (загальної, по одержанню хімічної та фізичної ексергії) цих схем переробки з урахування складу та температури генераторного газу після газифікації.

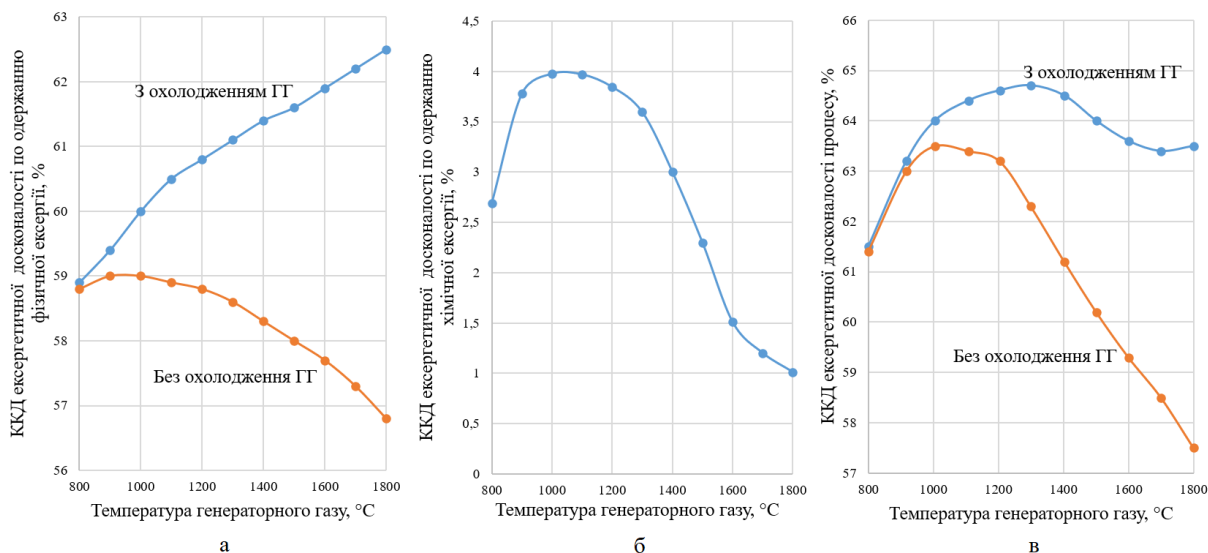


Рисунок 5 – ККД ексергетичної досконалості двостадійної схеми термічної переробки вугілля «газифікація - спалювання генераторного газу»:

- а) ККД по одержанню фізичної ексергії, б) ККД по одержанню хімічної ексергії, в) загального ККД

Аналіз отриманих залежностей показує суттєвий вплив початкової температури генераторного газу та умов його охолодження на ексергетичну ефективність процесу. Згідно з графіком (рис.5а), ексергетичний ККД, пов'язаний з одержанням фізичної ексергії, у разі охолодження генераторного газу монотонно зростає з підвищенням температури від 59,0 % до 62,5 %, тоді як без охолодження після досягнення максимуму на рівні приблизно 59,0 % при початковій температурі газу 900-1000 °С спостерігається поступове зниження до 57,0 % при 1800 °С. Це свідчить про суттєве зростання фізичних втрат при високих температурах за відсутності охолодження.

При згорянні генераторного газу відбувається перетворення продуктів реакції переважно у двоокиси вуглецю і водяної пари, тобто відбувається перетворення генераторного газу в продукти, непридатні для хімічного використання. ККД по одержанню хімічної ексергії не залежить від використання попереднього охолодження генераторного газу, тому що вплив термодинамічних факторів не впливає на хімічну ексергію та становить 1-4 % (рис. 5б)

При інтегральній оцінці встановлено наявність оптимуму ексергетичного ККД процесу газифікації без охолодження генераторного газу в області 1000-1100 °С, де ККД досягає максимального значення близько 63,0 %. Подальше підвищення температури до 1800 °С супроводжується зниженням ефективності до 57,0-58,0 % внаслідок зростання ексергетичних втрат. У разі застосування охолодження генераторного газу максимум ККД зміщується в область 1200-1300 °С і досягає близько 65,0 %, при цьому зниження ефективності при високих температурах є значно менш вираженим. Таким чином, охолодження забезпечує підвищення ексергетичного ККД на 1,5-2,0 % в зоні оптимуму та на 5,0-7,0 % більше при високих температурах. Охолодження генераторного газу дозволяє не лише підвищити рівень ексергетичної ефективності та використати фізичну ексергію генераторного газу для подальшого вироблення теплової енергії (пари, гарячої води), але й розширити діапазон вибору технології газифікації та параметрів отриманого генераторного газу.

Висновки. У роботі досліджено та виконано порівняльний аналіз двох схем двостадійного процесу термохімічної переробки вугілля, що включає повітряну газифікацію з подальшим спалюванням генераторного газу без попереднього охолодження та з його охолодженням перед камерою згорання до температури 120 °С. Залежно від способів (в щільному, киплячому шарі або в потоці) та режимів повітряної газифікації температура генераторного газу становить 800-1800 °С

Отримані результати показали, що ексергія надходження системи практично повністю формується хімічною ексергією вугілля (близько 99,9 %), яка трансформується переважно у фізичну ексергію продуктів згорання. Для схеми без охолодження генераторного газу встановлено високий рівень ексергетичних втрат (до 37,3 %), що обумовлено значною необоротністю процесу горіння, тоді як частка корисно використаної фізичної ексергії обмежується умовами її утилізації.

Попереднє охолодження генераторного газу забезпечує формування додаткового потоку фізичної ексергії теплоти (до 15,4 %), що призводить до зниження ексергетичних втрат (до 34,2 %) та підвищення загального ексергетичного ККД процесу.

Вперше встановлено наявність оптимуму загального ексергетичного ККД дво-стадійного процесу газифікації вугілля з подальшим спалюванням генераторного газу. Показано, що за відсутності охолодження генераторного газу максимальне значення ККД досягається при температурі генераторного газу 1000-1100 °С і становить близько 63,0 %, тоді як подальше підвищення температури призводить до його зниження. Встановлено, що застосування охолодження генераторного газу змінює характер залежності та зміщує оптимум початкової температури генераторного газу в область 1200-1300 °С з підвищенням ККД до 65,0 %.

Охолодження генераторного газу перед спалюванням забезпечує підвищення ексергетичного ККД на 1,5-2,0 % в зоні оптимуму та на 5,0-7,0 % більше при високих температурах. Отримані результати свідчать про визначальний вплив умов теплової обробки генераторного газу на положення оптимуму та рівень ексергетичної ефективності процесу.

Отримані результати можуть бути використані при оптимізації теплотехнічних схем енергетичних установок з метою зниження ексергетичних втрат та підвищення ефективності утилізації енергетичного потенціалу продуктів процесу.

ЛІТЕРАТУРА/REFERENCES

1. Wu, H., Chen, X., Aziz, M., Huang, Z., & Zhang, Y. (2024). Exergy destruction analysis of coal gasification with O₂-H₂O combined with chemical kinetics. *Fuel*, 384, 134014. <https://doi.org/10.1016/j.fuel.2024.134014>
2. Ju, Y., & Lee, C. (2017). Evaluation of the energy efficiency of the shell coal gasification process by coal type. *Energy Conversion and Management*, 143, 123–136. <https://doi.org/10.1016/j.enconman.2017.03.082>
3. Zheng, L., Jiang, X., Wang, S., He, J., Wang, Y., Hu, L., Xie, K., & Wang, P. (2025). Analysis of exergy flow and CCUS carbon reduction potential in coal gasification hydrogen production technology in China. *Energies*, 18(22), 5906. <https://doi.org/10.3390/en18225906>
4. Yu, S., Li, D., Zuo, Z., & Feng, M. (2025). Workflow design and operational analysis of a Coal-Based Multi-Energy combined supply system for electricity, heating, cooling, and gas. *Energy Science & Engineering*, 13(7), 3791–3805. <https://doi.org/10.1002/ese3.70137>
5. Feng, L., Zhang, G., & Zhai, R. (2024). Study on gasification reaction and energy conversion characteristics of the entrained flow coal gasification based on chemical kinetics simulation. *Heliyon*, 10(10), e30997. <https://doi.org/10.1016/j.heliyon.2024.e30997>
6. Пінчук, В. О., Шарабура, Т. А., Чемеринський, М. С., & Пінчук, С. А. (2024). Ексергетичний аналіз процесів термічної переробки вугілля. *Енергетика теплотехнології та енергозбереження*, (4), 67–77. <https://doi.org/10.20998/2078-5364.2024.4.07>
7. Mishra, A., Gautam, S., & Sharma, T. (2018). Effect of operating parameters on coal gasification. *International Journal of Coal Science & Technology*, 5(2), 113–125. <https://doi.org/10.1007/s40789-018-0196-3>

8. Harris, D., & Roberts, D. G. (2023). Coal gasification and conversion. In *Elsevier eBooks* (pp. 665–691). <https://doi.org/10.1016/b978-0-12-824327-5.00021-1>
9. Pribadi, G. a. D., & Noble, A. (2026). Gasification of Indonesia's Low-Rank coal: A Comparative review of technology options and contextual Considerations. *Fuel*, *414*, 138280. <https://doi.org/10.1016/j.fuel.2026.138280>
10. Dincer I., Rosen M. (2020). Exergy: Energy, Environment and Sustainable Development, Third Edition. - Elsevier Science,– pp. 23-35, 37-60, 167-210, 479-514. <https://doi.org/10.1016/C2016-0-02067-3>
11. Kotas T.J. (2012). The Exergy Method of Thermal Plant Analysis. - Paragon Publishing, 2012. – pp. 29-56, 99-161. ISBN 978-1908341891, eISBN 9781483100364
12. Seyitoglu, S., Dincer, I., & Kilicarslan, A. (2016). Energy and exergy analyses of hydrogen production by coal gasification. *International Journal of Hydrogen Energy*, *42*(4), 2592–2600. <https://doi.org/10.1016/j.ijhydene.2016.08.228>

Received 26.03.2026
Accepted 27.03.2026
Published 31.03.2026

Exergy analysis of a two-stage coal thermochemical conversion process

Improving the efficiency of solid fuel utilization requires a reliable assessment of the thermodynamic performance of fuel conversion processes using an exergy-based approach. In contrast to conventional energy analysis, exergy analysis makes it possible to evaluate not only the amount of energy involved in a process, but also its quality and the degree of irreversibility accompanying energy conversion. In this study, a two-stage thermochemical conversion process of coal is considered, namely air gasification followed by combustion of the produced gas under two different process configurations: without preliminary cooling before combustion and with preliminary gas cooling. The study is focused on the exergy efficiency of these two configurations under different compositions and temperatures of the produced gas in the range of 800-1800 °C. For both process schemes, the overall exergy efficiency as well as the efficiencies associated with chemical and physical exergy were determined. The calculations made it possible to establish the temperature dependence of the exergy efficiency and to identify the operating conditions corresponding to the most favorable thermodynamic performance.

It was found that, in the case without preliminary cooling of the producer gas, the exergy efficiency reaches its maximum in the temperature range of 1000-1100 °C, where its value is about 63,0 %. When gas cooling is introduced before combustion, the maximum exergy efficiency shifts toward higher temperatures, namely 1200-1300 °C, and reaches about 65,0 %. This result indicates that the thermal state of the produced gas has a direct influence on the distribution of exergy within the system and on the overall thermodynamic effectiveness of the process. It is shown that preliminary cooling of the producer gas changes the structure of exergy flows due to the formation of an additional thermal potential that can be further utilized in associated thermal processes. Owing to this effect, the overall exergy efficiency increases by 1,5-7,0 %, depending on the initial temperature and composition of the gas. Thus, gas cooling should be considered not only as an auxiliary operation, but also as a factor affecting the thermodynamic performance of the whole two-stage conversion scheme. The obtained re-

sults may be used in the analysis and optimization of coal conversion systems, in particular for improving thermal process schemes and increasing the efficiency of utilizing the energy potential of gaseous products.

Keywords: coal gasification; producer gas; exergy analysis; exergy balance; thermodynamic efficiency; physical exergy; chemical exergy; exergy efficiency.

Тугова Олена Валеріївна - аспірант, Український державний університет науки і технологій.

ORCID: <https://orcid.org/0000-0001-6846-0327>

Пінчук Валерія Олександрівна - доктор техн. наук, проф., завідувач кафедри теплового інжинірингу та енергетичних технологій Національного технічного університету «Дніпровська політехніка».

ORCID: <https://orcid.org/0000-0001-7684-1867>

Tutova Olena Valeriyivna - postgraduate student, Ukrainian State University of Science and Technology.

ORCID: <https://orcid.org/0000-0001-6846-0327>

Pinchuk Valeriia Oleksandrivna - doctor of engineering sciences, professor, head of the department of thermal engineering and energy technologies of the National Technical University "Dnipro Polytechnic".

ORCID: <https://orcid.org/0000-0001-7684-1867>

М. Барановська, А. Пугач, О. Степаненко,
В. Мартинцев, Р. Тугуши, І. Тесленко

СТВОРЕННЯ ІНСТРУМЕНТАРІЮ ДЛЯ АНАЛІЗУ ТА ВИМІРЮВАННЯ ПОТУЖНОСТІ В МАТЕМАТИЧНИХ МОДЕЛЯХ

Анотація. Метою роботи є вибір методу розрахунку активної та реактивної складових повної потужності, розробка та програмна реалізація інструментальних засобів (вимірювальних блоків) для їх визначення у математичних моделях, а також перевірка адекватності їх функціонування в умовах несинусоїдальних режимів.

У роботі використано методи математичного моделювання електромеханічних систем, аналіз існуючих підходів до визначення складових повної потужності, а також інтегральні методи обчислення активної та реактивної потужності. Реалізація здійснена у середовищі Simulink із застосуванням користувацьких S-функцій мовою програмування С. Проведено обчислювальні експерименти на моделях лінійних і нелінійних електричних кіл.

Розроблено алгоритм і програмний блок для вимірювання активної та реактивної потужності і енергії в математичних моделях. Проведено тестування в різних режимах (постійний струм, синусоїдальні та несинусоїдальні кола, пуск асинхронного двигуна), яке підтвердило працездатність і достатню точність запропонованого підходу. Показано, що стандартні засоби можуть давати завищені результати, тоді як розроблений блок забезпечує більш коректні оцінки.

Полягає у вдосконаленні підходу до визначення складових повної потужності в несинусоїдальних електричних колах на основі інтегральних залежностей без необхідності розкладання сигналів у ряд Фур'є, а також у створенні універсального вимірювального блоку, придатного для використання в математичних моделях електромеханічних систем.

Розроблений інструментарій може бути використаний для аналізу процесів енергоспоживання, підвищення енергоефективності електроприводів, а також для дослідження режимів роботи електроенергетичних систем у середовищах моделювання. Отримані результати можуть застосовуватися у наукових дослідженнях та інженерній практиці при проєктуванні систем керування енергоспоживанням.

Ключові слова: математичне моделювання, активна потужність, реактивна потужність, повна потужність, несинусоїдальні режими, електропривод, Simulink, енергоефективність.

Вступ. У існуючій структурі енергоспоживання електропривод є основним споживачем електричної енергії. На його частку припадає близько 60% усієї вироблюваної електроенергії. В умовах обмеженості енергетичних ресурсів це зумовлює особливу актуальність проблеми енергозбереження як в електроприводі, так і засобами електропривода.

Основним науковим методом дослідження процесів енергоспоживання в складних електромеханічних системах є математичне моделювання. Проте вивчення режимів енергоспоживання та процесів керування ними ускладнюється низкою факторів. Зокрема, у наявних програмних засобах моделювання електромеханічних систем відсутні адекватні інструменти для вимірювання складових повної потужності в несинусоїдальних електричних колах.

Аналіз блоків вимірювання активної та реактивної потужності, що входять до бібліотеки SimPowerSystems, показує, що вони орієнтовані переважно на лінійні електричні кола та базуються на обчисленні складових потужності за першою гармонікою струму і напруги. Це обмежує можливості аналізу в умовах нелінійних і спотворених режимів роботи.

Відомо, що покращити можна лише те, що можна виміряти. У зв'язку з цим розробка методів і засобів вимірювання складових повної потужності в несинусоїдальних колах змінного струму є важливою та актуальною науково-технічною задачею.

Слід зазначити, що теоретичні уявлення про структуру повної потужності до цього часу залишаються предметом наукових дискусій. Особливо це стосується природи та механізмів формування неактивних складових повної потужності. Відсутність єдиного підходу до трактування реактивної потужності призводить до появи різних її визначень, зокрема у вигляді білінійних функціоналів від струму та напруги.

Водночас на промислових підприємствах широко використовуються прилади обліку активної та реактивної енергії, які фактично реалізують певні алгоритми обчислення відповідних складових повної потужності.

Оскільки економічні розрахунки та тарифна політика враховують переважно активну і реактивну складові потужності, а, наприклад, потужність спотворення у розрахунках не враховується, доцільно зосередити увагу саме на цих компонентах, які безпосередньо впливають на фінансові показники підприємства або електромеханічної системи.

Метою даної роботи є:

- вибір адекватного методу розрахунку активної та реактивної складових повної потужності;
- розробка та практична реалізація вимірювальних блоків;
- перевірка адекватності та коректності функціонування розроблених засобів вимірювання.

Матеріали та результати досліджень. У теоретичній електротехніці цілком однозначно визначено лише поняття активної потужності електричного кола, яка визначається як середнє значення повної потужності за період вимірювання:

$$P = \frac{1}{T} \int_0^T u(t) \cdot i(t) dt \quad (1)$$

де T – період вимірювань.

Поняття «реактивна потужність» та її визначення є предметом наукових дискусій. На сьогоднішній день строге визначення реактивної потужності існує лише для випадку синусоїдального режиму в однофазному колі. Однією з актуальних проблем енергосистем є визначення реактивної потужності в умовах несинусоїдальних режимів. У даній роботі розглядається зіставлення результатів визначення реактивної потужності різними методами.

Поняття активної потужності, незалежно від форми кривих струму та напруги, визначається однозначно та має чітке фізичне трактування. Активна потужність характеризує швидкість перетворення електричної енергії в інші види енергії, такі як механічна, теплова або світлова, і визначається як середнє значення миттєвої потужності за певний період часу. Вона є тією складовою енергетичного процесу, яка безпосередньо виконує корисну роботу в електротехнічних та електромеханічних системах, і тому має ключове значення як для технічного аналізу, так і для економічної оцінки ефективності роботи обладнання.

Поняття повної потужності за своїм змістом є похідним від активної потужності та відображає загальний рівень навантаження електричної системи. У класичному випадку синусоїдальних режимів повна потужність визначається як добуток діючих значень струму та напруги і пов'язана з можливістю передачі максимальної активної потужності за заданих умов. Вона враховує не лише корисну складову енергії, але й ті процеси, які пов'язані з обміном енергією між джерелом і реактивними елементами кола, такими як індуктивності та ємності. Таким чином, повна потужність виступає інтегральною характеристикою енергетичного режиму електричного кола.

У загальному випадку, особливо при наявності несинусоїдальних режимів, поняття повної потужності ускладнюється, оскільки струм і напруга можуть містити вищі гармоніки, що призводить до появи додаткових складових потужності. Це ускладнює інтерпретацію енергетичних процесів та потребує застосування більш складних математичних моделей для адекватного опису взаємодії між джерелом та навантаженням.

Реактивна потужність у традиційній теорії визначається формально – через співвідношення між повною та активною потужностями. У синусоїдальних режимах вона пов'язана з фазовим зсувом між струмом і напругою та характеризує процеси періодичного накопичення та повернення енергії в реактивних елементах кола. Проте, на відміну від активної потужності, реактивна потужність не виконує корисної роботи, але суттєво впливає на режими роботи електричних мереж, зокрема на втрати енергії, рівень напруги та пропускну здатність системи.

У випадку несинусоїдальних режимів визначення реактивної потужності стає значно складнішим і не має однозначного трактування. Різні підходи до її визначення можуть давати різні результати, що ускладнює аналіз і порівняння режимів роботи електричних систем. Це обумовлює необхідність подальших досліджень та розробки узгоджених методів оцінювання реактивної потужності, які б адекватно відображали фізичні процеси в електричних колах з урахуванням гармонічних спотворень.

Таким чином, активна, повна та реактивна потужності утворюють взаємопов'язану систему характеристик, що дозволяє комплексно оцінювати енергетичні процеси в електричних колах. При цьому саме коректне визначення кожної зі складових має принципове значення для аналізу ефективності роботи електроенергетичних систем, оптимізації режимів їх функціонування та підвищення рівня енергозбереження.

Водночас при аналізі роботи електричних мереж та оцінці функціонування електроенергетичного обладнання велике значення має величина реактивної потужності та енергії, яка характеризує ступінь використання можливостей елементів мережі. Поняття реактивної потужності набуває ще більшого значення при розрахунках розподілу потоків енергії в електричних мережах.

Відсутність строгої методичної основи для визначення реактивної потужності призвела до розробки численних підходів до визначення цієї величини [1–14].

Формування сучасного інструментарію для аналізу та вимірювання електричної потужності базується на поєднанні класичних підходів теорії електричних кіл і сучасних методів цифрової обробки сигналів. Початкові уявлення про потужність були сформовані в класичних роботах, зокрема в праці Ч.П. Штейнмеца [1], де вперше системно використано комплексне подання електричних величин і введено поняття активної та реактивної складових потужності. Цей підхід забезпечив ефективний інструмент для аналізу синусоїдальних режимів, однак виявився обмеженим при розгляді несинусоїдальних і нестационарних процесів.

Подальший розвиток теорії потужності пов'язаний із усвідомленням неоднозначності визначення реактивної потужності. Класичні підходи, що базуються на гармонічному розкладі, не забезпечують єдиного фізично обґрунтованого результату, що підтверджується як ранніми дослідженнями, так і сучасними роботами. Це зумовило появу інтегральних і миттєвих методів, у яких потужність визначається безпосередньо через часові функції струму та напруги.

Подальший розвиток інтегральних підходів до визначення складових потужності пов'язаний із роботами С. Фризе [2], у яких було запропоновано принципово нову концепцію аналізу електричних режимів у несинусоїдальних системах. На відміну від гармонічних методів, Фризе відмовляється від розкладання сигналів на спектральні складові та вводить визначення активної потужності як середнього значення миттєвої потужності за період, а струм представляє у вигляді суми двох ортогональних компонент – активної та неактивної.

Згідно з підходом Фризе, активна складова струму визначається як така, що пропорційна миттєвій напрузі і забезпечує передачу енергії від джерела до

навантаження, тоді як неактивна складова (реактивна в узагальненому сенсі) не бере участі у перенесенні середньої потужності, але впливає на енергетичні процеси в системі. Таким чином, реактивна потужність у класичному розумінні замінюється більш загальним поняттям неактивної потужності, що визначається через ортогональність відповідних складових струму.

Ключовою перевагою методу Фризе є його універсальність, оскільки він не залежить від форми сигналів і може бути застосований до будь-яких періодичних, а також квазіперіодичних режимів. Це робить його особливо придатним для використання в математичних моделях електроенергетичних систем, де сигнали часто мають складну форму внаслідок наявності гармонік, імпульсних процесів або нелінійних навантажень.

Водночас підхід Фризе має і певні обмеження. Зокрема, він не дозволяє безпосередньо виділити окремі фізичні механізми виникнення неактивної складової потужності (індуктивні, ємнісні, гармонічні тощо), що ускладнює його застосування для задач компенсації та оптимізації режимів роботи системи. Саме це зумовило подальший розвиток теорій, спрямованих на більш детальне розкладання струму та потужності, зокрема теорій миттєвої потужності та теорії фізичних компонент струму.

Таким чином, підхід Фризе можна розглядати як важливий етап у переході від класичних гармонічних моделей до сучасних інтегрально-миттєвих методів аналізу потужності. Він заклав основу для побудови інструментарію, що базується на часових функціях струму і напруги та їх ортогональних перетвореннях, і значною мірою вплинув на подальший розвиток сучасних методів аналізу та вимірювання потужності в електроенергетичних системах.

У [3] пропонується використовувати інтегральні вирази від добутку струму на функцію, ортогональну до напруги, або навпаки.

У [4] запропоновано пов'язати реактивну потужність з обмінними процесами.

У [6] динамічні та енергетичні показники при несинусоїдальних і несиметричних режимах пропонується визначати за миттєвими значеннями струмів і напруг.

У [7] пропонується метод розрахунку потужності та енергії спотворення на основі миттєвих значень напруги і струму гармонік як потужності та енергії, що спотворюють синусоїдальний характер змінної складової потужності основної гармоніки.

У [8] пропонується вимірювання реактивної потужності за діючими значеннями реактивної потужності гармонік.

Подальший розвиток підходів до аналізу та вимірювання потужності в нестаціонарних, несинусоїдальних і несиметричних режимах пов'язаний із переходом від суто гармонічних інтерпретацій до методів, що базуються на миттєвих значеннях струму і напруги, їх ортогональних перетвореннях, інтегральному усередненні та цифровій обробці сигналів. У сучасних дослідженнях особлива увага приділяється не тільки фізичному змісту окремих складових потужності, а й придатності відповідних визначень до алгоритмічної реалізації в математичних моделях, системах моніторингу та цифрових вимірювальних засобах.

У роботі [9] виконано узагальнення практичних методів визначення середніх значень повної, активної та реактивної потужності в усталених і перехідних режимах. Автори порівнюють підходи $p-q$, i_p-i_q та i_d-i_q і наголошують, що при аналізі перехідних процесів та дискретній реалізації особливого значення набуває можливість поетапного обчислення усереднених значень потужності в кожному кроці розрахунку. Ця робота є важливою тим, що фактично формує методологічну рамку для побудови інструментарію аналізу потужності: критерії вибору методу мають включати фізичну інтерпретованість, коректність у нестационарних умовах та можливість цифрової реалізації.

У статті [10] запропоновано новий варіант методу i_p-i_q для визначення середніх значень складових потужності в перехідних режимах. Автори показують, що навіть за гармонічного джерела живлення і лінійного RL-навантаження в перехідному процесі виникає складова потужності спотворення, яку доцільно виділяти окремо. Практична цінність роботи полягає в тому, що вона поєднує теоретичну базу, моделювання та імітаційні результати для однофазних і трифазних систем, тобто фактично пропонує готовий алгоритмічний інструмент для математичних моделей електроенергетичних систем і силової електроніки. Отже, на відміну від класичних частотних підходів, тут акцент зроблено на розрахунок компонентів потужності безпосередньо з часових реалізацій сигналів.

Суттєвий внесок у метрологічний аспект проблеми зроблено в роботі [11], де досліджено вплив частоти дискретизації на результати вимірювання потужності за Conservative Power Theory (CPT). Автори реалізували визначення активної та реактивної потужності CPT у MATLAB і порівняли результати з показами цифрового ватметра для лінійних і нелінійних навантажень. Отримані результати підтверджують, що точність оцінювання потужності залежить не лише від вибраної теорії, а й від параметрів цифрової реалізації, насамперед від частоти вибірки. Це має принципове значення для побудови математичних моделей і вимірювальних алгоритмів, оскільки показує необхідність врахування похибок дискретизації при реалізації інтегральних і миттєвих визначень потужності.

У роботі [12] проведено експериментальне порівняння методів розрахунку потужності для однофазних систем у синусоїдальних і несинусоїдальних режимах, зокрема для лінійних і нелінійних навантажень. Для аналізу використано методи, що спираються на різні системи координат: природну, $\alpha\beta$ та dq . Цінність цієї статті полягає в тому, що вона демонструє відсутність універсального методу: точність, швидкодія та обчислювальна складність залежать від умов застосування, а тому вибір конкретного інструментарію має визначатися типом сигналів, структурою моделі та вимогами до швидкодії обчислень. Для літературного огляду це важливо як аргумент на користь порівняльного підходу при виборі алгоритму вимірювання потужності.

Інший напрям розвитку представлено в статті [13], де запропоновано підхід global harmonic parameters (GHPs) для оцінювання показників якості електроенергії в системах PMU. Автор розширює референтну модель PMU за IEEE C37.118.1 таким чином, щоб поряд із синхрофазорами отримувати також гармонічну інформацію та

величини, пов'язані з електричною потужністю. Запровадження GHPs як узагальнених характеристик загального гармонічного вмісту напруги та струму дозволяє зменшити обчислювальну складність і обсяг даних порівняно з повним гармонічним аналізом. Для задач створення інструментарію це означає можливість переходу від деталізованих спектральних моделей до компактніших, але достатньо інформативних параметрів, придатних для моніторингу та оцінки енергетичних режимів у реальному часі.

У статті [14] розглянуто питання вимірювання ефективності компенсації в трифазних системах, зокрема в контексті активної фільтрації. Автори виконують короткий огляд теорій, пов'язаних із компонентами потужності та показниками якості електроенергії, після чого описують розроблену ними систему активної фільтрації з паралельним фільтром і наводять експериментальні результати для різних режимів роботи. Ця робота важлива тим, що переносить проблему визначення складових потужності з рівня теоретичних дефініцій на рівень оцінювання ефективності компенсації, тобто показує, що коректне вимірювання потужності має бути пов'язане не лише з формальним розкладом сигналів, а й з аналізом того, наскільки обраний критерій адекватно відображає покращення режиму після застосування компенсуювальних пристроїв.

Таким чином, аналіз робіт [9–14] свідчить про формування кількох взаємодоповнювальних напрямів у дослідженні потужності в складних електроенергетичних режимах. Перший напрям пов'язаний із узагальненням і порівнянням теорій потужності для усталених і перехідних процесів; другий – із розробкою алгоритмів на основі миттєвих значень та ортогональних складових струму і напруги; третій – із врахуванням цифрових факторів, насамперед дискретизації; четвертий – із створенням компактних узагальнених показників для систем моніторингу; п'ятий – із використанням визначень потужності як критерію оцінювання ефективності компенсації. У сукупності ці підходи створюють наукову основу для побудови математичного інструментарію аналізу та вимірювання потужності, орієнтованого на реальні несинусоїдальні, несиметричні та динамічні режими.

З урахуванням наведених результатів можна зробити висновок, що перспективним є поєднання інтегрально-миттєвих методів визначення складових потужності з цифровою обробкою сигналів і порівняльною оцінкою їхньої придатності для практичної реалізації. Саме такий підхід дає змогу створити універсальніший інструментарій, який одночасно забезпечує фізичну змістовність розрахунків, коректність у перехідних режимах, чутливість до спотворень і можливість застосування в системах активної компенсації та моніторингу якості електроенергії.

Поняття «реактивна потужність» у класичній електротехніці визначено лише для синусоїдального режиму в лінійному електричному колі, де струм і напруга змінюються за гармонічним законом і можуть бути описані за допомогою фазових співвідношень. У таких умовах реактивна потужність має чітке математичне та фізичне трактування, пов'язане з фазовим зсувом між струмом і напругою та процесами

періодичного накопичення й повернення енергії в індуктивних і ємнісних елементах кола.

Однак у реальних умовах експлуатації сучасних енергосистем значна частина навантажень має нелінійний характер. Це призводить до спотворення форми кривих струму та напруги, появи вищих гармонік, а також до несиметрії режимів роботи. У таких випадках класичне визначення реактивної потужності втрачає свою однозначність і не може бути безпосередньо застосоване для аналізу енергетичних процесів.

Це не дозволяє без суттєвих припущень або спрощень виконувати адекватний аналіз режимів роботи енергосистеми з навантаженнями, що спотворюють форму струму та напруги. Використання традиційних підходів у таких умовах може призводити до помилок у визначенні енергетичних показників, некоректної оцінки ефективності роботи обладнання та ускладнення процесів оптимізації режимів електроспоживання.

Таким чином, виникає необхідність розробки нових підходів і методів визначення реактивної потужності, які б враховували вплив гармонічних спотворень, нелінійності елементів та складний характер взаємодії між джерелом і навантаженням. Це є важливим напрямом сучасних досліджень у галузі електроенергетики та електромеханічних систем.

Широкого розвитку набула група методів визначення складових повної потужності, що базується на розкладанні струмів і напруг у ряд Фур'є. При цьому реактивна потужність визначається за виразом:

$$Q = \sum_{n=0}^{\infty} Q_n = U_1 \cdot I_1 \cdot \sin \varphi_1 + \dots + U_j \cdot I_j \cdot \sin \varphi_j + \dots, \quad (2)$$

де Q_n – реактивна потужність n-ї гармоніки;

U_j – діюче значення напруги j-ї гармоніки;

I_j – діюче значення струму j-ї гармоніки;

φ_j – кут зсуву фаз між напругою і струмом j-ї гармоніки;

$\sin \varphi_j$ – синус кута зсуву фаз, який визначає реактивну складову потужності.

Квадрат повної потужності не дорівнює сумі квадратів активної та реактивної потужностей. У зв'язку з цією нерівністю вводять ще один вид потужності, який характеризує відмінність у формах кривих струму та напруги; цю потужність називають потужністю спотворення.

Для нелінійного електричного кола поняття реактивної потужності не є визначеним. Тому при розв'язанні деяких практичних задач були здійснені спроби використання інтегральних виразів для оцінювання консервативних процесів [3, 4]. Ці вирази являють собою інтеграли або від добутку струму на функцію, ортогональну до напруги, або навпаки.

Такий, по суті формальний, підхід призвів до появи двох цілком рівноправних інтегральних виразів.

$$Q = -\frac{1}{\omega T} \int_0^T i \cdot \frac{du}{dt} dt = \frac{1}{\omega T} \int_0^T u \cdot \frac{di}{dt} dt, \quad (3)$$

де ω – кутова (циклічна) частота;

$i(t)$ – миттєве значення струму;

$u(t)$ – миттєве значення напруги;

du/dt – похідна напруги за часом (швидкість зміни напруги);

dt – нескінченно малий інтервал часу.

Інтегральні формули дозволяють визначати реактивну потужність без необхідності розкладання несинусоїдальних функцій струму та напруги в ряд Фур'є, що є їх суттєвою перевагою при аналізі складних електроенергетичних режимів. Такий підхід дає змогу безпосередньо працювати з миттєвими значеннями електричних величин, що особливо важливо в умовах наявності гармонічних спотворень, імпульсних навантажень і швидкозмінних процесів. Використання інтегральних залежностей дозволяє уникнути втрат інформації, які можуть виникати при апроксимації сигналів гармонічними складовими, а також спрощує реалізацію алгоритмів обчислення в цифрових системах вимірювання та керування.

Крім того, інтегральні методи забезпечують більш універсальний підхід до оцінки енергетичних процесів, оскільки не накладають обмежень на форму сигналів і можуть застосовуватися як у лінійних, так і в нелінійних електричних колах. Це робить їх перспективними для аналізу сучасних електроенергетичних систем, у яких широко використовуються перетворювальні пристрої, силова електроніка та інші джерела несинусоїдальних режимів.

Найбільш загальним і фундаментальним формулюванням просторово-часових перетворень електромагнітної енергії є теорема Умова–Пойнтінга, яка встановлює зв'язок між потоками електромагнітної енергії, її накопиченням у просторі та перетворенням у інші види енергії. Ця теорема дозволяє кількісно характеризувати енергетичний обмін у середовищі при довільно змінних у часі струмах і напругах, а також враховує як локальні, так і інтегральні властивості електромагнітного поля.

Застосування теореми Умова–Пойнтінга у задачах електроенергетики відкриває можливість більш глибокого аналізу процесів передачі та перетворення енергії, особливо в умовах складних нестационарних режимів. Вона дозволяє враховувати не лише електричні параметри кола, але й просторовий розподіл енергії, що є важливим для дослідження електромагнітних процесів у сучасних електромеханічних системах.

Таким чином, поєднання інтегральних методів визначення потужності з фундаментальними положеннями теореми Умова–Пойнтінга створює теоретичну основу для більш точного та універсального опису енергетичних процесів у електричних колах, особливо в умовах несинусоїдальних і нелінійних режимів роботи [6].

Реактивна потужність у деяких електричних колах зумовлена певними властивостями елементів, які викликають зсув фаз між кривими струму та напруги. Цей зсув визначає непропорційність зміни миттєвого струму при зміні миттєвої напруги на

выводах елемента. У схемах з керованими ключовими елементами, що становлять основу сучасного регульованого електропривода, ця складова повної потужності зумовлена зміщенням основної гармоніки струму мережі відносно напруги. Можна стверджувати, що оцінки реактивної потужності за формулами (2) і (3) дають значення реактивної потужності навіть за відсутності в електричному колі накопичувачів енергії.

Теоретична дискусія щодо сутності реактивної потужності далека від завершення, тому для практичної реалізації блока вимірювання активної та реактивної потужності скористаємося відповідно виразами (1) і (3), оскільки ці вирази мають подібну структуру. Водночас формула (3), на відміну від (2), дозволяє визначити реактивну потужність без необхідності розкладання кривих струму та напруги в тригонометричні ряди.

Як інтервал інтегрування для обчислення середніх значень доцільно використовувати період мережевої напруги $T=1/f$, с.

До завершення чергового періоду вимірювання значення вимірної активної та реактивної потужності залишаються невизначеними, тому на виході вимірювального блока необхідно підтримувати попереднє вимірне значення. Після завершення періоду інтегрування накопичені значення інтеграторів слід обнуляти.

Значення складових спожитої електричної енергії можна визначити шляхом інтегрування відповідних складових потужності.

Алгоритм визначення складових повної потужності за формулами (1) і (3) наведено на рис. 1.

Запропонований алгоритм було реалізовано мовою програмування С у вигляді функціонального блока середовища Simulink із використанням механізму користувацьких S-функцій.

Для перевірки адекватності та коректності роботи розробленого вимірювального блока було проведено його дослідження у складі моделей, що включають стандартні блоки бібліотек Simulink і SimPowerSystems.

Результати моделювання на віртуальній схемі кола постійного струму підтвердили працездатність розробленого блока в умовах постійного струму. У цьому випадку на вхід, що відповідає похідній напруги, подається нульовий сигнал. Дослідження, проведені в моделі лінійного кола змінного струму, показали повний збіг результатів вимірювань, отриманих за допомогою розробленого блока SPTmeter, із результатами, отриманими за допомогою стандартного блока бібліотеки SimPowerSystems – Active & Reactive Power.

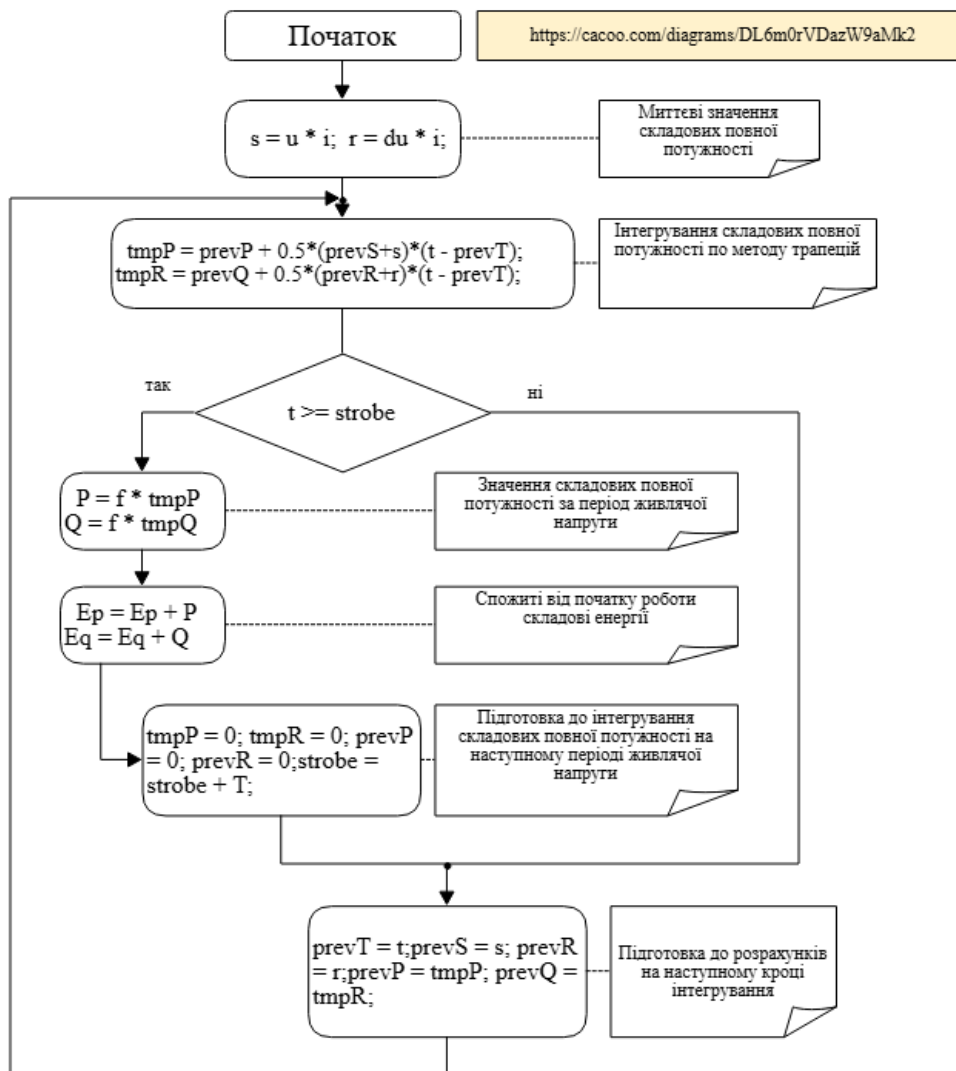
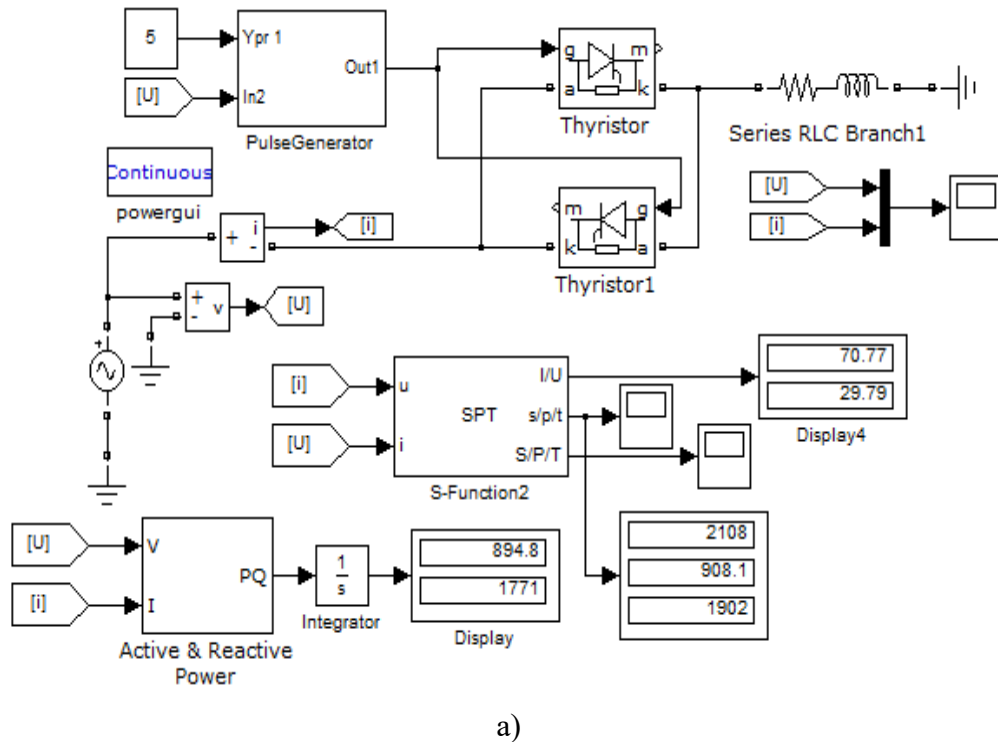


Рисунок 1 – Алгоритм розрахунку складових повної потужності

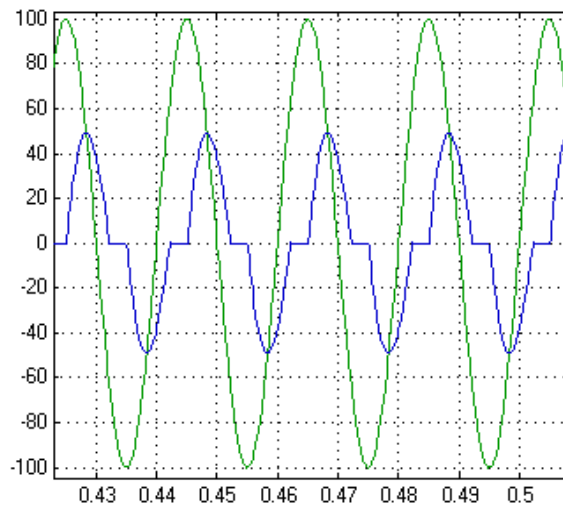
Далі розглянемо роботу вимірювальних блоків у колі з ключовими елементами (рис. 2).

На рис. 2, а наведено віртуальну схему вимірювання потужності в колі змінного струму, керованому симістором. Параметри навантаження становлять: $U=100$ В, $R=10$ Ом, $X_L=10$ Ом. На цьому ж рисунку подано графіки напруги та струму джерела живлення, на основі яких виконувалося визначення складових потужності.

Результати вимірювань наведено на рис. 2, б. Як показують обчислювальні експерименти, блок Active & Reactive Power систематично дає завищені значення як активної, так і реактивної потужності. Загалом показання обох вимірювальних блоків є достатньо близькими між собою.



а)



б)

Рисунок 2 – Використання блоку вимірювання складових потужності у віртуальних моделях лінійних (а) та нелінійних (б) електричних кіл

Розглянемо ще один практично дуже важливий випадок – запуск асинхронного електродвигуна. У цьому випадку реалізується принципово інший тип несинусоїдальності, ніж у ключових колах. Струм статора під час запуску має складну форму, змінюється його амплітуда, у зв'язку з чим вимірювання складових повної потужності ускладнюється. Запуск асинхронного двигуна здійснюється при номінальному моменті опору на валу.

На рис. 3 зображено віртуальну модель асинхронного електропривода та результати вимірювання потужності різними вимірювальними блоками за результатами пуску.

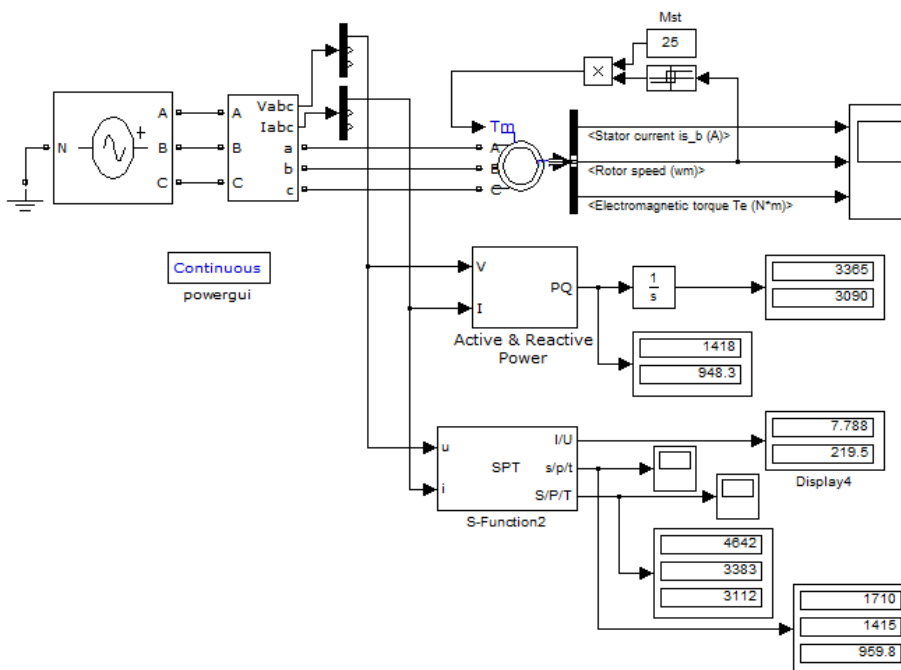


Рисунок 3 – Схема вимірювання складових повної потужності при прямому пуску асинхронного двигуна

Із рис. 3 видно, що результати вимірювання активної потужності практично ідентичні, тоді як значення реактивної потужності відрізняються приблизно на 20%.

На рис. 4 наведено часові діаграми активної та реактивної потужності, що вимірюються в процесі пуску асинхронного двигуна розробленим блоком і стандартним вимірювачем у середовищі Simulink Active & Reactive Power відповідно.

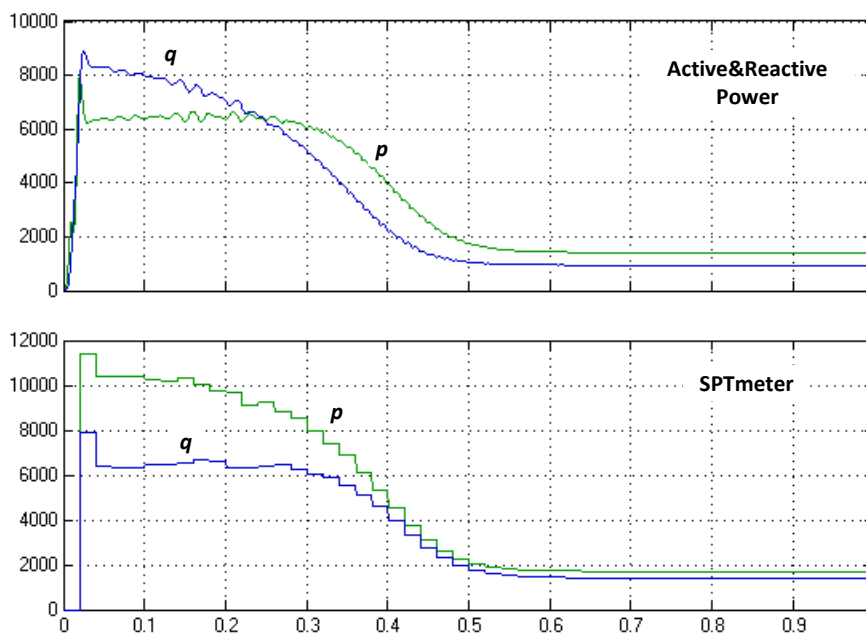


Рисунок 4 – Порівняльні графіки активної та реактивної потужності при прямому пуску асинхронного двигуна

Визначимо коефіцієнт потужності асинхронного двигуна за результатами вимірювання складових повної потужності в усталеному номінальному режимі роботи. Для блока SPTmeter маємо $k_m=0,77$, для блока Active & Reactive Power отримуємо $k_m=0,83$. Другий результат, отриманий за вимірюваннями блока Active & Reactive Power, видається завищеним.

Висновки. У роботі проаналізовано основні відомі підходи до обчислення складових повної потужності в електричних колах. Показано, що активна і реактивна потужності можуть бути визначені за допомогою функціоналів від струму і напруги з використанням сигналу похідної напруги.

На основі запропонованого алгоритму із застосуванням механізму користувацьких S-функцій було розроблено блок вимірювання активної та реактивної потужності, а також спожитої енергії, сумісний з іншими бібліотечними блоками середовища Simulink.

Розроблений блок пройшов успішну апробацію; показано його працездатність у несинусоїдальних колах змінного струму.

ЛІТЕРАТУРА / REFERENCES

1. Steinmetz, C. P. (1900). *Theory and calculation of alternating current phenomena* (3rd ed., rev. and enl.). Electrical World and Engineer.
<https://archive.org/details/theorycalculatio00steiiiala>
2. Fryze, S. (1931). Moc rzeczywista, urojona i pozorna w obwodach elektrycznych o przebiegach odkształconych prądu i napięcia. *Przegląd Elektrotechniczny*, 7–8, 193–203, 225–234.
https://delibra.bg.polsl.pl/Content/23511/BCPS_25194_1931-07_Przegląd-Elektrotech.pdf
3. Savinovsky, Y.A., Korolev, S.Y., & Stratonov, A.V. (1981). On the integral concept of reactive power [in Russian]. *Izvestiya Vysshikh Uchebnykh Zavedenii. Energetika*, (7), 55–57.
4. Demirchyan, K. S. (1984). Reactive or exchange power [in Russian]. *Izvestiya Akademii Nauk SSSR. Energetika i Transport*, (2).
5. Zeveke, G. V., Ionkin, P. A., Netushil, A. V., & Strakhov, S. V. (1963). *Fundamentals of circuit theory*. Moscow–Leningrad: Gosenergoizdat.
6. Kopylov, I.P. (2001). On the determination of dynamic energy indices under non-sinusoidal and unbalanced voltage [in Russian]. *Izvestiya Akademii Nauk. Energetika*, (2).
7. Farkhadzade, E.M., & Guliyev, G. B. (2002). Calculation of indices of non-sinusoidal operating conditions of a load node [in Russian]. *Elektrichestvo*, (8).
8. Agunov, M.V., Agunov, A.V., & Verbova, N. M. (2004). A new approach to the measurement of electric power [in Russian]. *Promyshlennaya Energetika*, (2), 30–33.
9. Dobrucký, B., Kaščák, S., & Šedo, J. (2025). Effective Methods for Determination of Electrical System Power Components at Transient and Steady States. *Energies*, 18(4), 779.
<https://doi.org/10.3390/en18040779>
10. Dobrucký, B., Kaščák, S., & Šedo, J. (2024). Power Components Mean Values Determination Using New I_p - I_q Method for Transients. *Energies*, 17(11), 2720.
<https://doi.org/10.3390/en17112720>

11. Souza, L. R., Godoy, R. B., de Souza, M. A., Junior, L. G., & de Brito, M. A. G. (2021). Sampling Rate Impact on Electrical Power Measurements Based on Conservative Power Theory. *Energies*, 14(19), 6285. <https://doi.org/10.3390/en14196285>
12. Chica Leal, A. d. J., Trujillo Rodríguez, C. L., & Santamaria, F. (2020). Comparative of Power Calculation Methods for Single-Phase Systems under Sinusoidal and Non-Sinusoidal Operation. *Energies*, 13(17), 4322. <https://doi.org/10.3390/en13174322>
13. Granados-Lieberman, D. (2020). Global Harmonic Parameters for Estimation of Power Quality Indices: An Approach for PMUs. *Energies*, 13(9), 2337. <https://doi.org/10.3390/en13092337>
14. Nicolae, P.-M., Nicolae, I.-D., & Nicolae, M.-S. (2022). Some Considerations Regarding the Measurement of the Compensation Efficiency in Three-Phase Systems. *Energies*, 15(14), 5004. <https://doi.org/10.3390/en15145004>

Received 26.03.2026
Accepted 27.03.2026
Published 31.03.2026

Design of instrumentation for power analysis and measurement in mathematical models

The purpose of this study is to select a method for calculating the active and reactive components of apparent power, to develop and implement software-based instrumentation tools (measurement blocks) for their determination in mathematical models, and to verify their adequacy under non-sinusoidal operating conditions.

The study employs methods of mathematical modeling of electromechanical systems, analysis of existing approaches to determining power components, as well as integral methods for calculating active and reactive power. The implementation is carried out in the Simulink environment using user-defined S-functions written in the C programming language. Computational experiments are performed on models of linear and nonlinear electrical circuits.

An algorithm and a software block for measuring active and reactive power, as well as energy, in mathematical models have been developed. Testing under various operating conditions (DC circuits, sinusoidal and non-sinusoidal regimes, and induction motor starting) has confirmed the operability and sufficient accuracy of the proposed approach. It is shown that standard tools may produce overestimated results, whereas the developed block provides more accurate evaluations.

The novelty lies in improving the approach to determining the components of apparent power in non-sinusoidal electrical circuits based on integral relationships without the need for Fourier series decomposition, as well as in creating a universal measurement block suitable for use in mathematical models of electromechanical systems.

The developed instrumentation can be used for analyzing energy consumption processes, improving the energy efficiency of electric drives, and studying the operating modes of power systems in simulation environments. The obtained results can be applied in scientific research and engineering practice for the design of energy management systems.

Keywords: mathematical modeling, active power, reactive power, apparent power, non-sinusoidal regimes, electric drive, Simulink, energy efficiency.

Барановська Міла Леонідівна - к.т.н., доцент, кафедра електромеханіки, Криворізький національний університет, м. Кривий Ріг, Україна.

ORCID: <https://orcid.org/0000-0002-8082-1305>

Пугач Андрій Сергійович - аспірант, Український державний університет науки і технологій.

ORCID: <https://orcid.org/0009-0002-0083-4323>

Степаненко Олег Віталійович - аспірант, Український державний університет науки і технологій.

ORCID: <https://orcid.org/0009-0000-0924-6291>

Мартинцев Вячеслав Сергійович - студент кафедри електричної інженерії, Український державний університет науки та технологій.

ORCID: <https://orcid.org/0009-0005-2902-9979>.

Тугуши Роман Георгійович - студент, Український державний університет науки та технологій.

ORCID: <https://orcid.org/0009-0001-6235-1899>

Тесленко Іван Романович – студент, Український державний університет науки і технологій.

ORCID: <https://orcid.org/0009-0001-0234-868X>

Baranovska Mila Leonidivna - PhD (Engineering), Associate Professor, Electromechanical Department, Kryvyi Rih National University, Kryvyi Rih, Ukraine.

ORCID: <https://orcid.org/0000-0002-8082-1305>

Puhach Andrii - PhD-student, Ukrainian State University of Science and Technology.

ORCID: <https://orcid.org/0009-0002-0083-4323>

Stepanenko Oleh - PhD-student, Ukrainian State University of Science and Technology.

ORCID: <https://orcid.org/0009-0000-0924-6291>

Martyntsev Viacheslav - student, department of electrical engineering, Ukrainian State University of Science and Technology.

ORCID: <https://orcid.org/0009-0005-2902-9979>.

Tuhushy Roman - student, Ukrainian State University of Science and Technology, ORCID:

<https://orcid.org/0009-0001-6235-1899>

Teslenko Ivan – student, Ukrainian State University of Science and Technology.

ORCID: <https://orcid.org/0009-0001-0234-868X>

ЗМІСТ

CONTENTS

<p>Ковтуненко А.Р., Машталір С.В. Експериментальне дослідження архітектурних конфігурацій декодера карт відстаней для сегментації екземплярів за текстовим запитом</p>	3	<p>Kovtunenکو A.R., Mashtalir S.V. Experimental study of distance map decoder architectural configurations for instance segmentation by text query</p>	3
<p>Бондаренко В.І., Пшеничний М.В., Фатальчук С.Д. Інноваційні підходи до оцінки ефективності технологій матеріалів</p>	13	<p>Bondarenko V.I., Pshenychnyi M.V., Fatalchuk S.D. Innovative approaches to assessing the efficiency of material technologies</p>	13
<p>Гейко О.О., Варава І.А., Пука Г.С., Дембіцький В.В., Вдовина А.В. Метод валідації чисельних моделей поширення гідроакустичних хвиль з узгодженням частот дискретизації та спектральної оцінки</p>	23	<p>Heiko O.O., Varava I.A., Pukha G.S., Dembitskyi V.V., Vdovyna A.V. Method for validation of numerical models of hydroacoustic wave propagation with sampling rate matching and spectral estimation</p>	23
<p>Гунченко Ю.О., Камєнєв К.І., Камєнєва А.В., Єпик М.О. Оцінка продуктивності AWS Lambda для масштабованої та безпечної авторизації користувачів у кросплатформених хмарних застосунках</p>	35	<p>Gunchenko Yu.O., Kamieniev K.I., Kamienieva A.V., Iepik M.O. Performance evaluation of AWS Lambda for scalable and secure user authorization in cross-platform cloud applications</p>	35
<p>Шиян С.І. Імітаційна модель багатоканальної системи зберігання паливно-мастильних матеріалів</p>	49	<p>Shiyan S.I. Simulation model of a multi-channel storage system for fuel and lubricants</p>	49
<p>Кондрашов Д.А., Музыка І.О., Костенко В.В., Чубаров В.А. Вплив оптичних зворотних втрат на надійність передавання даних в GPON-мережі</p>	60	<p>Kondrashov D.A., Muzyka I.O., Kostenko V.V., Chubarov V.A. The impact of optical reverse losses on the reliability of data transmission in GPON networks</p>	60
<p>Лозовський А.В., Лупинський С.В. Про розв'язання логістичних задач методами теорії оптимального розбиття множин</p>	72	<p>Lozovskyi A., Lupynskyi S. On solving logistics problems using the methods of the theory of optimal set partitioning</p>	72

Мариношенко О.П., Чорний О.С. Адитивні технології у створенні ракетних двигунів зі змінним питомим імпульсом: сучасні підходи та перспективи	83	Marynoshenko O.P., Chorni O.S. Additive technologies in the development of rocket engines with variable specific impulse: current approaches and prospects	83
Семенюк Б.В., Савенко Б.О. Метод підвищення точності системи виявлення атак у зонах невизначеності на основі аналізу помилок та селективного перевизначення рішень	99	Semenyuk B.V., Savenko B.O. A method for improving the accuracy of an intrusion detection system in uncertainty zones based on error analysis and selective decision revision	99
Форкерт П.П., Іванченко М. Реалізація методів розширення та узагальнених методів у діалекті мови програмування Go	111	Forkert P.P., Ivanchenko M. Implementing extension methods and generic methods in Go programming language dialect	111
Манько Т.А., Літот О.В., Мурашко В.В. Теоретичне дослідження суцільнокомполітного безлейнерного трубопроводу із вуглепластику для криогенних компонентів палива	122	Manko T.A., Litot O.V., Murashko V.V. Theoretical study of a continuous composite linerless pipeline made of carbon plastic for cryogenic fuel components	122
Островська К.Ю., Левашкевич А.К. Інтелектуальна система для визначення шкідників рослин на основі нейромережових технологій	135	Ostrovskaya K.Yu., Levashkevych A.K. Intelligent system for identifying plant pests based on neural network technologies	135
Нечипорук В.Г. Динаміка плити асфальтоукладачника з додатковим вібробуджувачем та її вплив на процес розгладжування асфальтобетонної суміші	145	Nechyporuk V. Dynamics of an asphalt paver screed with an additional vibration exciter and its influence on the asphalt concrete mixture leveling process	145
Тікан Ю.М., Нестеренко М.М. Аналітичне дослідження коливального режиму вібраційного конвеєра з двома інерційними вібробуджувачами	152	Tikan Y., Nesterenko M. Analytical study of the oscillatory regime of a vibratory conveyor with two inertial vibrators	152

Морохович Б.В. Моделі штучного інтелекту в задачі моніторингу екологічного середовища регіону	161	Morokhovych B.V. Artificial intelligence models for regional environmental monitoring	161
Ахметшина Л.Г., Єгоров А.О. Підвищення чутливості та достовірності сегментації напівтонових слабкоконтрастних зображень на основі ітеративного застосування нечітких перетворень типу - 2	172	Akhmetshina L.G., Yegorov A.A. Improving the sensitivity and reliability of grayscale low-contrast images segmentation based on the iterative application of type-2 fuzzy transformations	172
Перекуда Я.І., Люшенко Л.А. Виявлення та кількісне оцінювання узгодженої активності спільнот бот- програм у соціальних програмних мережах на основі мережевого та часового аналізу	182	Perehuda Y.I., Lyushenko L.A. Detection and quantitative assessment of coordinated activity of bot-program communities in social software networks based on network and temporal analysis	182
Репіхов В.М., Чуприна А.С. Формування та валідація алфавіту ознак у компараторній моделі превентивного супроводже	191	Repikhov V.M., Chupryna A.S. Formation and validation of the feature alphabet in a comparator model of preventive software maintenance	191
Сачанюк-Кавецька Н.В., Гуда О.В., Крадінова Т.А. Диференціальні рівняння в техніці й природничих науках: чисельне та дано-орієнтоване моделювання логістичної динаміки	204	Sachaniuk-Kavetska N.V., Huda O.V., Kradinova T.A. Differential equations in engineering and natural sciences: numerical and data-driven modeling of logistic dynamics	204
Скуріхін Д.І., Ловська А.О., Равлюк В.Г., Рибін А.В., Бондаренко В.В. Застосування нейронних мереж для аналізу спектрограм акустичних сигналів взаємодії колеса і рейки	213	Skurikhin D., Lovska A., Ravlyuk V., Rybin A., Bondarenko V. Application of neural networks for spectrogram analysis of acoustic signals of wheel-rail Interaction	213
Тутова О.В., Пінчук В.О. Дослідження ексергетичної досконалості двостадійної схеми термохімічної переробки вугілля	227	Tutova O.V., Pinchuk V.O. Exergy analysis of a two-stage coal thermochemical conversion process resource planning	227

Барановська М., Пугач А., Степаненко О., Мартинцев В., Тугуши Р., Тесленко І. Створення інструментарію для аналізу та вимірювання потужності в математичних моделях	238	Baranovska M.L., Puhach A., Stepanenko O., Martyntsev V., Tuhushy R., Teslenko I. Design of instrumentation for power analysis and measurement in mathematical models	238
---	-----	---	-----

РЕФЕРАТИ

УДК 004:83

Ковтуненко А.Р., Машталір С.В. **Експериментальне дослідження архітектурних конфігурацій декодера карт відстаней для сегментації екземплярів за текстовим запитом** // Системні технології. Регіональний міжвузівський збірник наукових праць. - Випуск 2(163). – Дніпро, 2026. – С.3 – 12.

Проведено експериментальне порівняння дев'яти архітектурних конфігурацій декодера карт відстаней у моделі InstanceCLIPSeg. Досліджено вплив методів підвищення роздільної здатності (білінійна інтерполяція, PixelShuffle), координатних згорток та стратегій злиття ознак. Встановлено, що гібридна архітектура з PixelShuffle та однорівневим злиттям ознак є найефективнішою (mean Dice 0,2374), перевершуючи базовий підхід на 9,4%. Виявлено надлишковість CoordConv при наявності контексту трансформера та перевагу гібридного злиття над ієрархічним.

Бібл. 16, рис. 8, табл. 2.

УДК 620.1:620.22

Бондаренко В.І., Пшеничний М.В., Фатальчук С.Д. **Інноваційні підходи до оцінки ефективності технологій матеріалів** // Системні технології. Регіональний міжвузівський збірник наукових праць. - Випуск 2(163). – Дніпро, 2026. – С.13 – 22.

У статті розглянуто сучасні підходи до оцінки ефективності технологій отримання та модифікації матеріалів у контексті вимог матеріалознавства та цифровізації виробництва. Обґрунтовано доцільність інтеграції структурних, фізико-механічних, технологічних, ресурсних та екологічних критеріїв у межах єдиної системи показників, побудованої за логікою «процес – структура – властивості – результативність». Запропоновано прикладний підхід до формування інтегрального показника ефективності на основі нормування різнорідних критеріїв та їх зваженої згортки у єдиний безрозмірний індекс. Розглянуто можливість застосування підходу для порівняння альтернативних технологічних режимів та обґрунтування вибору оптимальних рішень з урахуванням якісних, ресурсних і екологічних параметрів.

Бібл. 9.

УДК 004.942

Гейко О.О., Варава І.А., Пуха Г.С., Дембіцький В.В., Вдовина А.В. **Метод валідації чисельних моделей поширення гідроакустичних хвиль з узгодженням частот дискретизації та спектральної оцінки** // Системні технології. Регіональний міжвузівський збірник наукових праць. - Випуск 2(163). – Дніпро, 2026. – С.23 – 34.

Запропоновано метод валідації чисельних моделей поширення гідроакустичних хвиль за даними натурних вимірювань, що враховує неузгодженість частот дискретизації. Метод передбачає вибір цільової частоти зі степенем двійки, ціло- та дробовий ресемплінг із FIR-фільтрацією, застосування FFT з вікном Блекмана та виділення амплітуди на частоті випромінювача. Додатково виконуються перевірки чисельної коректності FDTD-моделі (умова CFL, просторове розрізнення). Якість узгодженості оцінюється за абсолютними, відносними та середньоквадратичними метриками. Метод

забезпечує стійку та відтворювану оцінку відповідності моделі експериментальним даним.

Бібл. 12, іл. 2.

УДК 004.75

Гунченко Ю.О., Каменєв К.І., Каменєва А.В., Єпик М.О. **Оцінка продуктивності AWS Lambda для масштабованої та безпечної авторизації користувачів у кросплатформених хмарних застосунках** // Системні технології. Регіональний міжвузівський збірник наукових праць. - Випуск 2(163). – Дніпро, 2026. – С.35 – 48.

У статті досліджено ефективність використання безсерверної архітектури AWS Lambda для реалізації масштабованої системи авторизації користувачів. Розглянуто інтеграцію з керованою базою даних Amazon Aurora PostgreSQL та сервісом AWS Systems Manager для безпечного зберігання конфігурацій. Експериментально оцінено вплив обсягу пам'яті, холодного та теплового старту на продуктивність функцій, а також витрати на їх виконання. Зроблено висновки щодо оптимальних конфігурацій для побудови ефективних і безпечних авторизаційних модулів у хмарному середовищі.

Бібл. 12, іл. 7.

УДК 004.942

Шиян С. І. **Імітаційна модель багатоканальної системи зберігання паливно-мастильних матеріалів** // Системні технології. Регіональний міжвузівський збірник наукових праць. - Випуск 2(163). – Дніпро, 2026. – С.49 – 59.

В статті розглядається побудова імітаційної моделі багатоканальної системи зберігання паливно-мастильних матеріалів на основі колірних мереж Петрі. Представлено формальний опис моделей на основі колірних мереж Петрі. Представлена структурна схема багатоканальної системи зберігання ПММ. Представлено аналіз результатів імітаційного моделювання процесу роботи багатоканальної системи зберігання паливно-мастильних матеріалів при різній кількості каналів обслуговування.

Бібл. 17.

УДК 621.391.64

Кондрашов Д.А., Музыка І.О., Костенко В.В., Чубаров В.А. **Вплив оптичних зворотних втрат на надійність передавання даних в GPON-мережі** // Системні технології. Регіональний міжвузівський збірник наукових праць. - Випуск 2(163). – Дніпро, 2026. – С.60 – 71.

У статті досліджено вплив оптичних зворотних втрат на надійність передавання даних у GPON-мережах. Розглянуто фізичні причини виникнення відбиттів в оптоволоконних лініях та їхній вплив на якість сигналу. Метою роботи є оцінка впливу рівня ORL на стабільність функціонування GPON-ліній. Для цього застосовано методи теоретичного аналізу, експериментальних вимірювань і математичного моделювання. Отримані результати дозволили сформулювати рекомендації щодо зменшення оптичних зворотних втрат та підвищення надійності GPON-мереж.

Бібл. 8, іл. 9.

УДК 519.8

Лозовський А.В., Лупинський С.В. **Про розв'язання логістичних задач методами теорії оптимального розбиття множин** // Системні технології. Регіональний міжвузівський збірник наукових праць. - Випуск 2(163). – Дніпро, 2026. – С.72 – 82.

У статті розглянуто підхід до розв'язання широкого класу логістичних задач на основі методів теорії оптимального розбиття множин. Зокрема, запропоновано математичну формалізацію задач, пов'язаних із просторовим розміщенням об'єктів, оптимізацією маршрутів доставки, зонуванням територій та розподілом ресурсів, у вигляді задач оптимального розбиття множини з урахуванням заданих критеріїв ефективності. Основна увага приділена динамічним аспектам формулювання задачі, які передбачають зміну вхідних даних у часі, а також наявність стохастичних компонентів і невизначеності.

Бібл. 15.

УДК 629.78.036.5:621.9.04

Мариношенко О.П., Чорний О.С. **Адитивні технології у створенні ракетних двигунів зі змінним питомим імпульсом: сучасні підходи та перспективи** // Системні технології. Регіональний міжвузівський збірник наукових праць. - Випуск 2(163). – Дніпро, 2026. – С.83 – 98.

У роботі проаналізовано можливості застосування адитивних технологій у проектуванні та виготовленні ракетних двигунів зі змінним питомим імпульсом. Розглянуто сучасні підходи до формування камер згоряння, охолоджувальних каналів і сопел змінної геометрії з використанням технологій SLM, DED та EBM. Показано, що адитивне виробництво забезпечує зменшення маси, підвищення тепловитривалості та адаптивності двигунів. Обґрунтовано доцільність впровадження таких технологій для створення перспективних силових установок нового покоління.

Бібл. 20, іл. 1, табл. 4.

УДК 004.056.55

Семенюк Б.В., Савенко Б.О. **Метод підвищення точності системи виявлення атак у зонах невизначеності на основі аналізу помилок та селективного перевизначення рішень** // Системні технології. Регіональний міжвузівський збірник наукових праць. - Випуск 2(163). – Дніпро, 2026. – С.99 – 110.

У статті запропоновано метод підвищення точності системи виявлення атак у задачі бінарної класифікації мережевого трафіку за умов дисбалансу класів і наявності зон невизначеності прогнозу. Підхід поєднує аналіз помилок базової моделі, цільове синтетичне доповнення навчальної вибірки для проблемних підкласів атак та селективне перевизначення рішень у прикордонних випадках. Результати експериментів на наборі даних NSL-KDD підтвердили доцільність запропонованого підходу та показали підвищення точності класифікації без ускладнення архітектури IDS.

Бібл. 21, іл. 0, табл. 1.

УДК 004.4'4

Форкерт П.П., Іванченко М. **Реалізація методів розширення та узагальнених методів у діалекті мови програмування Go** // Системні технології. Регіональний міжвузівський збірник наукових праць. - Випуск 2(163). – Дніпро, 2026. – С.111 – 121.

У цій статті представлено підхід до реалізації методів розширення в GoNext, діалекті мови програмування Go, шляхом їх транспіляції у стандартний код Go. Запропонований механізм вводить модифікатор `extension` для оголошень функцій, що дозволяє розробникам додавати методи до існуючих типів, включаючи ті, що належать стороннім бібліотекам, без зміни їхнього вихідного коду. У статті демонструється, що цей підхід не вносить додаткових накладних витрат під час виконання коду, є повністю сумісним із стандартною мовою Go та додає підтримку узагальнених методів, які не були додані у Go через невирішені питання щодо реалізації інтерфейсів.

Бібл. 19.

УДК 621.45.046.5

Манько Т.А., Літот О.В., Мурашко В.В. **Теоретичне дослідження суцільнокомполітного безлейнерного трубопроводу із вуглепластику для кріогенних компонентів палива** // Системні технології. Регіональний міжвузівський збірник наукових праць. - Випуск 2(163). – Дніпро, 2026. – С.122 – 134.

У статті подано результати теоретичного дослідження суцільнокомполітного безлейнерного трубопроводу із вуглепластику, призначеного для транспортування кріогенних компонентів палива. Побудовано розрахункову модель конструкції та проаналізовано її напружено-деформований стан за дії внутрішнього тиску і низьких температур. Показано вплив орієнтації волокон і параметрів армування на розподіл напружень у стінці труби. Отримані результати можуть бути використані для вдосконалення методик проєктування композиційних трубопровідних систем кріогенного призначення.

Бібл. 12, іл. 11, табл. 2.

УДК 004.93:004.85

Островська К.Ю., Левашкевич А.К. **Інтелектуальна система для визначення шкідників рослин на основі нейромережових технологій** // Системні технології. Регіональний міжвузівський збірник наукових праць. - Випуск 2(163). – Дніпро, 2026. – С.135 – 144.

У ході дослідження було реалізовано та проаналізовано модель детектування об'єктів на основі архітектури YOLOV5s. Для навчання та валідації моделі був використаний набір даних, сформований на основі відкритих датасетів, розміщених на платформі Roboflow. Для підвищення узагальнюючої здатності моделі та розширення різноманітності навчального датасета на етапі передобробки використовувалася бібліотека аугментацій Albumentations. Навчання проводилося з використанням оптимізатора стохастичного градієнтного спуску. Для управління швидкістю навчання застосовувався косинусний планувальник. В роботі реалізовано взаємодію користувача з серверною частиною з інтерфейсом у вигляді чат-бота. Розроблена інтелектуальна система забезпечує два повноцінні режими роботи: режим інференсу нейромережі

(predict) та режим збору даних (collect). В результаті було розроблено інтелектуальну систему для визначення шкідників рослин на основі нейромережевих технологій.

Бібл. 11, рис. 7, табл. 1.

УДК 625.855:534.1

Нечипорук В.Г. **Динаміка плити асфальтоукладальника з додатковим віброзбуджувачем та її вплив на процес розгладжування асфальтобетонної суміші** // Системні технології. Регіональний міжвузівський збірник наукових праць. - Випуск 2(163). – Дніпро, 2026. – С.145 – 151.

У статті розглянуто процес розгладжування асфальтобетонної суміші під час її укладання із застосуванням додаткового віброзбудження робочої плити асфальтоукладальника. Побудовано динамічну модель системи «віброзбуджувач – робоча плита – асфальтобетонна суміш» та досліджено вплив параметрів коливального збудження на інтенсивність коливань плити та рівномірність формування шару покриття. Встановлено, що використання додаткового віброзбуджувача сприяє активнішому перерозподілу суміші в зоні контакту з плитою, зменшенню нерівностей поверхні та покращенню умов формування дорожнього шару. Отримані результати можуть бути використані для удосконалення конструкції робочих органів асфальтоукладальників та оптимізації режимів укладання асфальтобетонних сумішей.

Бібл. 7, рис. 1.

УДК 621.867.52

Тікан Ю.М., Нестеренко М.М. **Аналітичне дослідження коливального режиму вібраційного конвеєра з двома інерційними віброзбуджувачами** // Системні технології. Регіональний міжвузівський збірник наукових праць. - Випуск 2(163). – Дніпро, 2026. – С.152 – 160.

У статті розглянуто вібраційний конвеєр з двома інерційними віброзбуджувачами, що обертаються у протилежних напрямках, та побудовано аналітичний підхід до дослідження його коливального режиму з урахуванням поступального і кутового руху робочого органа.

Одержані аналітичні залежності для визначення складових відцентрових сил, сумарної збурювальної дії, а також кінетичної та потенціальної енергії системи, що дало змогу оцінити особливості формування динамічного режиму конвеєра.

Встановлено, що найбільш сприятливий режим роботи досягається за синхронного обертання однакових віброзбуджувачів у протифазному режимі та проходження лінії дії результуючої сили через центр мас системи, тоді як фазове розузгодження спричиняє появу додаткових складових руху і погіршення рівномірності транспортування матеріалу.

Одержані результати можуть бути використані для оцінювання допустимого розфазування віброзбуджувачів, вибору раціональних параметрів конвеєра та вдосконалення вібраційних транспортно-технологічних машин.

Бібл. 9, рис. 3.

УДК 004.89:504.064.2

Морохович Б.В. **Моделі штучного інтелекту в задачі моніторингу екологічного середовища регіону** // Системні технології. Регіональний міжвузівський збірник наукових праць. - Випуск 2(163). – Дніпро, 2026. – С.161 – 171.

Стаття присвячена розв'язанню актуальної проблеми розробки інтелектуальних систем регіонального екологічного моніторингу в умовах високої стохастичності забруднення довкілля. Мета роботи полягає у впровадженні предиктивного моделювання на основі обробки гетерогенних даних за допомогою гібридної архітектури ConvLSTM, графових мереж GCN та системи ANFIS. Наукова новизна полягає у синтезі мультимодальної платформи, що вперше об'єднує просторово-часовий аналіз із топологічною зв'язністю та нечіткою оцінкою ризиків. Отримані результати створюють підґрунтя для автоматизованої оптимізації екологічних стратегій регіону в реальному часі.

Бібл. 13, іл. 2.

УДК 004-93

Ахметшина Л.Г., Єгоров А.О. **Підвищення чутливості та достовірності сегментації напівтонових слабкоконтрастних зображень на основі ітеративного застосування нечітких перетворень типу - 2** // Системні технології. Регіональний міжвузівський збірник наукових праць. - Випуск 2(163). – Дніпро, 2026. – С.172 – 181.

В роботі запропоновано збільшення чутливості та достовірності сегментації напівтонових зображень ітеративним алгоритмом завдяки зміні способу розрахунку нечітких перетворень типу-1 та типу-2, що виконуються на кожній ітерації, а також зменшенню керуючих параметрів, що пришвидшує налаштування на обробку конкретних зображень. Наведено експериментальні результати на прикладі сегментації запропонованим алгоритмом реальних напівтонових медичних зображень.

Бібл. 12, іл. 5.

УДК 004

Перегуда Я.І., Люшенко Л.А. **Виявлення та кількісне оцінювання узгодженої активності спільнот бот-програм у соціальних програмних мережах на основі мережевого та часового аналізу** // Системні технології. Регіональний міжвузівський збірник наукових праць. - Випуск 2(163). – Дніпро, 2026. – С.182 – 190.

У статті досліджується метод для виявлення та кількісного оцінювання узгодженої активності спільнот бот-програм у соціальних програмних мережах. Метод ґрунтується на побудові зваженого графа акаунтів, виділенні спільнот за модульністю, оцінюванні часової синхронності та збігів за елементами взаємодії, а також статистичній перевірці значущості за перестановочною нульовою моделлю. Отримані результати підтверджують придатність підходу для ранжування спільнот, виявлення значущих пар акаунтів і подальшого моніторингу координованих інформаційних кампаній.

Бібл. 10, іл. 2, табл. 1.

УДК 004.416

Репіхов В.М., Чуприна А.С. **Формування та валідація алфавіту ознак у компараторній моделі превентивного супроводження** // Системні технології. Регіональний міжвузівський збірник наукових праць. - Випуск 2(163). – Дніпро, 2026. – С.191 – 203.

У роботі розглядається задача формування та валідації алфавіту ознак для компараторної моделі превентивного супроводження програмного забезпечення. Запропоновано підхід до представлення експлуатаційного стану програмної системи у вигляді вектора булевих предикатів, сформованих на основі експлуатаційних метрик. Побудовано компараторну модель класифікації станів системи на класи експлуатаційної реакції. Проведено експериментальне дослідження на синтетичному журналі експлуатаційних подій. Отримані результати підтверджують можливість раннього виявлення деградаційних процесів та використання моделі у задачах превентивного супроводження.

Бібл. 15, іл. 4, табл. 1.

УДК 517.9:62:5

Сачанюк-Кавецька Н.В., Гуда О.В., Крадінова Т.А. **Диференціальні рівняння в техніці й природничих науках: чисельне та дано-орієнтоване моделювання логістичної динаміки** // Системні технології. Регіональний міжвузівський збірник наукових праць. - Випуск 2(163). – Дніпро, 2026. – С.204 – 212.

У статті узагальнено прикладну роль диференціальних рівнянь у техніці й природничих науках та подано власний відтворюваний обчислювальний результат на контрольній задачі логістичного росту. Порівняно точність методу Ейлера і методу Рунге-Кутта четвертого порядку при однаковому кроці інтегрування, а також виконано параметричну ідентифікацію правої частини рівняння за заводними даними. Показано, що при кроці $h = 0,5$ метод Ейлера дає RMSE 2,664, метод RK4 - 0,0039, а дано-орієнтована модель $f(N)=aN+bN^2$ забезпечує близькі до теоретичних оцінки параметрів та RMSE близько 0,15.

Бібл. 12, табл. 1, рис. 2.

УДК 656.2:004.89

Скуріхін Д.І., Ловська А.О., Равлюк В.Г., Рибін А.В., Бондаренко В.В. **Застосування нейронних мереж для аналізу спектрограм акустичних сигналів взаємодії колеса і рейки** // Системні технології. Регіональний міжвузівський збірник наукових праць. - Випуск 2(163). – Дніпро, 2026. – С.213 – 226.

У статті розглянуто застосування нейронних мереж для аналізу спектрограм акустичних сигналів взаємодії колеса і рейки з метою автоматизованого моніторингу технічного стану рухомого складу. Наведено результати експериментальних вимірювань акустичних сигналів під час проходження поїздів, виконано побудову та експертну розмітку спектрограм. Для автоматичної класифікації сигналів використано згорткову нейронну мережу на основі MobileNet. Проведене навчання моделі дозволило ідентифікувати характерні типи акустичних сигналів: ударну взаємодію колеса і рейки, шум колення, аеродинамічний шум та скрегіт у кривих ділянках колії.

Бібл. 12, іл. 8.

УДК 621.1.016.7

Тутова О.В., Пінчук В.О. **Дослідження ексергетичної досконалості двостадійної схеми термохімічної переробки вугілля** // Системні технології. Регіональний міжвузівський збірник наукових праць. - Випуск 2(163). – Дніпро, 2026. – С.227 – 237.

У роботі розглянуто двостадійний процес термохімічної переробки вугілля, що включає повітряну газифікацію з подальшим спалюванням генераторного газу за різних умов його підготовки. Проведено ексергетичний аналіз процесу з урахуванням впливу температури та складу газу на ефективність системи. Визначено закономірності розподілу ексергії та встановлено наявність температурного оптимуму процесу. Показано, що попереднє охолодження генераторного газу впливає на структуру ексергетичних потоків і сприяє підвищенню ефективності за рахунок формування додаткового теплового потенціалу. Отримані результати можуть бути використані при оптимізації теплотехнічних процесів переробки вугілля.

Бібл. 12, іл. 5, табл. 2.

УДК 621.316.925

Барановська М., Пугач А., Степаненко О., Мартинцев В., Тугуши Р., Тесленко І. **Створення інструментарію для аналізу та вимірювання потужності в математичних моделях** // Системні технології. Регіональний міжвузівський збірник наукових праць. - Випуск 2(163). – Дніпро, 2026. – С.238 – 253.

У роботі використано методи математичного моделювання електромеханічних систем, аналіз існуючих підходів до визначення складових повної потужності, а також інтегральні методи обчислення активної та реактивної потужності. Реалізація здійснена у середовищі Simulink із застосуванням користувацьких S-функцій мовою програмування С. Проведено обчислювальні експерименти на моделях лінійних і нелінійних електричних кіл.

Бібл. 14.

UDC 004:83

Kovtunen A.R., Mashtalir S.V. **Experimental study of distance map decoder architectural configurations for instance segmentation by text query** // System technologies. № 2(163) - Dnipro, 2026.- P.3 – 12.

An experimental comparison of nine architectural configurations of the distance map decoder in the InstanceCLIPSeg model is conducted. The influence of upsampling methods (bilinear interpolation, PixelShuffle), coordinate convolutions, and feature fusion strategies is investigated. It is found that a hybrid architecture with PixelShuffle and single-stage feature fusion is the most effective (mean Dice 0.2374), outperforming the baseline approach by 9.4%. The redundancy of CoordConv in the presence of transformer context and the advantage of hybrid fusion over hierarchical fusion are revealed.

Ref. 16, Fig. 8, Tabl. 2.

UDC 620.1:620.22

Bondarenko V.I., Pshenychnyi M.V., Fatalchuk S.D. **Innovative approaches to assessing the efficiency of material technologies** // System technologies. № 2(163) - Dnipro, 2026.- P.13 – 22.

The article addresses the problem of comprehensive efficiency assessment of material production and modification technologies in modern manufacturing conditions. The increasing complexity of technological processes, the expansion of additive and hybrid manufacturing, and the growing requirements for sustainable development necessitate the integration of technical, economic, resource, and environmental criteria within a unified analytical framework. The purpose of the study is to develop an applied approach to evaluating the efficiency of material technologies that ensures a well-grounded selection of technological regimes and improves production performance through the systematization and integration of heterogeneous indicators.

Ref. 9.

UDC 004.942

Heiko O.O., Varava I.A., Pukha G.S., Dembitskyi V.V., Vdovyna A.V. **Method for validation of numerical models of hydroacoustic wave propagation with sampling rate matching and spectral estimation** // System technologies. № 2(163) - Dnipro, 2026.- P.23 – 34.

A validation method for numerical models of hydroacoustic wave propagation based on experimental measurements is proposed. The method addresses sampling rate mismatch between simulated and measured signals by selecting a target power-of-two frequency, applying integer and fractional resampling with FIR filtering, and performing FFT with a Blackman window. The amplitude at the emission frequency is extracted for comparison. Numerical consistency checks of the FDTD model, including CFL condition and spatial resolution criteria, are incorporated. Model accuracy is assessed using absolute, relative, and mean squared error metrics, ensuring stable and reproducible agreement evaluation.

Refs. 12, Fig. 2.

UDC 004.75

Gunchenko Yu.O., Kamieniev K.I., Kamienieva A.V., Iepik M.O. **Performance evaluation of AWS Lambda for scalable and secure user authorization in cross-platform cloud applications** // System technologies. № 2(163) - Dnipro, 2026.- P.35 – 48.

The paper investigates the effectiveness of using AWS Lambda serverless architecture for implementing a scalable user authorization system. The integration with Amazon Aurora PostgreSQL managed database and AWS Systems Manager for secure configuration storage is analyzed. Experimental evaluation focuses on the impact of allocated memory, cold and warm starts on function performance and execution cost. Conclusions are drawn on optimal configurations for building efficient and secure authorization modules in cloud environments.

Refs. 12, Fig. 7.

UDC 004.942

Shiyan S.I. **Simulation model of a multi-channel storage system for fuel and lubricants** // System technologies. № 2(163) - Dnipro, 2026.- P.49 – 59.

The article considers the construction of a simulation model of a multi-channel fuel and lubricant storage system based on color Petri nets. A formal description of models based on color Petri nets is presented. A structural diagram of a multi-channel fuel and lubricant storage system is presented. An analysis of the results of simulation modeling of the operation of a multi-channel fuel and lubricant storage system with a different number of service channels is presented.

Refs. 17.

UDC 621.391.64

Kondrashov D.A., Muzyka I.O., Kostenko V.V., Chubarov V.A. **The impact of optical reverse losses on the reliability of data transmission in GPON networks** // System technologies. № 2(163) - Dnipro, 2026.- P.60 – 71.

The paper investigates the impact of optical return loss on data transmission reliability in GPON networks. The physical causes of optical reflections in fiber-optic links and their influence on signal quality are analyzed. The aim of the study is to assess the effect of ORL on the operational stability of GPON links. The research is based on theoretical analysis, experimental measurements, and mathematical modeling. The obtained results provide practical recommendations for reducing optical return loss and improving the reliability of GPON networks.

Ref. 8, im. 9.

UDC 519.8

Lozovskyi A., Lupynskyi S. **On solving logistics problems using the methods of the theory of optimal set partitioning** // System technologies. № 2(163) - Dnipro, 2026.- P.72 – 82.

The paper presents an approach to solving a broad class of logistics problems based on the methods of the theory of optimal set partitioning. In particular, a mathematical formalization is proposed for problems related to spatial allocation of objects, route optimization, territory zoning, and resource distribution, formulated as optimal set partitioning problems according to predefined efficiency criteria. The main focus is on the

dynamic aspects of the problem formulation, which involve time-varying input data as well as stochastic components and uncertainty.

Ref. 15.

UDC 629.78.036.5:621.9.04

Marynoshenko O.P., Chorny O.S. **Additive technologies in the development of rocket engines with variable specific impulse: current approaches and prospects** // System technologies. № 2(163) - Dnipro, 2026.- P.83 – 98.

The paper analyzes the application of additive manufacturing technologies in the design and production of rocket engines with variable specific impulse. Modern approaches to the fabrication of combustion chambers, cooling channels and variable-geometry nozzles using SLM, DED and EBM technologies are considered. It is shown that additive manufacturing enables weight reduction, improved thermal resistance and enhanced adaptability of propulsion systems. The feasibility of implementing these technologies for the development of next-generation adaptive rocket engines is substantiated.

Ref. 20, figs. 1, tabs. 4.

UDC 004.056.55

Semenyuk B.V., Savenko B.O. **A method for improving the accuracy of an intrusion detection system in uncertainty zones based on error analysis and selective decision revision** // System technologies. № 2(163) - Dnipro, 2026.- P.99 – 110.

The paper proposes a method for improving the accuracy of an intrusion detection system in binary network traffic classification under class imbalance and uncertainty zones. The approach combines baseline model error analysis, targeted synthetic expansion of the training set for problematic attack subclasses, and selective decision revision in borderline cases. Experimental results obtained on the NSL-KDD dataset confirm the effectiveness of the proposed approach and demonstrate improved classification accuracy without increasing IDS architectural complexity.

Ref. 21, fig. 0, table 1.

UDC 004.4'4

Forkert P.P., Ivanchenko M. **Implementing extension methods and generic methods in Go programming language dialect** // System technologies. № 2(163) - Dnipro, 2026.- P.111 – 121.

This paper presents an approach to implementing extension methods in GoNext, a dialect of the Go programming language, via transpilation into standard Go code. The proposed mechanism introduces an extension modifier for function declarations, enabling developers to add methods to existing types — including those from third-party libraries — without modifying their source code. The paper demonstrates that this approach achieves zero runtime overhead, full interoperability with standard Go, and, as an additional benefit, provides support for generic methods, which Go currently lacks due to unresolved questions around interfaces implementation.

Ref. 19.

UDC 621.45.046.5

Manko T.A., Litot O.V., Murashko V.V. **Theoretical study of a continuous composite linerless pipeline made of carbon plastic for cryogenic fuel components** // System technologies. № 2(163) - Dnipro, 2026.- P.122 – 134.

The article presents the results of a theoretical study of a continuous composite linerless pipeline made of carbon plastic intended for the transportation of cryogenic fuel components. A computational model of the structure was built and its stress-strain state under the action of internal pressure and low temperatures was analyzed. The influence of fiber orientation and reinforcement parameters on the stress distribution in the pipe wall was shown. The results obtained can be used to improve the design methods of composite pipeline systems for cryogenic purposes.

Bibl.12, ill. 11, table 2.

UDC 004.93:004.85

Ostrowska K.Yu., Levashkevych A.K. **Intelligent system for identifying plant pests based on neural network technologies** // System technologies. № 2(163) - Dnipro, 2026.- P.135 – 144.

During the study, an object detection model based on the YOLOV5s architecture was implemented and analyzed. A dataset formed on the basis of open datasets hosted on the Roboflow platform was used to train and validate the model. To increase the generalization ability of the model and expand the diversity of the training dataset at the preprocessing stage, the Albumentations augmentation library was used. Training was carried out using a stochastic gradient descent optimizer. A cosine scheduler was used to control the learning speed. The work implemented user interaction with the server part with an interface in the form of a chat bot. The developed intelligent system provides two full-fledged operating modes: neural network inference mode (predict) and data collection mode (collect). As a result, an intelligent system for identifying plant pests based on neural network technologies was developed.

Bibl.11, Fig. 7, Table 1.

UDC 625.855:534.1

Nechyporuk V. **Dynamics of an asphalt paver screed with an additional vibration exciter and its influence on the asphalt concrete mixture leveling process** // System technologies. № 2(163) - Dnipro, 2026.- P.145 – 151.

The article considers the process of leveling an asphalt concrete mixture during paving using additional vibration excitation of the asphalt paver screed. A dynamic model of the system “vibration exciter – screed – asphalt concrete mixture” is developed, and the influence of vibration excitation parameters on the intensity of screed oscillations and the uniformity of pavement layer formation is investigated. It is established that the use of an additional vibration exciter promotes more active redistribution of the mixture in the contact zone with the screed, reduces surface irregularities, and improves the conditions for pavement layer formation. The obtained results can be used to improve the design of asphalt paver working elements and to optimize the operating modes of asphalt concrete paving.

Ref. 7, Fig. 1.

UDC 621.867.52

Tikan Y., Nesterenko M. **Analytical study of the oscillatory regime of a vibratory conveyor with two inertial vibrators** // System technologies. № 2(163) - Dnipro, 2026.- P.152 – 160.

The article considers a vibratory conveyor with two inertial vibrators rotating in opposite directions and develops an analytical approach to studying its oscillatory regime with due account of the translational and angular motion of the working member.

Analytical relationships were obtained to determine the components of the centrifugal forces, the resultant exciting action, as well as the kinetic and potential energy of the system, which made it possible to assess the specific features of the formation of the conveyor's dynamic regime.

It was established that the most favorable operating regime is achieved under synchronous rotation of identical vibrators in an antiphase mode and when the line of action of the resultant force passes through the center of mass of the system, whereas phase mismatch causes additional motion components and deteriorates the uniformity of material conveying.

The obtained results can be used to assess the permissible phase mismatch of the vibrators, select rational conveyor parameters, and improve vibratory transport and process machines.

Refs. 9, Fig. 3.

UDC 004.89:504.064.2

Morokhovych B.V. **Artificial intelligence models for regional environmental monitoring** // System technologies. № 2(163) - Dnipro, 2026.- P.161 – 171.

The article is devoted to solving the urgent problem of developing intelligent regional environmental monitoring systems under conditions of high environmental pollution stochasticity. The research aims to implement predictive modeling based on heterogeneous data processing using a hybrid ConvLSTM architecture, Graph Convolutional Networks (GCN), and an Adaptive Neuro-Fuzzy Inference System (ANFIS). The scientific novelty lies in the synthesis of a multimodal platform that, for the first time, integrates spatio-temporal analysis with topological connectivity and fuzzy risk assessment. These findings establish a framework for the automated real-time optimization of regional environmental strategies.

Bibl. 13, ill. 2.

UDC 004-93

Akhmetshina L.G., Yegorov A.A. **Improving the sensitivity and reliability of grayscale low-contrast images segmentation based on the iterative application of type-2 fuzzy transformations** // System technologies. № 2(163) - Dnipro, 2026.- P.172 – 181.

This paper proposes to improve the sensitivity and reliability of grayscale images segmentation by an iterative algorithm by changing the method of calculating fuzzy transformations of type-1 and type-2 performed at each iteration, as well as reducing the control parameters, which speeds up the adjustment to the processing of specific images. Experimental results are presented on the example of real grayscale medical images segmentation by the proposed algorithm.

Ref. 12, fig. 5.

UDC 004

Perehuda Y.I., Lyushenko L.A. **Detection and quantitative assessment of coordinated activity of bot-program communities in social software networks based on network and temporal analysis** // System technologies. № 2(163) - Dnipro, 2026.- P.182 – 190.

The paper explores method for detecting and quantitatively assessing coordinated activity of bot-program communities in social software networks. The method is based on constructing a weighted account interaction graph, detecting communities by modularity optimization, evaluating temporal synchronization and similarity of interaction elements, and testing statistical significance using a permutation-based null model. The results confirm that the proposed approach is suitable for ranking communities, identifying significant account pairs, and supporting further monitoring of coordinated information campaigns.

Refs. 10, figs. 2, table 1.

UDC 004.416

Repikhov V.M., Chupryna A.S. **Formation and validation of the feature alphabet in a comparator model of preventive software maintenance** // System technologies. № 2(163) - Dnipro, 2026.- P.191 – 203.

The paper considers the problem of forming and validating a feature alphabet for a comparator model of preventive software maintenance. An approach is proposed for representing the operational state of a software system as a vector of Boolean predicates derived from operational metrics. A comparator model for classifying system states into operational response classes is developed. An experimental study based on a synthetic operational event log is conducted. The obtained results demonstrate the possibility of early detection of degradation processes and confirm the applicability of the proposed model for preventive software maintenance.

Refs. 15, fig. 4, table 1.

UDC 517.9:62:5

Sachaniuk-Kavetska N.V., Huda O.V., Kradinovat T.A. **Differential equations in engineering and natural sciences: numerical and data-driven modeling of logistic dynamics** // System technologies. № 2(163) - Dnipro, 2026.- P.204 – 212.

The paper summarizes the applied role of differential equations in engineering and natural sciences and presents an original reproducible computational result for the logistic growth model. The accuracy of the Euler method and the fourth-order Runge-Kutta method is compared for the same time step, and a parametric identification of the right-hand side is performed from noisy data. It is shown that for $h = 0.5$ the Euler method yields RMSE 2.664, RK4 gives 0.0039, and the data-driven model $f(N)=aN+bN^2$ provides parameter estimates close to the theoretical ones with RMSE about 0.15.

Refs. 12, tabl. 1, fig. 2.

UDC 656.2:004.89

Skurikhin D., Lovska A., Ravlyuk V., Rybin A., Bondarenko V. **Application of neural networks for spectrogram analysis of acoustic signals of wheel-rail Interaction** // System technologies. № 2(163) - Dnipro, 2026.- P.213 – 226.

The article considers the application of neural networks for the analysis of spectrograms of acoustic signals generated by wheel–rail interaction for automated monitoring of railway rolling stock condition. Results of experimental acoustic measurements during train operation are presented. Spectrograms of the recorded signals were constructed and manually labeled to identify characteristic acoustic patterns. A convolutional neural network based on the MobileNet architecture was used for automatic signal classification. The trained model makes it possible to identify key acoustic events including wheel–rail impacts, rolling noise, aerodynamic noise and squeal in curved track sections.

Ref. 12, Fig. 8.

UDC 621.1.016.7

Tutova O.V., Pinchuk V.O. **Exergy analysis of a two-stage coal thermochemical conversion process** // System technologies. № 2(163) - Dnipro, 2026.- P.227 – 237.

The study considers a two-stage thermochemical conversion process of coal, including air gasification followed by combustion of producer gas under different pre-treatment conditions. An exergy analysis of the process was performed taking into account the influence of gas temperature and composition on system efficiency. The distribution of exergy within the system was analyzed, and the presence of a temperature optimum of the process was identified. It is shown that preliminary cooling of the producer gas affects the structure of exergy flows and contributes to efficiency improvement due to the formation of an additional thermal potential. The obtained results can be used for optimization of thermal processes of coal conversion.

Ref. 12, ill. 5, tab. 2.

UDC621.316.925

Baranovska M.L., Puhach A., Stepanenko O., Martyntsev V., Tuhushy R., Teslenko I. **Design of instrumentation for power analysis and measurement in mathematical models** // System technologies. № 2(163) - Dnipro, 2026.- P.238 – 253.

The study employs methods of mathematical modeling of electromechanical systems, analysis of existing approaches to determining power components, as well as integral methods for calculating active and reactive power. The implementation is carried out in the Simulink environment using user-defined S-functions written in the C programming language. Computational experiments are performed on models of linear and nonlinear electrical circuits.

Ref. 14.

Системні технології
ЗБІРНИК НАУКОВИХ ПРАЦЬ
Випуск 2 (163)

Головний редактор: к.т.н., доц. Т.В. Селівьорстова

Технічний редактор та секретар збірки: к.т.н., доц. К.Ю. Островська

Здано до набору 30.03.2026. Підписано до друку 31.03.2026.

Формат 60x84 1/16. Друк - різнограф. Папір типограф.

Умов. друк арк. –19,43. Обл.–видавн. арк. – 17,00.

Тираж 300 прим. Замовл. – 02/26

Український державний університет науки і технологій,
ННІ «Дніпровський металургійний інститут»,
кафедра Інформаційних технологій та систем: ІВК «Системні технології»
49600, Дніпро, а/с 493

<http://journals.nmetau.edu.ua/index.php/st>

Свідоцтво про державну реєстрацію друкованого засобу масової інформації:

Серія КВ № 8684 від 23 квітня 2004 рік

Редакційна колегія

Селівьорстова Тетяна Віталіївна
(*головний редактор*)

доцент, кандидат технічних наук

Алпатов Анатолій Петрович

Член-кореспондент НАН України,
професор, доктор технічних наук

Архипов Олександр Євгенійович

професор, доктор технічних наук

Бабічев Сергій Анатолійович

доцент, доктор технічних наук

Білозьоров Василь Євгенович

професор,

доктор фізико-математичних наук

Гече Федір Елемирович

професор, доктор технічних наук

Гуда Антон Ігорович

(*заст. головного редактора*)

професор, доктор технічних наук

Гнатушенко Вікторія Володимирівна

(*вчений секретар*)

професор, доктор технічних наук

Гнатушенко Володимир Володимирович

професор, доктор технічних наук

Гожий Олександр Петрович

професор, доктор технічних наук

Єрьомін Олександр Олегович

професор, доктор технічних наук

Кіріченко Людмила Олегівна

професор, доктор технічних наук

Світличний Дмитро Святозарович

професор, доктор технічних наук

Скалозуб Владислав Васильович

професор, доктор технічних наук

Хандецький Володимир Сергійович

професор, доктор технічних наук

Український державний університет науки і технологій, ННІ «Інститут промислових та бізнес технологій», Україна

Інститут технічної механіки

НАНУ і ДКАУ, Україна

Національний технічний університет України
«Київський політехнічний інститут» імені Ігоря Сікорського", Україна

Jan Evangelista Purkyně University

in Ústí nad Labem

Університет імені Яна Євангеліста Пуркіне, Усті над Лабем, Чеська Республіка

Дніпровський національний університет імені

Олеся Гончара, Україна

Ужгородський національний університет, Україна

Український державний університет науки і технологій, ННІ «Інститут промислових та бізнес технологій», Україна

Український державний університет науки і технологій, ННІ «Інститут промислових та бізнес технологій», Україна

Національний технічний університет

«Дніпровська політехніка», Україна

Чорноморський національний університет імені

П.Могилы, Україна

Український державний університет науки і технологій, ННІ «Інститут промислових та бізнес технологій», Україна

Харківський національний університет

радіоелектроніки, Україна

Akademia Górniczo-Hutnicza

Краківська гірничо-металургійна академія ім. С.

Сташіца, Польща

Український державний університет науки і

технологій, ННІ «Дніпровський інститут

інфраструктури і транспорту»Україна

Дніпровський національний університет імені

Олеся Гончара, Україна